Датчики тока и напряжения





Решения компании ЛЕМ в области электрических измерений

Каталог содержит сведения о наиболее часто применяемой продукции компании ЛЕМ для осуществления электрических измерений в промышленности, железнодорожном транспорте, высокоточных измерений и измерений в области автотранспорта.

Компания ЛЕМ – лидер на рынке по обеспечению передовыми и качественными решениями в области измерения электрических параметров. Её основная продукция – датчики тока и напряжения – имеет широкий спектр применения, включая электроприводы, сварку, возобновляемые источники энергии, источники электропитания, транспорт, высокоточные измерения, а также автомобилестроение, как для традиционного автотранспорта с ДВС, так и для гибридного и электрического автотранспорта в особенности.

Обладая высокой точностью и быстродействием, датчики ЛЕМ обеспечивают сигнал обратной связи для плавного регулирования и снижения энергопотребления многих электрических систем.



В большинстве лифтов, установленных по всему миру, датчики ЛЕМ служат для предотвращения закрытия дверей и стабилизации кабины при входе или выходе пассажиров. Они также обеспечивают плавное перемещение кабины лифта, регулируя крутящий момент электромотора.



Датчики ЛЕМ, специально созданные для систем возобновляемой энергетики, контролируют величину и форму тока, передаваемого в электрическую сеть от систем солнечных батарей и других систем возобновляемой энергии. Они предназначены для измерения тока с целью обеспечения максимально эффективной работы ветряных и солнечных электростанций.



Независимо от того, работает ли поезд на дизельном топливе или электричестве, тяга обеспечивается электродвигателями, управляемыми инверторами, оснащёнными в свою очередь датчиками ЛЕМ, которые обеспечивают измерение, оптимизацию и регулировку подводимой к электродвигателю мощности, улучшая их эксплуатационные характеристики и надёжность.



Качество изображения, генерируемое сканнерами MPT, напрямую связано с точностью измерения тока. Используемый датчик тока напрямую связан с качеством изображения, поэтому если датчик недостаточно точный, это приведёт к получению размытого и нечёткого изображения. Датчики тока ЛЕМ задают стандарт точности и на сегодняшний день являются самыми точными промышленными изделиями на рынке. Датчики гарантируют высокий уровень стабильности и точности, с погрешностью порядка 1-3 части на миллион, благодаря чему они используются в качестве эталона в испытательных и калибровочных стендах в лабораториях.



В электромобилях и гибридных транспортных средствах датчики ЛЕМ следят за уровнями тока заряда/разряда аккумулятора, а также являются очень важным элементом управления электродвигателями.

Нашей задачей является обеспечение Вас как стандартной продукцией, так и выполненной по индивидуальным требованиям заказчика, с целью оптимизации Ваших применений.

ЭЛЕКТРОПРИВОД И СВАРКА ВОЗОБНОВЛЯЕМЫЕ ИСТОЧНИКИ ЭНЕРГИИ И ИСТОЧНИКИ ЭЛЕКТРОПИТАНИЯ

В настоящее время рынок преобразователей имеет две главные технологические движущие силы: первая — стремление достичь большего удобства и качества регулирования, и вторая — энергосбережение. А это значит, что все большее количество решений меняется с механического на полностью электронное управление, что увеличивает надежность, увеличивает точность регулирования и повышает энергоэффективность. В настоящее время, примерно 15% всех электромоторов имеют инверторное управление. Такое управление способно сохранить до 50% расходуемой электроэнергии, а это огромный потенциал для энергосбережения.

Используемое в новейших системах инверторное управление требует надежного и точного гальванически изолированного измерения тока непосредственно на фазах электродвигателя.

Энергосбережение — это на сегодня ключевая задача, и она подразумевает использование энергии ветра и солнца, как альтернативных источников энергии. Для использования этих возобновляемых ресурсов наиболее выгодным способом с точки зрения энергоэффективности, применение силовой электроники становится необходимым условием, с целью обеспечения контроля и управления энергией в промышленности. Современные системы становятся сложнее и требуют точного взаимодействия между силовыми полупроводниками, контроллером, механикой и датчиками обратной связи. Чтобы выполнить эту функцию, датчики обеспечивают получение необходимой информации от нагрузки. Применение датчиков мы можем сравнить с появлением у системы «глаз».

Датчики в реальном времени снабжают «мозг» системы информацией о параметрах, необходимых контроллеру.

Продукция ЛЕМ уже используются при решении широкого спектра задач силовой электроники, таких как: промышленный электропривод, источники бесперебойного питания, сварка, роботы, подъемные краны, канатные дороги, лыжные подъемники, эскалаторы, системы вентиляции, кондиционирования, высокоточные медицинские системы, источники надежного питания для компьютерных серверов и телекоммуникаций.

Тенденция все большего применения силовой электроники главным образом проявляется в промышленности, например: в системах освещения, бытовой технике, компьютерах, телекоммуникациях. Силовая электроника повышает эффективность использования энергии, обеспечивая наиболее правильный тип электропитания с наиболее эффективным напряжением, током и частотой.

ГОРОДСКОЙ ТРАНСПОРТ И ЖЕЛЕЗНАЯ ДОРОГА

В настоящее время, высокоскоростные поезда, городская транспортная система (метро, трамваи и троллейбусы) и товарные поезда являются решением проблем загрязнения окружающей среды и транспортных заторов, а также обеспечивают значительную экономию электроэнергии

Силовая электроника имеет большое значение в управлении и контроле электроэнергии в транспортных системах.

ЛЕМ является лидером в области разработки и решений в транспортной силовой электронике на протяжении последних 40 лет и, опираясь на этот обширный опыт, предлагает решения для изолированных преобразований тока и напряжения.

Датчики ЛЕМ обеспечивают контроль и защиту сигнала в силовых преобразователях и инверторах, которые регулируют мощность электродвигателя при движении, и в вспомогательных преобразователях (ПСН) для систем кондиционирования, отопления, освещения, электрических дверей, вентиляции и т.д.. Они также осуществляют мониторинг типа ж/д сети (изменений при пересечении границ стран), для правильной работы силовой электроники.

Так же как и для бортового применения, ЛЕМ обеспечил такой же контроль и защиту сигнала для ж/д подстанций.

Железнодорожная отрасль постоянно изменяется и эволюционирует. Новые требования, которые обеспечиваются с помощью датчиков ЛЕМ - это бортовой контроль потребляемой мощности (бортовой счетчик электроэнергии ЕМ4Т II), новые технические решения для железнодорожной инфраструктуры, обслуживания и мониторинга стрелочного оборудования и систем сигнализации.

При этом ЛЕМ всегда готов помочь в адаптации к развивающимся техническим средствам.

Сорокалетний опыт в железнодорожной отрасли способствовал становлению ЛЕМ, как лидера, присутствующего на мировом рынке, чтобы служить Вам и обеспечивать эффективную, безопасную и надёжную эксплуатацию на железной дороге

ВЫСОКОТОЧНОЕ ОБОРУДОВАНИЕ

В некоторых областях применения силовой электроники требуется такой высокий уровень точности и/или скорости реакции, что возникает необходимость использования других технологий для достижения необходимых результатов. Поверка приборов клиентов осуществляется в аккредитованных лабораториях, на испытательных стендах с использованием новейшего высокотехнологичного оборудования, включая прецизионные датчики тока. Это до сих пор востребованная традиционная сфера применения таких датчиков, но с каждым днём всё больше и больше они становятся востребованными в высокопроизводительных промышленных приложениях, особенно в медицинском оборудовании (сканнеры, МРТ, и т.д.), прецизионных электродвигателях, приборах учета электроэнергии. В течение многих лет ЛЕМ является лидером в отрасли производства высокопроизводительных конкурентоспособных датчиков для этой отрасли. Приобретение в 2009 году Датской компании Danfysik ACP A/S, мирового лидера в области разработки и производства прецизионных датчиков тока, усилило данную позицию.

Для достижения этой сложной цели обеспечения высокой точности и других параметров, прецизионные датчики тока ЛЕМ используют известные проверенные технологии, а именно технологию феррозондовой компенсации Fluxgate в различных вариантах.

Благодаря этой технологии достигнут уровень типовой погрешности измерения порядка нескольких частей на миллион (РРМ) от номинальной величины.

Линейка высокоточных датчиков охватывает диапазон номинального тока от 12.5 А до 24 кА, при этом обеспечивая точность до нескольких частях на миллион при температуре 25°C. Значения теплового дрейфа также незначительны, всего несколько миллионных долей на один кельвин (K).

Компания ЛЕМ является основным игроком на рынке силовой электроники для промышленности, транспорта, прецизионных измерений на протяжении последних 40 лет и опирается на этот обширный опыт, чтобы предлагать решения для гальванически изолированных измерений тока и напряжения. Имея в своем портфолио более 2 500 различных моделей датчиков тока и напряжения, ЛЕМ предлагает полную гамму точных, надежных, и гальванически изолированных датчиков для измерения токов от 0.25 A до 24 000 A и напряжений от 10В до 4 200В различного принципа действия: прямого усиления, компенсационного типа, на принципе Fluxgate, с цифровой технологией изоляции, на принципе Роговского, трансформаторы тока и др. Датчики ЛЕМ разработаны в соответствии с наиболее жесткими международными стандартами (EN50178, EN 50155, EN50124-1, NFF 16101, 16102 и т.д.) и содержат маркировку СЕ. Большинство моделей имеют сертификаты UL и UR.

Мы имеем подтверждение на соответствие международным стандартам менеджмента качества ISO 9001, ISO TS 16949 и IRIS (производственные и инженерные центры ЛЕМ в Женеве и Пекине) и предлагаем 5летнюю гарантию на всю нашу продукцию.

Компания ЛЕМ видит, что наши клиенты нуждаются не только в оптимальных решениях для точного измерения тока в своих применениях, но, кроме того, они стремятся найти решения по измерению токов, которые дадут дополнительные преимущества их продукции и обеспечат ее конкурентоспособность.

Улучшение характеристик: клиентам необходимы наилучшие решения для различных применений в промышленности. Рынок датчиков диктует необходимость находить эти решения или даже предвосхищать их. Компания ЛЕМ остается в тесном сотрудничестве со своими клиентами и их задачами, чтобы быть готовой быстро отреагировать на изменения требований рынка и сохранить лидирующие позиции в области электрических преобразований.

ЛЕМ постоянно совершенствуется и прилагает усилия для улучшения характеристик, снижения цены и габаритов своей продукции.

ЛЕМ — это компания мирового масштаба с представительствами по всему миру и производственными мощностями в Швейцарии, Европе (включая Россию и Болгарию) и Азии (Китай и Япония).

Мы надеемся, что Вы найдете в этом каталоге полезные рекомендации по выбору нашей продукции. Посетите наш сайт www.lem.com и свяжитесь с нашими представителями для получения дальнейшей поддержки. Подробная техническая документация и рекомендации по применению также доступны Вашему вниманию.

С уважением.

Ханс Дитер Хубер Вице-президент сегмента Промышленность

Франсуа Габелла Президент ЛЕМ

ЛЕМ – в самом сердце силовой электроники



Содержание	Страница
Применения в силовой электронике	6-7
Технологии датчиков	8-11
DRS/REU: ЭЛЕКТРОПРИВОДЫ ВОЗОБНОВЛЯЕМЫЕ ИСТОЧНИКИ ИСТОЧНИКИ ЭЛЕКТРОПИТАНИЯ	И СВАРКА, ЭНЕРГИИ И
Датчики тока, 0.25 5 A	12-13
Датчики тока, 5 8.34 A	14-15
Датчики тока, 10 20 А	16-17
Программируемая серия НО	
Датчики тока, 2.67 25 A	18 - 21
Датчики тока, 25 40 A	22 - 23
Датчики тока, 50 88 А	24 – 25
Датчики тока, 100 300 A	26 - 27
Датчики тока, 100 366 A	28 - 29
Датчики тока, 400 800 A	30 - 31
Датчики переменного тока, 500 2000 A	32
Датчики тока, 1000 20000 A	32 - 33
Датчики тока минисенс FHS, 2 100 A	34 - 37
Датчики тока со специальным	
выходом, 2 20000 А	38 - 39
Датчики напряжения, 10 2500 B	
(без встроенного резистора R1)	40
Датчики напряжения, 50 4200 B	
(со встроенным резистором R1)	40 - 41
Беспроводной счетчик электроэнергии	
Wi-LEM	42 - 43
LRU: ДАТЧИКИ ПРОИЗВОДСТВА ЛЕМ РО	ОССИЯ 44-45
TTR: ГОРОДСКОЙ И ЖЕЛЕЗНОДОРОЖН ТРАНСПОРТНАЯ ИНФРАСТРУКТУРА	НЫЙ ТРАНСПОРТ ,
Датчики тока транспортного исполнения,	
0.4 500 A	46 - 47
Датчики тока транспортного исполнения,	
1000 4000 A	48 - 49
Серия LTC модульных датчиков тока	
с аксессуарами для механической адапта	ции 50-51
Датчики тока, специальное применение,	
2 10 А – Обнаружение неисправностей	52
Шунт изолятор, специальное применение,	0.03 B 52

Содержание	Страница
Датчики тока, Специальное применение	
Детектирование частот интерференции	
0.1 20 A _{AC}	53
Датчики тока, ж/д инфраструктура, подстан	ции,
10 20000 A	54 - 55
Датчики напряжения, бортовое применение	•
(без резистора R1), 10 1500 В	56
Датчики напряжения, бортовое применение)
(со встроенным резистором R1),	
50 4200 B	56-57
Измерение электроэнергии, бортовое прим	енение
EM4T II	58 - 61
Руководство по выбору датчиков для транс	порта 62 - 63
НІР: ВЫСОКОТОЧНЫЕ ИЗМЕРЕНИЯ	
Датчики тока в одном корпусе	
12.5 4000 A	64 -65
Датчики тока с электроникой в отдельном к	орпусе
40 24000 A	66 -67
AUT: ABTOMOБИЛЬНЫЕ ПРИМЕНЕНИЯ	
Обзор применений	68 - 69
Руководство по выбору в автомобильных применениях	70 - 71
КАЧЕСТВО И СТАНДАРТЫ ЛЕМ	72 - 75
Типы выходных разъёмов	76
Форма спецификации	77
Критерии выбора	78 - 79
ГАБАРИТНЫЕ ЧЕРТЕЖИ	80 - 100
Кодировка продукции	101
Символы и определения	102
Гарантия ЛЕМ	103
Контакты ЛЕМ в России	104



Применения в силовой электронике

Сервопривод и частотный привод переменного тока



Примеры применения

- Машинная обработка, печать, пр-во картона, текстиля, пластика
- Прокатные станы
- Лифты
- Подъёмные краны
- Робототехника
- Стиральные машины
- Тяговый инвертор
- Преобразователь собственных нужд





• Ветроэлектростанции

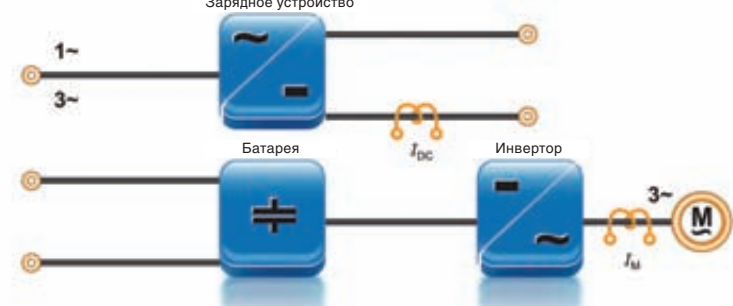
Статические преобразователи для электродвигателей постоянного тока



Примеры применения

- Машинная обработка, печать, пр-во картона, пластика
- Системы электропривода дверей
- Эскалаторы
- Подъёмные краны

Применение в системах питания от батарей



Примеры применения

- Электромобили
- Солнечные электростанции
- Погрузчики
- Инвалидные кресла

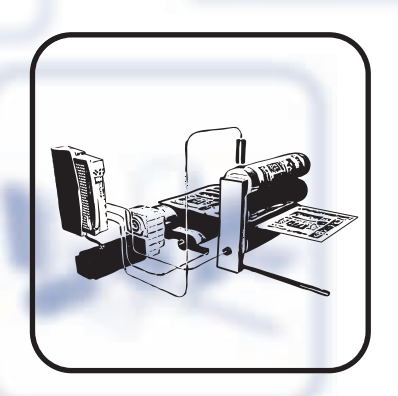










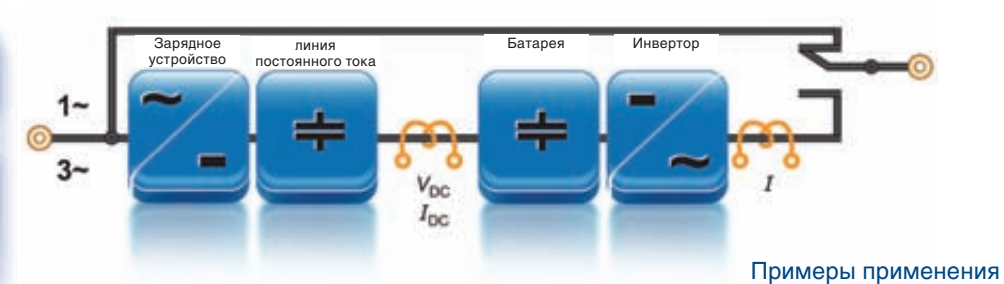




Применения в силовой электронике

Источники бесперебойного питания (UPS

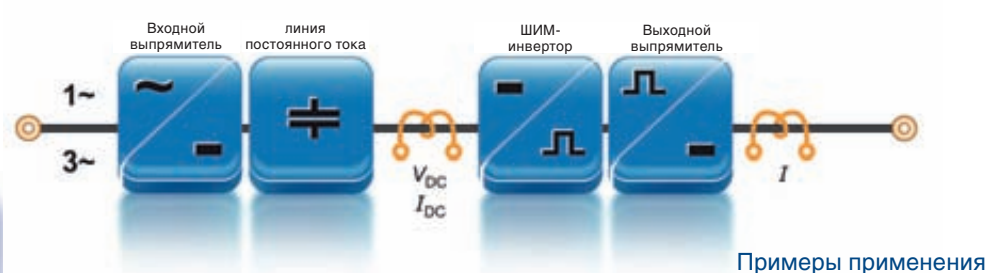




- Информационно- вычислительные системы
- Телекоммуникация
- Системы безопасности





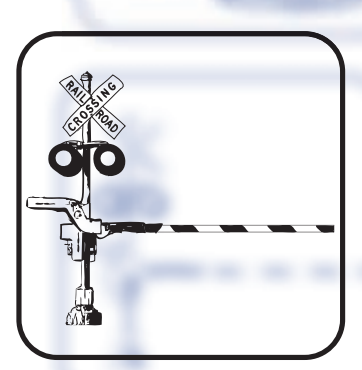




- Источники питания электроники и систем управления
- Зарядные устройства
- Телекоммуникация
- Стабилизаторы напряжения и тока для промышленности и лабораторий
- Электронный балласт









- Измерения и тестирование в лабораториях
- Медицинское рентгеновское и MPT оборудование
- Мониторинг токов электролиза
- Индукционный нагрев
- Мониторинг токов нагрузки в системах распределения электроэнергии
- Ж/Д инфраструктура: стрелки, сигнализация

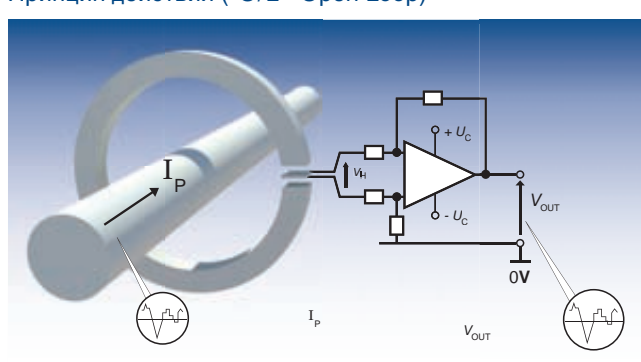
- Защита от токов к/з и перегрузки
- Системы контроля и безопасности
- Электротранспорт
- Горнодобывающий транспорт: системы мотор колесо
- Подстанции, силовые трансформаторы; переключатели; выпрямители

Датчики тока прямого усиления (O/L*)

Достоинства

- Небольшой размер
- Расширенный диапазон преобразования
- Небольшой вес
- Низкое энергопотребление
- Не вносит потерь в первичную цепь

Принцип действия (*O/L - Open Loop)



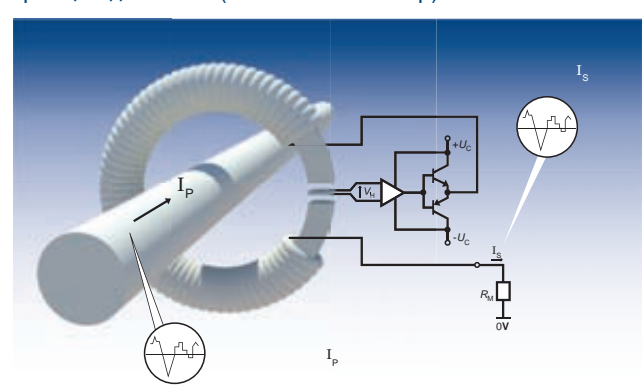
Магнитный поток, создаваемый первичным током $I_{\scriptscriptstyle \mathrm{P}}$ концентрируется в магнитной цепи и преобразуется в воздушном зазоре с помощью элемента Холла. Сигнал с элемента Холла усиливается для получения на выходе пропорциональной копии первичного тока

Компенсационные датчики тока (C/L*)

Достоинства

- Высокая точность
- Малое время отклика
- Широкий частотный диапазон Низкий температурный дрейф
 - Отличная линейность
 - Не вносит потерь в первичную цепь

Принцип действия (*C/L - Closed Loop)



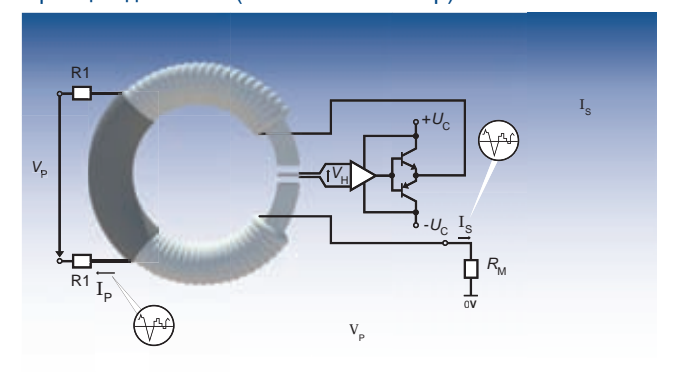
Магнитный создаваемый током поток, первичным компенсируется таким же потоком, создаваемым током во вторичной обмотке. Вторичный (компенсирующий) ток генерируется с помощью элемента Холла и электроники датчика. Этот ток является пропорциональной копией первичного тока.

Компенсационные датчики напряжения (C/L)

Достоинства

- Измерение высоких напряжений
- Высокий уровень изоляции
- Высокая точность
- Низкий температурный дрейф
- Отличная линейность

Принцип действия (*C/L - Closed Loop)



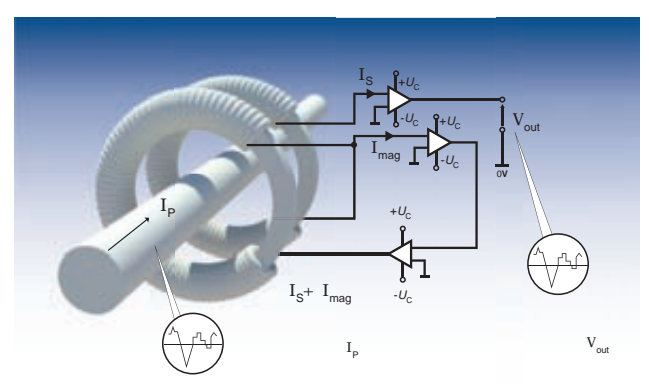
небольшой ток, ограниченный последовательно включёнными резисторами, берётся из измеряемой цепи и пропускается через первичную обмотку. Магнитный поток, создаваемый первичным током $I_{\rm p}$ компенсируется таким же потоком, создаваемым током во вторичной обмотке. Вторичный (компенсирующий) ток генерируется с помощью

элемента Холла и электроники датчика. Этот ток является пропорциональной копией первичного напряжения. Первичные резисторы (R1) могут быть встроенными в датчик либо внешними.

Достоинства

- Высокая точность
- Очень широкий частотный диапазон
- температурный дрейф
- Отличная линейность
- Измерение дифферен циальных токов (CD)
- Высокий уровень изоляции (CV)
- Пониженное влияние на первичный сигнал (CV)

Принцип действия



Используются два тороидальных магнитопровода и две вторичные обмотки. Датчик работает на принципе феррозонда (компенсации Ампер-витков). В датчиках напряжения из первичной цепи берется небольшой ток (несколько мА) и пропускается через первичный резистор и первичную обмотку

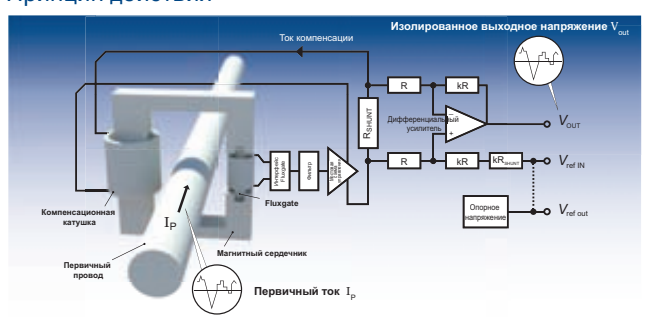
Компенсационные датчики CAS-CASR-CKSR

Достоинства

- Преобразование переменного, Высокая точность постоянного, и импульсного тока сложной формы
 - во всем диапазоне
- Низкий температурный дрейф Гальваническая изоляция (усиления и смещения)
- рабочих температур

 - Высокое быстродействие

Принцип действия



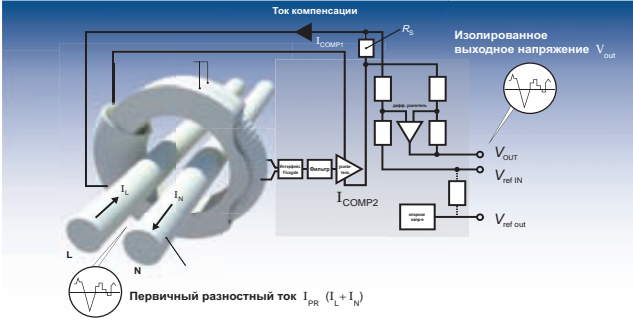
Принцип работы аналогичен трансформатору тока, оснащённому магнитным чувствительным элементом, который измеряет плотность потока в сердечнике. Выходной сигнал чувствительного элемента используется в качестве сигнала ошибки в цепи управления, обеспечивающей компенсационный ток через вторичную обмотку трансформатора. На низких частотах цепь управления обеспечивает близкий к нулю поток через сердечник. С увеличением частоты возрастает доля компенсационного тока за счет трансформаторного эффекта. Вторичный компенсационный ток таким образом является копией первичного тока. В датчике с выходом по напряжению компенсационный ток преобразуется в напряжение посредством встроенного прецизионного резистора и буферного усилителя на выходе

CTSR по технологии Fluxgate

Достоинства

- Преобразование переменного, Низкий температурный дрейф постоянного, и импульсного тока сложной формы
- Бесконтактное измерение дифференциальных токов
- Высокая точность измерения небольших разностных токов
- (усиления и смещения)
- Зашита от паразитных магнитных полей
- Гальваническая изоляция

Принцип действия



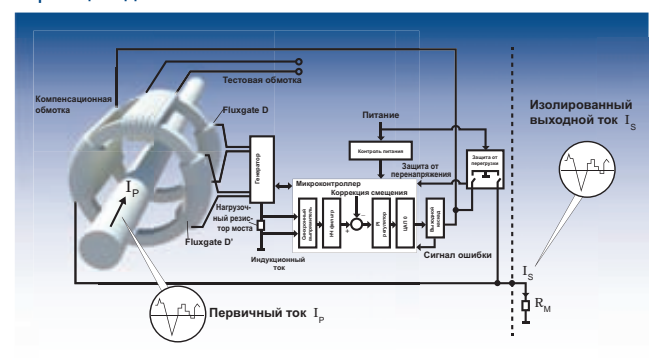
Элемент Холла не используется. Магнитный поток, создаваемый первичным разностным током $I_{\mbox{\tiny PR}}$ (сумма противоположных по направлению токов $I_{\rm L}$ and $I_{\rm N}$), компенсируется вторичным током. Детектор нулевого потока представляет собой симметричный детектор с отдельной обмоткой внутри магнитного сердечника, подключенной к генератору сигнала прямоугольной формы. Вторичный компенсирующий ток является пропорциональной копией первичного тока. В датчике с выходом по напряжению компенсационный ток преобразуется в напряжение посредством встроенного прецизионного резистора и буферного усилителя на выходе. Магнитным сердечником по сути является магнитный кожух из двух половинок, внутри которого и расположен детектор нулевого потока.

ITC по технологии Fluxgate

Достоинства

- Отличная линейность
- Точность не хуже класса 0.5R в соответствии с EN50463
- Выдающаяся долговременная стабильность
- Низкий остаточный шум
- Очень низкая чувствительность к сильным внешним переменным и постоянным электромагнитным полям
- Высокая температурная стабильность

Принцип действия



Датчики ITC являются высокоточными датчиками, использующими Fluxgate технологию. Высокочувствительный детектор нулевого потока использует второй сердечник с обмоткой (D') для снижения уровня шума. Разность между первичными и вторичными ампер-витками создает асимметрию тока феррозонда.

Эта разность детектируется микроконтроллером, управляющим вторичным током, компенсирующим первичные ампер-витки $I_{\rm p} \, {\rm x} \, N_{\rm p}$). В результате получаем очень хорошую точность и очень низкий температурный дрейф.

Вторичный компенсирующий ток является точной пропорциональной копией первичного тока.

Компенсационные датчики тока IT по технологии Fluxgate

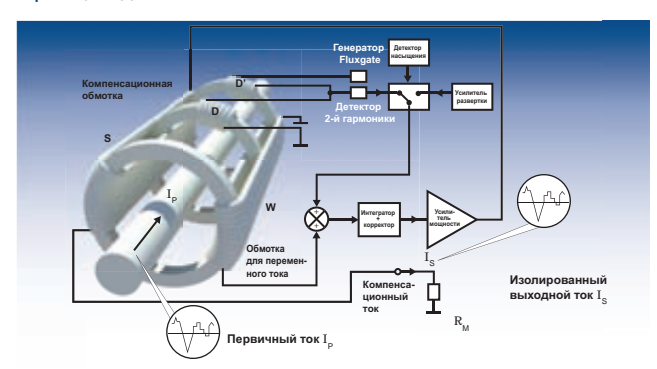
Достоинства

- Очень высокая точность
- Низкий уровень остаточного шума
- Низкие переходные

искажения

- Нелинейность <1ppm
- Высокая температурная стабильность
- Широкий частотный диапазон

Принцип действия



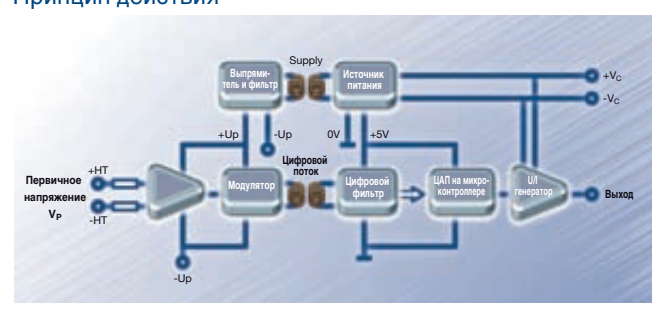
Датчики IT являются высокоточными датчиками тока с широким частотным диапазоном и не используют элемент Холла. Магнитный поток, создаваемый первичным током $I_{\rm p}$, компенсируется вторичным током. Детектор нулевого потока - симметричный детектор, использующий два магнитных сердечника с обмотками, связанными с генератором сигнала прямоугольной формы.

Вторичный компенсирующий ток является точной пропорциональной копией первичного тока.

Достоинства

- Цифровая технология изоляции Низкое потребление и потери в первичной цепи
- Измерение любого типа сигналов: постоянного. переменного и импульсного сложной формы
- Очень высокая точность. класс 0.5R в соответствии с EN 50463 (DV модели)
- Компактный размер и объем • Высокий уровень изоляции
- Низкий температурный дрейф

Принцип действия



Измеряемое напряжение, $V_{\scriptscriptstyle P}$, подаётся непосредственно на первичный каскад через цепь резисторов для обработки сигнала в сигма-дельта модуляторе, что позволяет передать данные через один изолированный канал.

Затем сигнал передается на вторичные цепи через изоляционный трансформатор, обеспечивающий изоляцию между высоковольтными (первичными) и низковольтными (вторичными) цепями.

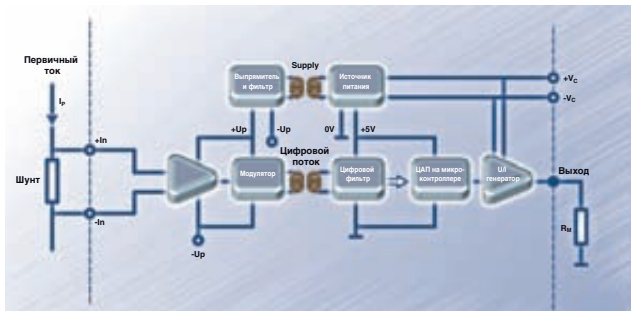
После восстановления формы во вторичной цепи, сигнал декодируется и фильтруется цифровым фильтром, и поступает в цифро-аналоговый преобразователь (ЦАП) на микроконтроллере. Затем сигнал проходит через преобразователь напряжение/ток.

Восстановленный выходной сигнал полностью изолирован от первичного напряжения и является точной его копией

Достоинства

- Цифровая технология
- Измерение любого типа сигналов: постоянного. переменного и импульсного сложной формы
- Компактный размер, уменьшенный объем
- Высокий уровень гальванической изоляции
- Низкое потребление и потери
- Высокая точность, класс 1R в соответствии с EN 50463
- Низкий температурный дрейф

Принцип действия



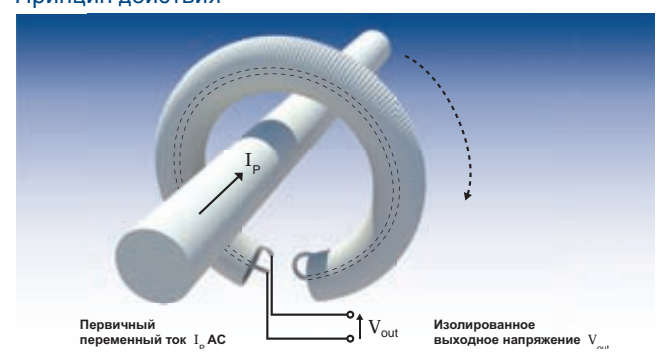
Датчики DI (шунт изолятор) используются с внешним шунтом. Датчики тока DI аналогичны датчикам напряжения DV за исключением того, что цепь входных резисторов, используемых в DV, заменяется внешним шунтом, обеспечивающим входное напряжение для сигма-дельта модулятора. что позволяет передавать данные с помощью одного изолированного канала

Датчики тока RT на принципе Роговского

Постоинства

- Бесконтактное измерение переменного и импульсного сигналов
- Тонкая, лёгкая и гибкая измерительная система
- Простота использования:
- Минимизирована чувствительность к внешним эл/м полям
- Широкий диапазон частот
- Гальваническая изоляция

Принцип действия



Технология бесконтактного измерения Роговского основана на использовании катушек без сердечника (без магнитной цепи). Катушки пронизаны магнитным потоком, создаваемым измеряемым током $I_{\rm P}$. Напряжение $V_{\rm OUT}$,генерируемое на катушках, пропорционально производной потока, а значит и производной измеряемого тока $I_{\rm p}$. Т.к. производная постоянного тока равна нулю, данная технология используется только для измерения переменного или импульсного тока.

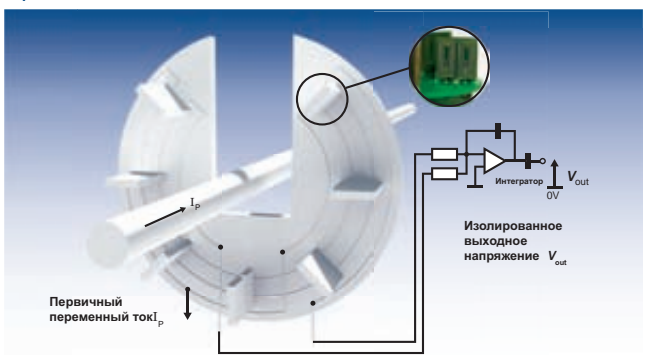
Для восстановления формы измеряемого тока нужно проинтегрировать полученное напряжение VOUT. Поэтому датчик тока может быть оснащён интегратором в блоке электронной обработки сигнала (опционально)

Датчики тока PRiME

Достоинства

- Измерение переменного тока с широким динамическим диапазоном
- Нет магнитного насыщения
- Высокая перегрузочная способность
- Высокая линейность
- Точность не зависит от положения кабеля в отверстии и от внешних полей
- Небольшой вес и габариты
- Низкие температурные потери

Принцип действия



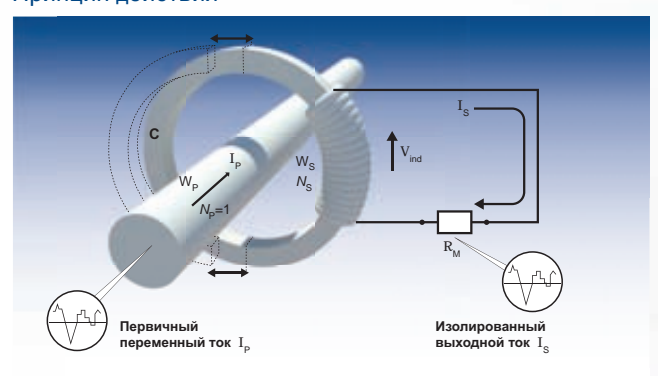
Датчики PRiME работают на принципе Роговского. Вместо традиционной обмотки, измерительная система содержит ряд сенсоров, представляющих собой печатные платы (каждая из которых содержит две раздельных, выполненных печатным способом катушки без сердечника), смонтированных на основной печатной плате. Катушки на платах соединены последовательно, образуя два контура. Наведенное напряжение на их выходе интегрируется для получения информации об амплитуде и фазе измеряемого тока

Трансформаторы тока с разъемным сердечником АТ и ТТ

Достоинства

- Бесконтактное измерение
- Переменный и импульсный ток
- Не требуют питания
- Простота использования: разъемные
- Хорошая точность
- Гальваническая изоляция

Принцип действия



Трансформатор — это статическое электрическое устройство, передающее энергию между обмотками трансформатора посредством индуктивной связи между ними. Он состоит из первичной катушки $(W_{\rm p})$ с количеством витков $N_{\rm p}$ и вторичной катушки $(W_{\rm s})$ с количеством витков $N_{\rm s}$ расположенных на одном магнитном сердечнике (C).

Изменяющийся по величине ток $I_{\rm p}$ в первичной обмотке (в данном случае первичная обмотка представляет собой первичный проводник с током, проходящий через отверстие магнитопровода: $N_{\rm p}=1$) создаёт изменяющийся магнитный поток в сердечнике трансформатора с намотанной вторичной обмоткой. Этот изменяющийся магнитный поток создаёт электродвижущую силу или напряжение $V_{\rm ind}$ во вторичной обмотке. Подключение нагрузки к вторичной обмотке приводит к протеканию тока $I_{\rm g}$ to flow. Этот компенсирующий вторичный ток $I_{\rm g}$ пропорционален первичному измеряемому току $I_{\rm p}$, так что $N_{\rm p}$, $I_{\rm p}=N_{\rm g}$, $I_{\rm g}$

Постоянная составляющая тока не измеряется и нежелательна, так как приводит к риску возникновения магнитного насыщения. Вышеописанное соотношение применимо только в пределах рабочего диапазона частот трансформатора тока.

Внимание! Не допускайте работы без подключенной нагрузки, это небезопасно.

l _{PN}	= (0.25	A	. 2 A			DR	S/	RE	U		Closed	l-loop	Fluxga	ate
						Хпри І _{РN} Т _A = 25°C			Выв	оды					
		ВИ		V _{out}	Частотный	y Y= Δ		перві	ичные	втори	ічные	닉	Ŕ		СТИ
I _{PN}	I _P	Технология	U _c V	l _{out} При I _{PN}	диапазон кГц	%	T _A °C	печатная плата	отверстие, шина,др.	печатная плата	другое	UR MIN UL	№ рисунка	Тип	Особенности
0.25	± 0.36	C/L	± 15	25 мА	DC-150 (-1dB)	0.5	+10,,,+70	•		•		•	1	LA 25-NP/SP14	
0.3	± 0.5	Fluxgate CTSR	+ 5/0	2.5 В или Vref ±1.2 В	DC-3.5 (-1dB)	1	-40+105		•	•		•	2	CTSR 0.3-P ⁵⁾	
0.3	± 0.85	Fluxgate CTSR	+ 5/0	2.5 В или Vref ± 0.7428 В	DC-9.5 (-1dB)	0.7	-40+105		•	•		•	3	CTSR 0.3-P/SP1 ⁵⁾	
0.3	± 0.5	Fluxgate CTSR	+ 5/0	2.5 В или Vref ±1.2 В	DC-3.5 (-1dB)	1	-40+105		•	•		•	4	CTSR 0.3-P/SP10 ⁵⁾	TW
0.3	± 0.85	Fluxgate CTSR	+ 5/0	2.5 В или Vref ± 0.7428 В	DC-9.5 (-1dB)	0.7	-40+105		•	•		•	5	CTSR 0.3-P/SP11 ⁵⁾	TW
0.3	± 0.5	Fluxgate CTSR	+ 5/0	2.5 В или Vref ±1.2 В	DC-3.5 (-1dB)	1	-40+105	•		•		•	6	CTSR 0.3-TP/SP4 ⁵⁾	
0.3	± 0.5	Fluxgate CTSR	+ 5/0	2.5 В или Vref ±1.2 В	DC-3.5 (-1dB)	1	-40+105	•		•		•	7	CTSR 0.3-TP/ SP14 ⁵⁾	TW
0.5	± 0.72	C/L	± 15	25 мА	DC-150 (-1dB)	0.5	-40+70	•		•		•	1	LA 25-NP/SP13	
0.6	± 0.85	Fluxgate CTSR	+ 5/0	2.5 В или Vref ± 1.4856 В	DC-9.5 (-1dB)	0.7	-40+105		•	•		•	2	CTSR 0.6-P ⁵⁾	
0.6	± 0.85	Fluxgate CTSR	+ 5/0	2.5 В или Vref ± 1.4856 В	DC-9.5 (-1dB)	0.7	-40+105		•	•		•	4	CTSR 0.6-P/SP10 ⁵⁾	TW
0.6	± 0.85	Fluxgate CTSR	+ 5/0	2.5 В или Vref ± 1.4856 В	DC-9.5 (-1dB)	0.7	-40+105	•		•		•	6	CTSR 0.6-TP/SP2 ⁵⁾	
0.6	± 0.85	Fluxgate CTSR	+ 5/0	2.5 В или Vref ± 1.4856 В	DC-9.5 (-1dB)	0.7	-40+105	•		•		•	7	CTSR 0.6- TP/ SP12 ⁵⁾	TW
1	± 1.5	C/L	± 15	25 мА	DC-150 (-1dB)	0.5	0+70	•		•		•	1	LA 25-NP/SP11	
1	± 1.7	Fluxgate CTSR	+ 5/0	2.5 В или Vref ±1.2 В	DC-9.5 (-1dB)	1	-40+105		•	•		•	2	CTSR 1-P ⁵⁾	
1.5	± 2.2	C/L	± 15	24 mA	DC-150 (-1dB)	0.5	0+70	•		•		•	1	LA 25-NP/SP9	
1.5	± 5	Fluxgate CAS	+ 5/0	2.5 В или Vref ± 0.625 В	DC-300 (+/-3dB)	0.8	-40+105	•		•		•	8	CKSR 6-NP ⁵⁾	
2	± 3	C/L	± 15	24 мА	DC-150 (-1dB)	0.5	0+70	•		•		•	1	LA 25-NP/SP8	
2	± 6.4	C/L	+ 5/0	2.5 B ± 0.625 B	DC-200 (-1dB)	0.7	-40+85	•		•		•	9	LTS 6-NP	
2	± 6.4	C/L	+ 5/0	2.5 В или Vref ± 0.625 В	DC-200 (-1dB)	0.7	-40+85	•		•		•	10	LTSR 6-NP 5)	



- 1) Малосигнальный частотный диапазон для предотвращения нагрева сердечника на высоких частотах и больших сигналах
- 5) Режимы входа/выхода опорного напряжения

I_{PN}	= 2	A	. 5 A	4	DR	S/	REU		Open-	·loop		Clos	ed-loop	Fluxgat	e
						Хпри І _{РN} Т _A = 25°C			Выв	оды					
		ВИ.		V_out	Частотный	ідпX Т _A = Д	_	перві	ичные	втори	1чные	4	ка		сти
I _{PN}	I _P	Технология	V _c	I _{out} при I _{PN}	диапазон кГц	%	T _A °C	печатная плата	отверстие, шина,др.	печатная плата	другое	UR или UL	№ рисунка	Тип	Особенности
2	± 6.67	Fluxgate CAS	+ 5/0	2.5 V±0.625 V	DC-300 (+/-3dB)	0.8	-40+85	•		•		•	11	CAS 6-NP	
2	± 6.67	Fluxgate CAS	+ 5/0	2.5V или Vref ±0.625V	DC-300 (+/-3dB)	0.8	-40+85	•		•		•	12	CASR 6-NP 5)	
2.5	± 3.6	C/L	± 15	25 mA	DC-150 (-1dB)	0.5	0+70	•		•		•	1	LA 25-NP/SP7	
2.67	± 6.67	O/L	+ 5/0	2.5V или Vref ±0.8V	DC-250 (-3dB)	1	-40+105	•		•		•	13	HO 8-NP-0000 ⁵⁾	
2.67	± 6.67	O/L	+ 5/0	2.5V или Vref ±0.8V	DC-250 (-3dB)	1	-40+105	SMD		SMD		•	14	HO 8-NSM-0000 ⁵⁾	
2.67	± 6.67	O/L	+ 3.3/0	1.65V или Vref ±0.460V	DC-250 (-3dB)	1	-40+105	•		•		•	13	HO 8-NP/SP33-1000 ⁵⁾	
2.67	± 6.67	O/L	+ 3.3/0	1.65V или Vref ±0.460V	DC-250 (-3dB)	1	-40+105	SMD		SMD		•	14	HO 8-NSM/SP33- 1000 ⁵⁾	
3	± 9	O/L	±1215	4 V	DC-50 (-3dB) 1)	2.4	-25+85	•		•		•	15	HXN 03-P	
2 x 3	2 x ± 9	O/L	± 15	2 x 4 V	DC-50 (+/-3dB) 1)	3.75	-40+85	•		•		•	16	HXD 03-P	DM
3	± 9.6	C/L	+ 5/0	2.5 V±0.625 V	DC-200 (-1dB)	0.7	-40+85	•		•		•	9	LTS 6-NP	
3	± 9.6	C/L	+ 5/0	2.5V или Vref ±0.625V	DC-200 (-1dB)	0.7	-40+85	•		•		•	10	LTSR 6-NP 5)	
3	± 10	Fluxgate CAS	+ 5/0	2.5 V±0.625 V	DC-300 (+/-3dB)	0.8	-40+85	•		•		•	11	CAS 6-NP	
3	± 10	Fluxgate CAS	+ 5/0	2.5V или Vref ±0.625V	DC-300 (+/-3dB)	0.8	-40+85	•		•		•	12	CASR 6-NP 5)	
3	± 10	Fluxgate CAS	+ 5/0	2.5V или Vref ±0.625V	DC-300 (+/-3dB)	0.8	-40+105	•		•		•	8	CKSR 6-NP ⁵⁾	
3.75	±12.75	Fluxgate CAS	+ 5/0	2.5V или Vref ±0.625V	DC-300 (+/-3dB)	0.8	-40+105	•		•		•	8	CKSR 15-NP ⁵⁾	
4	± 10	O/L	+ 5/0	2.5V или Vref ±0.8V	DC-250 (-3dB)	1	-40+105	•		•		•	13	HO 8-NP-0000 ⁵⁾	
4	± 10	O/L	+ 5/0	2.5V или Vref ±0.8V	DC-250 (-3dB)	1	-40+105	SMD		SMD		•	14	HO 8-NSM-0000 ⁵⁾	
4	± 10	O/L	+ 3.3/0	1.65V или Vref ±0.460V	DC-250 (-3dB)	1	-40+105	•		•		•	13	HO 8-NP/SP33- 1000 ⁵⁾	
4	± 10	O/L	+ 3.3/0	1.65V или Vref ±0.460V	DC-250 (-3dB)	1	-40+105	SMD		SMD		•	14	HO 8-NSM/SP33- 1000 ⁵⁾	
5	± 7	C/L	± 15	25 mA	DC-150 (-1dB)	0.5	-40+85	•		•		•	17	LA 25-NP	



I _{PN}	= 5	<i>A</i>	. 7.5	5 A	DR.	S/	REU		Oper	n-loop		Clo	sed-loo	p Fluxgat	ie
						1-1-N			Выв	оды					
		R		V_out	Частотный	Хпри I _{PN} Т _A = 25°C	_	перви	ичные	втори	14ные	4	Ка		СТИ
I _{PN}	I _P	Гехнология	U _c	out out	диапазон		T _A °C	пата	oʻ.	пата		UR или UL	№ рисунка	Тип	Особенности
^	^	66 ⊢	v	при I _{PN}	кГц	%	O	печатная плата	отверстие, шина,др.	печатная плата	другое	5	N		O
5	± 12.5	O/L	+ 5/0	2.5V или Vref ±0.8V	DC-250 (-3dB)	1	-40+105	•		•		•	13	HO 15-NP-0000 ⁵⁾	
5	± 12.5	O/L	+ 5/0	2.5V или Vref ±0.8V	DC-250 (-3dB)	1	-40+105	SMD		SMD		•	14	HO 15-NSM-0000 ⁵⁾	
5	± 12.5	O/L	+ 3.3/0	1.65V или Vref ±0.460V	DC-250 (-3dB)	1	-40+105	•		•		•	13	HO 15-NP/SP33-1000 ⁵⁾	
5	± 12.5	O/L	+ 3.3/0	1.65V или Vref ±0.460V	DC-250 (-3dB)	1	-40+105	SMD		SMD		•	14	HO 15-NSM/SP33- 1000 ⁵⁾	
5	± 15	O/L	± 1215	4 V	DC-50 (-3dB) 1)	2.4	-25+85	•		•		•	15	HXN 05-P	
2 x 5	2 x ± 15	O/L	± 15	2 x 4 V	DC-50 (+/-3dB) 1)	3.75	-40+85	•		•		•	16	HXD 05-P	DM
5	± 16	C/L	+ 5/0	2.5 V±0.625 V	DC-200 (-1dB)	0.7	-40+85	•		•		•	9	LTS 15-NP	
5	± 16	C/L	+ 5/0	2.5V или Vref ±0.625V	DC-200 (-1dB)	0.7	-40+85	•		•		•	10	LTSR 15-NP 5)	
5	± 17	Fluxgate CAS	+ 5/0	2.5 V±0.625 V	DC-300 (+/-3dB)	0.8	-40+85	•		•		•	11	CAS 15-NP	
5	± 17	Fluxgate CAS	+ 5/0	2.5V или Vref ±0.625V	DC-300 (+/-3dB)	0.8	-40+85	•		•		•	12	CASR 15-NP ⁵⁾	
6	± 9	C/L	± 15	24 mA	DC-150 (-1dB)	0.5	-40+85	•		•		•	17	LA 25-NP	
6	± 19.2	C/L	+ 5/0	2.5 V±0.625 V	DC-200 (-1dB)	0.7	-40+85	•		•		•	9	LTS 6-NP	
6	± 19.2	C/L	+ 5/0	2.5V или Vref ±0.625V	DC-200 (-1dB)	0.7	-40+85	•		•		•	10	LTSR 6-NP 5)	
6	± 20	Fluxgate CAS	+ 5/0	2.5 V±0.625 V	DC-300 (+/-3dB)	0.8	-40+85	•		•		•	11	CAS 6-NP	
6	± 20	Fluxgate CAS	+ 5/0	2.5V или Vref ±0.625V	DC-300 (+/-3dB)	0.8	-40+85	•		•		•	12	CASR 6-NP ⁵⁾	
6	± 20	Fluxgate CAS	+ 5/0	2.5V или Vref ±0.625V	DC-300 (+/-3dB)	0.8	-40+105	•		•		•	8	CKSR 6-NP ⁵⁾	
6.25	± 21.25	Fluxgate CAS	+ 5/0	2.5V или Vref ±0.625V	DC-300 (+/-3dB)	0.8	-40+105	•		•		•	8	CKSR 25-NP ⁵⁾	
7	± 14	C/L	± 15	35 mA	DC-150 (-1dB)	0.5	-25+70	•		•		•	17	LA 35-NP	
7.5	± 18.75	O/L	+ 5/0	2.5V или Vref ±0.8V	DC-250 (-3dB)	1	-40+105	•		•		•	13	HO 15-NP-0000 ⁵⁾	
7.5	± 18.75	O/L	+ 5/0	2.5V или Vref ±0.8V	DC-250 (-3dB)	1	-40+105	SMD		SMD		•	14	HO 15-NSM-0000 ⁵⁾	
7.5	± 18.75	O/L	+ 3.3/0	1.65V или Vref ±0.460V	DC-250 (-3dB)	1	-40+105	•		•		•	13	HO 15-NP/SP33-1000 ⁵⁾	
7.5	± 18.75	O/L	+ 3.3/0	1.65V или Vref ±0.460V	DC-250 (-3dB)	1	-40+105	SMD		SMD		•	14	HO 15-NSM/SP33- 1000 ⁵⁾	



I _{PN}	= 7.	.5 A	8	3.34 A	DI	RS/	REU		Oper	n-loop		CI	osed-lo	pop Fluxgat	ie
						1 PN 25°C			Выв	оды					
I _{PN}	l _P	погия	U _c	V _{out} I _{out}	Частотный диапазон	Хпри I _{PN} Т _A = 25°C	T _A	перви	ічные	втори	ічные	IN UL	рисунка	_	ности
А	А	Технология	V	^{out} при I _{PN}	кГц	%	°C	печатная плата	отверстие, шина,др.	печатная плата	другое	UR или UL	Nº puc	Тип	Особенности
7.5	± 24	C/L	+ 5/0	2.5 V±0.625 V	DC-200 (-1dB)	0.7	-40+85	•		•		•	9	LTS 15-NP	
7.5	± 24	C/L	+ 5/0	2.5V или Vref ±0.625V	DC-200 (-1dB)	0.7	-40+85	•		•		•	10	LTSR 15-NP ⁵⁾	
7.5	± 25.5	Fluxgate CAS	+ 5/0	2.5 V±0.625 V	DC-300 (+/-3dB)	0.8	-40+85	•		•		•	11	CAS 15-NP	
7.5	± 25.5	Fluxgate CAS	+ 5/0	2.5V или Vref ±0.625V	DC-300 (+/-3dB)	0.8	-40+85	•		•		•	12	CASR 15-NP 5)	
7.5	± 25.5	Fluxgate CAS	+ 5/0	2.5V или Vref ±0.625V	DC-300 (+/-3dB)	0.8	-40+105	•		•		•	8	CKSR 15-NP ⁵⁾	
8	± 12	C/L	± 15	24 mA	DC-150 (-1dB)	0.5	-40+85	•		•		•	17	LA 25-NP	
8	± 16	C/L	± 15	32 mA	DC-150 (-1dB)	0.5	-25+70	•		•		•	17	LA 35-NP	
8	± 18	C/L	± 1215	24 mA	DC-200 (-1dB)	0.4	-25+85	•		•		•	18	LAH 25-NP	
8	± 20	O/L	+ 5/0	2.5V или Vref ±0.8V	DC-250 (-3dB)	1	-40+105	•		•		•	13	HO 8-NP-0000 ⁵⁾	
8	± 20	O/L	+ 5/0	2.5V или Vref ±0.8V	DC-250 (-3dB)	1	-40+105	SMD		SMD		•	14	HO 8-NSM-0000 ⁵⁾	
8	± 20	O/L	+ 3.3/0	1.65V или Vref ±0.460V	DC-250 (-3dB)	1	-40+105	•		•		•	13	HO 8-NP/ SP33-1000 ⁵⁾	
8	± 20	O/L	+ 3.3/0	1.65V или Vref ±0.460V	DC-250 (-3dB)	1	-40+105	SMD		SMD		•	14	HO 8-NSM/SP33-1000 ⁵⁾	
8.33	± 16.66	C/L	+ 5/0	12.5 mA	DC-300 (-1dB)	0.7	-40+85	•		•		•	19	LTSP 25-NP	
8.33	± 20.83	O/L	+ 5/0	2.5V или Vref ±0.8V	DC-250 (-3dB)	1	-40+105	•		•		•	13	HO 25-NP-0000 ⁵⁾	
8.33	± 20.83	O/L	+ 5/0	2.5V или Vref ±0.8V	DC-250 (-3dB)	1	-40+105	SMD		SMD		•	14	HO 25-NSM-0000 ⁵⁾	
8.33	± 20.83	O/L	+ 3.3/0	1.65V или Vref ±0.460V	DC-250 (-3dB)	1	-40+105	•		•		•	13	HO 25-NP/SP33-1000 ⁵⁾	
8.33	± 20.83	O/L	+ 3.3/0	1.65V или Vref ±0.460V	DC-250 (-3dB)	1	-40+105	SMD		SMD		•	14	HO 25-NSM/SP33-1000 ⁵⁾	
8.34	± 26.67	C/L	+ 5/0	2.5 V±0.625 V	DC-200 (-1dB)	0.7	-40+85	•		•		•	9	LTS 25-NP	
8.34	± 26.67	C/L	+ 5/0	2.5V или Vref ±0.625V	DC-200 (-1dB)	0.7	-40+85	•		•		•	10	LTSR 25-NP 5)	
8.34	± 28.34	Fluxgate CAS	+ 5/0	2.5 V±0.625 V	DC-300 (+/-3dB)	0.8	-40+85	•		•		•	11	CAS 25-NP	
8.34	± 28.34	Fluxgate CAS	+ 5/0	2.5V или Vref ±0.625V	DC-300 (+/-3dB)	0.8	-40+85	•		•		•	12	CASR 25-NP ⁵⁾	



<u>Примечания:</u>

- 1) Малосигнальный частотный диапазон для предотвращения нагрева сердечника на высоких частотах и больших сигналах
- 5) Режимы входа/выхода опорного напряжения

DM = два канала измерения

Техпаспорта являются единственными официальными документами на датчики и находятся на сайте: www.lem.com

I _{PN}	= 1	0 A	1	2.5 A	DR	S/	REU		Open-lo	ор		Closed	-loop	Fluxga	ate
									Выв	оды					
		ВИГ		V_out	Частотный	Хпри I _{PN} Т _A = 25°C	_	перви	ічные	втори	чные	П	тка		ости
A	I _P	Технология	V V	I _{out} при I _{PN}	диапазон кГц	%	°C	печатная плата	отверстие, шина,др.	печатная плата	другое	UR или UL	№ рисунка	Тип	Особенности
10	± 25	O/L	+ 5/0	2.5V или Vref ±0.8V	DC-240 (-3dB)	1	-40+105	•		•			20	HLSR 10-P 5)	
10	± 25	O/L	+ 5/0	2.5V или Vref ±0.8V	DC-240 (-3dB)	1	-40+105	SMD		SMD			21	HLSR 10-SM ⁵⁾	
10	± 25	O/L	+ 3.3/0	1.65V или Vref ±0.460V	DC-240 (-3dB)	1	-40+105	•		•			20	HLSR 10-P/SP33	
10	± 25	O/L	+ 3.3/0	1.65V или Vref ±0.460V	DC-240 (-3dB)	1	-40+105	SMD		SMD			21	HLSR 10-SM/ SP33 ⁵⁾	
10	± 30	O/L	± 1215	4 V	DC-50 (-3dB) 1)	2.4	-25+85	•		•		•	15	HXN 10-P	
2 x 10	2 x ± 30	O/L	± 15	2 x 4 V	DC-50 (+/-3dB) 1)	3.75	-40+85	•		•			16	HXD 10-P	DM
11	± 22	C/L	± 15	33 mA	DC-150 (-1dB)	0.5	-25+70	•		•		•	17	LA 35-NP	
12	± 18	C/L	± 15	24 mA	DC-150 (-1dB)	0.5	-40+85	•		•		•	17	LA 25-NP	
12	± 27	C/L	± 1215	24 mA	DC-200 (-1dB)	0.4	-25+85	•		•		•	18	LAH 25-NP	
12.5	± 25	C/L	+ 5/0	12.5 mA	DC-300 (-1dB)	0.7	-40+85	•		•		•	19	LTSP 25-NP	
12.5	± 31.25	O/L	+ 5/0	2.5V или Vref ±0.8V	DC-250 (-3dB)	1	-40+105	•		•		•	13	HO 25-NP-0000 ⁵⁾	
12.5	± 31.25	O/L	+ 5/0	2.5V или Vref ±0.8V	DC-250 (-3dB)	1	-40+105	SMD		SMD		•	14	HO 25-NSM- 0000 ⁵⁾	
12.5	± 31.25	O/L	+ 3.3/0	1.65V или Vref ±0.460V	DC-250 (-3dB)	1	-40+105	•		•		•	13	HO 25-NP/SP33- 1000 ⁵⁾	
12.5	± 31.25	O/L	+ 3.3/0	1.65V или Vref ±0.460V	DC-250 (-3dB)	1	-40+105	SMD		SMD		•	14	HO 25-NSM/ SP33-1000 ⁵⁾	
12.5	± 37.5	Fluxgate CAS	+ 5/0	2.5V или Vref ±0.625V	DC-300 (+/-3dB)	0.8	-40+105	•		•		•	8	CKSR 50-NP ⁵⁾	
12.5	± 40	C/L	+ 5/0	2.5 V±0.625 V	DC-200 (-1dB)	0.7	-40+85	•		•		•	9	LTS 25-NP	
12.5	± 40	C/L	+ 5/0	2.5V или Vref ±0.625V	DC-200 (-1dB)	0.7	-40+85	•		•		•	10	LTSR 25-NP 5)	
12.5	± 42.5	Fluxgate CAS	+ 5/0	2.5 V±0.625 V	DC-300 (+/-3dB)	0.8	-40+85	•		•		•	11	CAS 25-NP	
12.5	± 42.5	Fluxgate CAS	+ 5/0	2.5V или Vref ±0.625V	DC-300 (+/-3dB)	0.8	-40+85	•		•		•	12	CASR 25-NP ⁵⁾	
12.5	± 42.5	Fluxgate CAS	+ 5/0	2.5V или Vref ±0.625V	DC-300 (+/-3dB)	0.8	-40+105	•		•		•	8	CKSR 25-NP ⁵⁾	



I _{PN}	= 15	5 A	20	A	DR	S / F	REU		Open-lo	оор		Close	d-loop	Fluxga	ate
									Выв	оды					
I _{PN}	I _P	логия	U _c	V _{out} I _{out}	Частотный диапазон	Хпри І _{РN} Т _A = 25°С	T _A	перви	ичные	втори	ічные	ıи UL	рисунка	_	Особенности
A	А	Технология	V	при I _{PN}	кГц	%	°C	печатная плата	отверстие, шина,др.	печатная плата	другое	UR или UL	Nº pud	Тип	Особен
15	± 37.5	O/L	+ 5/0	2.5V или Vref ±0.8V	DC-250 (-3dB)	1	-40+105	•		•		•	13	HO 15-NP-0000 ⁵⁾	
15	± 37.5	O/L	+ 5/0	2.5V или Vref ±0.8V	DC-250 (-3dB)	1	-40+105	SMD		SMD		•	14	HO 15-NSM-0000 ⁵⁾	
15	± 37.5	O/L	+ 3.3/0	1.65V или Vref ±0.460V	DC-250 (-3dB)	1	-40+105	•		•		•	13	HO 15-NP/SP33- 1000 ⁵⁾	
15	± 37.5	O/L	+ 3.3/0	1.65V или Vref ±0.460V	DC-250 (-3dB)	1	-40+105	SMD		SMD		•	14	HO 15-NSM/SP33- 1000 ⁵⁾	
15	± 45	O/L	± 1215	4 V	DC-50 (-3dB) 1)	2.4	-25+85	•		•		•	15	HXN 15-P	
2 x 15	2 x ± 45	O/L	± 15	2 x 4 V	DC-50 (+/-3dB) 1)	3.75	-40+85	•		•			16	HXD 15-P	DM
15	± 48	C/L	+ 5/0	2.5 V±0.625 V	DC-200 (-1dB)	0.7	-40+85	•		•		•	9	LTS 15-NP	
15	± 48	C/L	+ 5/0	2.5V или Vref ±0.625V	DC-200 (-1dB)	0.7	-40+85	•		•		•	10	LTSR 15-NP 5)	
15	± 51	Fluxgate CAS	+ 5/0	2.5 V±0.625 V	DC-300 (+/-3dB)	0.8	-40+85	•		•		•	11	CAS 15-NP	
15	± 51	Fluxgate CAS	+ 5/0	2.5V или Vref ±0.625V	DC-300 (+/-3dB)	0.8	-40+85	•		•		•	12	CASR 15-NP ⁵⁾	
15	± 51	Fluxgate CAS	+ 5/0	2.5V или Vref ±0.625V	DC-300 (+/-3dB)	0.8	-40+105	•		•		•	8	CKSR 15-NP 5)	
16.67	± 50	Fluxgate CAS	+ 5/0	2.5 V±0.625 V	DC-300 (+/-3dB)	0.8	-40+85	•		•		•	11	CAS 50-NP	
16.67	± 50	Fluxgate CAS	+ 5/0	2.5V или Vref ±0.625V	DC-300 (+/-3dB)	0.8	-40+85	•		•		•	12	CASR 50-NP ⁵⁾	
17	± 34	C/L	± 15	34 mA	DC-150 (-1dB)	0.5	-25+70	•		•		•	17	LA 35-NP	
20	± 50	O/L	+ 5/0	2.5V или Vref ±0.8V	DC-240 (-3dB)	1	-40+105	•		•			20	HLSR 20-P 5)	
20	± 50	O/L	+ 5/0	2.5V или Vref ±0.8V	DC-240 (-3dB)	1	-40+105	SMD		SMD			21	HLSR 20-SM ⁵⁾	
20	± 50	O/L	+ 3.3/0	1.65V или Vref ±0.460V	DC-240 (-3dB)	1	-40+105	•		•			20	HLSR 20-P/SP33 5)	
20	± 50	O/L	+ 3.3/0	1.65V или Vref ±0.460V	DC-240 (-3dB)	1	-40+105	SMD		SMD			21	HLSR 20-SM/ SP33 ⁵⁾	
20	± 60	O/L	± 1215	4 V	DC-50 (-3dB) 1)	2.4	-25+85	•		•		•	15	HXN 20-P	
2 x 20	2 x ± 60	O/L	± 15	2 x 4 V	DC-50 (+/-3dB) 1)	3.75	-40+85	•		•			16	HXD 20-P	DM



- 1) Малосигнальный частотный диапазон для предотвращения нагрева сердечника на высоких частотах и больших сигналах
- 5) Режимы входа/выхода опорного напряжения

DM = два канала измерения

l _{PN} =	= 2.6	57	A	. 25 A							L)R	<u>s /</u>	REU Open-loc	op
						Хпри І _{РN} Т _A = 25°C			Выв	оды					
I _{PN}	l _P	ехнология	U _c	V _{out} I _{out}	Частотный диапазон	ıdυX T _A =	T _A	перви	ичные	втори	чные	или UL	рисунка	Тип	Особенности
A	Α	Техі	V	при I _{PN}	кГц	%	°C	печатная плата	отверстие, шина,др.	печатная плата	другое	UR	Nº S		OcoC
2.67 ; 5 ; 8.33	± 6.67; ± 12.5; ± 20.83	O/L	+ 5/0	2.5; 1.65; 1.5; 0.5 V или Vref ±0.8V	DC-100 ; 250 ; 600 (-3dB)	1	-40+105	•		•		•	13	НО 25-NPPR ⁵) Оранжевый – значение по умолчанию	Р
4;7.5; 12.5	± 10; ± 18.75; ± 31.25	O/L	+ 5/0	2.5; 1.65; 1.5; 0.5 V или Vref ±0.8V	DC-100 ; 250 ; 600 (-3dB)	1	-40+105	•		•		•	13	НО 25-NPPR ⁵⁾ Оранжевый – значение по умолчанию	Р
8;15; 25	± 20; ± 37.5; ± 62.5	O/L	+ 5/0	2.5 ; 1.65 ; 1.5 ; 0.5 V или Vref ±0.8V	DC-100 ; 250 ; 600 (-3dB)	1	-40+105	•		•		•	13	НО 25-NPPR ⁵⁾ Оранжевый – значение по умолчанию	Р
2.67 ; 5 ; 8.33	± 6.67; ± 12.5; ± 20.83	O/L	+ 5/0	2.5 ; 1.65 ; 1.5 ; 0.5 V или Vref ±0.8V	DC-100 ; 250 ; 600 (-3dB)	1	-40+105	SMD		SMD		•	14	HO 25-NSMPR⁵) Оранжевый – значение по умолчанию	Р
4;7.5; 12.5	± 10; ± 18.75; ± 31.25	O/L	+ 5/0	2.5 ; 1.65 ; 1.5 ; 0.5 V или Vref ±0.8V	DC-100 ; 250 ; 600 (-3dB)	1	-40+105	SMD		SMD		•	14	HO 25-NSMPR ⁵⁾ Оранжевый – значение по умолчанию	Р
8;15; 25	± 20; ± 37.5; ± 62.5	O/L	+ 5/0	2.5 ; 1.65 ; 1.5 ; 0.5 V или Vref ±0.8V	DC-100 ; 250 ; 600 (-3dB)	1	-40+105	SMD		SMD		•	14	HO 25-NSMPR ⁵⁾ Оранжевый – значение по умолчанию	Р
2.67 ; 5 ; 8.33	± 6.67; ± 12.5; ± 20.83	O/L	+ 3.3/0	2.5 ; 1.65 ; 1.5 ; 0.5 V или Vref ±0.460V	DC-100 ; 250 ; 600 (-3dB)	1	-40+105	•		•		•	13	HO 25-NPPR/SP33 ⁵⁾ Оранжевый – значение по умолчанию	Р
4;7.5; 12.5	± 10; ± 18.75; ± 31.25	O/L	+ 3.3/0	2.5 ; 1.65 ; 1.5 ; 0.5 V или Vref ±0.460V	DC-100 ; 250 ; 600 (-3dB)	1	-40+105	•		•		•	13	HO 25-NPPR/SP33 ⁵⁾ Оранжевый – значение по умолчанию	Р
8;15; 25	± 20; ± 37.5; ± 62.5	O/L	+ 3.3/0	2.5 ; 1.65 ; 1.5 ; 0.5 V или Vref ±0.460V	DC-100 ; 250 ; 600 (-3dB)	1	-40+105	•		•		•	13	HO 25-NPPR/SP33 ⁵⁾ Оранжевый – значение по умолчанию	Р
2.67 ; 5 ; 8.33	± 6.67; ± 12.5; ± 20.83	O/L	+ 3.3/0	2.5 ; 1.65 ; 1.5 ; 0.5 V или Vref ±0.460V	DC-100 ; 250 ; 600 (-3dB)	1	-40+105	SMD		SMD		•	14	НО 25-NSMPR/SP33 ⁵⁾ Оранжевый – по умолчанию	Р
4;7.5; 12.5	± 10; ± 18.75; ± 31.25	O/L	+ 3.3/0	2.5 ; 1.65 ; 1.5 ; 0.5 V или Vref ±0.460V	DC-100 ; 250 ; 600 (-3dB)	1	-40+105	SMD		SMD		•	14	НО 25-NSMPR/SP33 ⁵⁾ Оранжевый – по умолчанию	Р
8;15; 25	± 20; ± 37.5; ± 62.5	O/L	+ 3.3/0	2.5 ; 1.65 ; 1.5 ; 0.5 V или Vref ±0.460V	DC-100 ; 250 ; 600 (-3dB)	1	-40+105	SMD		SMD		•	14	НО 25-NSMPR/SP33 ⁵⁾ Оранжевый – по умолчанию	Р



5) Режимы входа/выхода опорного напряжения

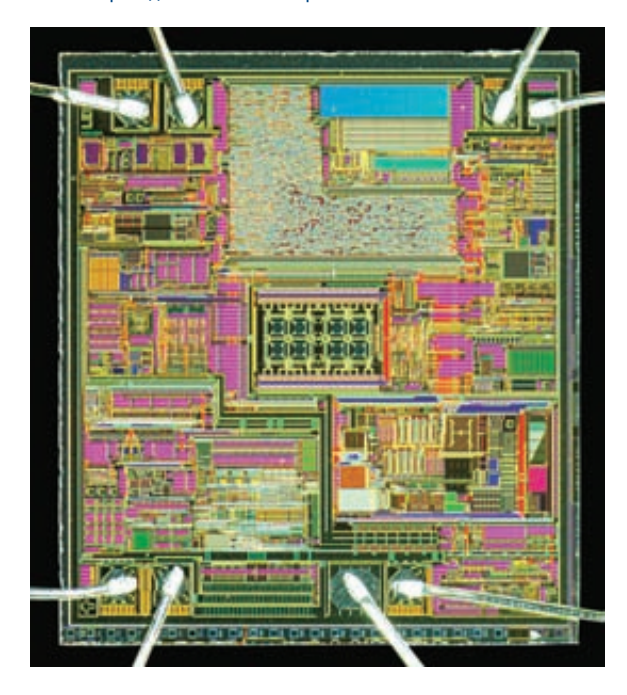
P = программирование пользователем в любой момент: диапазона тока (выбор из трёх диапазонов); внутреннего опорного напряжения (выбор из 4 значений); времени отклика (выбор из 3 значений); режима низкого потребления; уровня обнаружения перегрузки по току; режима индикации неисправности прибора; режима ожидания
Техпаспорта являются единственными официальными документами на датчики и находятся на сайте: www.lem.com

СЕРИЯ НО

Датчики тока на современной специализированной ИС ASIC с дополнительными интерлектуальными и интерактивными функциями

Любой менеджер по логистике по достоинству оценит одно комплектующее изделие, которое закрывает сразу несколько позиций в перечне деталей; в случае датчика тока мы можем говорить об одном типе датчика, который покрывает потребность сразу в нескольких диапазонах тока, имеет различные значения времени отклика, а также несколько вариантов напряжения встроенного источника опорного напряжения – и всё это программируется пользователем. Достижение такой универсальности, наряду с оптимизацией стоимости и уменьшением размера, а также улучшением эксплуатационных характеристик было главной целью команды инженеров компании ЛЕМ при разработке.

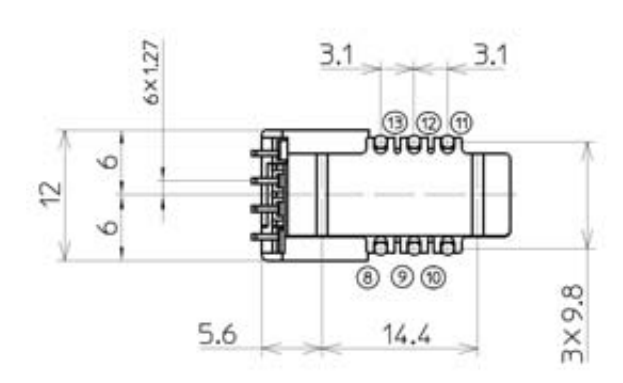
Особое внимание было сосредоточено на разработке новой специализированной интегральной микросхемы (ASIC) для достижения данных целей, что в итоге привело к появлению нового поколения ИС ASIC для датчиков тока прямого усиления на эффекте Холла, и разработке новой серии датчиков НО с применением этой ИС.



Новый кристалл ASIC, представляющий собой датчик тока прямого усиления на эффекте Холла на одном чипе.

Имея в основе данную ИС ASIC, разработана серия датчиков НО для измерений номинальных токов от 2.67 A_{RMS} до 25 A_{RMS} с девятью возможными диапазонами тока, выбираемыми либо посредством цифрового программирования, либо посредством выбора схемной конфигурации печатной платы. В таблице представлены различные возможные значения номинального тока для датчика НО 25-NPPR/-NSMPR в зависимости от способа соединения первичных шин на печатной плате.

		Первичный ток	
Количество первичных витков	Диапазон 1 I _{PN} = 8 A	Диапазон 2 I _{PN} = 15 A	Диапазон 3 I _{PN} = 25 A
1	8 A	15 A	25 A
2	4 A	7.5 A	12.5 A
3	2.67 A	5 A	8.33 A



Количество первичных витков	Рекомендуемое соединение	
1	13 12 11 O	UT
2	13 12 11 OL	JΤ
3	13 12 11 OL	IΤ

Рекомендуемое соединение на печатной плате

СЕРИЯ НО

Основные преимущества серии НО

- \cdot Три программируемых диапазона тока: 8 A_{RMS} , 15 A_{RMS} , 25 A_{RMS} (25 A_{RMS} значение по умолчанию)
- · Широкий диапазон программируемых функций, включая энергосберегающий режим, режим ожидания и контроль ЭСППЗУ (сообщения о неисправностях)
- Однополярное питание + 3.3В или + 5В (две различные версии НО)
- · Начальный ток смещения и дрейф усиления в два раза ниже, чем в предыдущем поколении
- Программируемая функция обнаружения перегрузки по току (OCD) с выходом на отдельный контакт; пользователь может выбрать путем программирования один из 16 уровней порога срабатывания OCD вплоть до 5.8 х $I_{\rm pN}$. Время срабатывания выхода OCD с логической единицы +5 В до логического нуля 0 В составляет 2 µs. Порог перегрузки по току определяется с 10% точностью; в случае необходимости пользователь может установить минимальную длительность импульса выходного сигнала OCD на значение 1 мс, с целью обеспечения обнаружения кратковременных перегрузок внешним микроконтроллером.
- Программируемое время отклика (от 2 до 6 µs) посредством выбора частоты среза выходного фильтра НЧ
- · Четыре программируемых значения внутреннего опорного напряжения: 2.5, 1.65, 1.5 или 0.5 В (для напряжения питания + 5 В)
- · Возможность использования внешнего источника опорного напряжения от 0.5 до 2.65 В (для питания + 5 В)
- . Диапазон измерений до 2.5 х $I_{\rm PN}$
- · Диапазон рабочих температур от -40 до +105 °C
- Высокая точность: погрешность 1% от I_{PN} при +25° и 2.9% от I_{PN} при +85 °C
- Величина воздушного зазора и длины пути утечки: 8 мм + сравнительный показатель пробоя 600 В
- · Небольшие размеры устройства: 12 (Ш) x 23 (Д) x 12 (В) мм
- Существуют также варианты конструкции со сквозным отверстием и для поверхностного монтажа

Основные параметры серии HO 25-NPPR/-NSMPR

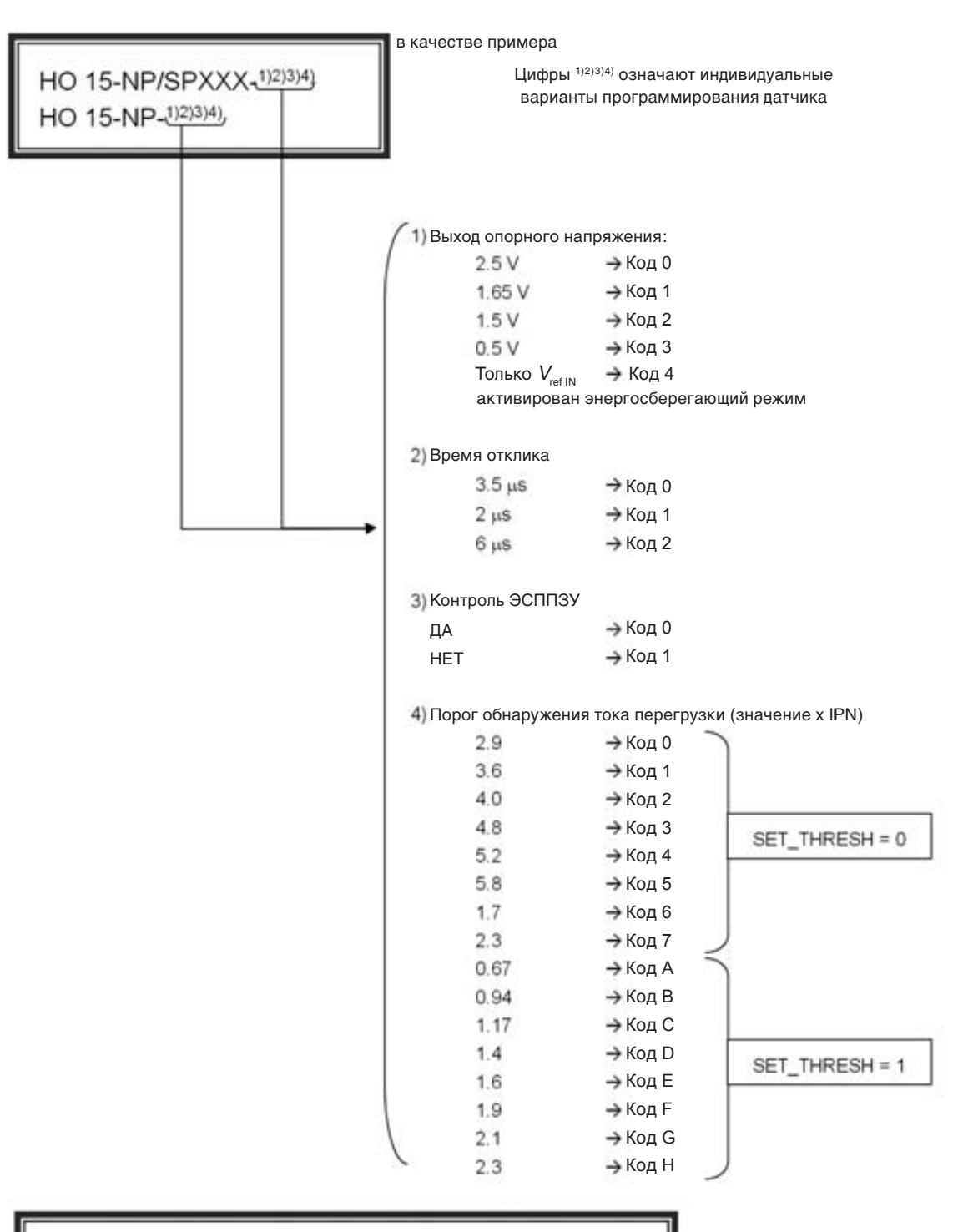
Программируемый номинальный ток $I_{\mathrm{PN}}\left(\mathbf{A}_{\mathrm{RMS}}\right)$	8 или 15 или 25	Погрешность при +25 °C (% I _{PN})	1
Диапазон измерения I _{РМ} (A)	+/- 2.5 x I _{PN}	Погрешность при +105 °C (% I _{PN})	3.8
Ошибка нелинейности (% I _{PN})	0.5	Программируемое напряжение внутреннего источника опорного напряжения $V_{\mathrm{Ref}\;\mathrm{OUT}}(\mathrm{B})$	0.5 / 1.5 / 1.65 / 2.5
Напряжение питания (В)	+3.3 или + 5 (+/-10 %)	Частотный диапазон (кГц) (3 дБ)	DC100 до 600
Аналоговое выходное напряжение (В) при I _{PN}	0.8	Дрейф начального смещения (мВ/К)	+/-0.095
Программируемое время отклика при 90% I_{PN} tr (us)	2 - 3.5 - 6	Дрейф коэффициента усиления (ppm/K)	+/- 220

Пользователи могут перепрограммировать датчики НО посредством подключения их к микроконтроллеру: когда на выводе VRef принудительно устанавливается напряжение питания, выходной контакт становится портом ввода/вывода однопроводной шины интерфейса. Через этот интерфейс передаются последовательные данные в виде 12-разрядных слов, содержащих выбор конфигурации пользователя, например: номинальный ток, напряжение встроенного источника опорного напряжения, порог срабатывания детектора перегрузки по току. Данные пересылаются через данный интерфейс датчику со скоростью 10 кбит/с, а программирование занимает всего несколько сотен миллисекунд. Программирование можно осуществить в любое время, поэтому параметры датчика серии НО могут быть перенастроены, даже во время эксплуатации устройства.

Тем пользователям, которым необходимы датчики, уже запрограммированные на один набор эксплуатационных параметров, компания ЛЕМ предлагает модели, параметры которых уже предустановлены на заводе.

СЕРИЯ НО

Обозначение датчиков серии НО



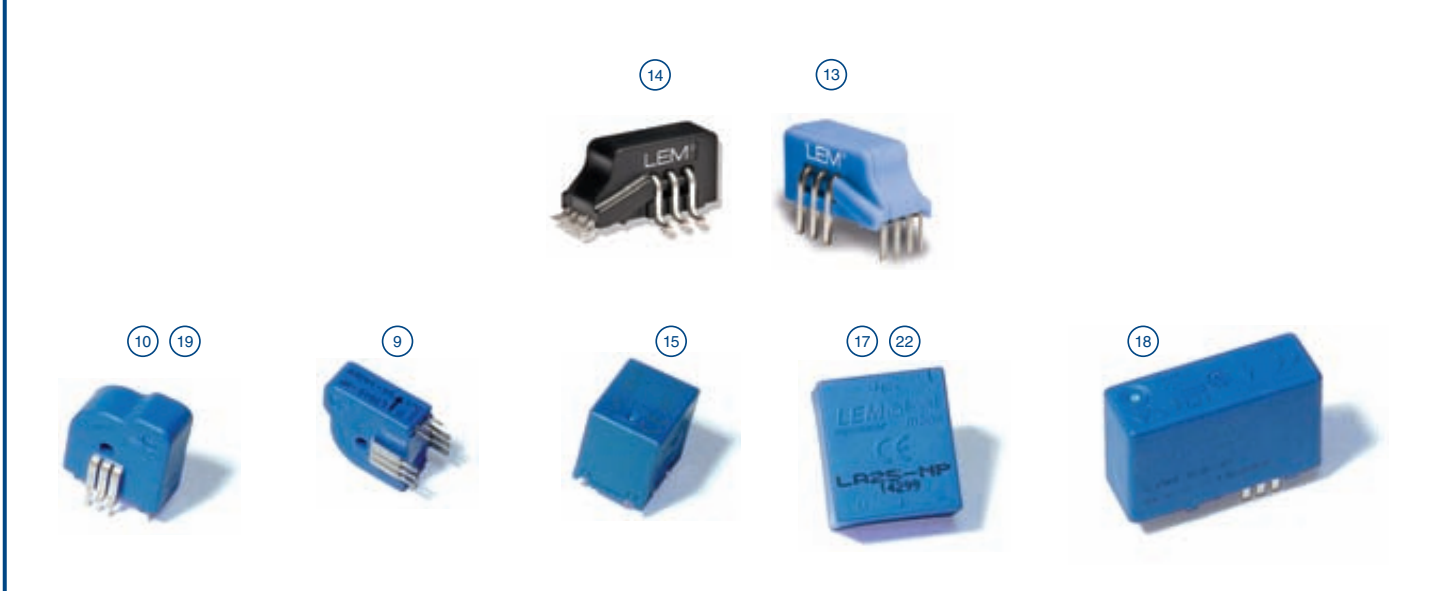
```
HO 15-NP/SP33-^{1(2)(3)(4)} → + 3.3 V напряжение питания + 3.3 В НО 15-NP-^{1(2)(3)(4)} → + 5 V напряжение питания + 5 В
```

В качестве примера:

HO 25-NP-0000:

- \cdot Первая цифра = 0 \to Опорное напряжение = 2.5В \cdot Вторая цифра = 0 \to Время отклика = 3.5 μ c \cdot Третья цифра = 0 \to Контроль ЭСППЗУ = ДА
- · Четвёртая цифра = 0 \rightarrow Порог обнаружения тока перегрузки = 2.9 х $I_{\rm PN}$

l _{PN}	= 2	5 A	4	10 A	DF	RS/	REU		Oper	ı-loop		Clos	ed-loop	Fluxgate	e
						Хпри І _{рN} Т _A = 25°C			Выв	оды					
I _{PN}	l _p	огия	U _c	Vout	Частотный	Хпр _і	T _A	перви	чные	втори	чные	, UL	рисунка		ности
A	A	Технология	V	I _{out} при I _{PN}	диапазон кГц	%	°C	печатная плата	отверстие, шина,др.	печатная плата	другое	UR или UL	Nº pucy	Тип	Особенности
25	± 36	C/L	± 15	25 mA	DC-150 (-1dB)	0.5	-40+85	•		•		•	17	LA 25-NP	
25	± 36	C/L	± 15	25 mA	DC-150 (-1dB)	0.5	-40+85	•		•		•	22	LA 25-NP/SP25	LP
25	± 50	C/L	+ 5/0	12.5 mA	DC-300 (-1dB)	0.7	-40+85	•		•		•	19	LTSP 25-NP	
25	± 55	C/L	± 1215	25 mA	DC-200 (-1dB)	0.4	-25+85	•		•		•	18	LAH 25-NP	
25	± 62.5	O/L	+ 5/0	2.5V или Vref ±0.8V	DC-250 (-3dB)	1	-40+105	•		•		•	13	HO 25-NP-0000 ⁵⁾	
25	± 62.5	O/L	+ 5/0	2.5V или Vref ±0.8V	DC-250 (-3dB)	1	-40+105	SMD		SMD		•	14	HO 25-NSM-0000 ⁵⁾	
25	± 62.5	O/L	+ 3.3/0	1.65V или Vref ±0.460V	DC-250 (-3dB)	1	-40+105	•		•		•	13	HO 25-NP/SP33-1000 ⁵⁾	
25	± 62.5	O/L	+ 3.3/0	1.65V или Vref ±0.460V	DC-250 (-3dB)	1	-40+105	SMD		SMD		•	14	HO 25-NSM/SP33- 1000 ⁵⁾	
25	± 75	O/L	± 1215	4 V	DC-50 (-3dB) 1)	2.4	-25+85	•		•		•	15	HXN 25-P	
2 x 25	2 x ± 75	O/L	± 15	2 x 4 V	DC-50 (+/-3dB) 1)	3.75	-40+85	•		•			16	HXD 25-P	DM
3 x 25	3 x ± 75	O/L	± 1215	3 x 4 V	DC-10 (-3dB) 1)	4.85	-10+75		•	•		•	23	HTT 25-P	ТМ
25	± 80	C/L	+ 5/0	2.5 V±0.625 V	DC-200 (-1dB)	0.7	-40+85	•		•		•	9	LTS 25-NP	
25	± 80	C/L	+ 5/0	2.5V или Vref ±0.625V	DC-200 (-1dB)	0.7	-40+85	•		•		•	10	LTSR 25-NP 5)	
25	± 85	Fluxgate CAS	+ 5/0	2.5 V±0.625 V	DC-300 (+/-3dB)	0.8	-40+85	•		•		•	11	CAS 25-NP	



<u>Примечания:</u>

- 1) Малосигнальный частотный диапазон для предотвращения нагрева сердечника на высоких частотах и больших сигналах
- 5) Режимы входа/выхода опорного напряжения

I _{PN}	= 2	5 A	4	10 A	DF	RS/	REU		Open-	·loop		Clos	sed-loop	Fluxgate)
I _{PN}	l _P	Технология	U _c	V _{out} I _{out}	Частотный диапазон	Хпри I _{pN} T _A = 25°C	T _A	перви	Выв ичные	<u>'''</u>	1чные	UR или UL	№ рисунка	7.00	Особенности
Α	А	Техно	٧	при I _{PN}	кГц	%	°C	печатная плата	отверстие, шина,др.	печатная плата	другое	URM	иd _ē N	Тип	Особе
25	± 85	Fluxgate CAS	+ 5/0	2.5V или Vref ±0.625V	DC-300 (+/-3dB)	0.8	-40+85	•		•		•	12	CASR 25-NP ⁵⁾	
25	± 85	Fluxgate CAS	+ 5/0	2.5V или Vref ±0.625V	DC-300 (+/-3dB)	0.8	-40+105	•		•		•	8	CKSR 25-NP ⁵⁾	
25	± 75	Fluxgate CAS	+ 5/0	2.5 V±0.625 V	DC-300 (+/-3dB)	0.8	-40+85	•		•		•	11	CAS 50-NP	
25	± 75	Fluxgate CAS	+ 5/0	2.5V или Vref ±0.625V	DC-300 (+/-3dB)	0.8	-40+85	•		•		•	12	CASR 50-NP ⁵⁾	
25	± 75	Fluxgate CAS	+ 5/0	2.5V или Vref ±0.625V	DC-300 (+/-3dB)	0.8	-40+105	•		•		•	8	CKSR 50-NP ⁵⁾	
32	± 80	O/L	+ 5/0	2.5V или Vref ±0.8V	DC-240 (-3dB)	1	-40+105	•		•			20	HLSR 32-P ⁵⁾	
32	± 80	O/L	+ 5/0	2.5V или Vref ±0.8V	DC-240 (-3dB)	1	-40+105	SMD		SMD			21	HLSR 32-SM ⁵⁾	
32	± 80	O/L	+ 3.3/0	1.65V или Vref ±0.460V	DC-240 (-3dB)	1	-40+105	•		•			20	HLSR 32-P/SP33 ⁵⁾	
32	± 80	O/L	+ 3.3/0	1.65V или Vref ±0.460V	DC-240 (-3dB)	1	-40+105	SMD		SMD			21	HLSR 32-SM/SP33 ⁵⁾	
35	± 70	C/L	± 15	35 mA	DC-150 (-1dB)	0.5	-25+70	•		•		•	17	LA 35-NP	
40	± 100	O/L	+ 5/0	2.5V или Vref ±0.8V	DC-240 (-3dB)	1	-40+105	•		•			20	HLSR 40-P ⁵⁾	
40	± 100	O/L	+ 5/0	2.5V или Vref ±0.8V	DC-240 (-3dB)	1	-40+105	SMD		SMD			21	HLSR 40-SM ⁵⁾	
40	± 100	O/L	+ 3.3/0	1.65V или Vref ±0.460V	DC-240 (-3dB)	1	-40+105	•		•			20	HLSR 40-P/SP33 ⁵⁾	
40	± 100	O/L	+ 3.3/0	1.65V или Vref ±0.460V	DC-240 (-3dB)	1	-40+105	SMD		SMD			21	HLSR 40-SM/SP33 ⁵⁾	



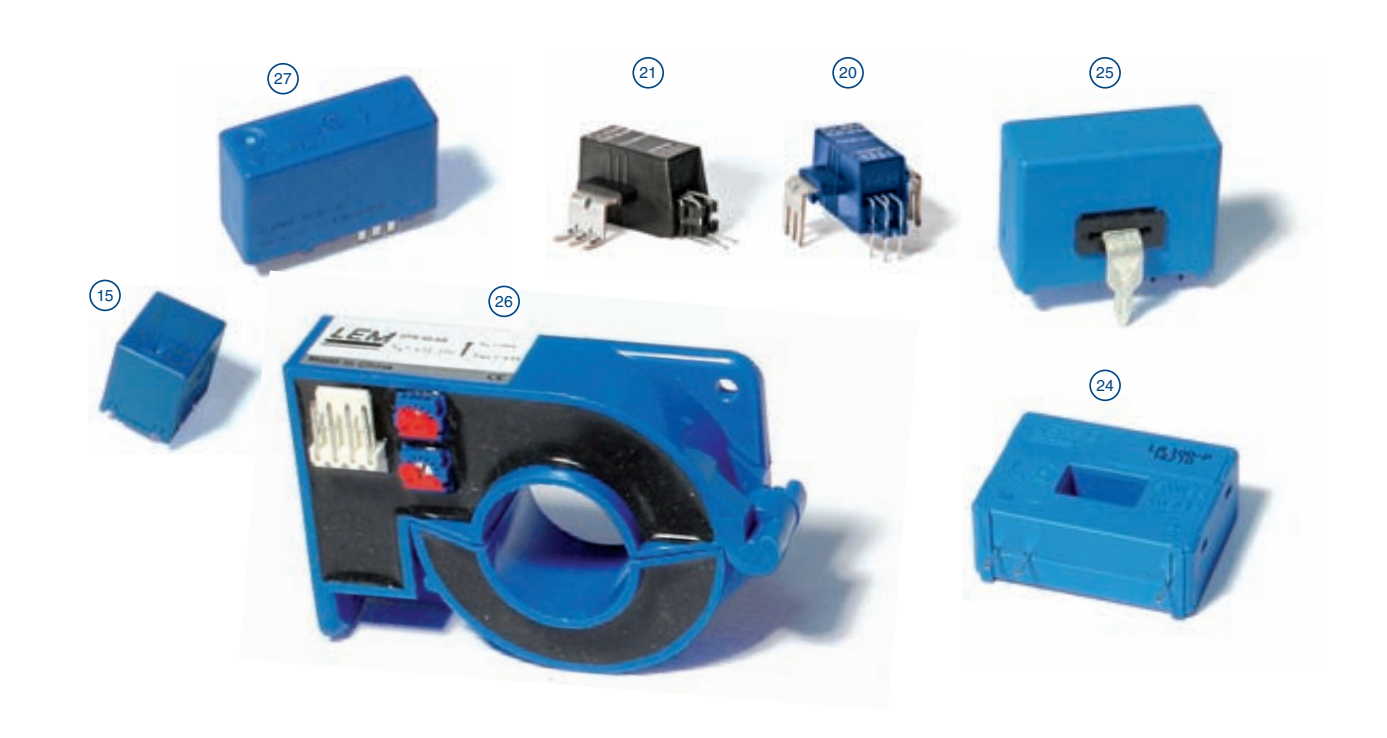
LP = Более длинные контакты

DM = Два канала измерения

ТМ = Три канала измерения

Техпаспорта являются единственными официальными документами на датчики и находятся на сайте: www.lem.com

I _{PI}	, = 5	0 A	8	8 A	DR	S/	REU		Open-lo	ор		Closed	-loop	Fluxga	ate
						Хпри І _{РN} Т _A = 25°C			Выв	оды					
I _{PN}	l _p	ЮГИЯ	U _c	V _{out}	Частотный	Xnpi X= _A T	T _A	перви	чные	втори	чные	۱NL	унка		ности
A	A	Технология	V	I _{out} при I _{PN}	диапазон кГц	%	°C	печатная плата	отверстие, шина,др.	печатная плата	другое	UR или UL	№ рисунка	Тип	Особенности
50	± 70	C/L	± 1215	50 mA	DC-200 (-1dB)	0.65 6)	-40+85		•	•		•	24	LA 55-P	
50	± 70	C/L	± 1215	50 mA	DC-200 (-1dB)	0.45 ⁶⁾	-40+85		•	•		•	24	LA 55-P/SP23	
50	± 70	C/L	± 1215	50 mA	DC-200 (-1dB)	0.65 ⁶⁾	-40+85	•		•		•	25	LA 55-TP	
50	± 100	C/L	± 1215	25 mA	DC-200 (-1dB)	0.65 ⁶⁾	-40+85		•	•		•	24	LA 55-P/SP1	
50	± 100	C/L	± 1215	25 mA	DC-200 (-1dB)	0.65 ⁶⁾	-40+85	•		•		•	25	LA 55-TP/SP1	
50	± 100	C/L	± 1215	25 mA	DC-200 (-1dB)	0.65 ⁶⁾	-40+85	•		•		•	25	LA 55-TP/SP27	
50	± 100	O/L	± 1215	4 V	DC-10 (-1dB) 1)	3.4	-10+70		•		•	•	26	HTR 50-SB	SC
50	± 110	C/L	± 1215	25 mA	DC-200 (-1dB)	0.3	-25+85	•		•		•	27	LAH 50-P	
50	± 125	O/L	+ 5/0	2.5V или Vref±0.8V	DC-240 (-3dB)	1	-40+105	•		•			20	HLSR 50-P 5)	
50	± 125	O/L	+ 5/0	2.5V или Vref±0.8V	DC-240 (-3dB)	1	-40+105	SMD		SMD			21	HLSR 50-SM ⁵⁾	
50	± 125	O/L	+ 3.3/0	1.65V или Vref±0.460V	DC-240 (-3dB)	1	-40+105	•		•			20	HLSR 50-P/ SP33 ⁵⁾	
50	± 125	O/L	+ 3.3/0	1.65V или Vref±0.460V	DC-240 (-3dB)	1	-40+105	SMD		SMD			21	HLSR 50-SM/ SP33 ⁵⁾	
50	± 150	Fluxgate CAS	+ 5/0	2.5 V±0.625 V	DC-300 (+/-3dB)	0.8	-40+85	•		•		•	11	CAS 50-NP	



- 1) Малосигнальный частотный диапазон для предотвращения нагрева сердечника на высоких частотах и больших сигналах
- 5) Режимы входа/выхода опорного напряжения
- 6) Погрешность рассчитана исходя из максимального значения начального смещения вместо типового значения при $U_c = \pm 15~B$

I _{PN}	= 50) A	. 88	3 A	DR:	S / F	REU		Open-loc	р		Closed	-loop	Fluxg	ate
						Хпри І _{ру} Т _A = 25°C			Выв	оды					
I _{PN}	l _p	Технология	U _c	Vout lout	Частотный диапазон	Xπρι T _A = ξ	T _A	перви	ічные	втори	ічные	ли UL	сунка	_	НОСТИ
А	А	Техно	V	при I _{PN}	 кГц	%	°C	печатная плата	отверстие, шина,др.	печатная плата	другое	UR или UL	№ рисунка	Тип	Особенности
50	± 150	Fluxgate CAS	+ 5/0	2.5V или Vref±0.625V	DC-300 (+/-3dB)	0.8	-40+85	•		•		•	12	CASR 50-NP 5)	
50	± 150	Fluxgate CAS	+ 5/0	2.5V или Vref±0.625V	DC-300 (+/-3dB)	0.8	-40+105	•		•		•	8	CKSR 50-NP 5)	
50	± 150	O/L	± 1215	4 V	DC-50 (-3dB) 1)	2.4	-25+85	•		•		•	15	HXN 50-P	
50	± 150	O/L	± 15	4 V	DC-50 (-3dB) 1)	2	-25+85		•		•	•	28	HAL 50-S	
50	± 150	O/L	± 15	4 V	DC-50 (-3dB) 1)	2.5	-10+80		•		•	•	29	HAS 50-S	
50	± 150	O/L	± 15	4 V	DC-50 (-3dB) 1)	2.5	-10+80		•	•		•	30	HAS 50-P	
50	± 150	O/L	± 1215	4 V	DC-50 (-3dB) 1)	2.75	-40+80		•	•		•	31	HTB 50-P	
50	± 150	O/L	± 1215	4 V	DC-50 (-3dB) 1)	2.75	-40+80	•		•		•	32	HTB 50-TP	
50	± 150	O/L	+ 1215	U _c /2 V +/- 1.667 V	DC-50 (-3dB) 1)	1.5	-25+85		•	•		•	33	HTB 50-P/SP5	
50	± 150	O/L	+ 1215	U _c /2 V +/- 1.667 V	DC-50 (-3dB) 1)	1.5	-25+85	•		•		•	34	HTB 50-TP/SP5	
50	± 150	O/L	+ 5/0	2.5V или Vref±0.625V	DC-50 (-3dB) 1)	1.4	-40+85		•		•	•	35	HASS 50-S ⁵⁾	
3 x 50	3 x ± 150	O/L	± 1215	3 x 4 V	DC-10 (-3dB) 1)	3.75	-10+75		•	•		•	23	HTT 50-P	TM
3 x 75	3 x ± 225	O/L	± 1215	3 x 4 V	DC-10 (-3dB) 1)	3.75	-10+75		•	•		•	23	HTT 75-P	TM
3 x 88	3 x ± 240	C/L	± 15	3 x 22 mA	DC-200 (-1dB)	1	-40+85		•		•		36	LTT 88-S	TM
			(11		(10)		-								



ТМ = Три канала измерения

I _{PN} =	= 10	10 A	2	200 A						DF	RS	/R	EU	Open-le	оор
						- co			Выв						
I _{PN}	l _P	Гехнология	U _c	V _{out} I _{out}	Частотный диапазон	Хпри I _{PN} Т _A = 25°C	T _A	перви	чные	втори	чные	ли UL	N№ рисунка	T	Особенности
A	А	Техно	V	при I _{PN}	кГц	%	°C	печатная плата	отверстие, шина,др.	печатная N⁰плата	другое	UR или UL	IN Ne pi	Тип	Особе
100	± 200	O/L	± 1215	4 V	DC-10 (-1dB) 1)	3.4	-10+70		•		•	•	26	HTR 100-SB	SC
100	± 300	O/L	± 15	4 V	DC-50 (-3dB) 1)	2.7	-10+80		•		•	•	37	HAC 100-S	
100	± 300	O/L	± 15	4 V	DC-50 (-3dB) 1)	1.75	-25+85		•		•	•	28	HAL 100-S	
100	± 300	O/L	± 15	4 V	DC-50 (-3dB) 1)	1.75	-25+85		•		•	•	38	HTA 100-S	
100	± 300	O/L	± 15	4 V	DC-50 (-3dB) 1)	2.5	-10+80		•		•	•	29	HAS 100-S	
100	± 300	O/L	± 15	4 V	DC-50 (-3dB) 1)	2.5	-10+80		•	•		•	30	HAS 100-P	
100	± 300	O/L	± 1215	4 V	DC-50 (-3dB) 1)	2.75	-40+80		•	•		•	31	HTB 100-P	
100	± 300	O/L	± 1215	4 V	DC-50 (-3dB) 1)	2.75	-40+80	•		•		•	32	HTB 100-TP	
100	± 300	O/L	+ 1215	U _c /2 V +/-1.667 V	DC-50 (-3dB) 1)	1.5	-25+85		•	•		•	33	HTB 100-P/SP5	
100	± 300	O/L	+ 1215	U _c /2 V +/- 1.667 V	DC-50 (-3dB) 1)	1.5	-25+85	•		•		•	34	HTB 100-TP/ SP5	
100	± 300	O/L	+ 5/0	2.5V или Vref±0.625V	DC-50 (-3dB) 1)	1.4	-40+85		•		•	•	35	HASS 100-S ⁵⁾	
3 x 100	3 x ± 300	O/L	± 1215	3 x 4 V	DC-10 (-3dB) 1)	2.7	-10+75		•	•		•	23	HTT 100-P	ТМ
150	± 450	O/L	± 1215	4 V	DC-50 (-3dB) 1)	2.75	-40+80		•	•		•	31	HTB 150-P	
3 x 150	3 x ± 450	O/L	± 1215	3 x 4 V	DC-10 (-3dB) 1)	2.7	-10+75		•	•		•	23	HTT 150-P	ТМ
200	± 300	O/L	± 1215	4 V	DC-8 (-1dB) 1)	3.75	-10+70		•		•	•	39	HOP 200-SB	SC
200	± 300	O/L	+ 5/0	U _c /2 V или Vref ±1.25V	DC-50 (-3dB) 1)	1.4	-40+105		•	•		•	41	HTFS 200-P 5)	
200	± 300	O/L	+ 5/0	U _c /2 V или Vref ±1.25V	DC-50 (-3dB) ¹⁾	1.4	-40+105		•	•		•	40	HTFS 200-P/ SP2 ⁵⁾	
200	± 400	O/L	± 1215	4 V	DC-10 (-1dB) 1)	3.4	-10+70		•		•	•	26	HTR 200-SB	SC
200	± 500	0/L	± 1215	4 V	DC-50 (-3dB) 1)	2.75	-40+80		•	•		•	31	HTB 200-P	



- 1) Малосигнальный частотный диапазон для предотвращения нагрева сердечника на высоких частотах и больших сигналах
- 5) Режимы входа/выхода опорного напряжения

$I_{PN} = 200 A$	300 A
------------------	-------

I _{PN}	= 20	00 A	\$	300 A						D	RS	/ F	REU	Open-I	оор
						1- 1- 25°C			Выв						
I _{PN}	I _P	югия	U _c	V _{out} I _{out}	Частотный диапазон	Хпри І _{РN} Т _A = 25°C	TA	перви	ічные	втори	чные	и ОГ	унка		ности
Α	А	Технология	V	' ^{out} при I _{PN}	кГц	%	°C	печатная плата	отверстие, шина,др.	печатная плата	другое	UR или UL	№ рисунка	Тип	Особенности
200	± 500	O/L	+ 1215	UC/2 V +/- 1.667 V	DC-50 (-3dB) 1)	1.5	-25+85		•	•		•	33	HTB 200-P/SP5	
200	± 600	O/L	± 15	4 V	DC-50 (-3dB) 1)	2.7	-10+80		•		•	•	37	HAC 200-S	
200	± 600	O/L	± 15	4 V	DC-50 (-3dB) 1)	1.75	-25+85		•		•	•	28	HAL 200-S	
200	± 600	O/L	± 15	4 V	DC-50 (-3dB) 1)	1.75	-25+85		•		•	•	38	HTA 200-S	
200	± 600	O/L	± 15	4 V	DC-50 (-3dB) 1)	2.5	-10+80		•		•	•	29	HAS 200-S	
200	± 600	O/L	± 15	4 V	DC-50 (-3dB) 1)	2.5	-10+80		•	•		•	30	HAS 200-P	
200	± 600	O/L	± 15	4 V	DC-25 (-3dB) 1)	1.75	-40+105		•		•	•	42	HAT 200-S	
200	± 600	O/L	+ 5/0	2.5V или Vref±0.625V	DC-50 (-3dB) 1)	1.4	-40+85		•		•	•	35	HASS 200-S ⁵⁾	
300	± 450	O/L	± 1215	4 V	DC-8 (-1dB) 1)	3.75	-10+70		•		•	•	39	HOP 300-SB	sc
300	± 600	O/L	± 1215	4 V	DC-10 (-1dB) 1)	3.4	-10+70		•		•	•	26	HTR 300-SB	SC
300	± 600	O/L	± 1215	4 V	DC-50 (-3dB) 1)	2.75	-40+80		•	•		•	31	HTB 300-P	
300	± 600	O/L	+ 1215	U _C /2 V +/- 1.667 V	DC-50 (-3dB) 1)	1.5	-25+85		•	•		•	33	HTB 300-P/SP5	
300	± 900	O/L	± 15	4 V	DC-50 (-3dB) 1)	2.7	-10+80		•		•	•	37	HAC 300-S	
300	± 900	O/L	± 15	4 V	DC-50 (-3dB) 1)	1.75	-25+85		•		•	•	28	HAL 300-S	
300	± 900	O/L	± 15	4 V	DC-50 (-3dB) 1)	1.75	-25+85		•		•	•	38	HTA 300-S	
300	± 900	O/L	± 15	4 V	DC-50 (-3dB) 1)	2.5	-10+80		•		•	•	29	HAS 300-S	
300	± 900	O/L	± 15	4 V	DC-50 (-3dB) 1)	2.5	-10+80		•	•		•	30	HAS 300-P	
300	± 900	O/L	+ 5/0	2.5V или Vref±0.625V	DC-50 (-3dB) 1)	1.4	-40+85		•		•	•	35	HASS 300-S ⁵⁾	



SC = Разъёмный сердечник

ТМ = Три канала измерения

l _{PN}	= 1	00	A	150 A							DR	S/R	EU	Closed-lo	оор
						1 PN 25°C			Выв	оды					
I _{PN}	l _P	ВИОГИЯ	U _c	V _{out} I _{out}	Частотный диапазон	Хпри І _{рк} Т _A = 25°C	T _A	перви	ічные	втори	ічные	и UL	унка		ности
Α	А	Технология	V	^{оиг} при I _{PN}	кГц	%	°C	печатная плата	отверстие, шина,др.	печатная плата	другое	UR или UL	№ рисунка	Тип	Особенности
100	± 150	C/L	± 1215	50 mA	DC-200 (-1dB)	0.45 ⁶⁾	-40+85		•	•		•	24	LA 100-P	
100	± 150	C/L	± 1215	50 mA	DC-200 (-1dB)	0.45 6)	-40+85	•		•		•	25	LA 100-TP	
100	± 160	C/L	± 1215	100 mA	DC-200 (-1dB)	0.45 6)	-25+70		•	•		•	24	LA 100-P/ SP13	
100	± 160	C/L	± 1215	50 mA	DC-200 (-1dB)	0.3	-25+85	•		•		•	27	LAH 100-P	
100	± 200	C/L	± 1215	100 mA	DC-100 (-3dB)	0.4	-40+85		•		•	•	43	LF 205-S/SP3	
125	± 200	C/L	± 1215	125 mA	DC-100 (-1dB)	0.8	-40+85		•	•		•	47	LA 125-P	
125	± 200	C/L	± 1215	62.5 mA	DC-100 (-1dB)	0.8	-25+85		•	•		•	47	LA 125-P/SP1	
125	± 200	C/L	± 1215	125 mA	DC-100 (-1dB)	0.8	-25+85		•	•		•	48	LA 125-P/SP3	PC
125	± 300	C/L	± 1215	62.5 mA	DC-100 (-1dB)	0.8	-40+85		•	•		•	47	LA 125-P/SP4	
125	± 200	C/L	± 1215	125 mA	DC-100 (-3dB)	0.41	-40+85	•		•		•	49	LAH 125-P	
130	± 200	C/L	± 1215	130 mA	DC-150 (-1dB)	0.5	-40+85		•	•		В процессе	50	LA 130-P	
130	± 200	C/L	± 1215	65 mA	DC-150 (-1dB)	0.5	-40+85		•	•		В процессе	50	LA 130-P/SP1	
150	± 212	C/L	± 1215	75 mA	DC-150 (-1dB)	0.5	-40+85		•	•		В процессе	51	LA 150-P	



6) Погрешность рассчитана исходя из максимального значения начального смещения вместо типового значения при U_c = \pm 15 B

$I_{PN} = 150$	A 366	A
----------------	-------	---

I _{PN}	= 1	50 .	A	366 A							DR.	S/R	EU	Closed-lo	ор
						Хпри I _{PN} T _A = 25°C			Выв	оды					
I _{PN}	I _P	огия	U _c	V _{out} I _{out}	Частотный	Xπρι T _A = 2	T _A	перви	чные	втори	чные	, UL	унка		ности
A	А	Технология	V	' _{out} при I _{PN}	диапазон кГц	%	°C	печатная плата	отверстие, шина,др.	печатная	другое	UR или UL	№ рисунка	Тип	Особенности
150	± 212	C/L	± 1215	150 mA	DC-150 (-1dB)	0.5	-40+85		•	•		В процессе	51	LA 150-P/SP1	
150	± 212	C/L	± 1215	75 mA	DC-150 (-1dB)	0.5	-40+85	•		•		В процессе	52	LA 150-TP	
200	± 300	C/L	± 1215	100 mA	DC-100 (-1dB)	0.65	-40+85		•	•		•	47	LA 200-P	
200	± 300	C/L	± 1215	100 mA	DC-100 (-1dB)	0.65	-25+85		•	•		•	47	LA 200-P/SP4	
200	± 300	C/L	± 1215	100 mA	DC-100 (-1dB)	0.45	-25+85		•		•		53	LAF 200-S	
200	± 420	C/L	± 1215	100 mA	DC-100 (-3dB)	0.4	-40+85		•		•	•	43	LF 205-S	
200	± 420	C/L	± 1215	100 mA	DC-100 (-3dB)	0.4	-40+85		•	•		•	45	LF 205-P	
200	± 420	C/L	± 1215	100 mA	DC-100 (-3dB)	0.4	-40+85		•		•	•	44	LF 205-S/SP1	
200	± 420	C/L	± 1215	100 mA	DC-100 (-3dB)	0.4	-40+85		•	•		•	46	LF 205-P/SP1	
300	± 500	C/L	± 1220	150 mA	DC-100 (-1dB)	0.3	-40+85		•		•	•	54	LF 305-S	
300	± 500	C/L	± 1220	150 mA	DC-100 (-3dB)	0.3	-40+85		•		•	•	55	LF 305-S/ SP10	
300	± 700	C/L	± 15	150 mA	DC-50 (-3dB)	0.4	-40+85		•		•	•	56	LA 306-S	
366	± 950	C/L	± 15	183 mA	DC-100 (-1dB)	0.3	-10+70		•		•		57	LT 305-S	



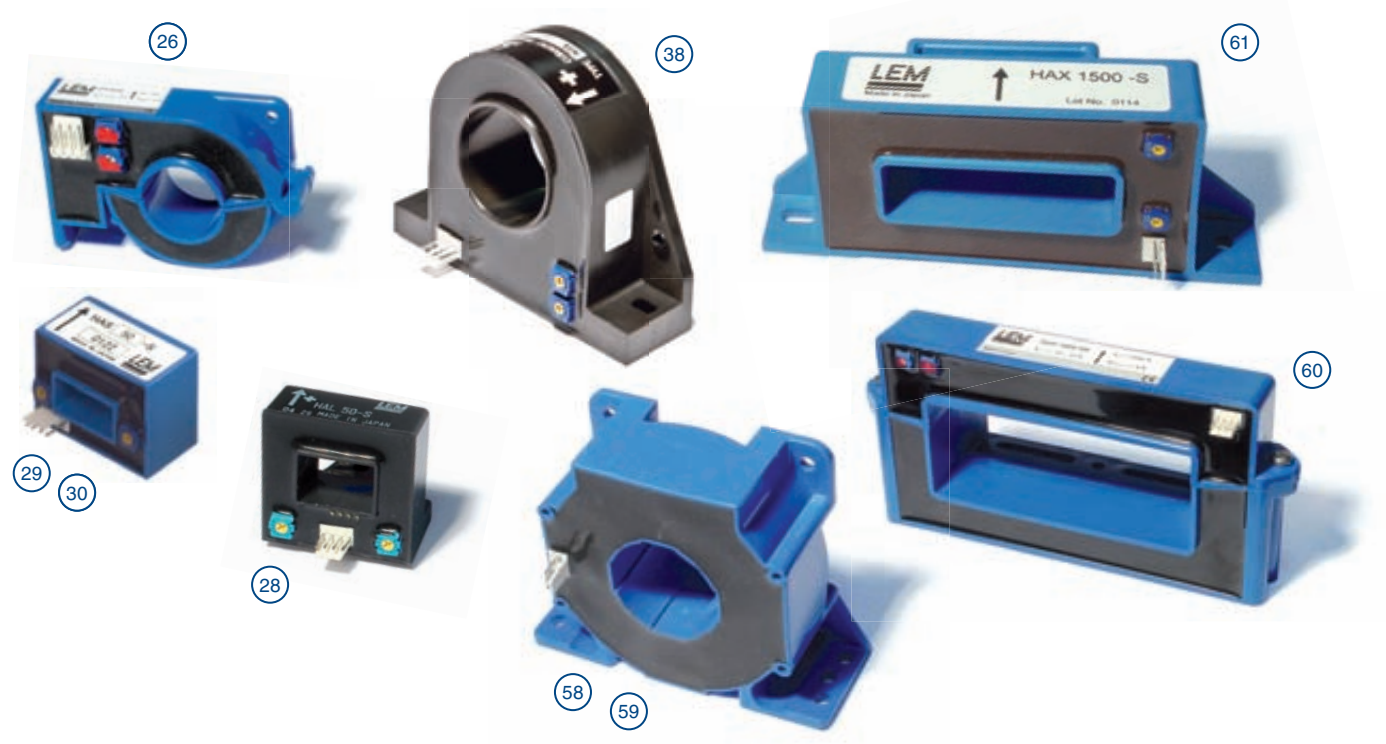
	l _{PN}	= 4	00	A	500 A			DE	RS	/ R	FU		Ope	n-loop	Closed-le	oop
							5°C			Выв						
	I _{PN}	l _p	Технология	U _c	V _{out} I _{out}	Частотный диапазон	Хпри І _{РN} Т _A = 25°C	T _A	перви	ічные	втори	чные	UR или UL	рисунка	Тип	Особенности
	Α	А	Технс	V	при I _{PN}	кГц	%	°C	печатная плата	отверстие, шина,др.	печатная плата	другое	UR M	ид _Б М	TWIT	Ocoбe
	400	± 600	O/L	± 1215	4 V	DC-50 (-3dB) 1)	2.75	-40+80		•	•		•	31	HTB 400-P	
	400	± 600	O/L	+ 1215	U _c /2 V +/- 1.667 V	DC-50 (-3dB) 1)	1.5	-25+85		•	•		•	33	HTB 400-P/SP5	
	400	± 600	O/L	± 1215	4 V	DC-8 (-1dB) 1)	3.75	-10+70		•		•	•	39	HOP 400-SB	SC
	400	± 600	O/L	+ 5/0	U _c /2 V или Vref±1.25V	DC-50 (-3dB) 1)	1.4	-40+105		•	•		•	41	HTFS 400-P 5)	
	400	± 600	O/L	+ 5/0	U _c /2 V или Vref±1.25V	DC-50 (-3dB) 1)	1.4	-40+105		•	•		•	40	HTFS 400-P/SP2 5)	
1	400	± 800	O/L	± 1215	4 V	DC-10 (-1dB) 1)	3.4	-10+70		•		•	•	26	HTR 400-SB	SC
	400	± 900	O/L	± 15	4 V	DC-50 (-3dB) 1)	2.5	-10+80		•		•	•	29	HAS 400-S	
	400	± 900	O/L	± 15	4 V	DC-50 (-3dB) 1)	2.5	-10+80		•	•		•	30	HAS 400-P	
	400	± 900	O/L	+ 5/0	2.5V или Vref±0.625V	DC-50 (-3dB) 1)	1.4	-40+85		•		•	•	35	HASS 400-S 5)	
	400	± 1000	O/L	± 15	4 V	DC-50 (-3dB) 1)	1.75	-25+85		•		•	•	28	HAL 400-S	
	400	± 1000	O/L	± 15	4 V	DC-50 (-3dB) 1)	1.75	-25+85		•		•	•	38	HTA 400-S	
	400	± 1200	O/L	± 15	4 V	DC-50 (-3dB) 1)	2.7	-10+80		•		•	•	37	HAC 400-S	
	400	± 1200	O/L	± 15	4 V	DC-25 (-3dB) ¹⁾	1.75	-40+105		•		•	•	42	HAT 400-S	
	500	± 750	O/L	± 1215	4 V	DC-8 (-1dB) 1)	3.75	-10+70		•		•	•	39	HOP 500-SB	SC
	500	± 800	C/L	± 1524	100 mA	DC-100 (-1dB)	0.3	-40+70		•		•	•	58	LF 505-S	
	500	± 800	C/L	± 1524	100 mA	DC-100 (-1dB)	0.3	-10+70		•		•	•	59	LF 505-S/SP15	
	500	± 900	O/L	± 15	4 V	DC-50 (-3dB) 1)	2.5	-10+80		•		•	•	29	HAS 500-S	
	500	± 900	O/L	± 15	4 V	DC-50 (-3dB) 1)	2.5	-10+80		•	•		•	30	HAS 500-P	
	500	± 900	O/L	+ 5/0	2.5V или Vref±0.625V	DC-50 (-3dB) 1)	1.4	-40+85		•		•	•	35	HASS 500-S ⁵⁾	
	500	± 1000	O/L	± 1215	4 V	DC-10 (-1dB) 1)	2.5	-10+70		•		•	•	60	HOP 500-SB/SP1 ⁵⁾	SC



- 1) Малосигнальный частотный диапазон для предотвращения нагрева сердечника на высоких частотах и больших сигналах
- 5) Режимы входа/выхода опорного напряжения

$I_{PN} =$	500	A	800	A
PIN				

 PN :	= 50	00 /	4	800 A						D	RS	/ F	REL	Open-loc	op		
						1 PN 25°C			Выводы								
l _{PN}	l _p	ОГИЯ	U _c	V _{out}	Частотный	Хпри I _{PN} Т _A = 25°C	T _A	перви	1чные	втори	чные	1 UL	рисунка		ности		
A	A	Технология	V	I _{out} при I _{PN}	диапазон кГц	%	°C	печатная плата	отверстие, шина,др.	печатная плата	другое	ОВ или ОГ	Nº рис	Тип	Особенности		
500	± 1000	O/L	± 1215	4 V	DC-10 (-1dB) 1)	3.4	-10+70		•		•	•	26	HTR 500-SB	SC		
500	± 1000	O/L	± 15	4 V	DC-50 (-3dB) 1)	1.75	-25+85		•		•	•	28	HAL 500-S			
500	± 1000	O/L	± 15	4 V	DC-50 (-3dB) 1)	1.75	-25+85		•		•	•	38	HTA 500-S			
500	± 1500	O/L	± 15	4 V	DC-50 (-3dB) 1)	2.7	-10+80		•		•	•	37	HAC 500-S			
500	± 1500	O/L	± 15	4 V	DC-25 (-3dB) 1)	1.75	-40+105		•		•	•	42	HAT 500-S			
500	± 1500	O/L	± 15	4 V	DC-25 (-3dB) 1)	2.75	-25+85		•		•	•	61	HAX 500-S			
600	± 900	O/L	± 1215	4 V	DC-8 (-1dB) 1)	3.75	-10+70		•		•	•	39	HOP 600-SB	sc		
600	± 900	O/L	+ 5/0	U _c /2 V или Vref±1.25V	DC-50 (-3dB) 1)	1.4	-40+105		•	•		•	41	HTFS 600-P 5)			
600	± 900	O/L	± 15	4 V	DC-50 (-3dB) 1)	2.5	-10+80		•		•	•	29	HAS 600-S			
600	± 900	O/L	± 15	4 V	DC-50 (-3dB) 1)	2.5	-10+80		•	•		•	30	HAS 600-P			
600	± 900	O/L	+ 5/0	2.5V или Vref±0.625V	DC-50 (-3dB) 1)	1.4	-40+85		•		•	•	35	HASS 600-S ⁵⁾			
600	± 1000	O/L	± 15	4 V	DC-50 (-3dB) 1)	1.75	-25+85		•		•	•	28	HAL 600-S			
600	± 1000	O/L	± 15	4 V	DC-50 (-3dB) 1)	1.75	-25+85		•		•	•	38	HTA 600-S			
600	± 1800	O/L	± 15	4 V	DC-50 (-3dB) 1)	2.7	-10+80		•		•	•	37	HAC 600-S			
600	± 1800	O/L	± 15	4 V	DC-25 (-3dB) 1)	1.75	-40+105		•		•	•	42	HAT 600-S			
800	± 1200	O/L	+ 5/0	U _C /2 V или Vref±1.25V	DC-50 (-3dB) 1)	1.4	-40+105		•	•		•	41	HTFS 800-P 5)			
800	± 1200	O/L	+ 5/0	U _c /2 V или Vref±1.25V	DC-50 (-3dB) 1)	1.4	-40+105		•	•		•	40	HTFS 800-P/SP2 5)			
800	± 1600	O/L	± 1215	4 V	DC-10 (-1dB) 1)	2.5	-10+70		•		•	•	60	HOP 800-SB	SC		
800	± 1800	O/L	± 15	4 V	DC-50 (-3dB) 1)	2.7	-10+80		•		•	•	37	HAC 800-S			
800	± 2400	O/L	± 15	4 V	DC-25 (-3dB) 1)	1.75	-40+105		•		•	•	42	HAT 800-S			



SC = Разъёмный сердечник

I _{PN}	= 5	00 A	_{AC} 20	00 A _A					DR	S/	RE		Rogows	ski
					ို့ Выводы									
	КИ	- Kγ		Верхняя	Хпри I _P Т _A = 25°C		первичные		вторичные		占	g Ka		СТИ
A _{AC}	Технология	U _c V	V _{out} I _{out} при IP	граничная частота кГц	%	T _A °C	печатная плата	отверстие, шина,др.	печатная плата другое		UR MIN L	№ рисунка	Тип	Особенности
500	Rogowski	Не требует питания	2.π.M. f.I _{PAC} V ^{3) 4)} M.dI _P /dt V ^{2) 4})	700 (+3dB)	0.65 4) 7)	-10+65		Разъёмный сердечник ∅ 55 mm Max		1.5 m кабель	•	62	RT 500	
500	Rogowski	Не требует питания	2.π.M. f.I _{PAC} V ^{3) 4)} M.dI _P /dt V ^{2) 4})	700 (+3dB)	0.80 4) 7)	-10+65		Разъёмный сердечник ∅ 55 mm Max		3 m кабель	•	63	RT 500/ SP1	
2000	Rogowski	Не требует питания	2.π.M. f.I _{PAC} V ^{3) 4)} M.dI _P /dt V ^{2) 4})	500 (+3dB)	0.65 4) 7)	-10+65		Разъёмный сердечник ∅ 125 mm Max		1.5 m кабель	•	64	RT 2000	
2000	Rogowski	Не требует питания	2.π.M. f.I _{PAC} V ^{3) 4)} M.dI _P /dt V ^{2) 4})	430 (+3dB)	0.8 4) 7)	-10+65		Разъёмный сердечник ∅ 125 mm Max		3 m кабель	•	65	RT 2000/ SP1	

l _{PN}	= 10	000	A	. 2000	A							Оре	en-loop	Closed-le	оор
						1- 25°C			Выв	оды	Ы				
I _{PN}	I _P	огия	U _c	V _{out}	Частотный	Хпри І _{РN} Т _A = 25°C	T _A	перви	ичные	втори	чные	님	ика		ности
A	A	Технология	v	I _{out} при I _{PN}	диапазон кГц	%	°C	печатная плата	отверстие, шина,др.	печатная плата	другое	UR или UL	№ рисунка	Тип	Особенности
1000	± 1000	O/L	± 15	4 V	DC-50 (-3dB) 1)	1.75	-25+85		•		•	•	38	HTA 1000-S	
1000	± 1500	C/L	± 1524	200 mA	DC-150 (-1dB)	0.3	-40+85		•		•	•	66	LF 1005-S	
1000	± 1500	C/L	± 1524	200 mA	DC-150 (-1dB)	0.3	-10+85		•		•	•	67	LF 1005-S/SP22	
1000	± 2000	O/L	± 1215	4 V	DC-10 (-1dB) 1)	2.5	-10+70		•		•	•	60	HOP 1000-SB	SC
1000	± 2500	O/L	± 15	4 V	DC-25 (-3dB) 1)	1.75	-40+105		•		•	•	42	HAT 1000-S	
1000	± 3000	O/L	± 15	4 V	DC-25 (-3dB) 1)	2.75	-25+85		•		•	•	61	HAX 1000-S	
1200	± 2500	O/L	± 15	4 V	DC-25 (-3dB) 1)	1.75	-40+105		•		•	•	42	HAT 1200-S	
1500	± 2500	O/L	± 15	4 V	DC-25 (-3dB) 1)	1.75	-40+105		•		•	•	42	HAT 1500-S	
1500	± 3000	O/L	± 1215	4 V	DC-10 (-1dB) 1)	2.5	-10+70		•		•	•	60	HOP 1500-SB	SC
1500	± 4500	O/L	± 15	4 V	DC-25 (-3dB) 1)	2.75	-25+85		•		•	•	61	HAX 1500-S	
2000	± 3000	O/L	± 1215	4 V	DC-10 (-1dB) 1)	2.5	-10+70		•		•	•	60	HOP 2000-SB	SC
2000	± 3000	O/L	± 1215	4 V	DC-4 (-1dB) 1)	2.5	-10+70		•		•	•	68	HOP 2000-SB/SP1	SC
2000	± 3000	C/L	± 1524	400 mA	DC-100 (-1dB)	0.2	-40+85		•		•	•	69	LF 2005-S	



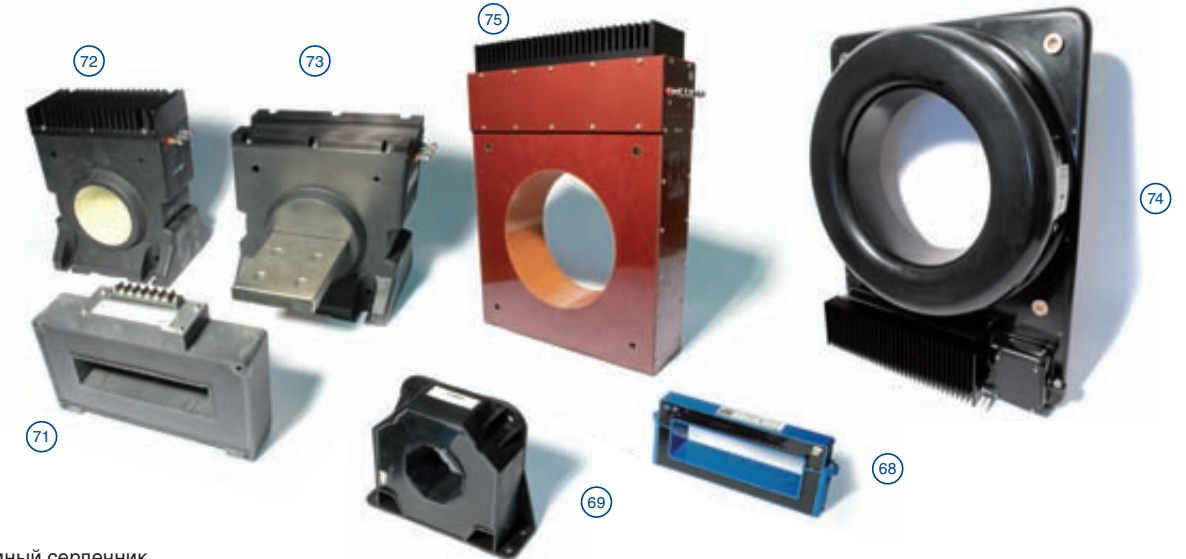
1) Малосигнальная полоса частот для предотвращения нагрева сердечника на высоких частотах и больших сигналах

42

- 2) Мгновенное значение для тока произвольной формы
- 3) Для синусоидального тока (f в Гц)
- 4) M = Коэффициент передачи 0.064 μΓ (+/-5%): (максимальный разброс коэффициента передачи модели RT составляет 5%)
- 7) Максимальная погрешность позиционирования
- 8) при 40 A_{RMS}
- 9) Х_G = суммарная погрешность



l _{PN} =	= 20)00 <i>A</i>	 2	20000 A	4 DR	S/I	REU		Open-l	оор		Close	ed-loop	Fluxgat	te
						1 lpn 25°C		Выводы							
I _{PN}	I _P	гия	U _c	V _{out} I _{out}	Частотный	Хпри І _{РN} Т _A = 25°C	T _A	перви	ичные	втори	ічные	٦	нка		ости
A A	Α	Технология	V	I _{out} при I _{PN}	диапазон кГц	%	°C	печатная плата	отверстие, шина,др.	печатная плата	другое	UR или UL	№ рисунка	Тип	Особенности
2000	± 5500	O/L	± 15	4 V	DC-25 (-3dB) 1)	2.75	-25+85		•		•	•	61	HAX 2000-S	
2000	± 5500	O/L	± 15	4 V	DC- 25(-1dB) 1)	2.75	-10+80		•		•		70	HAXC 2000-S	
2500	± 5500	O/L	± 15	4 V	DC-25 (-3dB) 1)	2.75	-25+85		•		•	•	61	HAX 2500-S	
4000	± 4000	O/L	± 15	10 V	DC-3 (-3dB) 1)	2	-25+85		•		•		71	HAZ 4000-SB	
4000	± 4000	O/L	± 15	20 mA	DC-3 (-3dB) 1)	2	-25+85		•		•		71	HAZ 4000-SBI	
4000	± 4000	O/L	± 15	4 mA при -I _{PN} 20 mA при +I _{PN}	DC-3 (-3dB) 1)	2	-25+85		•		•		71	HAZ 4000-SBI/SP1	
4000	± 6000	C/L	± 24	800 mA	DC-100 (-1dB)	0.3	-25+70		•		•		72	LT 4000-S	
4000	± 6000	C/L	± 24	800 mA	DC-100 (-1dB)	0.3	-25+70		•		•		73	LT 4000-T	
4000	± 12000	Fluxgate IT	± 24	1600 mA	DC- 50(1dB) 8)	0.06 ⁹⁾	-40+70		•		•		74	ITL 4000-S	
6000	± 6000	O/L	± 15	10 V	DC-3 (-3dB) 1)	2	-25+85		•		•		71	HAZ 6000-SB	
6000	± 6000	O/L	± 15	20 mA	DC-3 (-3dB) 1)	2	-25+85		•		•		71	HAZ 6000-SBI	
6000	± 6000	O/L	± 15	4 mA при -I _{PN} 20 mA при +I _{PN}	DC-3 (-3dB) 1)	2	-25+85		•		•		71	HAZ 6000-SBI/SP1	
10000	± 10000	O/L	± 15	10 V	DC-3 (-3dB) 1)	2	-25+85		•		•		71	HAZ 10000-SB	
10000	± 10000	O/L	± 15	20 mA	DC-3 (-3dB) 1)	2	-25+85		•		•		71	HAZ 10000-SBI	
10000	± 10000	O/L	± 15	4 mA при -I _{PN} 20 mA при +I _{PN}	DC-3 (-3dB) 1)	2	-25+85		•		•		71	HAZ 10000-SBI/SP1	
10000	± 15000	C/L	± 4860	1 A	DC-100 (-1dB)	0.3	-25+70		•		•		75	LT 10000-S	
12000	± 12000	O/L	± 15	10 V	DC-3 (-3dB) 1)	2	-25+85		•		•		71	HAZ 12000-SB	
12000	± 12000	O/L	± 15	20 mA	DC-3 (-3dB) 1)	2	-25+85		•		•		71	HAZ 12000-SBI	
12000	± 12000	O/L	± 15	4 mA при -I _{PN} 20 mA при +I _{PN}	DC-3 (-3dB) 1)	2	-25+85		•		•		71	HAZ 12000-SBI/SP1	
14000	± 14000	O/L	± 15	10 V	DC-3 (-3dB) 1)	2	-25+85		•		•		71	HAZ 14000-SB	
14000	± 14000	O/L	± 15	20 mA	DC-3 (-3dB) 1)	2	-25+85		•		•		71	HAZ 14000-SBI	
14000	± 14000	O/L	± 15	4 mA при -I _{PN} 20 mA при +I _{PN}	DC-3 (-3dB) 1)	2	-25+85		•		•		71	HAZ 14000-SBI/SP1	
20000	± 20000	O/L	± 15	10 V	DC-3 (-3dB) 1)	2	-25+85		•		•		71	HAZ 20000-SB	
20000	± 20000	O/L	± 15	20 mA	DC-3 (-3dB) 1)	2	-25+85		•		•		71	HAZ 20000-SBI	
20000	± 20000	O/L	± 15	4 mA при -I _{PN} 20 mA при +I _{PN}	DC-3 (-3dB) 1)	2	-25+85		•		•		71	HAZ 20000-SBI/SP1	



Датчики тока – Минисенс

Минисенс – модель FHS От 2 до 100 Ампер

Чтобы помочь Вашим инновациям, мы стали маленькими.

По ряду причин традиционные системы измерения тока не используются в таких применениях, как маломощные бытовые электрические приборы и системы кондиционирования. Если необходима гальваническая изоляция в системе на основе шунта, то нужна оптоэлектронная развязка, что повышает стоимость и количество компонентов. Для преобразования токов выше 10 А потери в шунтах становятся значимыми, что может приводить к недопустимому возрастанию температуры. При токах ниже шунт должен иметь высокое сопротивление, чтобы падение напряжения на нем имело достаточную величину. Обычно, это приводит также к необходимости применения усилителя.

До сегодняшнего дня это были основные сдерживающие факторы для измерения токов в небольших электрических системах. Однако, по мере того, как увеличивается популярность инверторного управления двигателями для лучшего контроля скорости, позиционирования и увеличения энергоэффективности, потребность в измерении токов в этих системах возрастает. К счастью, новые технологии позволяют выпускать компактные и недорогие датчики, которые делают преобразование токов в таких системах реальностью.

Тенденции в силовой электронике не отличаются от других областей электроники: повышение степени интеграции в сочетании с уменьшением числа компонентов.

Интегральный датчик тока ЛЕМ Минисенс, типа FHS для изолированных преобразований постоянного и переменного тока частотой до 100кГц открыл такой путь. Этот датчик содержит в себе всю необходимую электронику, элемент Холла и концентратор магнитного поля в одном 8-ми выводном корпусе для поверхностного монтажа (Рис. 1). Это шаг к миниатюризации и снижению стоимости производства (в части стоимости процесса сборки печатной платы).

Гальваническая изоляция может быть обеспечена, например, путем установки датчика на стороне печатной платы, противоположной проводнику с преобразуемым током. Использование различных приемов разводки печатной платы обеспечивает нужную чувствительность и, тем самым, избавляет от необходимости в усилителе.

Принцип работы:

Минисенс/ FHS преобразует магнитное поле первичного проводника в выход в виде напряжения. Первичный ток течет в проводнике или в дорожке печатной платы вблизи интегральной схемы и гальванически изолирован от нее. Элементы Холла, встроенные в интегральную схему (ИС), служат для преобразования магнитного поля, концентрируемого в об-



Рис. 1: Минисенс - модель FHS

DRS / REU

ласти ячеек Холла с помощью магнитного концентратора в верхней части ИС.

По принципу работы это обычная технология прямого усиления, но она реализована в компактном корпусе интегральной схемы.

Преобразуемый TOK может быть положительным или отрицательным. От полярности тока. а следовательно. и магнитного поля, зависит, будет ли выходное напряжение выше или ниже относительно постоянного опорного напряжения, являющегося начальным выходным напряжением при отсутствии магнитного поля. Стандартное опорное напряжение составляет +2.5 В (внутреннее опорное напряжение). Пользователь может подавать внешнее опорное напряжение в диапазоне +2...+2.8 В.

Датчик изготавливается по стандартной технологии CMOS и выполнен в корпусе SO8-IC.

Информация разработчику:

Наиболее общий путь применения датчика: расположение Минисенса над дорожкой печатной платы с измеряемым током. Для оптимизации работы датчика необходимо выполнить несколько простых правил относительно размеров дорожек. Изменяя конфигурацию дорожек на печатной плате возможно получить преобразование токов в диапазоне от 2 до 100 Ампер. Одна из возможных конфигураций с расположением ИС непосредственно над единичной дорожкой приведена на Рис. 2.

В этой конфигурации изоляция обеспечивается расстоянием между выводами датчика и дорожкой, измеряемые токи могут быть в диапазоне от 2 до 20 Ампер.

Изоляция может быть улучшена путем расположения датчика на противоположной стороне платы, но точно так же непосредственно над осью проводника. Толщина печатной

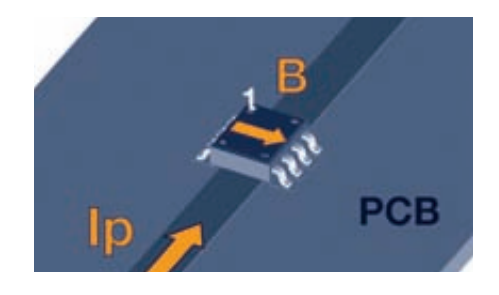


Рис. 2: Один из возможных вариантов печатной платы; Дорожка первичного тока проходит под Минисенс

платы и самого проводника будут влиять на чувствительность датчика, так как они непосредственно определяют расстояние между чувствительным элементом (расположенным в ИС) и позицией первичного проводника. Также, на чувствительность оказывает влияние ширина дорожки (Рис. 3). Важно иметь в виду, что чувствительность тем выше, чем



Рис. 3: Чувствительность (мВ/A) в зависимости от ширины дорожки и расстояния между ней и чувствительным элементом.

тоньше дорожка. Однако, чем она тоньше, тем сильнее она нагревается.

Максимальный долговременный ток в данной конструкции определяется допустимым нагревом дорожки и температурой окружающей среды. Применение дорожки переменной ширины дает оптимальную комбинацию между чувствительностью и нагревом дорожки. Очень важно выдержать условия по уровням температуры, ширине и толщине дорожки. Максимальная рабочая температура Минисенса 125°C.

Для небольших токов (ниже 10 A), разумно выполнить несколько витков первичного проводника или использовать сужающиеся дорожки для увеличения магнитного поля, создаваемого первичным током.

Как и для единичной дорожки, за пределами Минисенса дорожки целесообразнее выполнить более широкими, чем под ним (для снижения нагрева дорожки) (Рис. 4 и 5).

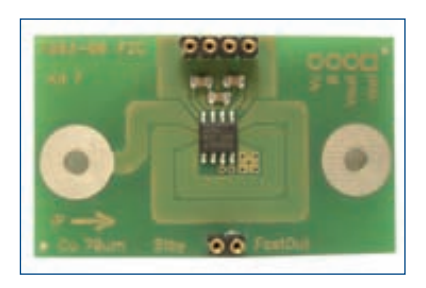
Такая конфигурация возможна и на противоположной стороне платы от Минисенса, это конфигурация с повышенной изоляцией (Рис. 5), так как увеличивается воздушный зазор и расстояние по поверхности.

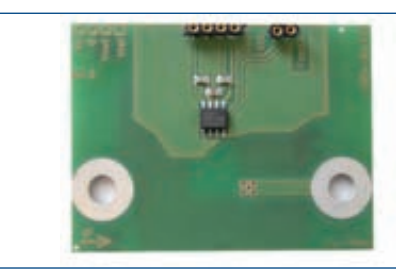
Дальнейшее увеличение чувствительности возможно путем использования других приемов, как например, перемычка над Минисенсом для создания витка вокруг датчика, либо выполнение нескольких витков в разных слоях печатной платы. Большие токи могут быть измерены путем расположения датчика на большем расстоянии от первичного проводника или использованием более широких дорожек на плате или применением шины. Варианты дизайна безграничны в рамках возможности печатных плат и могут определяться требованиями изоляции, номинальных токов, оптимизации чувствительности и т.п. Это означает полную гибкость проектирования.

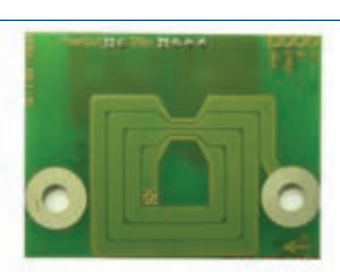
Специальные возможности для расширения функционала: В датчике есть два выхода: первый - с фильтрацией, для снижения шума выходного сигнала; второй - без фильтра, со временем отклика менее 3 мкс, для защиты от короткого замыкания (защита IGBT) или определения порогового уровня.

Минисенс имеет напряжение питания +5 В. Для снижения энергопотребления в чувствительных к этому случаях, он может переключаться в "режим ожидания" подачей внешнего сигнала, что уменьшает энергопотребление с 20 миллиампер до 20 микроампер.

Также должно быть учтено влияние внешних магнитных полей (помехи).







Рисунки 4 и 5: Различные "многовитковые" конструкции платы.

Датчики тока – Минисенс

Точностные характеристики Минисенса и влияние на них конструктивных параметров

Параметры Минисенса:

+/- 3 % (не хуже) . Усипение: +/- 10 mV • Начальное смещение: · Нелинейность: +/- 1.5 % (не хуже)

· Дрейф начального смещения: +/- 0.15 mV/K

- Дрейф усиления: +/- 300 ppm/K Зависимость от механических параметров (вариации расстояния и формы первичного проводника относительно корпуса ИС):

- Толщина печатной платы
- . Ширина и толщина дорожек
- Толщина паяных соединений
- Точность установки Минисенса

В конкретном применении на печатной плате

Полная погрешность (% от Ірм)

При +25° С (нач. смещение компенсировано):

В температурном диапазоне (...+85° C):

С калибровкой:

в температурном диапазоне (... +85° C)



<4 %

Рис

Механические параметры должны тщательно контролироваться в процессе производства. В качестве альтернативы для компенсации такого рода ошибок, возможно применение калибровки Минисенса на плате или в сигнальном процессоре.

Испытайте Минисенс в Вашем применении: Тестовые наборы

Несколько вариантов печатных плат (Рис. 6 и 7) были разработаны для демонстрации Минисенса, как датчика тока для различного применения и для проведения испытаний по оценке чувствительности датчика. Эти наборы доступны для заказа.

Существует также руководство ЛЕМ по разработке для проектировщиков печатных плат, использующих Минисенс, для получения рекомендаций по вопросам оптимизации применения датчика (по запросу).

Два примера, демонстрирующие возможности, предлагаемые Минисенсом для современных приложений:

Стиральные машины:

Разработчики современных стиральных машин ищут пути точного управления двигателем для экономии электроэнергии путем увеличения эффективности системы, а также путем оптимизации времени

Рис. 6: Наборы Минисенс с невысоким уровнем изоляции (изоляционный зазор 0.4 мм)

1	набор 4	набор 6	набор 7
			• •
	1 виток	с перемычкой	многовитковый
I _{PN} (A) при Ta = 85° C (Трсb макс 115° C)	16	10	5
I _{PM} (A) при V _{out} = 2 В	30	10	11
Чувствительность (мВ/А) @ 600 мВ/мТл	67.2	206.2	186.1



7: Наборы Минисенс с высоким уровнем изоляции (изоляционный зазор 8 мм)	набор 5	набор 9	набор 8
	1 виток	1 виток	многовитковый
I _{PN} (A) при Ta = 85° C (Трсb макс115° C)	16	30	5
I _{PM} (A) при V _{out} = 2 В	55	78	16
Чувствительность (mB/A) при 600 mB/мТл	36.3	25.8	125.6

стирки и расхода воды. Применение датчиков способно оптимизировать технические характеристики машины, детектируя дисбаланс и снижая вибрации и шум, подбирая программы для различных типов одежды. Такое точное управление обеспечивают инверторные приводы, позволяя разработчику улучшать старые и вводить новые функции. Такие системы нуждаются в точном измерении тока фаз электродвигателя. Два датчика Минисенс могут быть установлены непосредственно на печатной плате привода для измерения тока.

требуемая температура

Рис. 8: Управление двигателем в стиральных машинах

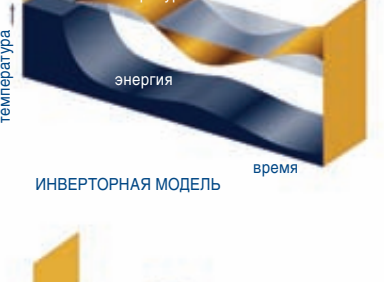
Кондиционеры воздуха:

Традиционно управление мотором кондиционера воздуха было простейшим по принципу: "включен-выключен". Однако это приводило к большим колебаниям температуры и требовало относительно мощного двигателя, который либо был выключен, либо работал на полной мощности, что создавало ощутимый шум. Современные кондиционеры используют инверторное управление, запуская двигатель на полную мощность для быстрого достижения нужной температуры, а затем уменьшая скорость и продолжая регулирование вблизи требуемой температуры (Рис. 9).

Такие системы создают меньше шума, требуют меньше электроэнергии для поддержания заданной температуры и могут обходиться более компактным двигателем. Производители кондиционеров в Японии уже используют этот метод, и он уже внедряется в США,

этот метод, и он уже внедряется в США, Китае и Европе.

Благодаря Минисенсу, недорогие источники бесперебойного питания и зарядные устройства получают функции контроля тока, защиты от кз и токовых перегрузок, или просто функцию определения наличия тока. Такие функции защиты от перегрузок могут быть внедрены в различные автоматические двери, затворы и другое оборудование подобного типа.



требуемая температура энергия вкл выкл вкл

ОБЫЧНАЯ МОДЕЛЬ

Изображение любезно предоставлено PsiControl mechatronics

I _{PN}	= 2 A	•••	2000 A					Dŀ	RS	/R	Εl		СТ	PRIME
Тип обработки сигнала	I _{PN}	Технология	U _c V	Частотный диапазон кГц	Хпри I _{PN} T _A = 25°C	T _A °C	Отверстие мм	Разъёмный сердечник	Монтаж на DIN рейку	Выход	UR MIN UL	№ рисунка	Тип	Особенности
лый ток, значение	50	СТ	Не требует питания	0.050.06	1	-20+70	Ø 8	•		0-16mA	•	155	TT 50-SD	
Переменный ток, мгновенное значен	100	СТ	Не требует питания	0.050.06	1	-20+70	Ø 16	•		0-33mA	•	156	TT 100-SD	
	5, 10, 20, 50, 100, 150	СТ	Не требует питания	0.050.06	1.5 a)	-20+60	Ø 16	•		0-5/10 V _{DC}	•	157	AT 5150 B5/10	RMS (средневыпрямленный) выход
Выход)	5, 10, 20, 50, 100, 150	СТ	Питание от шлей- фа +2030 V _{DC}	0.050.06	1.5 a)	-20+60	Ø 16	•		4-20 mA _{DC}	•	158	AT 5150 B420L	RMS (средневыпрямленный) выход
	10, 20, 50, 100, 150, 200	СТ	Не требует питания	0.050.06	1	-20+50	21.7 x 21,7	•	0	0-10 V _{DC}	A	159	AK 50200 B10	RMS (средневыпрямленный) выход
квадра-т	2, 5, 10, 20, 50, 100, 150, 200	СТ	Питание от шлей- фа +24 V _{DC}	0.020.1	1	-20+50	21.7 x 21,7	•	0	4-20 mA _{DC}	A	159	AK 5200 B420L	RMS (средневыпрямленный) выход
ентедо)	10, 20, 50, 100, 150, 200	СТ	Не требует питания	0.050.06	1	-20+50	Ø 19		0	0-10 V _{DC}	A	161	AK 50200 C10	RMS (средневыпрямленный) выход
ok, RMS	2, 5, 10, 20,50, 100, 150, 200	СТ	Питание от шлей- фа +24 V _{DC}	0.020.1	1	-20+50	Ø 19			4-20 mA _{DC}	•	161	AK 5200 C420L	RMS (средневыпрямленный) выход
Переменный ток, RMS (среднеквадра-тичный	10, 25, 50, 75, 100, 150, 200, 300, 400	PRiME	+24 V _{DC}	0.032	1 a)	-20+60	Ø 18.5	•	•	0-5/10 V _{DC}	A	162	AP 50400 B5/10	RMS (средневыпрямленный) выход 0-5/10 V _{DC} переключаемый Переключатель выбора диапазона измеряемого тока
	10, 25, 50, 75, 100, 150, 200, 300, 400	PRiME	Питание от шлей- фа +1224 V _{DC}	0.032	1 ^{a)}	-20+60	Ø 18.5	•	•	4-20 mA _{DC}	•	163	AP 50400 B420L	RMS (средневыпрямленный) выход Переключатель выбора диапазона измеряемого тока
	2, 5, 10, 20, 50, 100, 150, 200	СТ	Питание от шлей- фа +24 V _{DC}	0.010.4	1	-20+50	21.7 x 21,7	•	0	4-20 mA _{DC}	A	160	AKR 5200 B420L	True RMS выход Переключатель выбора диапазона измеряе- мого тока
S Bbixon)	2, 5, 10, 20, 50, 100, 150, 200	СТ	Питание от шлей- фа +24 V _{DC}	0.010.4	1	-20+50	Ø 19		0	4-20 mA _{DC}	A	161	AKR 5200 C420L	True RMS выход Переключатель выбора диапазона измеряе- мого тока
rue RM.	10, 25, 50, 75, 100, 150, 200, 300, 400	PRiME	+24 V _{DC}	0.036	1 ^{a)}	-20+60	Ø 18.5	•	•	0-5/10 V _{DC}	A	162	APR 50400 B5/10	True RMS (средневыпрямленный) выход 0-5/10 V _{DC} переключаемый Переключатель выбора диапазона измеряемого тока
Переменный ток, Т (истинный среднеквалра	10, 25, 50, 75, 100, 150, 200, 300, 400	PRiME	Питание от шлей- фа +1224 V _{DC}	0.036	1 a)	-20+60	Ø 18.5	•	•	4-20 mA _{DC}	A	163	APR 50400 B420L	True RMS выход Переключатель выбора диапазона измеряе- мого тока
Пе (истинны	375, 500, 750	СТ	Питание от шлей- фа +24 V _{DC}	0.010.4	1	-20+50	Ø 76			4-20 mA _{DC}		164	AKR 750 C420L J	True RMS выход Переключатель выбора диапазона измеряе- мого тока
	1000, 1333, 2000	СТ	Питание от шлей- фа +24 V _{DC}	0.010.4	1	-20+50	Ø 76			4-20 mA _{DC}		164	AKR 2000 C420L J	True RMS выход Переключатель выбора диапазона измеряе- мого тока





- а) не учитывая начального смещения
- b) 2% для модели 400 A ос адаптером
- ▲ сертифицированы UL
- сертифицированы компоненты UL

$I_{\rm DM} = 5 A \dots 20000 A$

IPN	= 5 A	*** 4	2000	UA									<u>DRS / RI</u>	Open-loop
Тип обработки сигнала	I _{PN}	Технология	U _c V	Частотный диапазон кГц	Хпри I _{PN} T _A = 25°C	T _A °C	Отверстие мм	Разъёмный сердечник	DIN рейка	Выход	UR или UL	№ рисунка	Тип	Особенности
	100, 200, 300, 400, 500, 600, 1000	O/L	+2050 V _{DC}	DC и 0.026	1 a)	-40+70	Ø 32			0-5/10 V _{DC}	A	165	DHR 1001000 C5/10	UL от 100 по 400 A True RMS выход
e RMS	100, 200, 300, 400, 500, 600, 1000	O/L	+2050 V _{DC}	DC и 0.026	1 ^{a)}	-40+70	Ø 32			4-20 mA _{DC}	A	165	DHR 1001000 C420	UL от 100 по 400 A True RMS выход
й ток, Trui гичный вы	500, 800, 1000, 1500, 2000	O/L	+2050 V _{DC}	DC и 0.026	1 ^{a)}	-40+70	104 x 40	•		0-5/10 V _{DC}		166	AHR 5002000 B5/10	True RMS выход
Постоянный и переменный ток, True RMS (истинный среднеквадратичный выход)	500, 800, 1000, 1500, 2000	O/L	+2050 V _{DC}	DC и 0.026	1 a)	-40+70	104 x 40	•		4-20 mA _{DC}		166	AHR 5002000 B420	True RMS выход
ный и пе ный средн	4k, 6k, 10k, 12k, 14k, 20k	O/L	+/- 15 V _{DC}	DC и 0.0153	1 ^{a)}	-25+85	162 x 42			0-10 V _{DC}		71	HAZ 400020000 -SRU	True RMS выход
Постоян (истин	4k, 6k, 10k, 12k, 14k, 20k	O/L	+/- 15 V _{DC}	DC и 0.0153	1 a)	-25+85	162 x 42			0-20 mA _{DC}		71	HAZ 400020000 -SRI	True RMS выход
	4k, 6k, 10k, 12k, 14k, 20k	O/L	+/- 15 V _{DC}	DC и 0.0153	1 a)	-25+85	162 x 42			4-20 mA _{DC}		71	HAZ 400020000 -SRI/ SP1	True RMS выход
	50, 75, 100, 150, 200, 225, 300, 400	O/L	+2045 V _{DC}	DC	2	-20+50	21.7 x 21,7	•	0	0-5/10 V _{DC}		167	DK 100400 B5/10	Только величина тока — не направление Переключатель выбора диапазона измеряемого тока Однополярный выход - напряжение
DC Постоянный ток	50, 75, 100, 150, 200, 225, 300, 400	O/L	+2045 V _{DC}	DC	2	-20+50	21.7 x 21,7	•	0	4-20 mA _{DC}		167	DK 100400 B420	Только величина тока – не направление - 4 мА при Ip=0 Переключатель выбора диапазона измеряемого тока Однополярный токовый выход
	50, 75, 100, 150, 200, 225, 300, 400	O/L	+2045 V _{DC}	DC	2	-20+50	21.7 x 21,7	•	0	0-20 mA _{DC}		167	DK 100400 B020	Только величина тока – не направление - 0 мА при Ip=0 Переключатель выбора диапазона измеряемого тока Однополярный токовый выход
ток, измере-	50, 75, 100, 150, 200, 225, 300, 400	O/L	+2045 V _{DC}	DC	1 ^{b)}	-20+50	21.7 x 21,7	•	0	4-20 mA _{DC}		167	DK 100400 B420 B	Биполярное измерение постоянного тока (величина и направление) 12 mA при Ip = 0
DC Bipolar Постоянный ток, измерение в обеих полярностях	5, 10, 20, 50, 75, 100	O/L	+2045 V _{DC}	DC	1	-20+50	Ø 19,1		0	4-20 mA _{DC}		168	DK 20100 C420 B	Биполярное измерение постоянного тока (величина и направление) 12 mA при Ip = 0
DC Bipolar I ние в	500, 800, 1000, 1500, 2000	O/L	Питание от шлейфа +2030 V _{DC}	DC	1 ^{a)}	-10+70	104 x 40	•		4-20 mA		169	DH 5002000 B420L B	Биполярное измерение постоянного тока (величина и направление) 12 mA при lp = 0



SC = Разъёмный сердечник

$V_{PN} = 10$	V 2	500 V					DRS /	REL	Clo	osed-loop
I _{PN} (V _{PN}) mA	I _P (V _P) mA	Технология	U _c V	I _{out} при I _{PN}	Частотный диапазон кГц	X _G при T _A = 25°C % от I _{PN} с учетом макс. смещения	T _A °C	UR MIN UL	№ рисунка	Тип
10 (от 10 до 500 V)	± 14 (700 V)	C/L	± 1215	25 mA	Примечание с)	0.9	0+70	•	76	LV 25-P d)
10 (от 100 до 2500 V)	± 20 (5000 V)	C/L	± 15	50 mA	Примечание с)	0.7	0+70		77	LV 100 e)

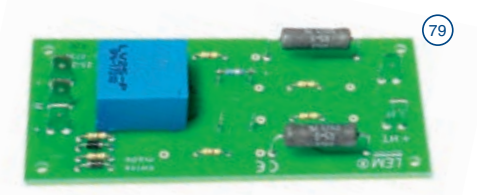
V_{PN}	= 50	V 400	V				IDT		CI	osed-lo	ор	Fluxgate
+V	+V-	вилог	$\sf U_c$	V _{out}	Частотный диапазон	Х _е при Т _А = 25°C	T _A	и ОГ	унка		ние входа	ие выхода
±V _{PN} V	±V _P V	Технопогия	V	^{-out} при V _{PN}	кГц	% от V _{PN} с учетом макс. смещения	°C	UR или UL	№ рисунка	Тип	Подключение входа	Подключение выхода
50	75	Цифровая технология изоляции	± 1524	50 mA	DC-14 (-3dB)	0.5	-40+85		78	DVL 50	2 x M5	3 x M5 + фастоны
125	188	Цифровая технология изоляции	± 1524	50 mA	DC-14 (-3dB)	0.5	-40+85		78	DVL 125	2 x M5	3 x M5 + фастоны
150	225	Цифровая технология изоляции	± 1524	50 mA	DC-14 (-3dB)	0.5	-40+85		78	DVL 150	2 x M5	3 x M5 + фастоны
250	375	Цифровая технология изоляции	± 1524	50 mA	DC-14 (-3dB)	0.5	-40+85		78	DVL 250	2 x M5	3 x M5 + фастоны
200	300	C/L	± 1215	25 mA	Примечание с)	0.9	-25+70	0	79	LV 25- 200	Фастоны	Фастоны
400	600	C/L	± 1215	25 mA	Примечание с)	0.9	-25+70	0	79	LV 25- 400	Фастоны	Фастоны
140	200	Fluxgate "C"	± 15	10 V/200 V	DC-300 (-1dB)	0.2 при Vp	-40+85		80	CV 3-200	2 x M5	4 x M5
350	500	Fluxgate "C"	± 15	10 V/500 V	DC-300 (-1dB)	0.2 при Vp	-40+85		80	CV 3-500	2 x M5	4 x M5



V_{PN}	=	500 V	420	0 V	DRS / R	EU_	IDT			Closed-loop		Fluxgate
±V _{PN}	±V _P	Технология	U _c V	Vout lout при V _{PN}	Частотный диапазон кГц	X _G при TA = 25°C % от V _{PN} с учетом макс. смещения	T _A °C	UR или UL	№ рисунка	Тип	Подключение входа	Подключение выхода
500	750	Цифровая технология изоляции	± 1524	50 mA	DC-14 (-3dB)	0.5	-40+85		78	DVL 500	2 x M5	3 x M5 + фастон
750	1125	Цифровая технология изоляции	± 1524	50 mA	DC-14 (-3dB)	0.5	-40+85		78	DVL 750	2 x M5	3 x M5 + фастон
1000	1500	Цифровая технология изоляции	± 1524	50 mA	DC-14 (-3dB)	0.5	-40+85		78	DVL 1000	2 x M5	3 x M5 + фастон
1000	1500	Цифровая технология изоляции	± 1524	50 mA	DC-12 (3dB)	0.3	-40+85		81	DV 1000	Кабель	Кабель
1200	1800	Цифровая технология изоляции	± 1524	50 mA	DC-12 (3dB)	0.3	-40+85		82	DV 1200/SP2	Кабель	М5 + фастон
1500	2250	Цифровая технология изоляции	± 1524	50 mA	DC-14 (-3dB)	0.5	-40+85		78	DVL 1500	2 x M5	3 х М5 + фастон
1500	2250	Цифровая технология изоляции	± 1524	50 mA	DC-12 (3dB)	0.3	-40+85		82	DV 1500	Кабель	М5 + фастон
2000	3000	Цифровая технология изоляции	± 1524	50 mA	DC-14 (-3dB)	0.5	-40+85		78	DVL 2000	2 x M5	3 х М5 + фастон
2000	3000	Цифровая технология изоляции	± 1524	50 mA	DC-12 (3dB)	0.3	-40+85		81	DV 2000	Кабель	Кабель
2000	3000	Цифровая технология изоляции	± 1524	50 mA	DC-12 (3dB)	0.3	-40+85		82	DV 2000/SP1	Кабель	М5 + фастон
2000	3000	Цифровая технология изоляции	± 1524	50 mA	DC-12 (3dB)	0.3	-40+85		83	DV 2000/SP2	M5	M5
2800	4200	Цифровая технология изоляции	± 1524	50 mA	DC-12 (3dB)	0.3	-40+85		84	DV 2800/SP4	M5	M5
3000	4500	Цифровая технология изоляции	± 1524	50 mA	DC-12 (3dB)	0.35	-40+85		84	DV 3000/SP1	M5	M5
4200	6000	Цифровая технология изоляции	± 1524	50 mA	DC-12 (3dB)	0.3	-40+85		81	DV 4200/SP3	Кабель	Кабель
4200	6000	Цифровая технология изоляции	± 1524	50 mA	DC-12 (3dB)	0.3	-40+85		84	DV 4200/SP4	M5	M5
600	900	C/L	± 1215	25 mA	Примечание с)	0.9	-25+70		79	LV 25-600	Фастон	Фастон
800	1200	C/L	± 1215	25 mA	Примечание с)	0.9	-25+70		79	LV 25-800	Фастон	Фастон
1000	1500	C/L	± 1215	25 mA	Примечание с)	0.9	-25+70		79	LV 25-1000	Фастон	Фастон
1200	1800	C/L	± 1215	25 mA	Примечание с)	0.9	-25+70	•	79	LV 25-1200	Фастон	Фастон
2500	3750	C/L	± 15	50 mA	Примечание с)	0.9	0+70		85	LV 100-2500	2 x M5	3 х М5 + фастон
3000	4500	C/L	± 15	50 mA	Примечание с)	0.9	0+70		85	LV 100-3000	2 x M5	3 х М5 + фастон
3500	4500	C/L	± 15	50 mA	Примечание с)	0.9	0+70		85	LV 100-3500	2 x M5	3 х М5 + фастон
4000	6000	C/L	± 15	50 mA	Примечание с)	0.9	0+70		85	LV 100-4000	2 x M5	3 х М5 + фастон
700	1000	Fluxgate "C"	± 15	10 V/1000 V	DC-500 (-1dB при 50 % от V _{PN})	0.2 при V _P	-40+85		80	CV 3-1000	2 x M5	4 x M5
840	1200	Fluxgate "C"	± 15	10 V/1200 V	DC-800 (-1dB при 40% от V _{PN})	0.2 при V _P	-40+85		80	CV 3-1200	2 x M5	4 x M5
1000	1500	Fluxgate "C"	± 15	10 V/1500 V	DC-800 (-1dB при 33% от V _{PN})	0.2 при V _P	-40+85		80	CV 3-1500	2 x M5	4 x M5
1400	2000	Fluxgate "C"	± 15	10 V/2000 V	DC-300 (-1dB при 25% от V _{PN})	0.2 при V _P	-40+85		80	CV 3-2000	2 x M5	4 x M5

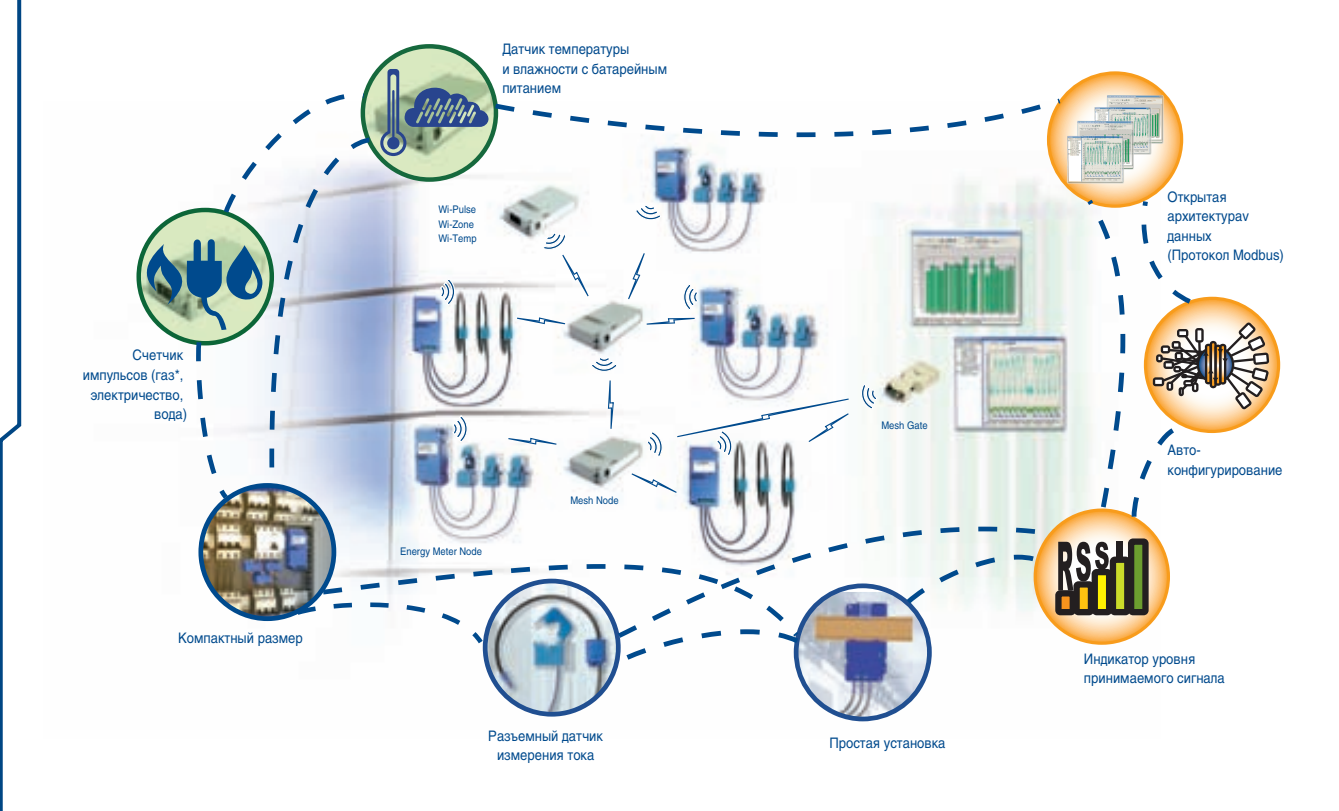
Примечания:

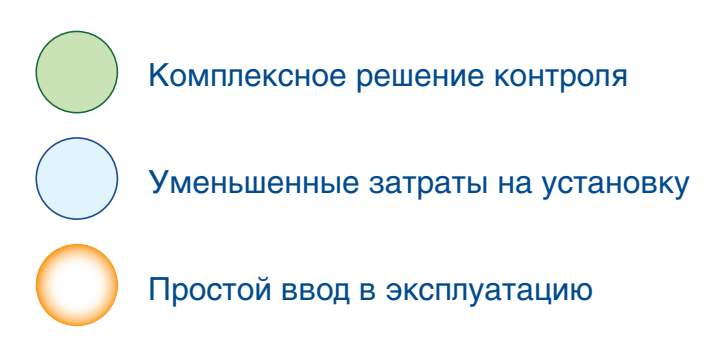
- с) См. время отклика в техпаспорте
- d) Подключения входа и выхода данного датчика осуществлены на печатной плате
- е) Механический монтаж
- О) Классификация в процессе



Wi-LEM DRS / REU

Беспроводная система учета электроэнергии



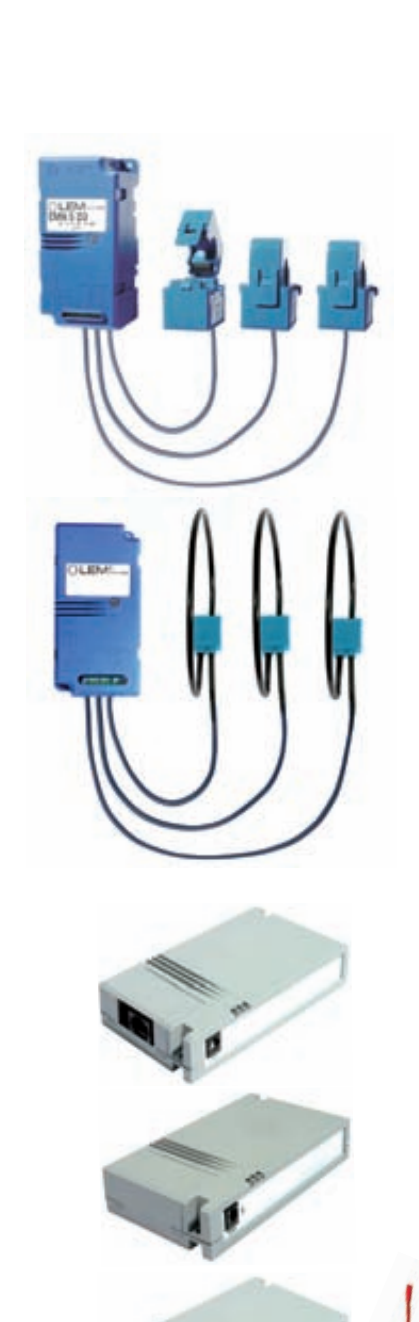




Применение:

- Разграничение точек потребления электроэнергии (куда она уходит?)
- Распределение потерь электроэнергии между пользователями
- Определение энергоэффективности оборудования
- Аудит энергоэффективности объектов до и после переоборудования
- Управление характеристиками нагрузки (пиковые нагрузки)
- Техническое обслуживание и управление энергохозяйством предприятий

^{*} необходим дополнительный модуль барьера искробезопасности





Energy Meter Node (Модуль учета электроэнергии) (EMN):

Однофазный или трёхфазный электросчётчик со встроенным модулем беспроводной передачи данных

Диапазон измерений тока:

- от 20 до 2000 А

Напряжения:

- от 90 до 500 В переменного тока

Контролируемые системой параметры в трех фазах:

	Значен	ия в зада	анном инт	ервале (показани	я в задан	ном инте	рвале от	5 до 30 м	шнут)	Сум	марны	е значе	ения
		L1			L2			L3		Ма				Ма
	Сред.	Мин.	Макс.	Сред.	Мин.	Макс.	Сред.	Мин.	Макс.	Сумма	L1	L2	L3	Сумма
Ток (А)														
Напряжение (В)														
Активная энергия (кВт/ч)														
Реактивная энергия (кВар/ч)														
Полная энергия (кВА)														
Частота														

Wi-Pulse:

Счетчик импульсов, который подсчитывает и передаёт импульсы от счётчиков воды и газа.

Wi-Zone:

Датчик температуры и влажности окружающей среды

Wi-Temp:

Датчик температуры с двумя выносными термисторами

Mesh Gate:

Сетевой интерфейс для управления беспроводной сетью (до 200 модулей). Он передаёт данные на ПК или удаленный терминал посредством последовательного интерфейса

Mesh Node:

Повторители (репитеры). Позволяют увеличить расстояние беспроводной связи между модулями

$I_{PN} = 100 A \dots 1000 A$

Датчики производства ЛЕМ Россия общепромышленного применения

						при І _{РN} = 25°C			E	Выводы			·	
I _{PN}	l _p	СПИЯ	U _c	V _{out}	Частотный	Х Т Б =	T _A	пері	зичные	В	торичные	нка		
A	A	Технология	V	I _{out}	диапазон кГц	%	°C	печатная плата	отверстие, шина,др.	печатная плата	другое	№ рисунка	Тип	Особенности
100	± 150	C/L	± 15	100 mA	DC-150 (-1dB)	0.5	-25+70		Ø10 mm	•		6	LT 100-P/SP67	
100	± 200	C/L	± 1218	100 mA	DC-150 (-1dB)	0.5	-25+70		Ø15 mm		3 х фастон	11	LT 100-S/SP96	
100	± 200	C/L	± 1218	100 mA	DC-150 (-1dB)	0.5	-25+70		Шина		3 х фастон	1	LT 100-T/SP96	
200	± 300	C/L	± 1218	100 mA	DC-150 (-1dB)	0.5	-25+70		Ø20 mm		3 х фастон	4	LT 200-S/SP48	
200	± 300	C/L	± 1218	100 mA	DC-150 (-1dB)	0.5	-25+70		Шина		3 х фастон	17	LT 200-T/SP48	
300	± 500	C/L	± 1218	150 mA	DC-150 (-1dB)	0.5	-25+70		Ø20 mm		3 х фастон	4	LT 300-S/SP49	
300	± 500	C/L	± 1218	150 mA	DC-150 (-1dB)	0.5	-25+70		Шина		3 х фастон	17	LT 300-T/SP49	
500	± 1000	C/L	± 1524	100 mA	DC-150 (-1dB)	0.3	-25+70		Ø25 mm		3 x M5	15	LT 500-S/SP92	
500	± 1000	C/L	± 1524	100 mA	DC-150 (-1dB)	0.3	-25+70		Шина		3 x M5	13	LT 500-T/SP92	
500	± 1500		± 1524	100 mA	DC-100 (-1dB)	0.7	-25+85		Ø42 mm		4 х М5+ фастон	9	LTC 600-SF/SP4	С ножками + Экран
500	± 1500	C/L	± 1524	100 mA	DC-100 (-1dB)	0.7	-25+85		Шина		4 х М5+ фастон	2	LTC 600-TF/SP4	С ножками + Экран
1000	± 2400	C/L	± 1524	200 mA	DC-100 (-1dB)	0.4	-25+85		Ø42 mm		4 х М5+ фастон	9	LTC 1000-SF/SP20	С ножками + Экран
1000	± 2400	C/L	± 1524	200 mA	DC-100 (-1dB)	0.4	-25+85		Шина		4 х М5+ фастон	2	LTC 1000-TF/SP20	С ножками + Экран
1000	± 1500	C/L	± 15	200 mA	DC-100 (-1dB)	0.3	-25+70		Ø40 mm		3 х фастон	10	LT 1000-SI/SP98	
1000	± 1500	C/L	± 15	200 mA	DC-100 (-1dB)	0.3	-25+70		Шина		3 х фастон	12	LT 1000-TI/SP98	
1000	± 2000	C/L	± 24	200 mA	DC-100 (-1dB)	0.3	-25+70		Ø40 mm		3 х фастон	10	LT 1000-SI/SP100	
1000	± 2000	C/L	± 24	200 mA	DC-100 (-1dB)	0.3	-25+70		Шина		3 х фастон	12	LT 1000-TI/SP100	
10 (100 2500 V)	± 20 (5000 V)	C/L	± 15	50 mA	tr = 20-100 мкс	0.7	-25+70		2 x M5		3 х фастон	16	LV100/SP83	Датчик напряжения



$I_{PN} = 5 A ... 1000 A$

Датчики производства ЛЕМ Россия транспортного применения

						при І _{РN}			Bı	ыводы				
		иия	U _c	V _{out}	Частотный	Х _G пр	T _A	пер	вичные	В	горичные	нка		
I _{PN}	I _⊳ A	Технология	V	I _{out} при I _{PN}	диапазон кГц	%	°C	печатная плата	отверстие, шина,др.	печатная плата	другое	№ рисунка	Тип	Особенности
5 - 25	±7-±36	C/L	± 15	25 mA	DC-150 (-1dB)	0.6	-40+85	•		•		3	LA 25-NP/SP44	
50	± 70	C/L	± 1215	50 mA	DC-200 (-1dB)	0.65	-50+85		12,7x7 mm	•		14	LA 55-P/SP43	
125	± 200	C/L	± 1215	125 mA	DC-100 (-1dB)	0.6	-50+85		17x11 mm	•		7	LA 125-P/SP15	
200	± 300	C/L	± 1215	100 mA	DC-100 (-1dB)	0.4	-50+85		17x11 mm	•		5	LA 200-P/SP11	
100	± 150	C/L	± 15	100 mA	DC-150 (-1dB)	0.5	-50+85		Ø10 mm	•		6	LT 100-P/SP68	
100	± 200	C/L	± 1218	100 mA	DC-150 (-1dB)	0.5	-50+70		Ø15 mm		3х фастон	11	LT 100-S/SP97	
100	± 200	C/L	± 1218	100 mA	DC-150 (-1dB)	0.5	-50+70		Шина		3 х фастон	1	LT 100-T/SP97	
300	± 500	C/L	± 1218	100 mA	DC-150 (-1dB)	0.5	-50+70		Ø20 mm		3х фастон	4	LT 300-S/SP50	
300	± 500	C/L	± 1218	100 mA	DC-150 (-1dB)	0.5	-50+70		Шина		3х фастон	17	LT 300-T/SP50	
300	± 500	C/L	± 1218	150 mA	DC-150 (-1dB)	0.5	-50+70		Ø20 mm		3х фастон	4	LT 300-S/SP51	
300	± 500	C/L	± 1218	150 mA	DC-150 (-1dB)	0.5	-50+70		Шина		3х фастон	8	LT 300-T/SP51	
200	± 300	C/L	± 1218	200 mA	DC-150 (-1dB)	0.5	-50+70		Ø20 mm		3х фастон	4	LT 300-S/SP52	
500	± 1000	C/L	± 1524	100 mA	DC-150 (-1dB)	0.3	-50+85		Ø25 mm		3 x M5	15	LT 500-S/SP93	
500	± 1000	C/L	± 1524	100 mA	DC-150 (-1dB)	0.3	-50+85		Шина		3 x M5	13	LT 500-T/SP93	
500	± 1500	C/L	± 1524	100 mA	DC-100 (-1dB)	0.7	-50+85		Ø42 mm		4 х М5+ фастон	9	LTC 600-SF/SP3	С ножками + Экран
500	± 1500	C/L	± 1524	100 mA	DC-100 (-1dB)	0.7	-50+85		Шина		4 х М5+ фастон	2	LTC 600-TF/SP3	С ножками + Экран
1000	± 2400	C/L	± 1524	200 mA	DC-100 (-1dB)	0.4	-50+85		Ø42 mm		4 х М5+ фастон	9	LTC 1000-SF/SP21	С ножками + Экран
1000	± 2400	C/L	± 1524	200 mA	DC-100 (-1dB)	0.4	-50+85		Шина		4 х М5+ фастон	2	LTC 1000-TF/SP21	С ножками + Экран
1000	± 1500	C/L	± 1524	200 mA	DC-100 (-1dB)	0.3	-50+85		Ø40 mm		3 x M5	10	LT 1000-SI/SP99	
1000	± 1500	C/L	± 1524	200 mA	DC-100 (-1dB)	0.3	-50+85		Шина		3 x M5	12	LT 1000-TI/SP99	
10 (от100 до 2500 V)	± 20 (5000 V)	C/L	± 1524	50 mA	tr = 20-100 мкс	0.7	-50+70		2 x M5		3 х фастон	16	LV100/SP84	Датчик напряжения
10 (от10до500 V)	± 14 (700 V)	C/L	± 15	25 mA	tr = 40 мкс	0.8	-40+85	•		•		18	LV25-P/SP20	Датчик напряжения



	l _{Pl}	_v =	0.	4 A	4	100 A			Τ.	TR	- бор	TOE	вое пр	иΜ	ене	ение 🚄	Closed-loop
							- 2° 5° -	- 5 - 5 - 5 - 5 - 5				іводы					
	PN	l _p	погия	U _c	V _{out}	Частотный пиапазон	X при І _{РN} Т _A = 25°C	Х _G при І _{РN} Т _A = 25 °C	T _A	пер	вичные	ВТ	оричные	ıı C	рисунка	_	
	A	Α	Технология	V	при I _{PN}	кГц	%	%	°C	печатная плата	отверстие, шина,др.	печатная плата	другое	UR или UL	Nº puc	Тип	Тип разъема
d).4	± 0.85	C/L	± 15	30 mA	DC-150 (-1dB)	0.5	0.8	-40+85	•		•		•	1	LA 25-NP/SP38	
1	1.5	± 2.2	C/L	± 15	24 mA	DC-150 (-1dB)	0.5	0.9	-40+85	•		•		•	1	LA 25-NP/SP34	
L	2	± 2.5	C/L	± 15	40 mA	DC-150 (-1dB)	0.5	0.7	-40+85	•		•		•	1	LA 25-NP/SP39	
	5	± 7	C/L	± 15	25 mA	DC-150 (-1dB)	0.5	0.9	-40+85	•		•		•	22	LA 25-NP/SP25	
L	6	± 9	C/L	± 15	24 mA	DC-150 (-1dB)	0.5	0.9	-40+85	•		•		•	22	LA 25-NP/SP25	
	8	± 12	C/L	± 15	24 mA	DC-150 (-1dB)	0.5	0.9	-40+85	•		•		•	22	LA 25-NP/SP25	
L	12	± 18	C/L	± 15	24 mA	DC-150 (-1dB)	0.5	0.9	-40+85	•		•		•	22	LA 25-NP/SP25	
3	25	± 36	C/L	± 15	25 mA	DC-150 (-1dB)	0.5	0.9	-40+85	•		•		•	22	LA 25-NP/SP25	
1	00	± 200	C/L	± 1215	100 mA	DC-100 (-3dB)	0.4	0.6	-40+85		Ø 15.5 mm		Разъем Molex	٠	44	LF 205-S/SP5	Molex Minifit 5566
1	30	±1000	C/L	± 24	65 mA	DC-50 (-3dB)	0.5	1.45	-40+85		Отверстие 13x30 mm		Разъем Molex	•	108	LAC 300-S/SP5	Molex 70543-0003
2	00	± 400	C/L	± 24	50 mA	DC-50 (-3dB)	0.5	1	-40+85		Отверстие 13x30 mm		Кабель	•	110	LAC 300-S/SP8	
2	00	± 420	C/L	± 1215	100 mA	DC-100 (-3dB)	0.4	0.5	-40+85		Ø 15.5 mm		Разъем Molex	•	44	LF 205-S/SP1	Molex Minifit 5566
2	00	± 500	C/L	± 24	40 mA	DC-100 (-1dB)	0.7	1	-30+70		Разъёмный Отверстие 67x67 mm		Разъем АМР		111	LA 200-SD/SP3	AMP CPC 11/4
2	00	± 700	C/L	± 15	100 mA	DC-50 (-3dB)	0.5	1.25	-40+85		Отверстие 13x30 mm		Разъем Molex	•	108	LAC 300-S/SP1	Molex 70543-0003
3	00	± 500	C/L	± 1220	150 mA	DC-100 (-3dB)	0.3	0.47	-40+85		Ø 20 mm		Разъем Molex	•	55	LF 305-S/SP10	Molex Minifit 5566
3	00	± 640	C/L	± 15	100 mA	DC-50 (-3dB)	0.4	1	-40+85		Отверстие 13x30 mm		Разъем Molex	•	108	LAC 300-S/SP2	Molex 70543-0003
3	00	± 910	C/L	± 24	60 mA	DC-50 (-3dB)	0.5	1.4	-40+85		Отверстие 13x30 mm		Разъем Molex	•	108	LAC 300-S/SP4	Molex 70543-0003
4	00	± 600	C/L	± 15	80 mA	DC-50 (-3dB)	0.4	1.1	-40+85		Отверстие 13x30 mm		Разъем Molex	•	108	LAC 300-S/SP3	Molex 70543-0003



 $I_{PN} = 400 A \dots 500 A$

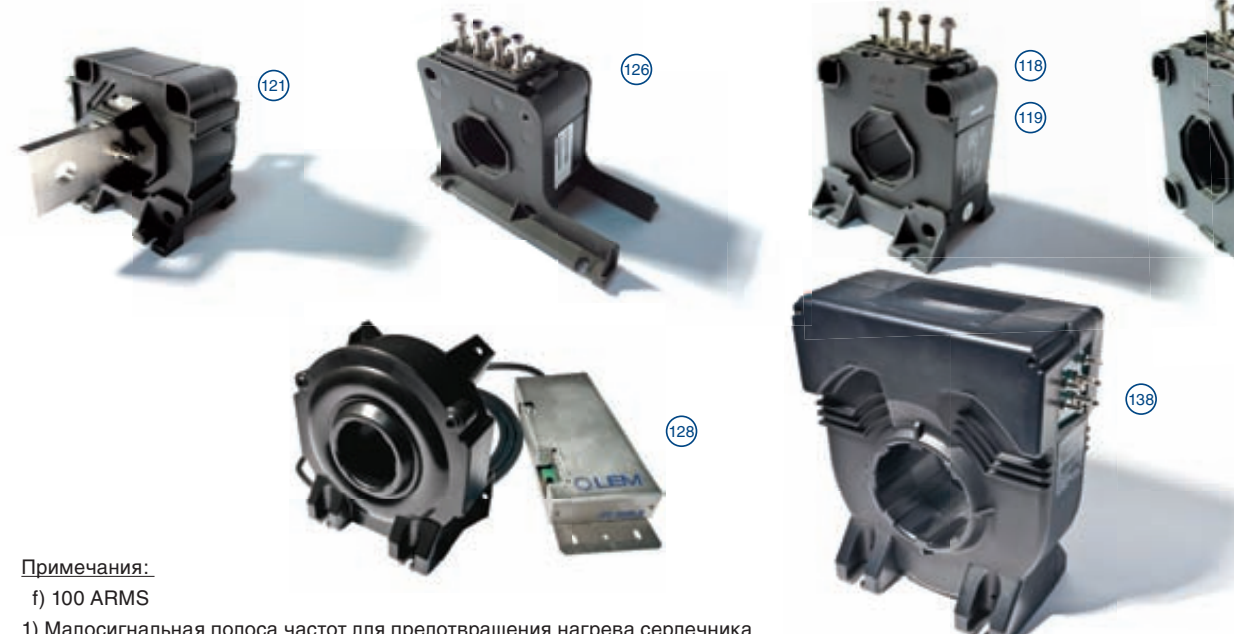
										0001		<u> </u>			711710	
						Хпри І _{РN} Т _A = 25°C	$X_{\rm G}$ При $I_{\rm PN}$ $T_{\rm A}=25^{\circ}{\rm C}$			Выв	оды					
I _{PN}	l _p	Технология	U _c	V _{out}	Частотный диапазон	Д Х = ₄	Ad L	T _A	пер	вичные	вторі	ичные	UR или UL	№ рисунка	Тип	00050
Α	A	Техно	V	при I _{PN}	кГц	%	%	°C	печатная плата	отверстие, шина,др.	печатная плата	другое	URM	иd _e N	ТИП	Особенности
400	± 650	C/L	± 15	100 mA	DC-50 (-3dB)	0.4	1	-40+85		Отв 13x30 mm		Molex	•	108	LAC 300-S	Molex 70543- 0003
400	± 1000	C/L	± 15	133 mA	DC-50 (-3dB)	0.4	1.2	-40+75		Отв 13x30 mm		Кабель	•	109	LAC 300-S/SP7	
350	± 1200	C/L	± 1524	175 mA	DC-100 (-1dB)	0.3	0.5	-40+85		Ø 27.5 mm		4 x M5		112	LTC 350-S	Экран
350	± 1200	C/L	± 1524	175 mA	DC-100 (-1dB)	0.3	0.5	-40+85		Ø 27.5 mm		4 x M5+ фастон		113	LTC 350-SF	С ножками +Экран
350	± 1200	C/L	± 1524	175 mA	DC-100 (-1dB)	0.3	0.5	-40+85		Шина		4 x M5+ фастон		114	LTC 350-T	Экран
350	± 1200	C/L	± 1524	175 mA	DC-100 (-1dB)	0.3	0.5	-40+85		Шина		4 x M5+ фастон		115	LTC 350-TF	С ножками + Экран
500	± 700	C/L	± 24	100 mA	DC-100 (-1dB)	0.4	1	-30+70		Разъёмный Отв. 67x67 mm		AMP		111	LA 500-SD/SP2	AMP CPC 11/4
500	± 1000	C/L	± 24	100 mA	DC-100 (-1dB)	0.3	0.6	-40+85		Ø 30.2 mm		Кабель	•	116	LF 505-S/SP23	Экран
500	± 1200	C/L	± 1524	125 mA	DC-100 (-1dB)	0.4	0.6	-40+85		Ø 27.5 mm		4 x М5+ фастон		112	LTC 500-S	Экран
500	± 1200	C/L	± 1524	125 mA	DC-100 (-1dB)	0.4	0.6	-40+85		Ø 27.5 mm		4 x М5+ фастон		113	LTC 500-SF	С ножками +Экран
500	± 1200	C/L	± 1524	125 mA	DC-100 (-1dB)	0.4	0.6	-40+85		Шина		4 x М5+ фастон		114	LTC 500-T	Экран
500	± 1200	C/L	± 1524	125 mA	DC-100 (-1dB)	0.4	0.6	-40+85		Шина		4 x M5+ фастон		115	LTC 500-TF	С ножками +Экран
500	± 1500	C/L	± 1524	100 mA	DC-100 (-1dB)	0.3	0.7	-40+85		Ø 42 mm		4 x М5+ фастон	•	117	LTC 600-S	Экран
500	± 1500	C/L	± 1524	100 mA	DC-100 (-1dB)	0.3	0.7	-40+85		Ø 42 mm		4 x М5+ фастон	•	118	LTC 600-SF	С ножками +Экран
500	± 1500	C/L	± 1524	100 mA	DC-100 (-1dB)	0.3	0.7	-40+85		Ø 42 mm		4 x М5+ фастон	•	119	LTC 600-SFC	С ножками + зажимы+экран
500	± 1500	C/L	± 1524	100 mA	DC-100 (-1dB)	0.3	0.7	-40+85		Шина		4 x M5+ фастон	•	120	LTC 600-T	Экран
500	± 1500	C/L	± 1524	100 mA	DC-100 (-1dB)	0.3	0.7	-40+85		Шина		4 x М5+ фастон	•	121	LTC 600-TF	С ножками +Экран



	_v =	100	0 A	2	2000	4			ТТ	R \angle	Oper	n-loop		CI	osed-loop	Fluxgate
						X при I _{PN} T _A = 25°C	Х _в при І _{РN} Т _A = 25°C			Выво	оды					
I _{PN}	l _p	вилоп	U _c	V _{out}	Частотный диапазон	X пр	X F = ×	T _A	пер	вичные	втор	ричные	I I	рисунка	_	
A	A	Технология	V	при I _{PN}	кГц	%	%	°C	печатная плата	отверстие, шина,др.	печатная плата	другое	UR или UL	Nº pnd	Тип	Особенности
1000	± 1100	O/L	± 15	10 V	DC-10 (-3dB) ¹⁾	1.8	2.3	-40+85		Ø 40 mm		Болты		122	HTC 1000-S/ SP4	
1000	± 1500	C/L	± 24	200 mA	DC-150 (-1dB)	0.3	0.5	-40+85		Ø 38.5 mm		4 x M4	•	123	LF 1005-S/SP14	Экран
1000	± 2400	C/L	± 1524	200 mA	DC-100 (-1dB)	0.3	0.4	-40+85		Ø 42 mm		4 x M5+ фастон	•	117	LTC 1000-S	Экран
1000	± 2400	C/L	± 1524	250 mA	DC-100 (-1dB)	0.3	0.4	-40+85		Ø 42 mm		4 x M5+ фастон	•	124	LTC 1000-S/ SP1	Экран
1000	± 3000	C/L	± 1524	250 mA	DC-100 (-1dB)	0.3	0.4	-40+85		Ø 42 mm		4 х фастон	•	125	LTC 1000-S/ SP25	Экран
1000	± 2400	C/L	± 1524	200 mA	DC-100 (-1dB)	0.3	0.4	-40+85		Ø 42 mm		4 x M5+ фастон	•	118	LTC 1000-SF	С ножками +Экран
1000	± 2400	C/L	± 1524	200 mA	DC-100 (-1dB)	0.3	0.4	-40+85		Ø 42 mm		4 х М4+ фастон	•	126	LTC 1000-SF/ SP24	С длинными ножками, посадочное место как у LT1000-SI Экран
1000	± 2400	C/L	± 1524	200 mA	DC-100 (-1dB)	0.3	0.4	-40+85		Ø 42 mm		4 x M5+ фастон	•	119	LTC 1000-SFC	С ножками +зажимы+Экран
1000	± 2400	C/L	± 1524	200 mA	DC-100 (-1dB)	0.3	0.4	-40+85		Шина		4 x M5+ фастон	•	120	LTC 1000-T	Экран
1000	± 2400	C/L	± 1524	200 mA	DC-100 (-1dB)	0.3	0.4	-40+85		Шина		4 x M5+ фастон	•	121	LTC 1000-TF	С ножками + Экран
1000	± 2500	O/L	± 15	5 V	DC-10 (-3dB) 1)	1.7	2	-40+70		Отв. 18x54 mm		Разъем Burndy		127	HAR 1000-S	Burndy SMS6GE4
2000	± 2200	O/L	± 15	10 V	DC-10 (-3dB) ¹⁾	1.8	2.3	-40+85		Ø 40 mm		Болты		122	HTC 2000-S/ SP4	
2000	± 3000	Fluxgate ITC	± 24	800 mA	DC-27 (3dB) ^{f)}	0.0015	0.01	-40+85		Ø 63 mm		Разъем D-Sub		128	ITC 2000-S/SP1	Класс точности 0.5R D-Sub male 15конт разъем Тестовая обмотка



I _{PN}	, = 2	200	0 A	4	4000	4			ТТ	TR 🚄	Ope	n-loop		C	losed-loop	Fluxgate
						Хпри І _{РN} Т _A = 25°C	Х _G при І _{РN} Т _A = 25°C			Вывс	оды					
I _{PN}	I _P	Гехнология	U _c	V _{out}	Частотный диапазон	Xπρι T _A =	× ₂ ⊢ ₄	T _A	пер	вичные	втор	ичные	и С	рисунка	To	05
Α	А	Техно	V	при I _{PN}	`` кГц	%	%	°C	печатная плата	отверстие, шина,др.	печатная плата	другое	UR или UL	Nº рис	Тип	Особенности
2000	± 3500	C/L	± 1524	400 mA	DC-150 (-1dB)	0.2	0.325	-40+85		Ø 56 mm		LEMO	•	129	LF 2005-S/SP1	LEMO EEJ.1B.304. СҮС Встроенный экран
2000	± 3500	C/L	± 1524	400 mA	DC-100 (-1dB)	0.2	0.325	-40+80		Ø 56 mm		LEMO	•	130	LF 2005-S/ SP27	LEMO EEJ.1B.304. СҮС Встроенный экран Обратная полярность тока
2000	± 3500	C/L	± 1524	400 mA	DC-100 (-1dB)	0.5	0.55	-40+85		Ø 56 mm		4 x M5	•	131	LF 2005-S/ SP28	Экран
3000	± 3300	O/L	± 15	10 V	DC-10 (-3dB) 1)	1.8	2.3	-40+85		Ø 40 mm		Болты		122	HTC 3000-S/ SP4	
3300	± 5000	C/L	± 24	660 mA	DC-100 (-1dB)	0.3	0.32	-25+70		Ø 102 mm		LEMO		132	LT 4000-S/ SP24	LEMO EGJ.1B.304. СҮС Экран
3300	± 5000	C/L	± 24	660 mA	DC-100 (-1dB)	0.3	0.32	-25+70		Ø 102 mm		3 x M5		133	LT 4000-S/ SP44	Встроенный экран
4000	± 6000	C/L	± 24	800 mA	DC-100 (-1dB)	0.3	0.5	-25+70		Ø 102 mm		3 x M5		72	LT 4000-S	
4000	± 6000	C/L	± 24	800 mA	DC-100 (-1dB)	0.3	0.5	-40+70		Ø 102 mm		AMP		134	LT 4000-S/SP12	АМР СРС 13/9 Тестовая цепь Экран
4000	± 6000	C/L	± 24	800 mA	DC-100 (-1dB)	0.3	0.5	-40+70		Ø 102 mm		3 x M5		72	LT 4000-S/ SP34	
4000	± 6000	C/L	± 24	800 mA	DC-100 (-1dB)	0.3	0.5	-40+70		Ø 102 mm		LEMO		135	LT 4000-S/ SP35	LEMO EGJ.1B.305. СҮС Тестовая цепь Встроенный экран
4000	± 6500	C/L	± 24	1 A	DC-100 (-1dB)	0.3	0.5	-40+85		Ø 102 mm		Кабель		136	LT 4000-S/ SP43	Экран
4000	± 6000	C/L	± 24	800 mA	DC-100 (-1dB)	0.3	0.5	-25+70		Шина		3 x M5		73	LT 4000-T	
4000	± 6500	C/L	± 24	1 A	DC-100 (-1dB)	0.3	0.5	-40+85		Шина		Кабель		137	LT 4000-T/SP40	
4000	± 6000	Fluxgate ITC	± 24	1600 mA	DC-82 (3dB) ^{f)}	0.0003	0.05	-40+85		Ø 102 mm		7 x M5 зажимы		138	ITC 4000-S	Класс точности 0.5R Тестовая цепь



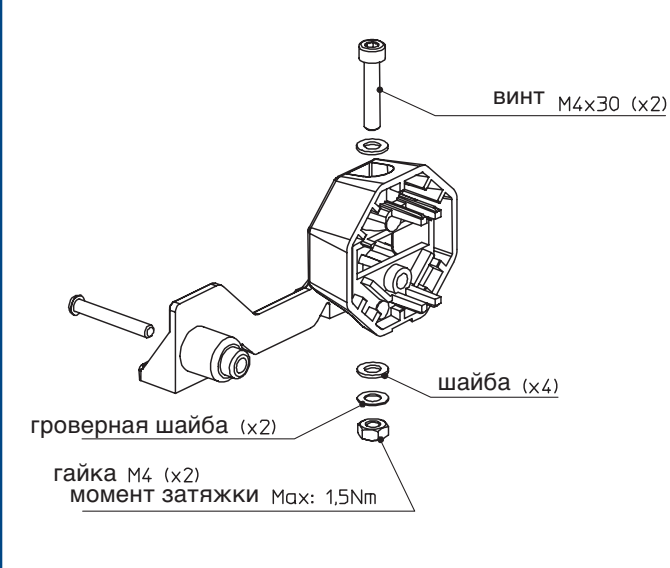
1) Малосигнальная полоса частот для предотвращения нагрева сердечника на высоких частотах и больших сигналах

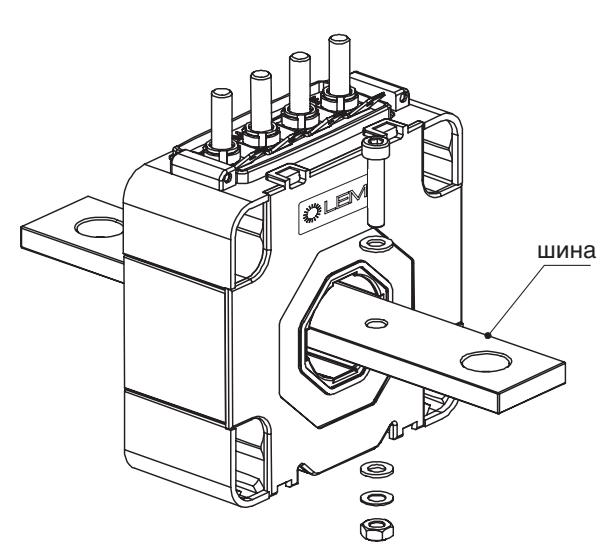
Техпаспорта являются единственными официальными документами на датчики и находятся на сайте: www.lem.com

Серия LTC: датчики тока модульной конструкции

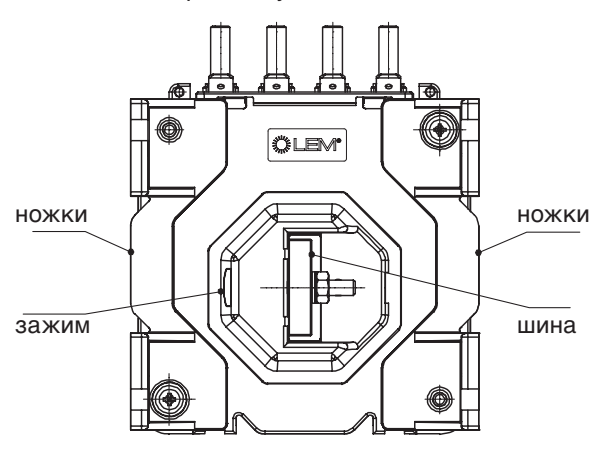
Транспорт – применение на подвижном составе

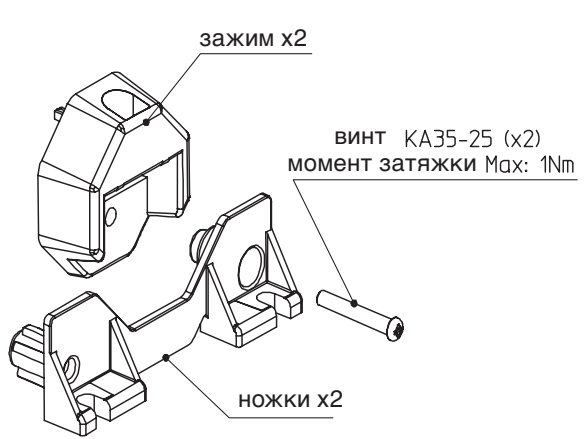
Механические аксессуары для адаптации Модели LTC 350 – 500





Раличные варианты установки шины и ножек





Аксессуары	Код
Набор с шиной * (шина : 155 x 25 x 6 мм)	93.34.41.100.0
Набор с шиной * (шина : 112 x 25 x 6 мм)	93.34.41.101.0
Набор для крепления шин **	93.34.41.200.0
Набор для крепления ножек ***	93.34.43.100.0

- включая всё необходимое для её монтажа: винты, шайбы, гайки, 2 зажима, шина
- ** то же самое, что *, только без шины
- *** включая винты и 2 ножки

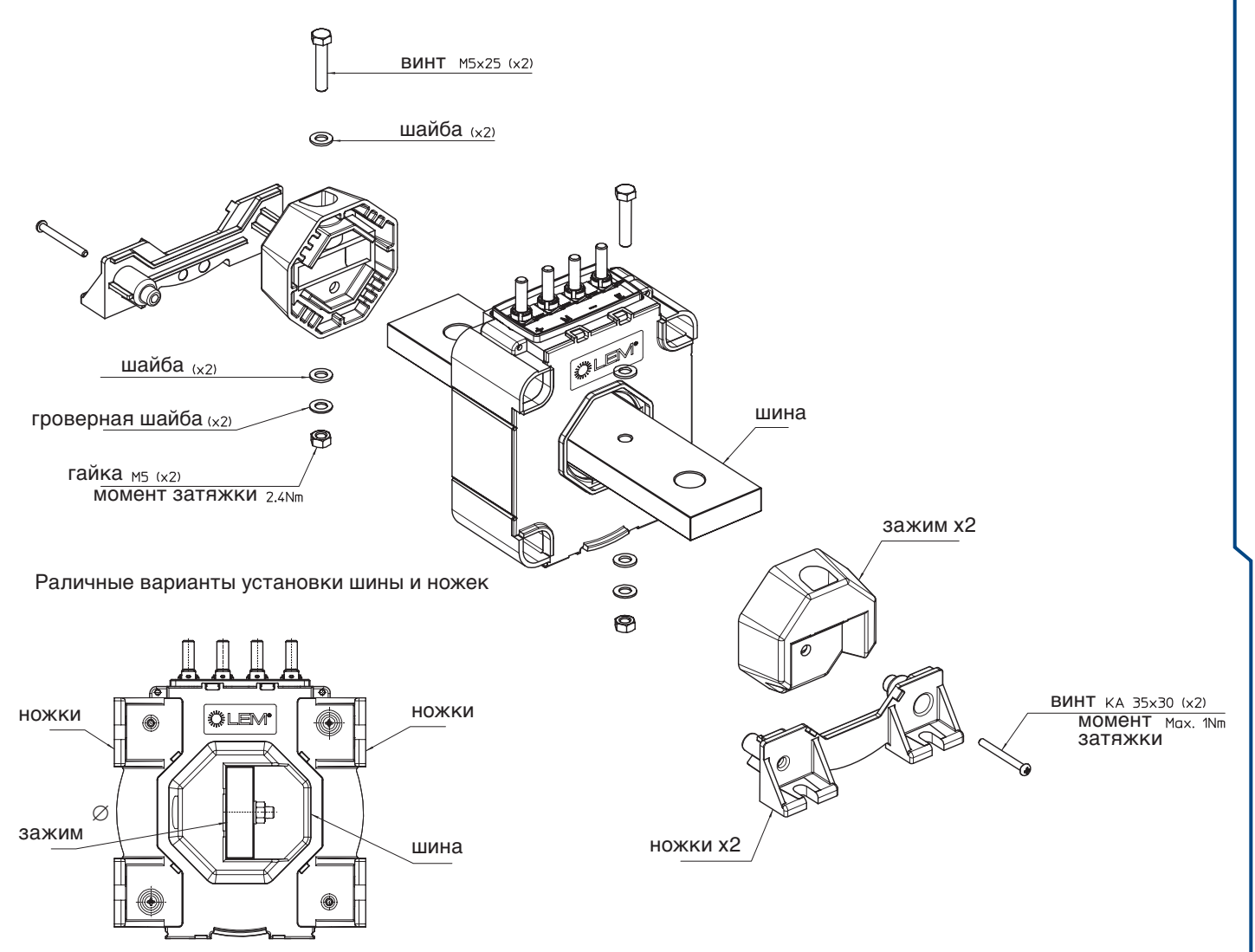


Значение напряжения затухания частичного разряда зависит от типа шины См. техпаспорт соответствующего датчика

Серия LTC: датчики тока модульной конструкции

Транспорт – применение на подвижном составе

Механические аксессуары для адаптации Модели LTC 600 – 1000



N. I.		10					
Nº	Аксессуары	Ссылки					
1	Набор с шиной * (шина : 210 x 40 x 12 мм)	93.34.61.100.0					
2	Набор с шиной * (шина : 185 x 40 x 8 мм)	93.34.61.102.0					
3	Набор с шиной * (шина : 285 x 36 x 12 мм)	93.34.61.103.0					
4	Набор с шиной * (шина : 260 x 36 x 12 мм)	93.34.61.104.0					
5	Набор с шиной * (шина : 195 x 36 x 10 мм)	93.34.61.105.0					
6	Набор с шиной * (шина : 36 mm ∅ x 325 мм)	93.34.61.106.0					
7	Набор с шиной * (шина : 185 x 40 x 10 мм)	93.34.61.107.0					
8	Набор с шиной * (шина : 180 x 40 x 12 мм)	93.34.61.108.0					
9	Набор для крепления шин (М5 х 25)** для шин с № 1 по 5 и № 7, 8	93.34.61.200.0					
10	Набор для крепления шин (М5 x 40)** для шины № 6						
11	Набор для крепления ножек *** 93.34.63.100.0						

- * включая всё необходимое для её монтажа: винты, шайбы, гайки, 2 зажима, шина
- ** то же самое, что *, только без шины
- *** включая винты и 2 ножки



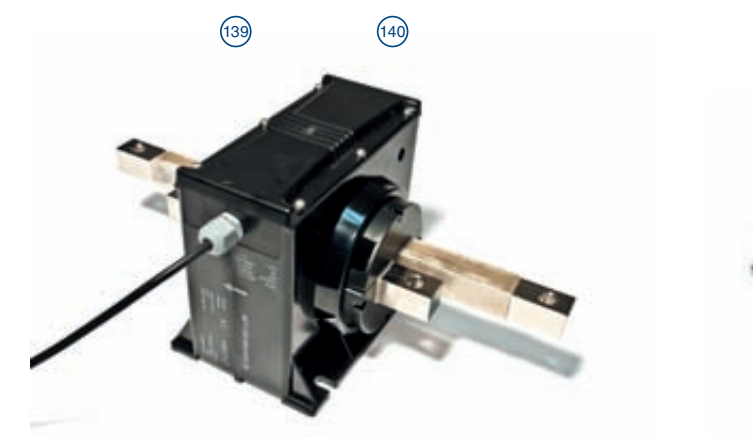
Значение напряжения затухания частичного разряда зависит от типа шины См. техпаспорт соответствующего датчика

/_{PN} = 2 A ... 10 A (Обнаружение неисправности)

Транспорт – специальные применения /

ווטי	упа	руже	писі	теис	правно	CIVI)			CI	СЦИ	алопі	ו סוכ	ιρи	IIVIERE	Fluxgate
						при І _{РN} = 25°C			Выводы						
I _{PN}	l _p	Гехнология	U _c	V _{out}	Частотный диапазон	× _a ⊢ E =	T _A		первичные	втори	1чные	или UL	рисунка	_	0.15
A	А	Техно	V	при I _{PN}	кГц	%	°C	печатная плата	отверстие, шина,др.	печатная плата	другое	UR M	Nº pu	Тип	Особенности
2	± 8	Flux "C"	± 1524	20 mA	DC-10 (-3dB)	3	-25+70		Ø 63.2 mm		Кабель		139	CD 1000- S/SP6	Дифференциальное измерение: 2 x 1200 A _{RMS}
10	± 10	Flux" C"	± 24	10 V	DC-20 (-3dB)	3	-40+70		2 шины: 1 шт 20x20x358 mm и 1шт 20x20x206 mm		Кабель		140	CD 1000- T/SP7	Дифференциальное измерение: 2 x 1500 A _{RMS}

V _{PN}	= 0.	03 V (Ш	унт и	золя	ятор)										IDT
V _{PN}	V_p	огия	U _c	V _{out} lout	Частотный	Х _в при І _{РN} Т _A = 25°C	T _A	перви	Вы	воды втор	ичные	, UL	рисунка		
A	A	Технология	V	при V _{PN}	диапазон кГц	%	°C	печатная плата	отверстие, шина,др.	печатная плата	другое	UR или UL	Nº рис	Тип	Особенности
0.03	± 0.045	Цифровая изоляцион- ная технология	± 1524	50 mA	DC-10 (3dB)	0.2	-40+85		Шина		М5 шпильки		141	DI 30/ SP1	Шунт изолятор Класс точности 1R по EN50463 при использовании с шунтом класса точности 0.2





$I_{PAC} = 0.1 \; A_{AC} \dots 20 \; A_{AC}$ (Обнаружение частот интерференции)

Транспорт

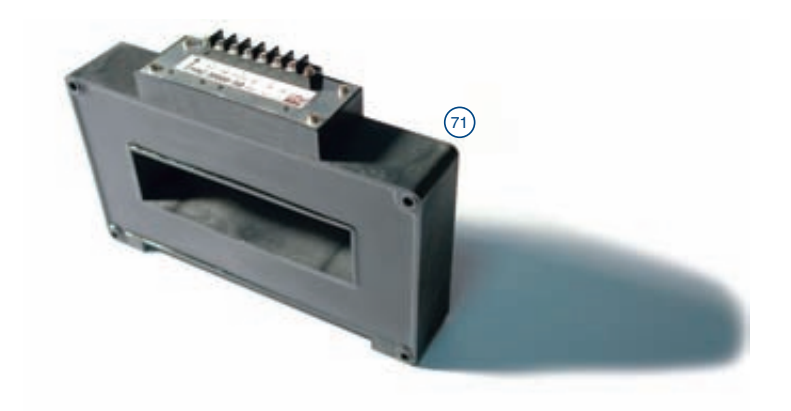
Rogowsk

								Вывс	лы —					Tiogonom
	гия		V _{out}	Частотный	% 	т	пер	вичные	··	ичные	님	ТКа		
I _P	Технология	U _c	out	диапазон	Хпри I _P = 25°C,	T _∧ °C					UR или UL	№ рисунка	Тип	Особенности
AC	¥		при I _Р	кГц	T		печатная плата	отверстие, шина,др.	печатная плата	другое	D	Z		
0.120 Измерение переменной составляющей постоянного первичного тока до 1000 A _{DC}	Rogowski	Не требует питания	2.π.M. f.I _{PAC} , V ⁹⁾ M.dI _P /dt, V ²⁾	0.023	3	-40+85		Ø 42 mm		Кабель		142	RA 1005-S	g) Для синусоидального сигнала 2. π. M = 25.10-6 ,H f в Гц 2) Для несинусоидального сигнала Тестовая цепь
0.120 Измерение переменной составляющей постоянного первичного тока до 3000 A _{DC}	Rogowski	Не требует питания	2.π.M. f.I _{PAC} , V ⁹⁾ M.dI _P /dt, V ²⁾	0.023	3	-25+70		Ø 102 mm		Кабель		143	RA 2000- S/SP1	h) Для синусоидального сигнала 2. π. M = 27.657.10-6 ,H f в Гц 2) Для несинусоидального сигнала Тестовая цепь
0.120 Измерение переменной составляющей постоянного первичного тока до 4000 A _{DC}	Rogowski	Не требует питания	2.π.M. f.I _{PAC} , V ^{g)} M.dI _P /dt, V 2)	0.023	3	-40+70		Ø 102 mm		Кабель		144	RA 2000- S/SP2	h) Для синусоидального сигнала 2. π. M = 27.657.10-6 ,H f в Гц 2) Для несинусоидального сигнала Тестовая цепь
0.120 Измерение переменной составляющей постоянного первичного тока до 4000 A _{DC}	Rogowski	Не требует питания	2.π.M. f.I _{PAC} , V ^{g)} M.dI _P /dt, V ²⁾	0.023	3	-40+70		Ø 102 mm		Разъем LEMO		145	RA 2000- S/SP3	h) Для синусоидального сигнала 2. π. M = 27.657.10-6 ,H f в Гц 2) Для несинусоидального сигнала Тестовая цепь
0.120 Измерение переменной составляющей постоянного первичного тока до 4000 A _{DC}	Rogowski	Не требует питания	2.π.M. f.I _{PAC} , V ^{g)} M.dI _P /dt, V ²⁾	0.023	3	-40+70 IP57		Ø 102 mm		Кабель		146	RA 2000- S/SP4	h) Для синусоидального сигнала 2. π. M = 27.657.10-6 ,H f в Гц 2) Для несинусоидального сигнала Тестовая цепь
0.120 Измерение переменной составляющей постоянного первичного тока до 4000 A _{DC}	Rogowski	Не требует питания	2.π.M. f.l _{PAC} , V ⁹⁾ M.dIP/dt, V ²⁾	0.023	3	-40+70		Шина 20x100x 340 mm		Кабель		147	RA 2000- T/SP2	h) Для синусоидального сигнала 2. π. M = 27.657.10-6 ,H f в Гц 2) Для несинусоидального сигнала Тестовая цепь



I,	PN :	= 10	A	. 60	000 A		Транспортная инфраструктура и подстанции							Оре	en-loop	Closed-loop
							2°C			Вывод	Ы					
	PN	l _p	Технология	U _c	V _{out} out	Частотный диапазон	Хпри I_{PN} $T_A = 25^{\circ}C$	T _A		первичные	В	торичные	UR или UL	№ рисунка	Тип	Особенности
	Α	A	Технс	V	при I _{PN}	кГц	%	°C	печатная плата	отверстие, шина,др.	печатная плата	другое	UR M	Nº pv	TVIII	Ссобенности
	10	± 20	C/L	+ 24	4-20 mA _{DC} при -/+I _P	DC	1 a)	-25+55 IP67		Разъёмный сердечник ∅ 15 mm		0.25 m провод + разъем		148	PCM 10-P	0
	10	± 20	C/L	+ 24	4-20 mA _{DC} при -/+I _P	DC	1 a)	-25+55		Разъёмный сердечник Ø 15 mm		2 m провод		149	PCM 10-P/SP1	
L	20	± 40	C/L	+ 24	4-20 mA _{DC} при -/+I _P	DC	1 a)	-25+55 IP67		Разъёмный сердечник Ø 15 mm		0.25 m провод + разъем		148	PCM 20-P	•
:	20	+ 20	C/L	+ 24	4-20 mA _{DC} при +I _P	DC	1 ^{a)}	-25+55		Разъёмный сердечник ∅ 15 mm		3 m провод		150	PCM 20-P/SP2	
Ŀ	20	+ 20	C/L	+ 24	4-20 mA _{DC} при +I _P	DC	1 ^{a)}	-25+55		Разъёмный сердечник Ø 15 mm		0.25 m провод + разъем		151	PCM 20-P/SP3	
:	20	+ 20	C/L	+ 24	4-20 mA _{DC} при +I _P	DC	1 ^{a)}	-25+55		Разъёмный сердечник Ø 15 mm		2.5 m провод + разъем		152	PCM 20-P/SP4	
Ŀ	20	± 40	C/L	+ 24	4-20 mA _{DC} при -/+I _P	DC	1 a)	-25+55		Разъёмный сердечник Ø 15 mm		3 m провод		150	PCM 20-P/SP6	
	30	± 60	C/L	+ 24	4-20 mA _{DC} при -/+IP	DC	1 a)	-25+55 IP67		Разъёмный сердечник Ø 15 mm		0.25 m провод + разъем		148	PCM 30-P	0
L	30	+ 30	C/L	+ 24	4-20 mA _{DC} при +I _P	DC	1 a)	-25+55		Разъёмный сердечник ∅ 15 mm		3 m провод		150	PCM 30-P/SP1	
L	5	± 25	C/L	+ 24	4-12 mA _{DC}	0.04-1 (-3dB)	2 a)	-25+55		Разъёмный сердечник ∅ 15 mm		0.25 m провод + разъем		153	PCM 5-PR/SP1	True RMS выход
L	5	± 25	C/L	+ 24	4-12 mA _{DC}	0.04-1 (-3dB)	2 a)	-25+55 IP67		Разъёмный сердечник Ø 15 mm		2 m провод		154	PCM 5-PR/SP2	True RMS выход
1	10	± 30	C/L	+ 24	4-12 mA _{DC}	0.04-1 (-3dB)	2 a)	-25+55		Разъёмный сердечник Ø 15 mm		0.25 m провод + разъем		153	PCM 10-PR/ SP1	True RMS выход
4	000	± 4000	O/L	± 15	10 V	DC-3 (+/-3dB) 1)	2	-25+85		Отверстие 162х42 mm		Разъем Fujicon		71	HAZ 4000-SB	Fujicon F2023A (6 выводов)
41	000	± 4000	O/L	± 15	20 mA	DC-3 (+/-3dB) 1)	2	-25+85		Отверстие 162х42 mm		Разъем Fujicon		71	HAZ 4000-SBI	Fujicon F2023A (6 выводов)
4	000	± 4000	O/L	± 15	4 mA при -I _{PN} 20 mA при +I _{PN}	DC-3 (+/-3dB) 1)	2	-25+85		Отверстие 162х42 mm		Разъем Fujicon		71	HAZ 4000-SBI/ SP1	Fujicon F2023A (6 выводов)
41	000	± 4000	O/L	± 15	0-20 mA _{DC}	DC и 0.0153 (+/-3 dB) ¹⁾	2	-25+85		Отверстие 162х42 mm		Разъем Fujicon		71	HAZ 4000-SRI	True RMS выход Fujicon F2023A (6 выводов)
41	000	± 4000	O/L	± 15	4-20 mA _{DC}	DC и 0.0153 (+/-3 dB) ¹⁾	2	-25+85		Отверстие 162х42 mm		Разъем Fujicon		71	HAZ 4000-SRI/ SP1	True RMS выход Fujicon F2023A (6 выводов)
41	000	± 4000	O/L	± 15	0-10 V _{DC}	DC и 0.0153 (+/-3 dB) ¹⁾	2	-25+85		Отверстие 162х42 mm		Разъем Fujicon		71	HAZ 4000-SRU	True RMS выход Fujicon F2023A (6 выводов)
6	000	± 6000	O/L	± 15	10 V	DC-3 (+/-3dB) 1)	2	-25+85		Отверстие 162х42 mm		Разъем Fujicon		71	HAZ 6000-SB	Fujicon F2023A (6 выводов)
6	000	± 6000	O/L	± 15	20 mA	DC-3 (+/-3dB) ¹⁾	2	-25+85		Отверстие 162х42 mm		Разъем Fujicon		71	HAZ 6000-SBI	Fujicon F2023A (6 выводов)
6	000	± 6000	O/L	± 15	4 mA при –I _{PN} 20 mA при +I _{PN}	DC-3 (+/-3dB) 1)	2	-25+85		Отверстие 162х42 mm		Разъем Fujicon		71	HAZ 6000-SBI/ SP1	Fujicon F2023A (6 выводов)
6	000	± 6000	O/L	± 15	0-20 mA _{DC}	DC и 0.0153 (+/-3 dB) ¹⁾	2	-25+85		Отверстие 162х42 mm		Разъем Fujicon		71	HAZ 6000-SRI	True RMS выход Fujicon F2023A (6 выводов)
6	000	± 6000	O/L	± 15	4-20 mA _{DC}	DC и 0.0153 (+/-3 dB) ¹⁾	2	-25+85		Отверстие 162x42 mm		Разъем Fujicon		71	HAZ 6000-SRI/ SP1	True RMS выход Fujicon F2023A (6 выводов)
6	000	± 6000	O/L	± 15	0-10 V _{DC}	DC и 0.0153 (+/-3 dB) ¹⁾	2	-25+85		Отверстие 162x42 mm		Разъем Fujicon		71	HAZ 6000-SRU	True RMS выход Fujicon F2023A (6 выводов)





I _{PN} =	= 1000	00	A	. 20000 A	ı	Транспортная инфраструктура и подстанции								Open-loop	Closed-loop
						2 ⁶ –			Выво	ды					
I _{PN}	l _P	Технология	U _c	Vout lout	Частотный диапазон	Хпри І _{РN} Т _A = 25°C	T _A	пер	вичные	втор	ичные	UR или UL	№ рисунка	Тип	Особенности
Α	A	Техн	V	при I _{PN}	кГц	%	°C	печатная плата	отверстие, шина,др.	печатная плата	другое	UR,	id _o N		
10000	± 10000	O/L	± 15	10 V	DC-3 (+/-3dB) ¹⁾	2	-25+85		Отверстие 162х42 mm		Разъем Fujicon		71	HAZ 10000-SB	Fujicon F2023A (6 выводов)
10000	± 10000	O/L	± 15	20 mA	DC-3 (+/-3dB) ¹⁾	2	-25+85		Отверстие 162х42 mm		Разъем Fujicon		71	HAZ 10000-SBI	Fujicon F2023A (6 выводов)
10000	± 10000	O/L	± 15	4 mA при -I _{PN} 20 mA при +I _{PN}	DC-3 (+/-3dB) ¹⁾	2	-25+85		Отверстие 162х42 mm		Разъем Fujicon		71	HAZ 10000-SBI/SP1	Fujicon F2023A (6 выводов)
10000	± 10000	O/L	± 15	0-20 mA _{DC}	DC и 0.0153 (+/-3 dB) ¹⁾	2	-25+85		Отверстие 162х42 mm		Разъем Fujicon		71	HAZ 10000-SRI	True RMS выход Fujicon F2023A (6 выводов)
10000	± 10000	O/L	± 15	4-20 mA _{DC}	DC и 0.0153 (+/-3 dB) ¹⁾	2	-25+85		Отверстие 162х42 mm		Разъем Fujicon		71	HAZ 10000-SRI/SP1	True RMS выход Fujicon F2023A (6 выводов)
10000	± 10000	O/L	± 15	0-10 V _{DC}	DC и 0.0153 (+/-3 dB) ¹⁾	2	-25+85		Отверстие 162х42 mm		Разъем Fujicon		71	HAZ 10000-SRU	True RMS выход Fujicon F2023A (6 выводов)
12000	± 12000	O/L	± 15	10 V	DC-3 (+/-3dB) 1)	2	-25+85		Отверстие 162х42 mm		Разъем Fujicon		71	HAZ 12000-SB	Fujicon F2023A (6 выводов)
12000	± 12000	O/L	± 15	20 mA	DC-3 (+/-3dB) 1)	2	-25+85		Отверстие 162х42 mm		Разъем Fujicon		71	HAZ 12000-SBI	Fujicon F2023A (6 выводов)
12000	± 12000	O/L	± 15	4 mA при -I _{PN} 20 mA при +I _{PN}	DC-3 (+/-3dB) 1)	2	-25+85		Отверстие 162х42 mm		Разъем Fujicon		71	HAZ 12000-SBI/SP1	Fujicon F2023A (6 выводов)
12000	± 12000	O/L	± 15	0-20 mA _{DC}	DC и 0.0153 (+/-3 dB) ¹⁾	2	-25+85		Отверстие 162х42 mm		Разъем Fujicon		71	HAZ 12000-SRI	True RMS выход Fujicon F2023A (6 выводов)
12000	± 12000	O/L	± 15	4-20 mA _{DC}	DC и 0.0153 (+/-3 dB) ¹⁾	2	-25+85		Отверстие 162х42 mm		Разъем Fujicon		71	HAZ 12000-SRI/SP1	True RMS выход Fujicon F2023A (6 выводов)
12000	± 12000	O/L	± 15	0-10 V _{DC}	DC и 0.0153 (+/-3 dB) ¹⁾	2	-25+85		Отверстие 162х42 mm		Разъем Fujicon		71	HAZ 12000-SRU	True RMS выход Fujicon F2023A (6 выводов)
14000	± 14000	O/L	± 15	10 V	DC-3 (+/-3dB) 1)	2	-25+85		Отверстие 162х42 mm		Разъем Fujicon		71	HAZ 14000-SB	Fujicon F2023A (6 выводов)
14000	± 14000	O/L	± 15	20 mA	DC-3 (+/-3dB) ¹⁾	2	-25+85		Отверстие 162х42 mm		Разъем Fujicon		71	HAZ 14000-SBI	Fujicon F2023A (6 выводов)
14000	± 14000	O/L	± 15	4 mA при -I _{PN} 20 mA при +I _{PN}	DC-3 (+/-3dB) 1)	2	-25+85		Отверстие 162х42 mm		Разъем Fujicon		71	HAZ 14000-SBI/SP1	Fujicon F2023A (6 выводов)
14000	± 14000	O/L	± 15	0-20 mA _{DC}	DC и 0.0153 (+/-3 dB) ¹⁾	2	-25+85		Отверстие 162х42 mm		Разъем Fujicon		71	HAZ 14000-SRI	True RMS выход Fujicon F2023A (6 выводов)
14000	± 14000	O/L	± 15	4-20 mA _{DC}	DC и 0.0153 (+/-3 dB) ¹⁾	2	-25+85		Отверстие 162х42 mm		Разъем Fujicon		71	HAZ 14000-SRI/SP1	True RMS выход Fujicon F2023A (6 выводов)
14000	± 14000	O/L	± 15	0-10 V _{DC}	DC и 0.0153 (+/-3 dB) ¹⁾	2	-25+85		Отверстие 162х42 mm		Разъем Fujicon		71	HAZ 14000-SRU	True RMS выход Fujicon F2023A (6 выводов)
20000	± 20000	O/L	± 15	10 V	DC-3 (+/-3dB) 1)	2	-25+85		Отверстие 162х42 mm		Разъем Fujicon		71	HAZ 20000-SB	Fujicon F2023A (6 выводов)
20000	± 20000	O/L	± 15	20 mA	DC-3 (+/-3dB) ¹⁾	2	-25+85		Отверстие 162х42 mm		Разъем Fujicon		71	HAZ 20000-SBI	Fujicon F2023A (6 выводов)
20000	± 20000	O/L	± 15	4 mA при -I _{PN} 20 mA при +I _{PN}	DC-3 (+/-3dB) ¹⁾	2	-25+85		Отверстие 162х42 mm		Разъем Fujicon		71	HAZ 20000-SBI/SP1	Fujicon F2023A (6 выводов)
20000	± 20000	O/L	± 15	0-20 mA _{DC}	DC и 0.0153 (+/-3 dB) ¹⁾	2	-25+85		Отверстие 162х42 mm		Разъем Fujicon		71	HAZ 20000-SRI	True RMS выход Fujicon F2023A (6 выводов)
20000	± 20000	O/L	± 15	4-20 mA _{DC}	DC и 0.0153 (+/-3 dB) ¹⁾	2	-25+85		Отверстие 162х42 mm		Разъем Fujicon		71	HAZ 20000-SRI/SP1	True RMS выход Fujicon F2023A (6 выводов)
20000	± 20000	O/L	± 15	0-10 V _{DC}	DC и 0.0153 (+/-3 dB) ¹⁾	2	-25+85		Отверстие 162х42 mm		Разъем Fujicon		71	HAZ 20000-SRU	True RMS выход Fujicon F2023A (6 выводов)

Примечания:

а) Без учета начального смещения

¹⁾ Малосигнальная полоса частот для предотвращения нагрева сердечника на высоких частотах и больших сигналах

$V_{PN} =$	10 B	•••	15 (00 B	Тран	спорт –	подви	жноі	й сос	тав	Closed-loop
I _{PN} (V _{PN})	Ι _Ρ (V _P)	Технология	U _c	l _{out}	Частотный диапазон	Х _с при I _{PN} Т _A = 25°C	T _A	или UL	рисунка	Тип	Свойства
mA	mA	Технс	٧	при I _{PN}	кГц	% от I _{PN} с учетом макс. смещения	°C	UR M	иd _e N	I MII	Своиства
10 (10 1500 V)	± 14 (2100 V)	C/L	± 15	25 mA	Примечание с)	0.8	-40+85	•	76	LV 25-P/SP5 Примечание d)	Испытательное напряжение изоляции: 4.2 kVRMS

V_{PN}	= 5	60 B 150	00 B									IDT
±V _{PN}	±V _P	Гехнология	U _c	V _{out}	Частотный диапазон	X _G при T _A = 25°C	T _A	UR или UL	рисунка	Тип	Первичные	Вторичные
V	V	Техн	V	I _{out} при V _{PN}	кГц	% от V _{PN} с учетом макс. смещения	°C	URN	νd _Θ N		выводы	выводы
50	75	Цифровая изоляционная технология	± 1524	50 mA	DC-14 (-3dB)	0.5	-40+85		78	DVL 50	2 x M5	3 х М5 + Фастон
125	188	Цифровая изоляционная технология	± 1524	50 mA	DC-14 (-3dB)	0.5	-40+85		78	DVL 125	2 x M5	3 х М5 + Фастон
150	225	Цифровая изоляционная технология	± 1524	50 mA	DC-14 (-3dB)	0.5	-40+85		78	DVL 150	2 x M5	3 х М5 + Фастон
250	375	Цифровая изоляционная технология	± 1524	50 mA	DC-14 (-3dB)	0.5	-40+85		78	DVL 250	2 x M5	3 х М5 + Фастон
500	750	Цифровая изоляционная технология	± 1524	50 mA	DC-14 (-3dB)	0.5	-40+85		78	DVL 500	2 x M5	3 х М5 + Фастон
750	1125	Цифровая изоляционная технология	± 1524	50 mA	DC-14 (-3dB)	0.5	-40+85		78	DVL 750	2 x M5	3 х М5 + Фастон
750	1125	Цифровая изоляционная технология	± 1524	50 mA	DC-14 (-3dB)	0.5	-40+85		86	DVL 750/SP2	M5	М5 отверстие
1000	1500	Цифровая изоляционная технология	± 1524	50 mA	DC-14 (-3dB)	0.5	-40+85		78	DVL 1000	2 x M5	3 х М5 + Фастон
1000	1500	Цифровая изоляционная технология	± 1524	50 mA	DC-14 (-3dB)	0.5	-40+85		87	DVL 1000/SP1	M5	Разъем Burndy вертикаьный.
1000	1500	Цифровая изоляционная технология	± 1524	50 mA	DC-14 (-3dB)	0.5	-40+85		86	DVL 1000/SP5	M5	М5 отверстие
1000	1500	Цифровая изоляционная технология	± 1524	50 mA	DC-14 (-3dB)	0.5	-40+85		88	DVL 1000/SP7	Кабель	Кабель
1000	1500	Цифровая изоляционная технология	± 1524	50 mA	DC-14 (-3dB)	0.5	-40+85		89	DVL 1000/SP8	M5	Кабель
1000	1500	Цифровая изоляционная технология	± 1524	50 mA	DC-12 (-3dB)	0.3	-40+85		81	DV 1000	Кабель	Кабель
1200	1800	Цифровая изоляционная технология	± 1524	50 mA	DC-12 (-3dB)	0.3	-40+85		82	DV 1200/SP2	Кабель	М5 + Фастон
1500	2250	Цифровая изоляционная технология	± 1524	50 mA	DC-14 (-3dB)	0.5	-40+85		78	DVL 1500	2 x M5	3 х М5 + Фастон
1500	2250	Цифровая изоляционная технология	± 1524	50 mA	DC-14 (-3dB)	0.5	-40+85		87	DVL 1500/SP1	M5	Разъем Burndy вертикаьный.
1500	2250	Цифровая изоляционная технология	± 1524	50 mA	DC-14 (-3dB)	0.5	-40+85		86	DVL 1500/SP2	M5	М5 отверстие
1500	2250	Цифровая изоляционная технология	± 1524	50 mA	DC-14 (-3dB)	0.5	-40+85		88	DVL 1500/SP5	Кабель	Кабель
1500	2250	Цифровая изоляционная технология	± 1524	50 mA	DC-14 (-3dB)	0.5	-40+85		89	DVL 1500/SP6	M5	Кабель
1500	2250	Цифровая изоляционная технология	± 1524	50 mA	DC-12 (-3dB)	0.5	-40+85		82	DV 1500	Кабель	М5 + Фастон

Примечания:

- с) См. время отклика в техпаспорте
- d) Первичное и вторичное соединение данного датчика осуществлены на печатной плате



V_{PN}	, =	140 B 4	<u> 420</u>	<u>0 B</u>	Транспорт – г	подвиж	ной с	ОСТ	ав	TOI		Fluxgate
±V _{PN}	±V _P	Технология	U _c V	V _{out} I _{out} при V _{PN}	Частотный диапазон кГц	X _G при T _A = 25°C % от V _{PN} с учетом макс. смещения	T _A ℃	UR или UL	№ рисунка	Тип	Первичные выводы	Вторичные выводы
2000	3000	Цифровая изоляционная технология	± 1524	50 mA	DC-14 (-3dB)	0.5	-40+85		78	DVL 2000	2 x M5	3 x M5 + фастон
2000	3000	Цифровая изоляционная технология	± 1524	50 mA	DC-14 (-3dB)	0.5	-40+85		87	DVL 2000/SP1	M5	Разъем Burndy вертикальный
2000	3000	Цифровая изоляционная технология	± 1524	50 mA	DC-14 (-3dB)	0.5	-40+85		88	DVL 2000/SP5	Кабель	Кабель
2000	3000	Цифровая изоляционная технология	± 1524	50 mA	DC-14 (-3dB)	0.5	-40+85		89	DVL 2000/SP6	M5	Кабель
2000	3000	Цифровая изоляционная технология	± 1524	50 mA	DC-12 (3dB)	0.3	-40+85		81	DV 2000	Кабель	Кабель
2000	3000	Цифровая изоляционная технология	± 1524	50 mA	DC-12 (3dB)	0.3	-40+85		82	DV 2000/SP1	Кабель	М5 + фастон
2000	3000	Цифровая изоляционная технология	± 1524	50 mA	DC-12 (3dB)	0.3	-40+85		83	DV 2000/SP2	M5	M5
2800	4200	Цифровая изоляционная технология	± 1524	50 mA	DC-12 (3dB)	0.3	-40+85		90	DV 2800/SP1	М5 вертикально	Разъем Burndy вертикальный
2800	4200	Цифровая изоляционная технология	± 1524	50 mA	DC-12 (3dB)	0.3	-40+85		84	DV 2800/SP4	M5	M5
3000	4500	Цифровая изоляционная технология	± 1524	50 mA	DC-12 (3dB)	0.35	-40+85		84	DV 3000/SP1	M5	M5
4000	6000	Цифровая изоляционная технология	± 1524	50 mA	DC-12 (3dB)	0.3	-40+85		91	DV 4000/SP1	M5	Разъем Burndy вертикальный
4000	6000	Цифровая изоляционная технология	± 1524	50 mA	DC-12 (3dB)	0.3	-40+85		90	DV 4000/SP2	М5 вертикально	Разъем Burndy вертикальный
4200	6000	Цифровая изоляционная технология	± 1524	7 V	DC-12 (3dB)	0.3	-40+85		92	DV 4200/SP1	M5	D-Sub
4200	6000	Цифровая изоляционная технология	± 1524	50 mA	DC-12 (3dB)	0.3	-40+85		81	DV 4200/SP3	Кабель	Кабель
4200	6000	Цифровая изоляционная технология	± 1524	50 mA	DC-12 (3dB)	0.3	-40+85		84	DV 4200/SP4	M5	M5
4200	6000	Цифровая изоляционная технология	± 1524	50 mA	DC-12 (3dB)	0.3	-40+85		93	DV 4200/SP5	М5 вертикально	D-Sub
140	200	Fluxgate "C"	± 15	10 V/200 V	DC-300 (-1dB)	0.2 от V _Р	-40+85		80	CV 3-200	2 x M5	4 x M5
350	500	Fluxgate "C"	± 15	10 V/500 V	DC-300 (-1dB)	0.2 от V _Р	-40+85		80	CV 3-500	2 x M5	4 x M5
700	1000	Fluxgate "C"	± 15	10 V/1000 V	DC-500(-1dB при 50 % V _{PN})	0.2 от V _Р	-40+85		80	CV 3-1000	2 x M5	4 x M5
840	1200	Fluxgate "C"	± 15	10 V/1200 V	DC-800(-1dB при 40% V _{PN})	0.2 от V _Р	-40+85		80	CV 3-1200	2 x M5	4 x M5
1000	1500	Fluxgate "C"	± 15	10 V/1500 V	DC-800(-1dB при 33% V _{PN})	0.2 от V _Р	-40+85		80	CV 3-1500	2 x M5	4 x M5
1400	2000	Fluxgate "C"	± 15	10 V/2000 V	DC-300(-1dB при 25% V _{PN})	0.2 от V _Р	-40+85		80	CV 3-2000	2 x M5	4 x M5



Транспорт – подвижной состав

Измерение электроэнергии в бортовом применении: EM4T II

С либерализацией и приватизацией основных железнодорожных сетей возникла необходимость использования как существующих, так и планируемых для строительства железнодорожных сетей, для ж/д сообщения через национальные границы.

Это поставило сложную для конструкторов задачу разработки мультисистемных локомотивов, которые будут использоваться в различных сетях. Эти локомотивы должны работать в сетях различных стандартов в разных странах, расположенных по маршруту, без необходимости замены оборудования из-за разных систем питания.

В настоящее время, благодаря таким мультисистемным локомотивам, существует техническая возможность перевозки людей и товаров по Европе, от Норвегии до Сицилии например, без замены локомотива. (Рисунок 1).

Изменения в энергетическом рынке в виде отмены регулирования и усиления конкуренции за контракты с крупными ж/д перевозчиками дают потенциальное преимущество компаниям, учитывающим энергопотребление по питанию ж/д транспорта на электрической тяге.

Этот учет, однако, требует больших знаний, понимания диаграмм нагрузки, в таком сложном вопросе как электропитание ж/д транспорта.

С использованием счетчиков электроэнергии LEM, данные для точного расчета поставляемой и регенерируемой энергии, для выставления счёта, могут быть получены непосредственно в поезде, независимо от поставщика электроэнергии.

Второе поколение универсальных счётчиков электроэнергии для тяги, специально разработанных для бортового применения

Счетчики электроэнергии EM4T II представляют собой второе поколение универсальных счетчиков электроэнергии для электрической тяги, с автоматической авторизацией выписки счетов. Благодаря возросшим техническим возможностям (например, подключение входных каналов к любым возможным датчикам тока и напряжения, или трансформаторам) EM4T II, используется как в новых мультисистемных локомотивах, так и для модернизации электрических железнодорожных транспортных средств, находящихся в эксплуатации. В последнее время используется новый стандарт EN 50463, который определяет характеристики измеряемых энергетических функций (EMF), так же как и характеристики используемых датчиков тока и напряжения, постоянного или переменного. Это привело к обновлению фирмой LEM счетчика EM4T до последней модели EM4T II.

ЕМ4Т II – формирование диаграмм нагрузок

EM4T II является однофазным счетчиком электроэнергии, соответствующим всем стандартам учёта электроэнергии, для бортового применения (EN 50463-х и EN 50155), удовлетворяя таким образом положениям Директивы EC 2011/291/EC (TSI «Локомотивы и пассажирские подвижные составы»).

EM4T II обрабатывает сигналы от трансформаторов и датчиков тока и напряжения для расчёта значений электроэнергии, которые затем хранятся в виде диаграммы нагрузки.

В диаграмме нагрузки (которая сохраняется с интервалом 1, 2, 3, 5, 10 или 15 минут в зависимости от пользовательских настроек), первичные значения электроэнергии (дельта) записываются вместе со следующими данными:

- Дата и время
- События
- Идентификационный номер поезда
- Абсолютные значения потребленной и рекуперированной энергии. активной и реактивной
- Частота сети (16.7Гц, 50 Гц, 60 Гц или DC)
- Дополнительные пользовательские диаграммы нагрузок, такие как значение напряжения с меньшим временным интервалом
- Местоположение поезда во время сохранения диаграмм нагрузок и/или при возникновении события
- Дополнительные функции, такие как определение напряжения

Входные величины – ток и напряжение – подводятся к измерительным цепям ЕМ4Т II с помощью дифференциальных входов (Рисунок 2 и 3), предназначенных для подключения всех типов датчиков тока и напряжения/трансформаторов, представленных на рынке.

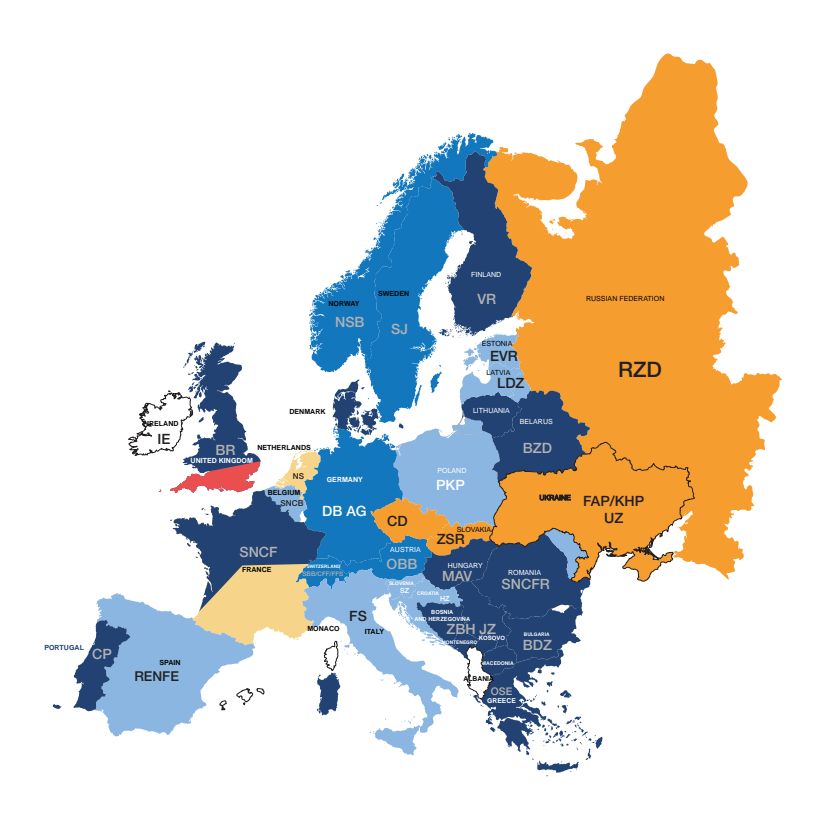
Четыре входных канала предназначены для измерения как на постоянном, так и на переменном токе для любых существующих ж/д сетей (см. диаграмму 1).

Счетчики EM4T II подходят для использования в мультисистемных поездах и локомотивах. Это касается как систем 25 кВ 50/60 Гц и 15 кВ 16.7 Гц, так и 600 В DC, 750 В DC, 1.5 кВ DC или 3 кВ DC. Изменения системы питания обнаруживаются электросчётчиком и хранятся в диаграмме нагрузок.

Требования к датчикам тока, подходящим для целей измерения электроэнергии, различны и зависят от типа сети.

Для сетей с напряжением от 15 кВ до 25 кВ переменного тока необходим датчик тока с большим отверстием для пропускания первичного провода в высоковольтной изоляции — в этом случае можно использовать датчики LEM серии ITC.

Также может быть использован шунт с датчиком серии DI, что обеспечивает необходимую изоляцию и класс точности 1R (при использовании шунта с классом 0.2 R).



EM4T II

Счётчик электроэнергии для железнодорожного транспорта

- Запись данных в соответствии с EN 50463-х
- Точность 0,5 R в соответствии с EN 50463-2
- Возможность измерения электроэнергии для различных систем: постоянного тока, 16.7 Гц, 50 Гц, 60 Гц
- Системы электроснабжения в соответствии с EN50163: 25 кВ 50 Гц, 15 кВ 16,7 Гц, 600 В постоянного тока, 750 В постоянного тока, 1,5 кВ постоянного тока, 3 кВ постоянного тока
- Измерение потребляемой и регенерируемой активной и реактивной энергии
- Для систем постоянного тока возможность контроля до 3-х каналов по
- Вход для GPS приемника
- Формирование диаграммы нагрузки, включая данные о местоположении
- Интерфейс RS-типа для обмена данными
- Ethernet-интерфейс (будет доступен в следующей версии)

Транспорт – подвижной состав

Рисунок 1 : Европейская железнодорожная сеть

- не электрофицировано
- электрофицировано (DC)
- 1,5 kB DC
- 3 kB DC
- **1**5 кВ 16,7 Гц
- 25 кВ 50 Гц
- 3 кВ DC/ 25 кВ 50 Гц





Поезд Siemens

Тип	Канал 1	Канал 2	Канал 3	Канал 4
AC	АС-напряжение	АС-ток		
ACDC	АС-напряжение	АС-ток	DC-напряжение	DC-ток
DC	DC-напряжение	DC-ток		
DCDC	DC-напряжение	DC-ток	DC-ток	
DCDCDC	DC-напряжение	DC-ток	DC-ток	DC-ток

Диаграмма 1: Возможные конфигурации входов ЕМ4Т II

Транспорт – подвижной состав

Для сетей постоянного тока достаточно изоляционных свойств самих датчиков.

Сигма-дельта АЦП микропроцессор подавляет высокочастотные помехи во всех каналах, улучшая помехоустойчивость системы к часто возникающим в тяговых сетях быстрым переходным процессам.

Микропроцессор считывает значения выборок и вычисляет реальную энергию в заданном интервале (стандартное значение - 5 минут). Результат сохраняется во флэш памяти (специальный вариант ЭСППЗУ).

Сигналы от двух входных каналов постоянного тока и двух входных каналов переменного тока (один вход - напряжение и один вход - ток) используются для расчета значений энергии. Высокая точность измерения значения энергии обеспечивается цифровым преобразователем сигнала, имеющим высокий уровень температурной и долговременной стабильности.

Для постоянного тока доступны версии EM4T II с одним входом напряжения и до трех входов тока для измерения потребления энергии транспортных средств с несколькими входами питания.

EM4T II имеет входной RS232 интерфейс для получения сообщений с последовательными данными от GPS в соответствии с NMEA 0183, включая данные о местоположении точки потребления энергии. Используя полученную таким же образом информацию о текущем времени синхронизируются внутренние часы счётчика.

В ЕМ4Т II хранится журнал учёта в полном соответствии с EN 50463-3. Информация данного журнала учёта включает в себя, например, данные о пиках и провалах сетевого напряжения, событиях подключения/отключения питающего напряжения, синхронизации часов и изменении параметров, влияющих на расчёт энергии.

Идентификационные данные локомотива или поезда, также сохраняются и могут быть получены отдельно. Самосветящийся дисплей EM4T II циклически показывает всю необходимую информацию, относящуюся к электроэнергии и статусу, без необходимости нажимать кнопки.

Все измеренные и сохраненные данные могут быть считаны с помощью интерфейса RS-типа (через модем или локально).

Доступны версии интерфейса RS 232, RS 422 или RS 485. Используемый протокол передачи данных - IEC 62056-21 и поэтому он легко адаптируется всеми общепринятыми системами дистанционного считывания. В следующей версии EM4T II также будет оснащён Ethernet-интерфейсом.

Напряжение питания может быть выбрано 24 В или 110 В. Дополнительно, EM4T II может быть оснащён источником питания 12 В для устройства связи (модем).

Эксплуатационные условия (в отношении ЭМС, температуры, вибрации и т.д.) отвечают специальным требованиям для транспорта, включая EN 50155, EN 50121-3-2, EN 50124-1, и EN 61373. Компактный и огнезащитный корпус обеспечивает защиту от попадания влаги или посторонних предметов согласно IP 65.

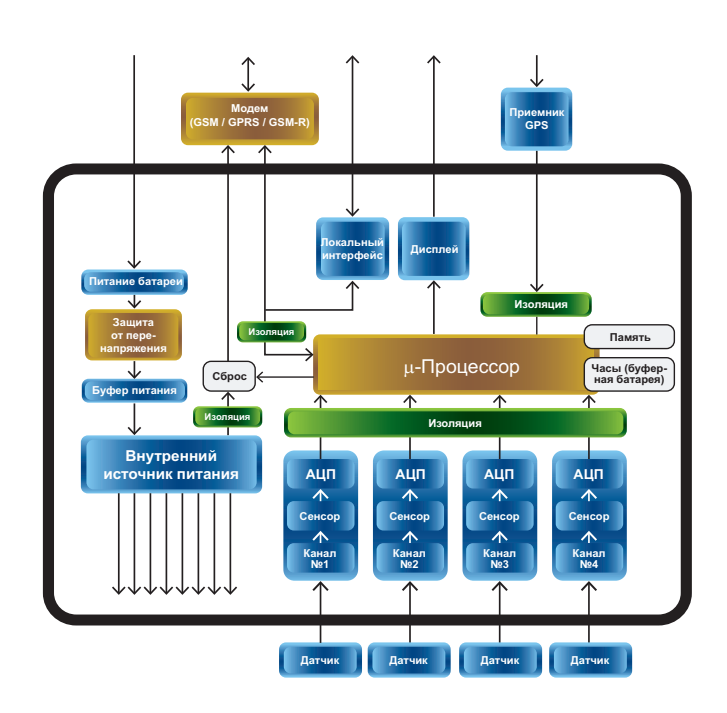


Рисунок 3. Блок схема счетчика электроэнергии LEM

Стандарты и положения

 EN 50463-x 	Проект:
(0010)	T

(2012) Транспорт железнодорожный. Измерение электроэнергии

бортовых систем поезда:

Измерение на постоянном токе Класс 2 Измерение на переменном токе Класс 1.5:

• EN 50155 Транспорт железнодорожный (2007): Электронное оборудование на подвижных составах

• EN 50121-3-2 Транспорт железнодорожный (2006): Электромагнитная совместимость

Часть 3-2. Подвижной состав. Приборы

• EN 61373 Транспорт железнодорожный

(2010): Оборудование для подвижного состава.

Испытания на вибрацию и удар

• EN 50124-1 Транспорт железнодорожный (2001): Координация по изоляции.

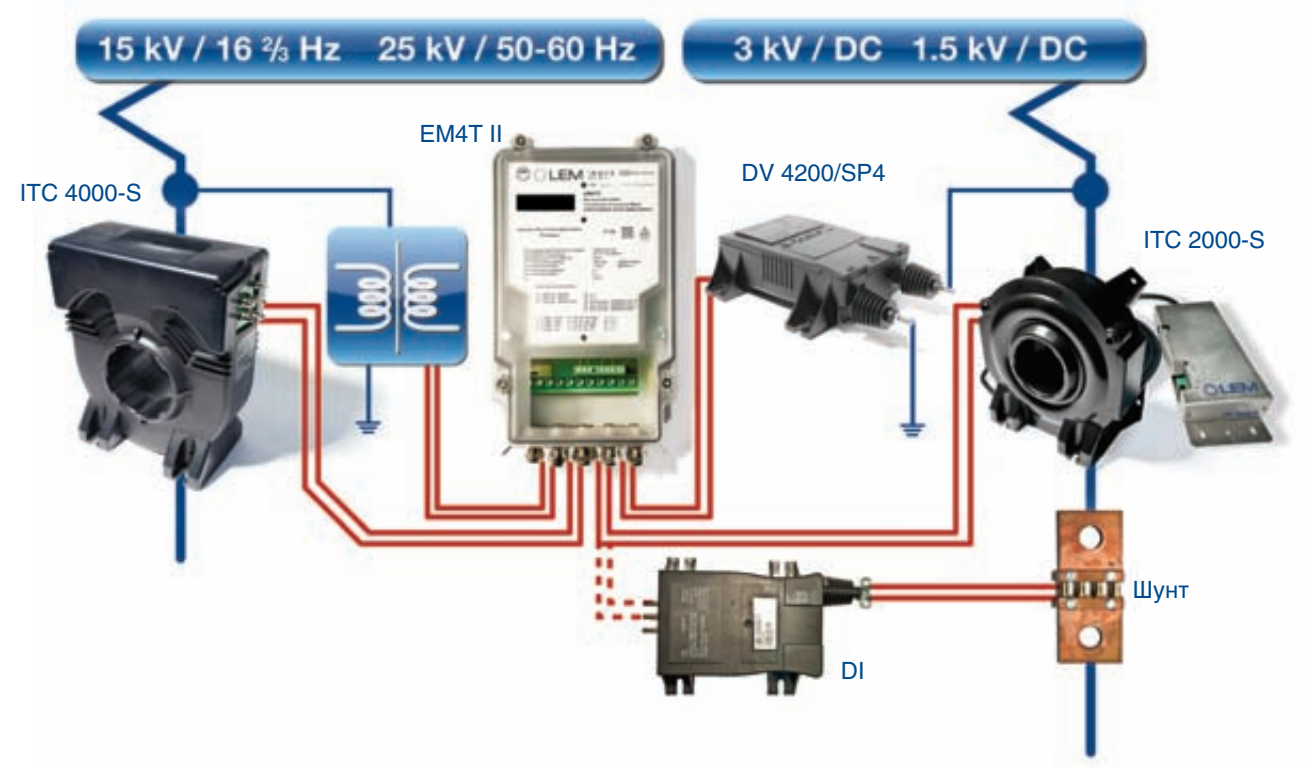
Часть 1: Основные требования

• IEC 62056-21 Измерение энергопотребления. Обмен (2002): данными для показаний счетчика, контроль

за тарифами и нагрузкой.

Часть 21. Прямой обмен данными на месте

Транспорт – подвижной состав



Подключение счетчика электроэнергии в мультисистемном локомотиве с датчиками тока и напряжения

DI 30...200 мВ (Шунт изолятор)
Класс 1R
Высокий уровень изоляции





от 1200 до 4200 V_{RMS} Универсальный компактный корпус

Класс точности 0.75R

Низкий температурный дрейф

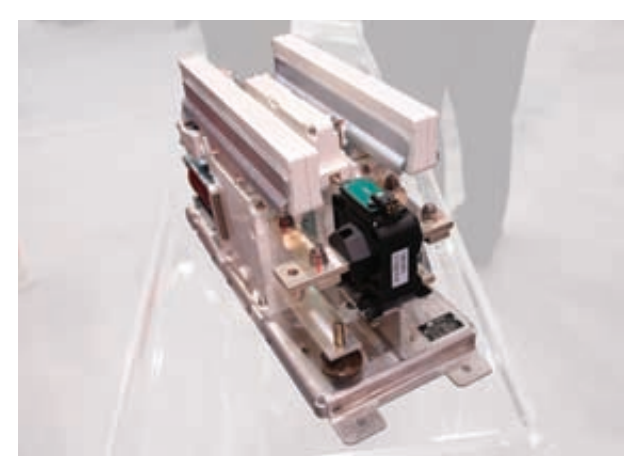


Класс точности выше, чем 0.5R



Транспорт – Руководство по выбору датчиков

	БОРТОВЫЕ										
	ВЫКЛЮ- ЧАТЕЛЬ	ОСНОВНОЙ	линия	ВСПОМОГА-	ТЯГОВЫЙ	ИЗМЕРЕНИЕ	ВТОРИЧНЫЕ СИСТЕМЫ				
	БЫСТРОДЕЙ- СТВУЮЩИЙ	ВЫПРЯМИ- ТЕЛЬ	ПОСТОЯН- НОГО ТОКА	ТЕЛЬНЫЙ ИНВЕРТОР	ИНВЕРТОР	ЭЛЕКТРО- ЭНЕРГИИ	ОСВЕЩЕНИЕ	ОТОПЛЕНИЕ, ВЕН- ТИЛЯЦИЯ И КОНДИ ЦИОНИРОВАНИЕ	КОНТРОЛЬ ДВЕРЕЙ	ЗАРЯДКА БАТАРЕЙ	
	•					•					
				•				•			
₹ Ş				•				•			
IE TO											
ИЗМЕРЕНИЕ ТОКА				•				•			
ИЗМЕ											
				•							
НИЕ				•			•	•			
НАПРЯЖЕНИЕ				•						•	
НАП	•	•	•		•	•					
ЭНЕРГИЯ						•					
3HE											



Датчик LTC в автоматическом выключателе. Фото любезно предоставлено Sécheron



Датчик LF 205 в в преобразователе собственных нужд . Фото любезно предоставлено SMA

Транспорт - Руководство по выбору датчиков

		AHCПОРТН PACTPУКТ		ПОДСТАНЦИИ				
ДЕТЕКТИРО- ВАНИЕ ИНТЕР- ФЕРЕНЦИОННЫХ СИГНАЛОВ	СТРЕЛКИ	РЕЛЕ	СИГНАЛИ- ЗАЦИЯ	СТРЕЛОЧНЫЙ ПРИВОД	ПРЕДСТАВ- ЛЕНЫ НА СТР. №	ДАТЧИК	НОМИНАЛЬНЫЙ ДИАПАЗОН	
					48-49	LT 4000-S серия	3300-4000 A	
					47-49	 LTC серия	350-1000 A	
					46-47	 LAC 300-S серия	130-400 A	
					46	 LF 205-S серия	100-200 A	
					46	LF 305-S серия	300 A	
					47	LF 505-S серия	500 A	
					48	LF 1005-S серия	1000 A	
					49	LF 2005-S серия	2000 A	
					48	—————————————————————————————————————	1000 A	
					48-49	НТС серия	1000-3000 A	
					46-47	ITC серия	2000-4000 A	
					54-55	—————————————————————————————————————	4000-20000 A	
					52	СD серия	2 x 1200 A, 1500 A, 2 to 10 A дифференциальный	
•					53	RA серия	0.1-20 A AC наложены на от 1000 до 4000 A DC	
					46	LA 25-NP серия	0.4 - 25 A	
					54	РСМ серия	5-10-20-30 A	
			•		56	LV 25-P	10-1500 V	
					57	—————————————————————————————————————	140 -1400 V	
					56-58	—————————————————————————————————————	50-2000 V	
					56-57	DV- серия датчиков напряжения	1000-4200 V	
					59	EM4T II		
					52	 DI шунт изолятор	30-200 mV	



Датчик LV 25-P/SP5 в преобразователе собственных нужд



Датчик LAC 300-S/SP1 в преобразователе собственных нужд

 $I_{PN} = 12.5 A \dots 4000 A$

Прецизионные датчики

HIP

	I _{PN}	I _{PN} A _{RMS}	I _P	Технология	U _c V	V _{out} I _{out} при I _{PN} (DC)	Частотный диапазон кГц Примечание j)	Е _L Погрешность нелиней-ности (ppm) Примечание і) k)	I _{OE} V _{OE} Начальное смещение (ppm) Примечание k) I)	Уровень шума (RMS) (ppm) (DC-100Hz) Примечание k)
	12.5	8.8	± 12.5	Fluxgate IT	± 15	50 mA	DC-500 (3dB)	4	500	0.5
	60	42	± 60	Fluxgate IT	± 15	100 mA	DC-800 (3dB)	20	250	1
	200	141	± 200	Fluxgate IT	± 15	200 mA	DC-500 (3dB)	3	80	1
	300	300	± 450	Fluxgate IT	± 15	150 mA	DC-100 (-3dB)	10	666	N/A
корпусе	400	282	± 400	Fluxgate IT	± 15	200 mA	DC-500 (3dB)	3	40	0.5
одном	400	400	± 900	Fluxgate IT	± 15	266.66 mA	DC-200 ^{m)} (3dB)	1	10	0.017 (0.125Hz-1kHz)
AC/DC датчики тока в одном корпусе	600	424	± 600	Fluxgate IT	± 15	400 mA	DC-300 (3dB)	1.5	15	0.3
атчики	700	495	± 700	Fluxgate IT	± 15	400 mA	DC-100 (3dB)	3	50	0.5
C/DC	700	495	± 700	Fluxgate IT	± 15	400 mA	DC-100 (3dB)	3	50	1
4	700	495	± 700	Fluxgate IT	± 15	10 V	DC-100 (3dB)	30	60	2
	900	636	± 900	Fluxgate IT	± 15	600 mA	DC-300 (3dB)	1	10	0.2
	1000	707	± 1000	Fluxgate IT	± 15	1 A	DC-500 (3dB)	3	50	N/A
	4000	4000	± 12000	Fluxgate IT	± 24	1,6 A	DC-50 ⁿ⁾ (1dB)	100	62.5	125 (0.1Hz-10kHz)



















Примечания:

- і) Погрешность нелинейности измеряется на постоянном токе
- j) Частотный диапазон измеряется на небольшом сигнале амплитуда 0.5% от I_{PN} (DC)
- κ) Все значения параметров в ppm относятся κ Vout или lout при I_{PN} (DC), κ pome ITL 900-T, Γ ge oни относятся κ I_{OUT} = 600 мA
- I) Электрический начальный ток смещения + от самонамагничивания + от эффекта влияния магнитного поля земли при $T_A = +25~^{\circ}C$
- m) Небольшой сигнал 5% от $\rm I_{PN}$ (DC), 32 $\rm A_{RMS}$
- n) Небольшой сигнал 40 A_{RMS}
- о) Частотный диапазон измеряется на небольшом сигнале амплитуда 1% от I_{PN} (DC)
- N/A: Нет данных

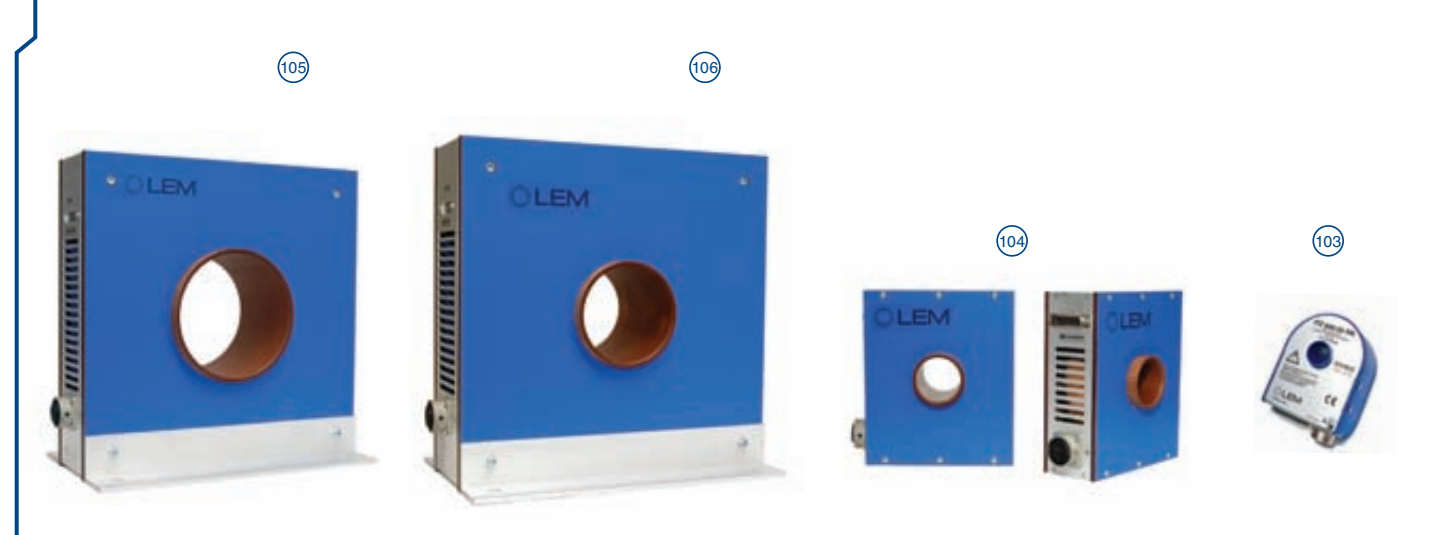
Прецизионные датчики

	Прецизионные датчики HIP Fluxgate									
Уровень шума			Монтаж			стия м)				
(RMS) (ppm) (DC-50kHz) Примечание k)	TCI _{ое} TCV _{ое} (ppm/K) Примечание k)	T _A °C	печатная плата	на панель	Измерительная головка+19" блок электроники	Диаметр отверстия для шины (мм)	UR или UL	№ рисунка	Тип	Особенности
10 (DC-100kHz)	2	10+45	•			Встроенная шина		94	ITN 12-P	Металлический корпус для защиты от внешних помех
15	2.5	10+50		•		26		95	IT 60-S	
15	2	10+50		•		26		95	IT 200-S	
N/A	6.66	-40+85		•		21.5		96	ITB 300-S	
8	1	10+50		•		26		95	IT 400-S	
0.006 (1kHz-30kHz)	0.3	10+50		•		Встроенная шина Ø 19 mm		97	ITL 900-T	
15 (DC-100kHz)	0.5	10+50		•		30		98	ITN 600-S	
6	0.5	10+50		•		30		99	IT 700-S	
16	0.5	10+50		•		30		100	IT 700-SPR	Программируемый от 80 A, с шагом 10 A
10	4	10+50		•		30		99	IT 700-SB	
10	0.3	10+50		•		30		99	ITN 900-S	
6	0.5	10+50		•		30		101	IT 1000-S/SP1	Широкополосный
125 (0.1Hz-10kHz)	1.38	-40+70		•		268		74	ITL 4000-S	



 $I_{PN} = 40 A \dots 24000 A$ Прецизионные датчики HIP

					<u> </u>		<u> </u>	5 0. 17 1		
	I _{PN}	I _{PN} A _{RMS}	I _P	Технология	U _c V	V _{out} I _{out} при I _{PN} (DC)	Частотный диапазон кГц Примечание ј)	Е _L Погрешность нелинейности (ppm) Примечание i) k)	I _{OE} V _{OE} Начальное смещение (ppm) Примечание k) I)	Уровень шумов (RMS) (ppm) (DC-100Hz) Примечание k)
	600	424	± 600	Fluxgate IT	100-240 VAC - 50/60 Hz	1 A	DC-500 °) (3dB)	1	2	11 (DC-10kHz)
	600	424	± 600	Fluxgate IT	100-240 VAC - 50/60 Hz	10 V	DC-300 °) (3dB)	10	3	8 (DC-10kHz)
	2000	1414	± 2000	Fluxgate IT	100-240 VAC - 50/60 Hz	2 A	DC-300 °) (3dB)	2	2	3 (DC-10kHz)
ОНИКИ	2000	1414	± 2000	Fluxgate IT	100-240 VAC - 50/60 Hz	10 V	DC-300 °) (3dB)	11	3	3 (DC-10kHz)
электр	2000	1414	± 2000	Fluxgate IT	100-240 VAC - 50/60 Hz	1 A	DC-80 °) (3dB)	2	2	7 (DC-10kHz)
блоком	2000	1414	± 2000	Fluxgate IT	100-240 VAC - 50/60 Hz	10 V	DC-80 °) (3dB)	11	3	2 (DC-10kHz)
Датчики тока с отдельным блоком электроники	5000	3535	± 5000	Fluxgate IT	100-240 VAC - 50/60 Hz	2 A	DC-80 °) (3dB)	3	2	2.5 (DC-10kHz)
с отдел	5000	3535	± 5000	Fluxgate IT	100-240 VAC - 50/60 Hz	10 V	DC-80 °) (3dB)	11	3	2.5 (DC-10kHz)
ки тока	10000	7070	± 10000	Fluxgate IT	100-240 VAC - 50/60 Hz	2 A	DC-20 °) (3dB)	5	2	8 (DC-10kHz)
Датчи	10000	7070	± 10000	Fluxgate IT	100-240 VAC - 50/60 Hz	10 V	DC-20 °) (3dB)	12	3	8 (DC-10kHz)
	16000	11314	± 16000	Fluxgate IT	100-240 VAC - 50/60 Hz	2 A	DC-3 °) (3dB)	6	2	8 (DC-10kHz)
	16000	11314	± 16000	Fluxgate IT	100-240 VAC - 50/60 Hz	10 V	DC-3 °) (3dB)	12	3	8 (DC-10kHz)
	24000	16970	± 24000	Fluxgate IT	100-240 VAC - 50/60 Hz	3 A	DC-2 °) (3dB)	6	2	8 (DC-10kHz)



Примечания:

- і) Погрешность нелинейности измеряется на постоянном токе
- j) Частотный диапазон измеряется на небольшом сигнале амплитуда 0.5% от I_{PN} (DC)
- κ) Все значения параметров в ppm относятся κ V $_{out}$ или I $_{out}$ пpи I $_{PN}$ (DC), кроме ITL 900-T, где они относятся κ I $_{OUT}$ = 600 мA
- I) Электрический начальный ток смещения + от самонамагничивания + от эффекта влияния магнитного поля земли при T_{a} = +25 °C
- m) Небольшой сигнал 5% от I_{PN} (DC), 32 A_{RMS}
- n) Небольшой сигнал 40 $\rm A_{RMS}$ o) Частотный диапазон измеряется на небольшом сигнале амплитуда 1% от $\rm I_{PN}$ (DC)

HIP Прецизионные датчики Fluxgate Монтаж Диаметр отверстия под шину (мм) Уровень шумов (RMS) TCI_{OE} UR или UL № рисунка T_{A} течатная плата Тип Особенности Измерительная на панель (ppm) (DC-50kHz) °C (ppm/K) головка + 19" блок Примечание k) Примечание k) электроники 0...+55 изм.головка Программируется от 40А 28 (DC-100kHz) 0.1 25.4 102 + 103 ITZ 600-SPR +10...+40 блок электроники до 620 А. с шагом 20А 0...+55 изм.головка +10...+40 блок электроники Программируется от 40A до 620 A, с шагом 20A 60 (DC-100kHz) 0.3 25.4 102 + 103 ITZ 600-SBPR 0...+55 изм.головка 27 (DC-100kHz) 0.1 50 102 + 104 ITZ 2000-S +10...+40 блок электроники 0...+55 изм.головка 60 (DC-100kHz) 0.3 50 102 + 104 ITZ 2000-SB +10...+40 блок электроники 0...+55 изм.головка Программируется от 125 ITZ 2000-SPR 42 (DC-100kHz) 0.1 50 102 + 104+10...+40 блок электроники А до 2000 А, шаг 125А 0...+55 изм.головка +10...+40 блок электроники Программируется от 125 А до 2000 А, шаг 125А 60 (DC-100kHz) 0.3 50 102 + 104 ITZ 2000-SBPR 0...+55 изм.головка 20 (DC-100kHz) 140.3 102 + 105 ITZ 5000-S 0.1 +10...+40 блок электроники 0...+55 изм.головка 60 (DC-100kHz) 0.3 140.3 102 + 105 ITZ 5000-SB +10...+40 блок электроники 0...+55 изм.головка 20 (DC-100kHz) 0.1 100 102 + 106 ITZ 10000-S +10...+40 блок электроники 0...+55 изм.головка 60 (DC-100kHz) 0.3 100 102 + 106 ITZ 10000-SB +10...+40 блок электроники 0...+55 изм.головка 20 (DC-100kHz) 0.1 150.3 102 + 107 ITZ 16000-S +10...+40 блок электроники 0...+55 изм.головка 0.3 150.3 102 + 107 60 (DC-100kHz) ITZ 16000-SB +10...+40 блок электроники 0...+55 изм.головка +10...+40 блок электроники 20 (DC-100kHz) 0.1 150.3 102 + 107 ITZ 24000-S



АВТОТРАНСПОРТ

На автомобильном рынке компания ЛЕМ работает со всеми крупнейшими производителями автомобилей и прямыми поставщиками комплектующих для их производства в мире и поставляет гальванически изолированные электронные датчики для измерения электрических параметров с целью контроля работы аккумуляторных батарей и управления двигателем.

Все более жесткие требования к энергоэффективности и снижению выбросов СО2 приводят к тому, что автопроизводители всё больше зависят от компонентов бортовой электроники. От электроусилителя рулевого управления и технологии старт-стоп, до бортовых навигационных и информационно-развлекательных систем, эти компоненты создают дополнительную нагрузку на электрические цепи и особенно на аккумуляторные батареи, что приводит к необходимости контроля генерируемого и потребляемого различными бортовыми системами тока. В сотрудничестве со своими клиентами и с помощью мощных методов моделирования ЛЕМ использует наиболее подходящие технологии (от эффекта Холла до Fluxgate) для удовлетворения конкретных потребностей измерения токов на входе и выходе автомобильного аккумулятора и/или генератора. Это делает возможным интеллектуальное управление доступной энергией, что приводит к повышению эффективности современных двигателей внутреннего сгорания. Однако наиболее важным остаётся рынок гибридных и электрических транспортных средств, требующий точных измерений токов аккумуляторной батареи для определения доступной дальности пробега и стратегии перезарядки. ЛЕМ обладает всеми необходимыми для этих целей технологиями.

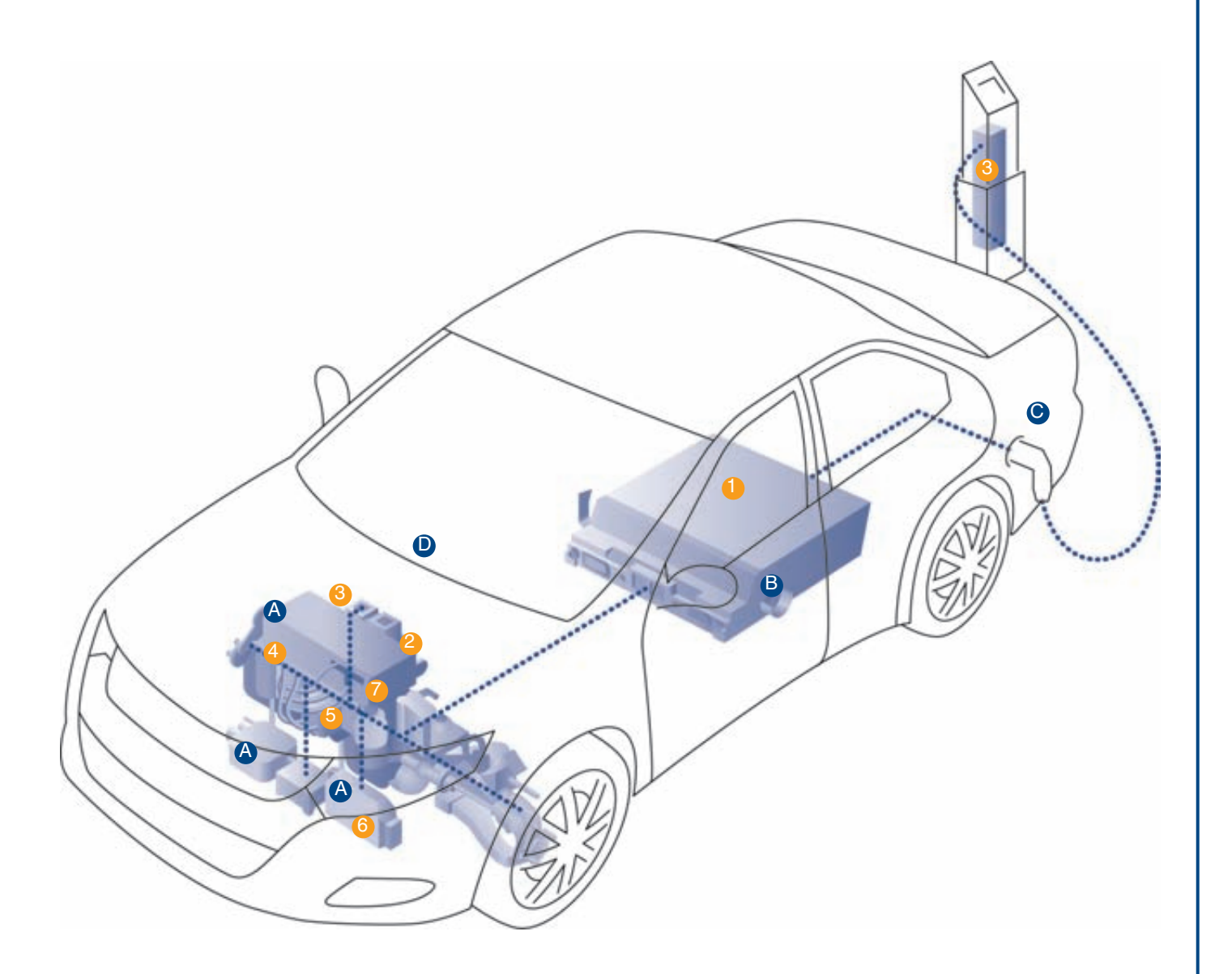
В гибридных и электрических транспортных средствах важно не только точно измерить ток аккумулятора, но ещё и точно контролировать работу электродвигателя, приводящего в движение автомобиль, для обеспечения плавности хода. Измерение фазовых токов электродвигателей с самого начала было компетенцией компании ЛЕМ и по сегодняшний день остаётся основным применением для датчиков тока. Компания ЛЕМ выпускает широкий спектр специализированных датчиков для измерения фазовых токов в двигателях и преобразователях постоянного тока, являющихся неотъемлемой частью всех гибридных и электрических транспортных средств.

ЛЕМ является основным игроком в области датчиков для нового поколения автомобилей, используя своё ноу-хау, разработанное в течение более 40 лет, для разработки специальных технологий измерения токов аккумулятора и фазовых токов двигателя, что позволяет автомобильной индустрии соответствовать постоянно растущим требованиям в области энергоэффективности. На следующих страницах Вы найдёте информацию о технологии ЛЕМ для автомобильной отрасли.



Датчик НС2F в инверторе

Обзор применения



- Высоковольтный аккумулятор
- Блок управления
- 3 Зарядное устройство
- 4 Контроллер двигателя
- Электродвигатель и переднеприводная трансмиссия
- 6 Преобразователь постоянного тока
- Электроусилитель руля

- A HAH1DR HAH3 HC2 HC5 HC6 CKSR
- **B** DHAB HAH1BV CAB
- CDT
- FHS (приборная панель)

Автотранспорт Руководство по выбору датчиков

Haumehoeahue damyuka HAB HAB HABT HAG DHAB CAB HAH1 BV HAH1 DR HC2F/HC2H HC6F/HC6H HC5FW HC20 HAH3 HAM CKSR FHS40-P CDT	Автотранспорт	Руководство г
HABT HAG DHAB CAB HAH1 BV HAH1 DR HC2F/HC2H HC6F/HC6H HC5FW HC20 HAH3 HAM CKSR FHS40-P		mel
HAG DHAB CAB HAH1 BV HAH1 DR HC2F/HC2H HC6F/HC6H HC5FW HC20 HAH3 HAM CKSR FHS40-P	НАВ	
DHAB CAB HAH1 BV HAH1 DR HC2F/HC2H HC6F/HC6H HC5FW HC20 HAH3 HAM CKSR FHS40-P	НАВТ	OF
CAB HAH1 BV HAH1 DR HC2F/HC2H HC6F/HC6H HC5FW HC20 HAH3 HAM CKSR FHS40-P	HAG	
HAH1 BV HAH1 DR HC2F/HC2H HC5FW HC20 HAH3 HAM CKSR FHS40-P	DHAB	-
HAH1 DR HC2F/HC2H HC6F/HC6H HC5FW HC20 HAH3 HAM CKSR FHS40-P	CAB	0
HC2F/HC2H HC6F/HC6H HC5FW HC20 HAH3 HAM CKSR FHS40-P	HAH1 BV	
HC6F/HC6H HC5FW HC20 HAH3 HAM CKSR FHS40-P		
HC5FW HC20 HAH3 HAM CKSR FHS40-P	HC2F/HC2H	
HAH3 HAM CKSR FHS40-P	HC6F/HC6H	
HAM CKSR FHS40-P	HC5FW	The street
HAM CKSR FHS40-P	HC20	-
CKSR FHS40-P	НАН3	The state of the s
FHS40-P	HAM	
440	CKSR	
CDT	FHS40-P	
	CDT	

-	Диапазон рабочих температур для всех датчиков:
	от -40°C до 125°C

- Напряжение питания 5 В, логометрический выход
- Специсполнение на заказ.

Bioopy Hai		
Максимальный амплитудный диапазон измерения (A)	Выходной сигнал п	Типовая огрешность
± 400	V / PWM	±2%
± 100	V	±2%
± 300	V / PWM	±2%
± 1000	V	±2%
± 400	CAN / LIN*	±0.1%
± 900	V	±2%
± 900	V	±2%
± 250	V	±3%
± 800	V	±3%
± 900	V	±1%
_		_
± 2000	V	±2%
± 900	V	±1%
± 250	V	±1%
± 75**	V	±1%
± 100	V	±5%
0.1 A	V	±1mA
0.1 A	· ·	±IIIIA

- * напряжение питания 12 В
- ** Диапазон рабочих температур от -40oC до 105°C
- *** Гарантированная максимальная погрешность для детектирования тока утечки

Автотранспорт Руководство по выбору датчиков Применение Электрическая Контроль аккумуляторной батареи (АКБ) Контроль нагрузка (дворники, генератора фары и т.д.) Генератор С измерением температуры Контроль Блок АКБ Сила тока управления Температура двигателем АКБ Преобразователь DC/DC Контроль ECU двигателя DC/DC Генератор Аккумулятор Контроль двигателя MG1 Быстрое зарядное MG2 Двигатель устройство электрической Двигатель Коробка внутреннего передач сгорания Распределительная коробка с предохранителями 3-хфазное Пороговое измерение детектирование Определение тока -oʻo Очень широкая полоса частот Батарея CDT Ток утечки

контроль АКБ зарядное у-во пороговый детектор

Качество и стандарты ЛЕМ

ЛЕМ — убежденный сторонник поставки продукции, отвечающей высшим стандартам качества.

Исходя из условий применения, а также необходимости соответствия стандартам, существуют различные уровни качества.

Эти уровни должны достигаться, обеспечиваться и постоянно улучшаться, как для нашей продукции, так и для нашего сервиса.

Центры разработки и производства ЛЕМ по всему миру сертифицированы по стандартам ISO/TS 16949, ISO/TS 9001 и/или ISO 14001.

LEM ISO/TS 16949:2009 ШВЕЙЦАРИЯ ISO 14001:2004

ISO 9001: 2008 IRIS:2009

LEM electronics ISO 9001: 2008 (KUTAЙ) Co, Ltd ISO/TS 16949: 2009

ISO 14001: 2004 IRIS: 2009

 LEM Japan
 ISO 9001: 2008

 (Япония)
 ISO 14001:2004

 ЛЕМ Россия
 ISO 9001: 2008

(РОССИЯ)

Компанией ЛЕМ были внедрены несколько инструментов в области качества для исследования и анализа качества. ЛЕМ обрабатывает эту информацию, чтобы принять необходимые коррективные действия и оставаться быстро реагирующей компанией на рынке.

Наиболее важные используемые инструменты:

- · DPT FMEA (Design, Process & Tool Failure Mode Effect Analysis) инструмент, используемый превентивно для:
 - идентификация рисков и основных причин дефектов для продукции, производства и оборудования
 - о выработка корректирующих мер
- Control Plan: Описание действий по проверке и контролю, выполняемых в производственном процессе.
- · Cpk R&R (Capability for Processes & Measurement Systems):
 - о Cpk: Статистический инструмент, используемый для оценки возможности производственного процесса обеспечивать точность в заданных границах.
 - R&R: Повторяемость и воспроизводимость: Инструмент для отслеживания точности измерительных устройств в заданных границах.
- · QOS 8D (Quality Operating System Eight Disciplines):
 - 8D: Процесс разрешения проблем, используемый для определения и предотвращения повторения проблем качества
 - о QOS: Система разрешения проблем
- IPQ (Interactive Purchase Questionnaire): Инструмент, вовлекающий поставщика в отслеживание качества поставляемой продукции и запчастей.

В дополнение к этим программам качества, с 2002 года ЛЕМ принял методологию Шесть Сигма достижения превосходства в бизнесе. Главная цель - создание обстановки, в которой все, что ниже уровня качества Шесть Сигма – неприемлемо

истика ш	есть Сигма	
Уровень Сигма	Отсутствие дефектов	Дефектов на миллион
2	65%	308,537
3	93%	66,807
4	99.4%	6,210
5	99.976%	233
6	99.9997%	3.4
	Уровень Сигма 2 3 4 5	Сигма дефектов 2 65% 3 93% 4 99.4% 5 99.976%

Стандарты LEM

Датчики ЛЕМ для промышленности и транспорта разрабатываются и тестируются в соответствии с принятыми в мире стандартами.

Маркировка СЕ - это гарантия того, что продукт соответствует Европейской директиве электромагнитной совместимости 2004/108/EEC и директиве для низковольтных устройств, что гарантирует электромагнитную совместимость датчиков. Транспортные датчики соответствуют стан-

c **FL** us

датчиков. Транспортные датчики соответствуют стандарту EN 50121-3-2 (стандарт ЭМС железнодорожного транспорта)

UL используется как ссылка для указания на степень воспламеняемости материалов, используемых для продукции ЛЕМ (UL94V0), а также на стандарты NFF 16101 и 16102 для классификации воспламеняющихся материалов для датчиков транспортного исполнения.

Основная продукция ЛЕМ UL сертифицирована. Вы можете обратиться на сайт UL (www.UL.com), за обновленным списком UL сертифицированных моделей.

Стандарт EN 50178 "Электронное оборудование для использования в силовых установках" — это наш базовый стандарт по электрическим, механическим параметрам и параметрам окружающей среды. Он гарантирует полное соответствие характеристик нашей продукции для промышленных применений.

Вся промышленная продукция ЛЕМ разработана в соответствии со стандартом EN 50178, кроме датчиков транспортного исполнения.

Для них используется стандарт EN 50155 «Электронное оборудование, используемое на подвижном составе» по электрическим, механическим параметрам и параметрам окружающей среды. Он гарантирует полное соответствие характеристик нашей продукции для транспортных применений.

Все датчики ЛЕМ для транспорта созданы в соответствии со стандартом EN 50155.

В технической документации на датчики указана их сфера применения и соответствие стандартам и директивам для каждого вида продукции.

Стандарт EN 50178 используется также для расчета минимально необходимых изолирующих зазоров и длин путей утечки для обеспечения требуемых уровней изоляции (расчетных уровней напряжения изоляции) при проектировании датчиков в соответствии с условиями эксплуатации.

Качество и стандарты ЛЕМ

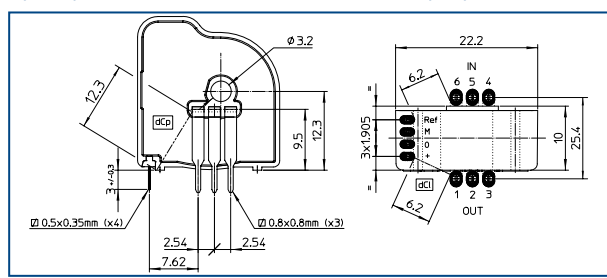
Расчетные напряжения изоляции для датчиков в промышленных применениях определяются в соответствии с несколькими критериями, указанными в стандартах EN 50178 и IEC 61010-1 ("Требования безопасности к электронному оборудованию для измерения, контроля и лабораторного использования"). Некоторые критерии определяются самим датчиком, а некоторые определяются условиями его применения.

Эти критерии следующие:

- Воздушный изоляционный зазор (Clearance distance)
 наикратчайшее расстояние по воздуху между двумя проводниками
- Расстояние пути тока утечки по поверхности изоляции (Creepage distance) — наикратчайшее расстояние по поверхности изолирующего материала между двумя проводниками
- Степень загрязнения (определяется условиями применения классификация условий микроклимата, влияющих на изоляцию)
- Категория по перенапряжению (Overvoltage category) определяется условиями применения и характеризует риск повреждения оборудования от повышенного напряжения
- Сравнительный индекс пробоя изоляции (Comparative Tracking Index (CTI)) — связан с материалом, используемым для изоляции, и ссылается на классификацию групп различных изоляционных материалов
- · Необходимость в простой (базовой) или усиленной изоляции.

ЛЕМ руководствуется этими критериями при проектировании всех датчиков:

Пример: LTSP 25-NP, датчик тока для электропривода



Условия применения:

Путь утечки тока по поверхности (по корпусу): 12.3 мм

Воздушный изоляционный зазор (в качестве примера, разводка печатной платы на рисунке выше): 6.2 мм

Сравнительный индекс пробоя изоляции (CTI): 175 В (группа IIIa)

Категория перенапряжения: III

Степень загрязнения: 2

Базовая или простая изоляция

В соответствии со стандартами EN 50178 и IEC 61010-1:

При воздушном зазоре изоляции 6.2 мм, степени загрязнения PD2 и категории перенапряжения OV III расчетное напряжение изоляции составляет 600 V_{RMS} .

При пути тока утечки по поверхности изоляции 12.3 мм, степени загрязнения PD 2 и индексе пробоя изоляции CTI 175 B (группа IIIa) расчетное напряжение изоляции составляет 1000 $\rm V_{BMS}$.

В итоге, в этих условиях применения, расчетное напряжение изоляции составляет $600~V_{\text{RMS}}$ (наименьший из двух результатов расчетов для воздушного зазора и пути утечки по поверхности изоляции).

Усиленная изоляция

Рассмотрим усиленную изоляцию для тех же изоляционных зазоров, что указаны выше:

При данных геометрических размерах, для усиленной изоляции, исходя из имеющегося воздушного зазора, при категории перенапряжения OV III, в соответствии со стандартами EC 50178 и EC 61010-1, получаем расчетное значение напряжения изоляции для любой степени загрязнения 300 $\rm V_{RMS}$.

При данных геометрических размерах, исходя из имеющейся длины пути тока утечки по поверхности, для расчетов в случае усиленной изоляции длина пути принимается в 2 раза меньшей относительно реальной, т.е., в данном случае: 12.3 / 2 = 6.15 мм.

При этом значении, степени загрязнения PD 2 и сравнительном индексе пробоя изоляции CTI 175 В (группа IIIа), расчетное напряжение изоляции составляет 500 $\rm V_{\rm RMS}$

В итоге, в этих условиях применения, расчетное напряжение изоляции составляет 300 V_{RMS} (наименьшее из двух результатов для воздушного зазора и пути утечки по поверхности изоляции).

В железнодорожном применении, стандарт EN 50124-1 (Воздушные зазоры и длины пути утечки по поверхности для электрического и электронного оборудования. Основные требования) регламентирует значения изолирующих зазоров датчиков в зависимости от необходимых уровней изоляции (расчетных напряжений изоляции) и условий эксплуатации.

Расчетные напряжения изоляции для датчиков железнодорожного применения определяются в соответствии с несколькими критериями, указанными в стандарте EN 501241-1.

Эти критерии такие же, как и в стандарте EN 50178 (указанном выше) и они следующие:

- воздушный изоляционный зазор (Clearance distance) наикратчайшее расстояние по воздуху между двумя проводниками,
- расстояние пути тока утечки по поверхности изоляции (Creepage distance) наикратчайшее расстояние по поверхности изолирующего материала между двумя проводниками,
- степень загрязнения (определяется условиями применения классификация условий микроклимата, влияющих на изоляцию).
- категория по перенапряжению (Overvoltage category) определяется условиями применения и характеризует риск повреждения оборудования от повышенного напряжения,
- сравнительный индекс пробоя изоляции (Comparative Tracking Index (CTI)) связан с материалом, используемым для изоляции, и ссылается на классификацию групп различных изоляционных материалов,
- необходимость в простой (базовой) или усиленной изоляции.

ЛЕМ руководствуется этими критериями при проектировании всех датчиков.

Пример: LTC 600-S, датчик тока в тяговом инверторе

Условия применения:

Путь утечки по поверхности (корпус): 66,70 мм,

Воздушный изоляционный зазор: 45,90 мм,

Сравнительный индекс пробоя изоляции (CTI): 600 В (группа I),

Категория перенапряжения: II,

Степень загрязнения: 3.

73

Качество и стандарты ЛЕМ

Базовая или простая изоляция:

В соответствии со стандартом EN 50124-1: при значении воздушного зазора — 45,90 мм, степени загрязнения — PD3, U_{NI} (импульсное напряжение изоляции) = 30 кВ. При U_{NI} =30 кВ и категории перенапряжения OV II, расчетное напряжение изоляции (переменное или постоянное) U_{Nm} может быть в пределах от 6.5 до 8.3 кВ.

Для длины пути утечки по поверхности изоляции — 66,70 мм, степени загрязнения PD3, индексе пробоя изоляции CTI 600 В (группа I), допустимо значение изоляции 12,5 мм/кВ, что приводит к расчетному напряжению изоляции $U_{\rm Nm}=5.336$ кВ.

В итоге в этих условиях применения рабочее напряжение изоляции U_{Nm} =5.336 кВ (наименьшее из двух результатов для воздушного зазора и пути утечки по поверхности изоляции).

Усиленная изоляция:

Рассмотрим случай усиленной изоляции для тех же изоляционных зазоров, которые определены выше:

При расчете величины воздушного зазора для усиленной изоляции, значение импульсного напряжения изоляции должно составлять 160% от импульсного напряжения для базовой изоляции.

При заданном воздушном изоляционном зазоре 45,90 мм, в случае усиленной изоляции, импульсное напряжение U_{NI} (для усиленной) = U_{NI} (для базовой)/1.6 = 18.75 кВ.

Для усиленной изоляции рабочее напряжение изоляции U_{Nm} составляет от 3.7 до 4.8 кВ для данного зазора.

Для расчета длины пути утечки по поверхности в случае усиленной изоляции, рабочее напряжение изоляции U_{Nm} должно быть увеличено в 2 раза, по сравнению с базовой изоляцией.

При заданной длине пути утечки по поверхности 66,70 мм, степени загрязнения — PD3, и сравнительном индексе пробоя изоляции CTI 600 B(группа I), имеем значение зазора 25 мм/кВ (2 х 12,5) против 12,5 мм/кВ (для базовой изоляции), что приводит к рабочему напряжению изоляции $U_{\rm Nm}=2.668$ кВ.

В итоге, для усиленной изоляции, рабочее напряжение изоляции U_{Nm} , в этих условиях эксплуатации составляет 2.668 кВ (наименьшее из двух результатов для воздушного зазора и пути утечки по поверхности изоляции).

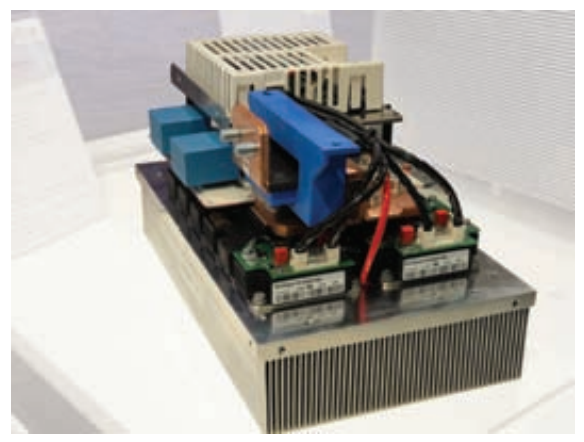




В соответствии с директивой RoHS 2 2011/65/EU



Модель HAS в конверторе



Датчик НАХ в инверторе ветрогенератора. Фото любезно предоставлено Infineon.







АНКЕТА LEM ПО ВЫБОРУ ДАТЧИКОВ

Представительство компании ЛЕМ:	Конт	актная информация: Дата:			
Информация о клиенте:	e-mai	l:			
Компания :	Стран	на : Город :			
Контактное лицо :	Телес	фон : Факс :			
Название проекта :					
Применение					
Рынок Приводы ИБП	ll Tpar	нспорт			
Использование 🔲 Напряжение 🔲 Ток	il i	еделение Другое			
Функция] токо	рв утечки			
Параметры электрооборудования и окружающей ср	еды	Требуемые параметры датчика			
Измеряемый сигнал					
Тип сигнала: Синусоидальный Постоянный т	ОК	Общая точность (% номинального значения, при 25°C)%			
переменного тока		Суммарная точность в рабочем диапазоне температур%			
│ меандр		Максимальное смещение при 25°CмА/мВ			
Номинальное значение: действующее	знач.	Диэлектрические характеристики:			
Диапазон измерения: амплитудное	знач.	Категория перенапряжения OV:			
Измерение перегрузок действующее :	знач.	Степень загрязнения среды PD:			
Пиковое: Длительность	_ сек.	Номинальное напряжение изоляции:			
Значение не измеряемой перегрузки: пико	овое	Обычная изоляция:В			
(выдерживаемой)		Усиленная изоляция: В			
Частота следования импульсов	_ Гц	Между первичной и вторичной цепями (50 Гц/1мн): кВ RMS			
Длительность:	MC	Между экраном и вторичными цепями (50 Гц/1мн): кВ RMS			
Скорость di/dt	_ A/µs	Импульсное выдерживаемое напряжение кВ RMS Уровень затухания частичного разряда при 10 рС: кВ			
Частотный диапазон	кГц	уровень затухания частичного разряда при то рокв			
Рабочая частота		Тип выходного сигнала: мА/А мВ/А			
Амплитуда пульсации от пика до		мА/ВмВ/В			
Частота пульсации	Гц	Нагрузочное сопротивление fiмин макс.			
•	— ' ч кВ/µs	Отношение витков:			
	кы/µъ	Температурный диапазон:			
Питание В +/%		Рабочий: от°С до°С Хранение: от °С до °С			
∟ биполярное	рное	Хранение: от°С до°С			
Механические требования:					
Требуемые максимальные размеры: длинамм х ши	рина _	мм х высотамм			
Монтаж на: Плату Панель		_			
		льки М С Кабель Другое:			
		мм х ширина; или Øмм			
		мм x ширинамм x толщинамм			
I '	EN 501				
Транспорт	EN 501	55 EN 50463			
☐ IEC 61010-1		Другие			
Сертификация UL UL508/UL60947 🗌	ļ	Другие стандарты UL (если отличаются от UL508)			

Критерии для выбора датчиков

Компания ЛЕМ предоставляет широкий спектр датчиков для измерения силы тока и напряжения, разнообразных по конструкции и имеющих различные электрические параметры.

1. Конструктивные параметры

 Широкий спектр датчиков, устанавливаемых на печатную плату в отверстия или для поверхностного монтажа, или с монтажом на панель или рейку, с отверстием для первичного проводника, или с встроенной первичной шиной.

Множество способов установки

Такие модели как модели серии LF могут устанавливаться как в вертикальном, так и в горизонтальном положениях, и обладая компактным корпусом, позволяют пользователям выбрать наиболее подходящий способ установки в соответствии с конкретным применением.

• Различные формы и размеры

Специализированные микросхемы (ASIC), использующиеся в датчиках компании ЛЕМ, позволяют минимизировать размеры датчиков, благодаря интеграции всей электроники в одной микросхеме.

Датчики различных серий, даже на один и тот же ток, обладают различными механическими конструкциями, что позволяет решать все проблемы, связанные с установкой. Есть необходимость установить датчик тока в уже смонтированную установку без разрыва первичной шины? Эта задача как раз для моделей типа HTR или HOP, для применений в промышленности, либо моделей типа PCM, для ж/д инфраструктуры. Эти разъемные датчики можно смонтировать на шину без ее разрыва, что идеально подходит для задач модернизации находящегося в эксплуатации оборудования.

2. Электрические параметры

. Точность

Точность является основополагающим параметром в электрических системах. Выбор правильного датчика зачастую зависит от нескольких параметров: точность, частотный диапазон, вес, размер, цена и т.д.

Точность измерения датчиков производства ЛЕМ зависит в первую очередь от технологии датчика.

Датчики прямого усиления проходят калибровку в процессе производства и обеспечивают типовую погрешность измерения менее 2% от номинального диапазона при температуре в 25°С. Дополнительные точностные параметры, такие как величина начального смещения и дрейф коэффициента усиления, содержатся в техпаспорте на датчики.

Датчики прямого усиления нового типа, в которых используются специализированные интегральные микросхемы (ASIC), имеют не только лучшие точностные параметры, такие как величина начального смещения и дрейф коэффициента усиления, но также обеспечивают типовую погрешность измерения, близкую к погрешности датчиков компенсационного типа. Датчики тока и напряжения компенсационного типа обеспечивают великолепную точность при температуре 25°C, с погрешностью менее 1% от номинального диапазона, а также

отличную точность во всем диапазоне рабочих температур благодаря принципу компенсации магнитного потока.

Напряжение питания и ток потребления

Большинство датчиков осуществляют биполярные измерения, и требуют биполярного источника питания с напряжением

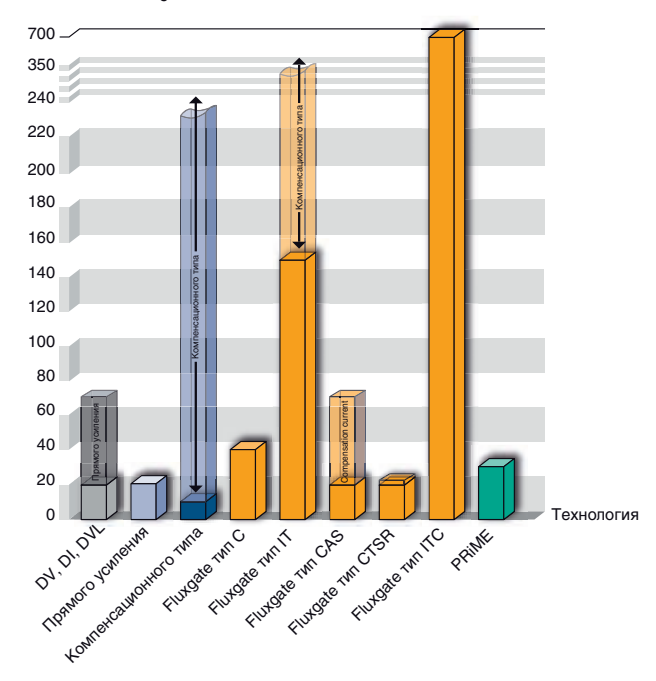
$$U_{\rm C}$$
 = + / - 12 V ; + / - 15 V ; +/- 24 V ; ...

Однако, благодаря новым разработкам в области силовой электроники, а также использованию специализированных интегральных микросхем ASIC, разработано много типов датчиков для биполярных измерений, имеющих при этом однополярное напряжение питания относительно земли (0 B): $U_{\rm c} = +5$ V or +3.3 V.

Это один из факторов низкого энергопотребления.

Энергопотребление зависит от типа технологии, используемой в датчике. Вот, например, график зависимости тока потребления датчиков в зависимости от использующихся технологий (что должно учитываться на стадии проектирования):

Ток потребления I_{C} (mA)



Опорное напряжение

Модели с напряжением питания +5 В или + 3,3 В, как правило на микросхемах ASIC, могут обеспечивать выход внутреннего опорного напряжения на отдельный вывод, или подачу на этот вывод внешнего опорного напряжения от микроконтроллера или АЦП.

Такая связь с микроконтроллером позволяет снизить начальный ток смещения, дрейф смещения и коэффициента усиления. Для удовлетворения таких потребностей рынка компания ЛЕМ и разработала специализированные интегральные микросхемы ASIC. И действительно, применение ASIC позволяет значительно улучшить такие параметры как дрейф смещения и коэффициента усиления.

Критерии выбора

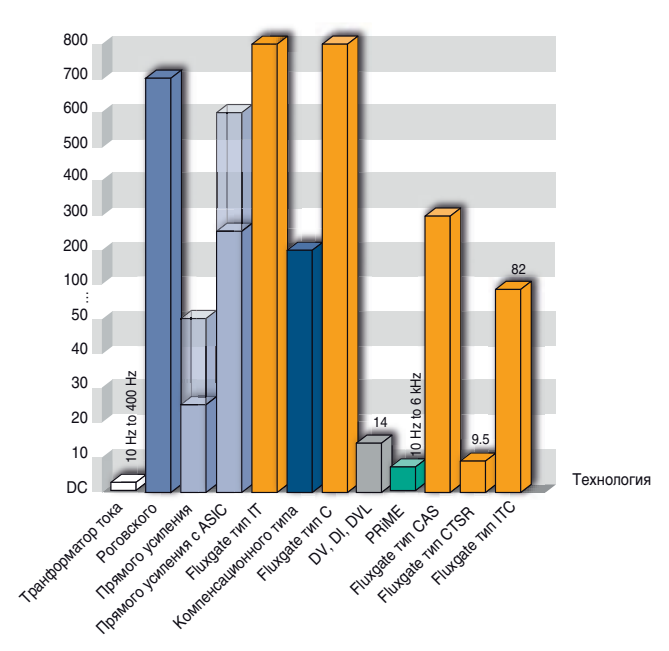
Частотная характеристика

Частотная характеристика датчиков также зависит в первую очередь от используемой технологии.

Некоторые факторы, влияющие на частотную характеристику, приведены ниже для различных технологий:

- Датчики прямого усиления: конфигурация сердечника, количество и толщина пластин, тип материала сердечника и тип элемента Холла и т.д., непосредственно влияют на диапазон частот. При этом благодаря использованию специализированных интегральных микросхем нового поколения ASIC, удалось в значительной степени улучшить частотные характеристики датчиков.
- Датчики компенсационного типа и на принципе "fluxgate": электромагнитная связь между первичной и вторичной обмотками (зависящая от механической конструкции и конструкции магнитной цепи), а также материал сердечника, оказывают сушественное влияние на частотные характеристики.
- Диапазон частот датчиков серии DV, DI, DVL и PRIME зависит от ограничений электроники на выходе датчика.
- Диапазон частот датчиков напряжения компенсационного типа на эффекте Холла ограничивается индуктивностью первичной обмотки. Значения времени отклика датчиков приведены в техпаспортах.

Частотный диапазон (kHz)



Диапазон рабочих температур

Диапазон рабочих температур зависит от типов используемых материалов и компонентов, конструкции и используемой технологии. Как правило, нижний предел температур составляет -40, -25 или -10°C, в то время как верхний предел равен +50, +70, +85 или +105°C.

ЛЕМ предлагает широкий ряд датчиков, подходящих для различных условий эксплуатации.

Датчики, включенные в данный каталог, имеют различные температурные характеристики, связанные с величиной суммарной погрешности во всем диапазоне рабочих температур. Для специальных применений компания ЛЕМ может предоставлять датчики специальных исполнений, с более широким диапазоном рабочих температур, чем указаны в данном каталоге.

Выходной сигнал

Датчики компании ЛЕМ имеют различные варианты выходных сигналов, в основном зависящих от технологии датчика, и применения.

Датчики компенсационного типа, "fluxgate" типа серий IT и ITC, датчики серий DV, DVL и DI, а также трансформаторы тока имеют токовый выход, пропорциональный величине первичного сигнала. Пользователь может получить требуемое значение выходного напряжения с этих датчиков с помощью выбора величины нагрузочного резистора в пределах, указанных в техпаспорте.

Датчики тока прямого усиления, "fluxgate" типа серий C, CAS и CTSR, а также датчики, в которых используется технология PRIME, имеют на выходе сигнал в виде напряжения, пропорционального первичному току.

В случае датчиков с однополярным напряжением питания, выходной сигнал изменяется относительного опорного постоянного напряжения, не равного нулю.

В некоторых сериях датчиков реализованы специальные выходные сигналы (независимо от технологии датчика), приспособленные под конкретные варианты применения (железнодорожная инфраструктура, автоматизация процессов и т.д.), такие как:

- Стандартизованные выходные сигналы (например, 0-5 В DC, 0-10 В DC, 4-20 мА)
- А также, выходной сигнал, пропорциональный среднеквадратичному (RMS) или истинному среднеквадратичному (True RMS) значению входного тока, с целью точного измерения действующего значения силы тока, даже при нелинейной нагрузке и наличии высокого уровня помех.

Измерение напряжения

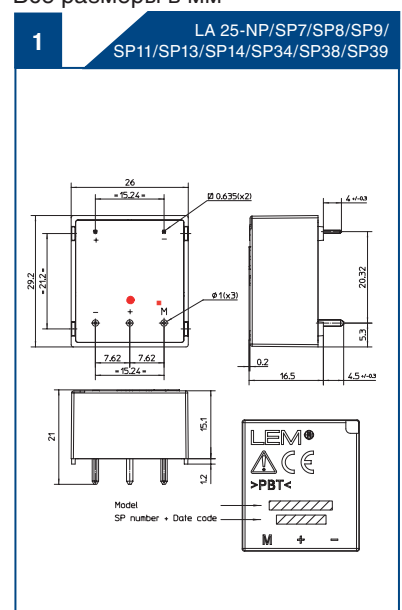
Компания ЛЕМ предоставляет широкий выбор датчиков для гальванически изолированного измерения напряжения, с различными техническими параметрами.

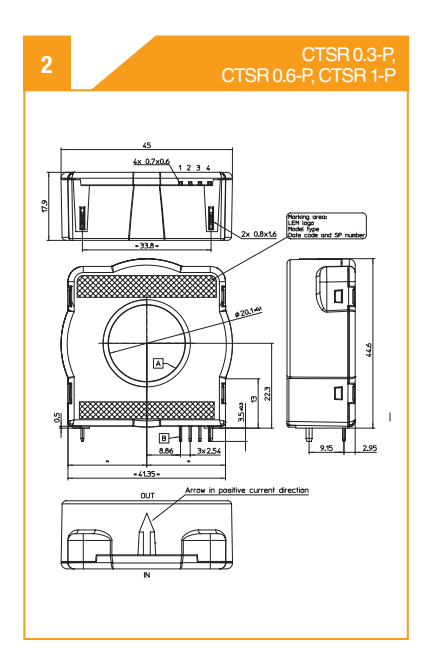
Существует два варианта измерения напряжения:

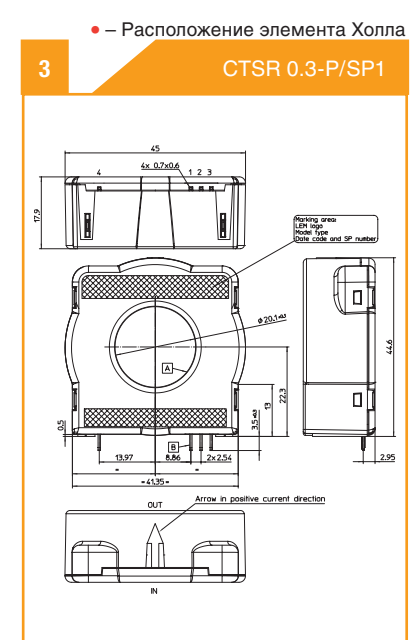
- С внешним первичным резистором, выбранным и установленным заказчиком:
 - Заказчик подключает внешний первичный резистор последовательно с входом датчика. Сопротивление этого резистора R1 выбирается исходя из требуемого значения измеряемого напряжения. Этот вариант обеспечивает максимальную гибкость.
- Встроенный первичный резистор: сопротивление встроенного первичного резистора R1 определяет номинальное значение измеряемого напряжения патчика

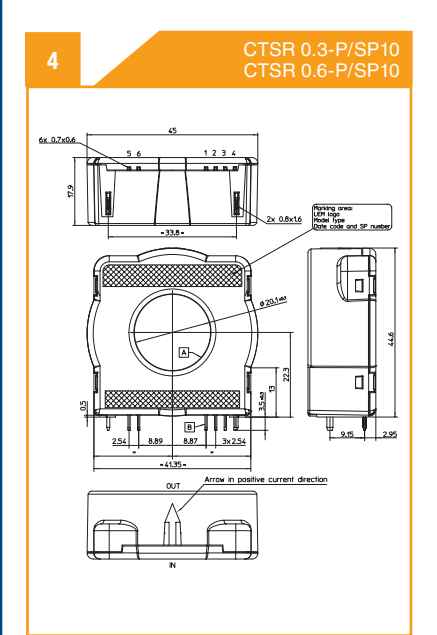
Компания ЛЕМ предлагает широкий диапазон датчиков по номинальному напряжению для любых применений.

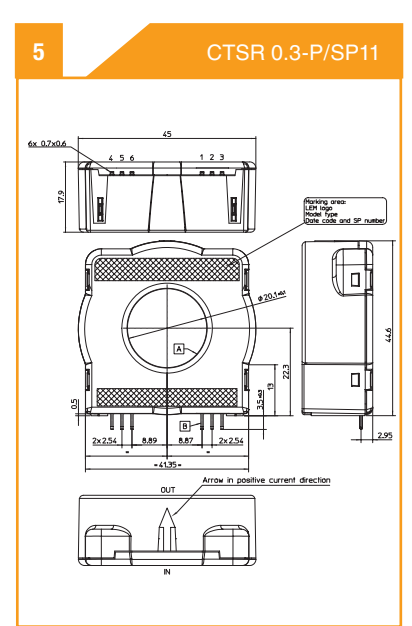


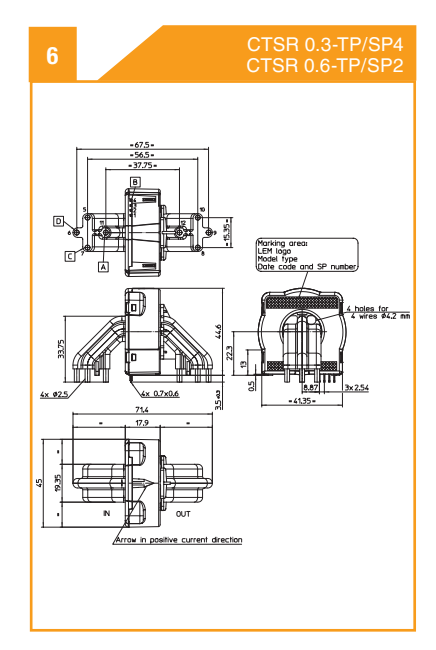


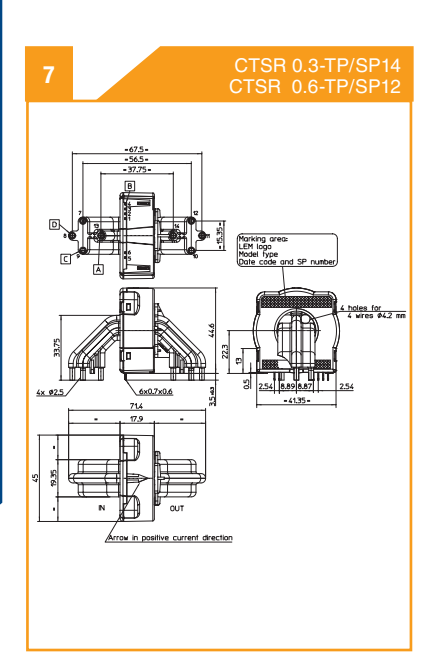


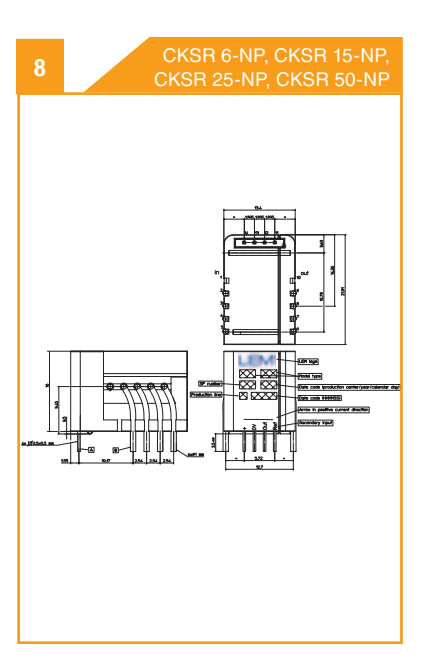


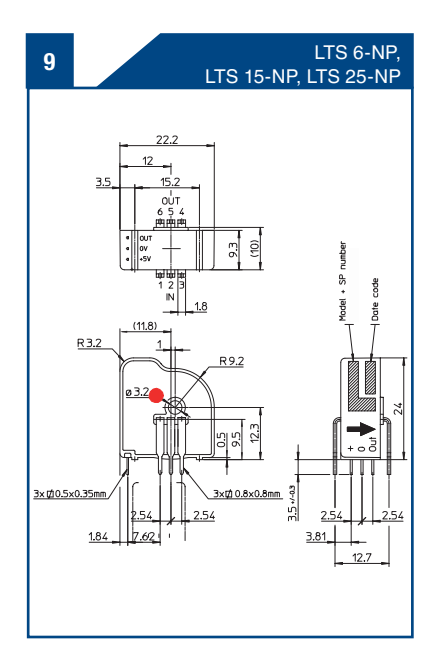


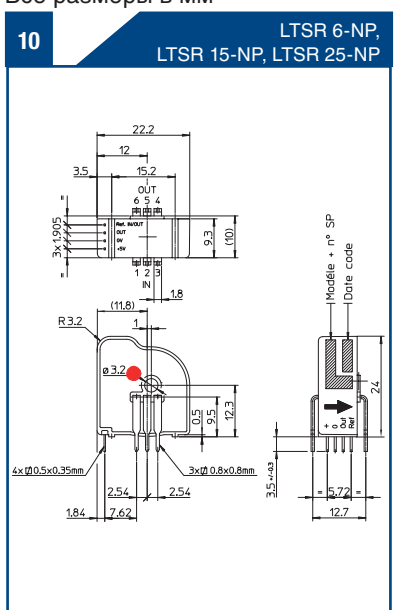


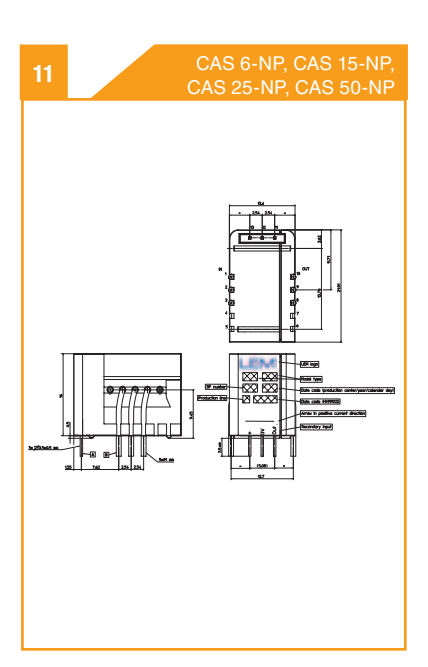


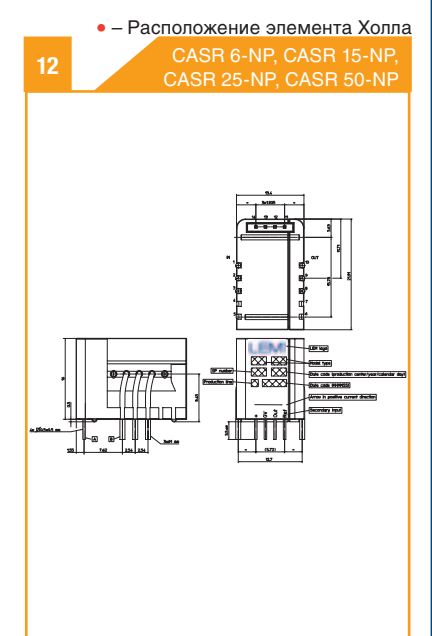


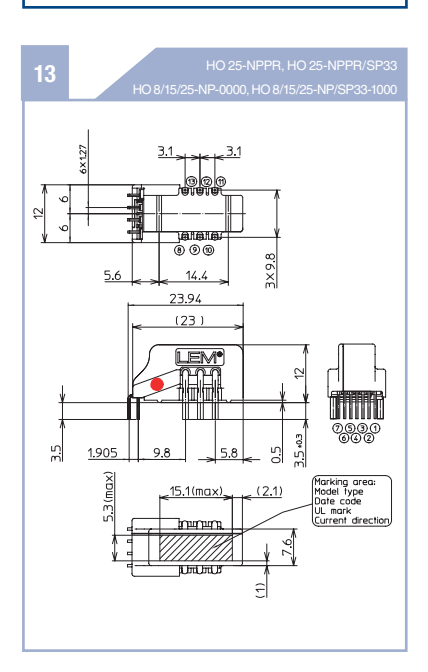


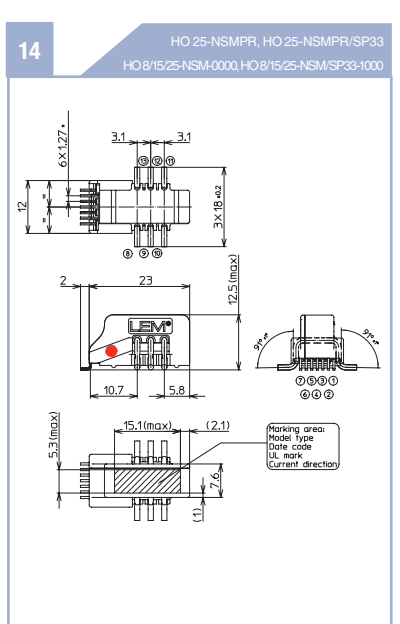


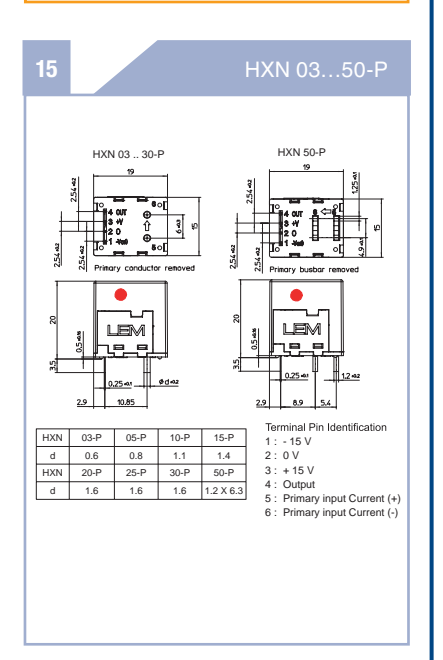


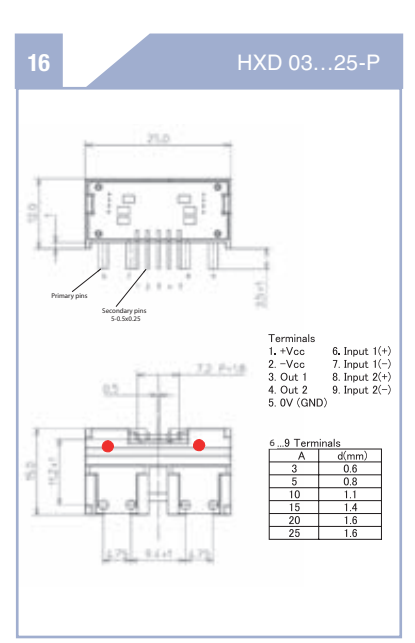


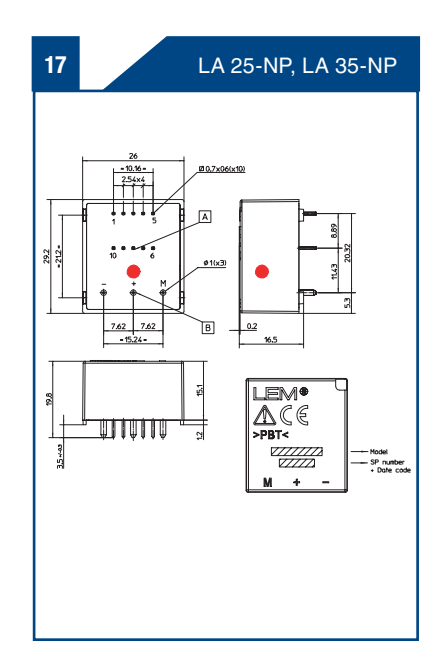


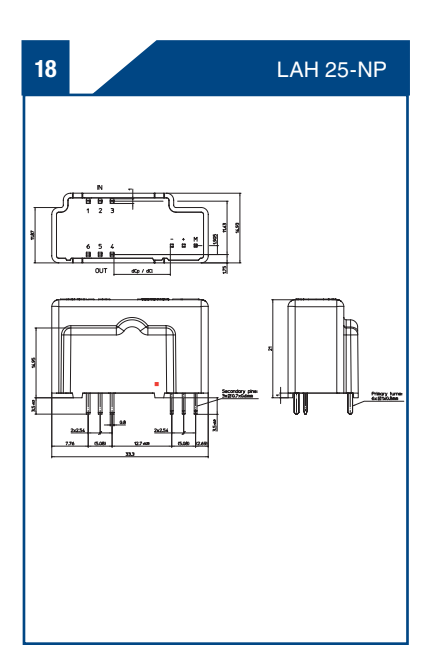


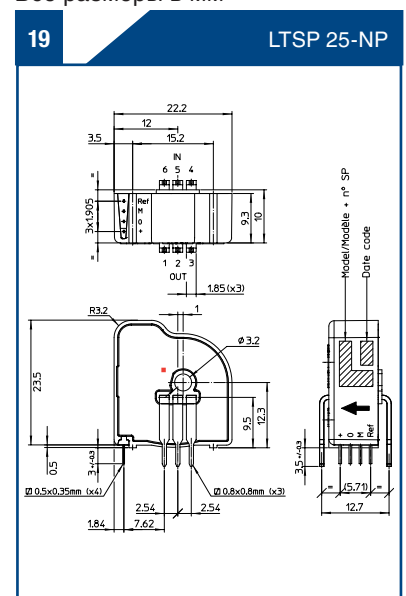


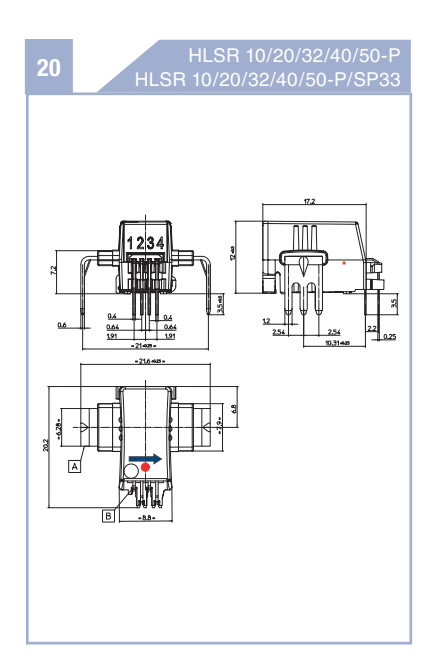


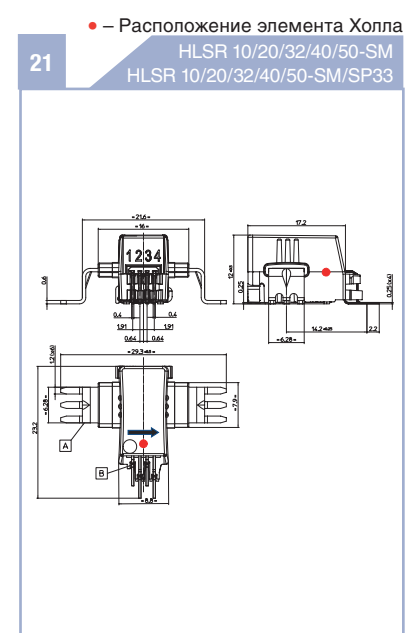


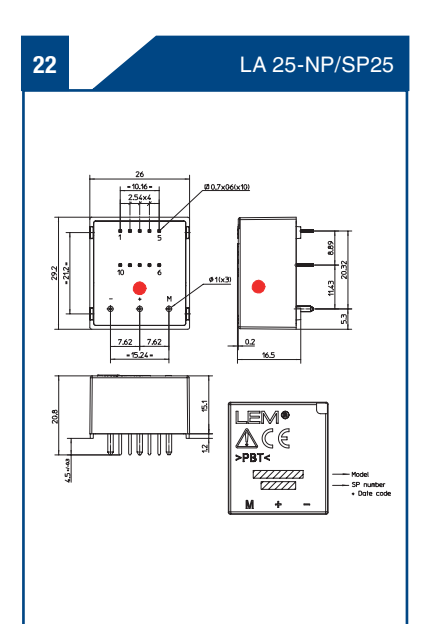


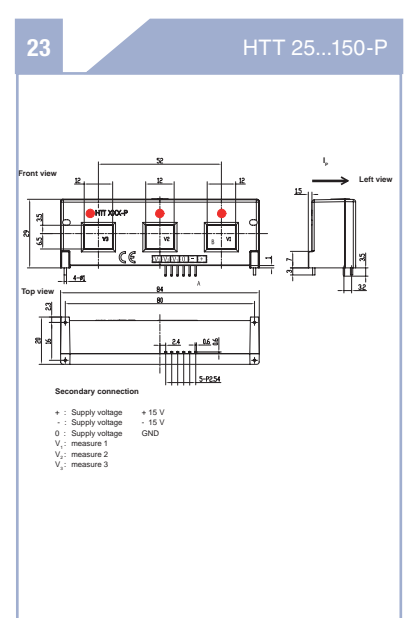


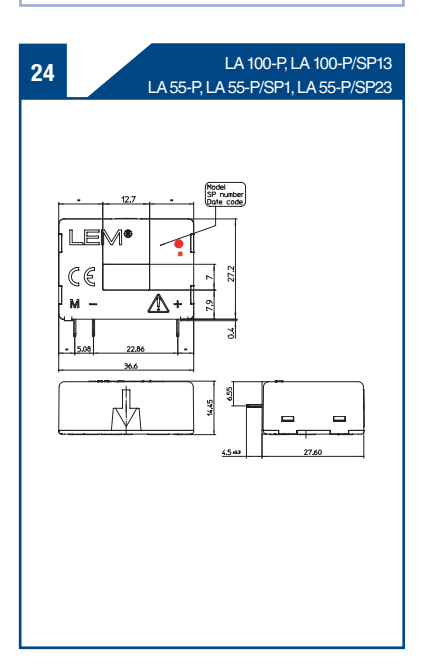


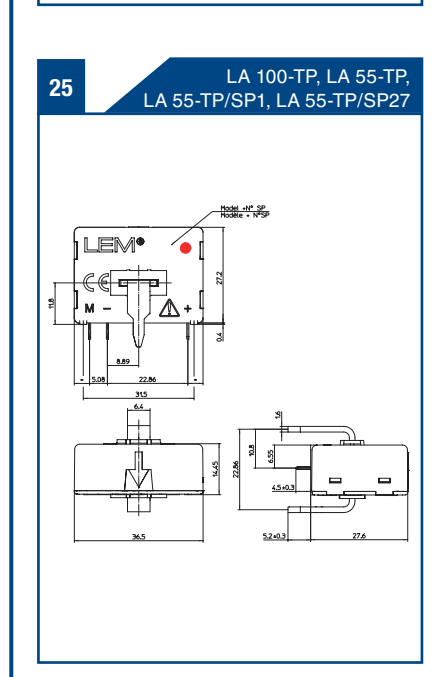


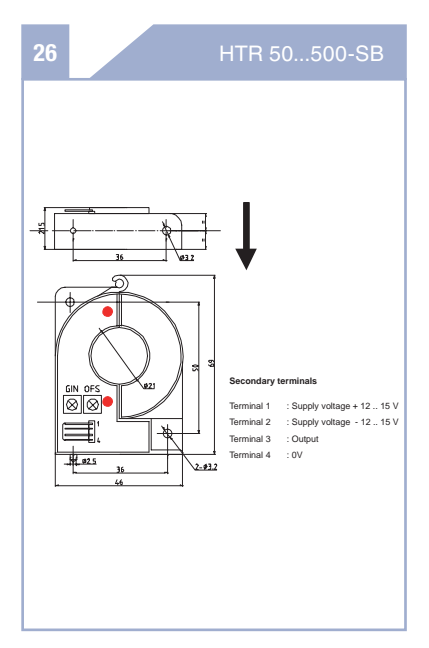


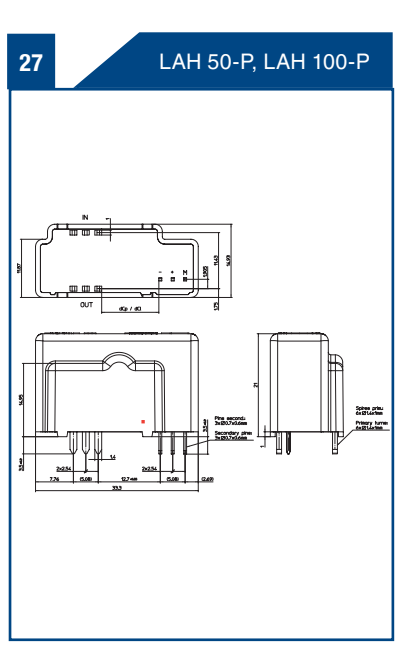


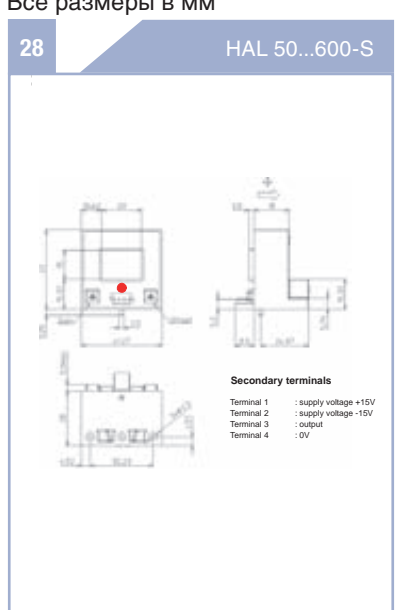


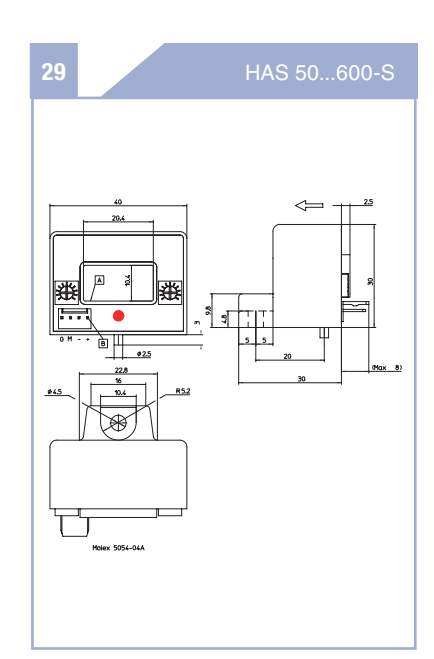


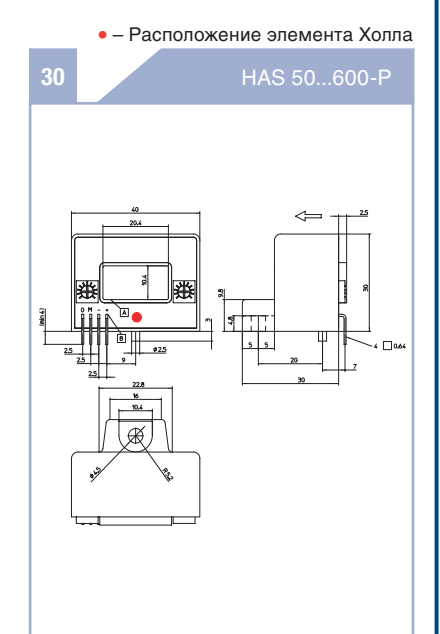


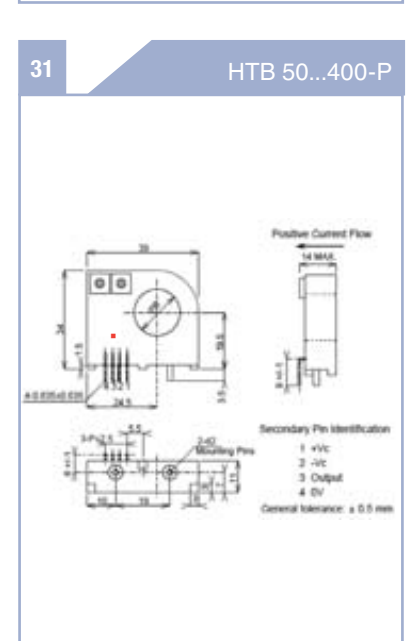


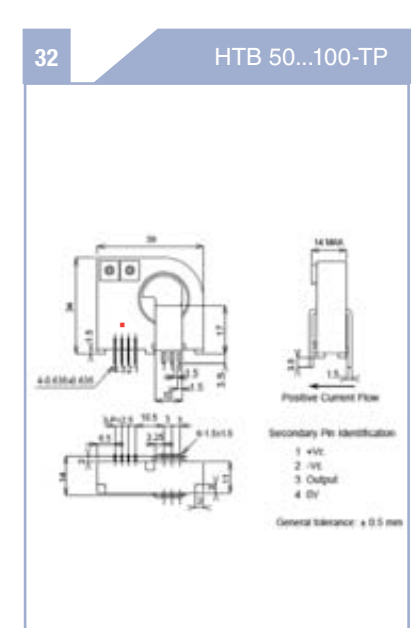


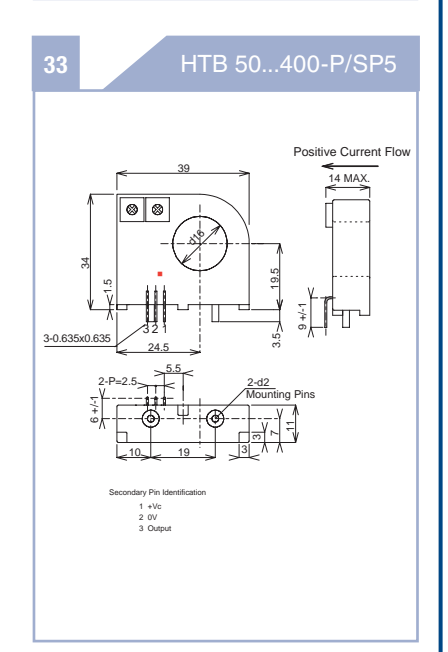


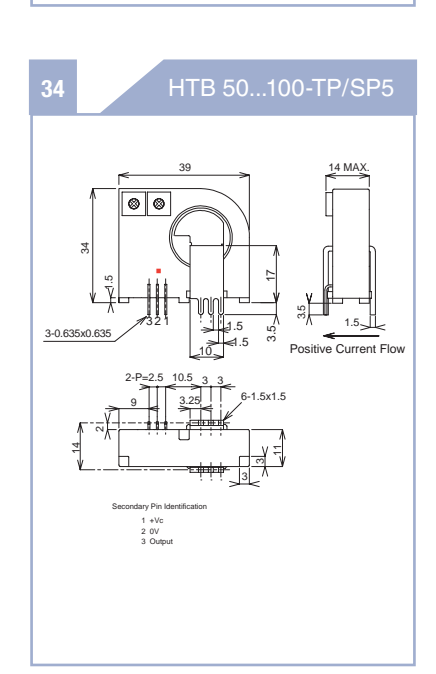


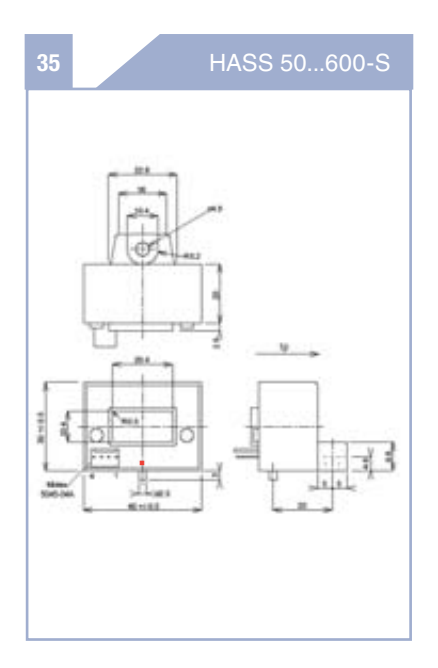


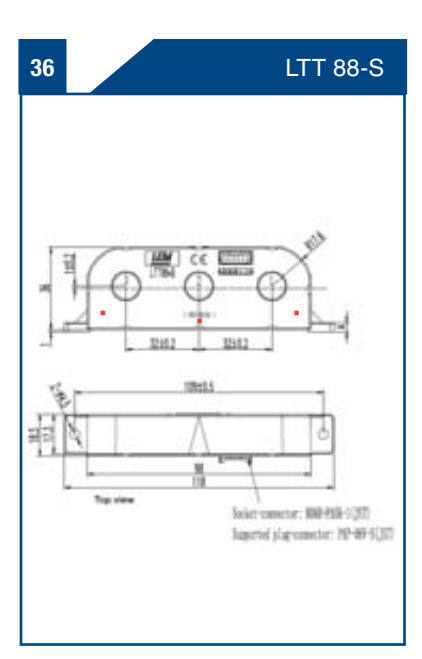


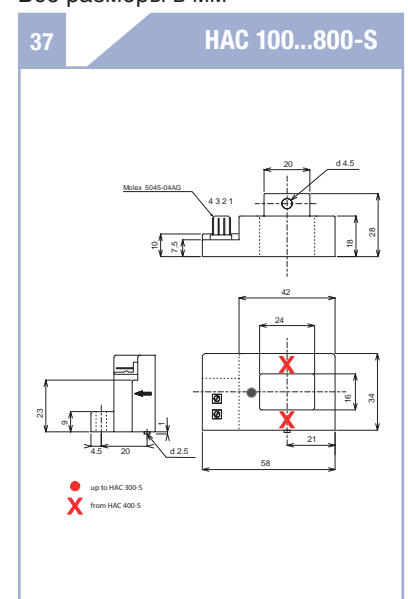


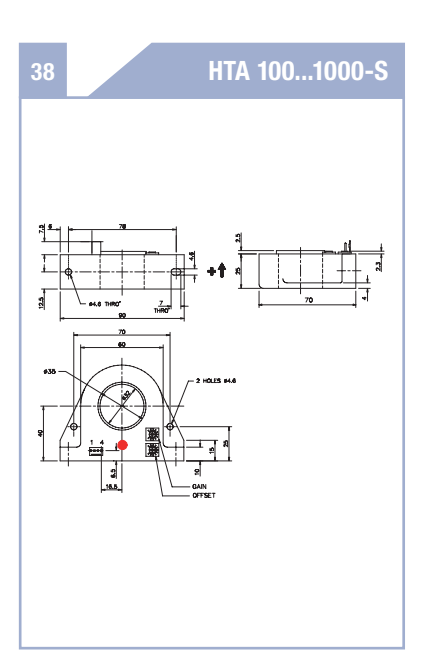


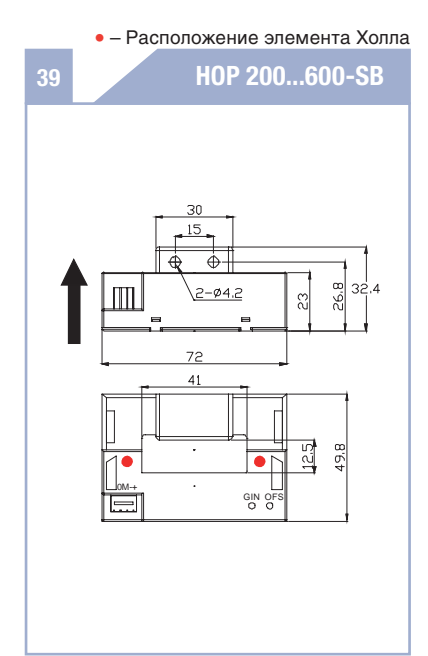


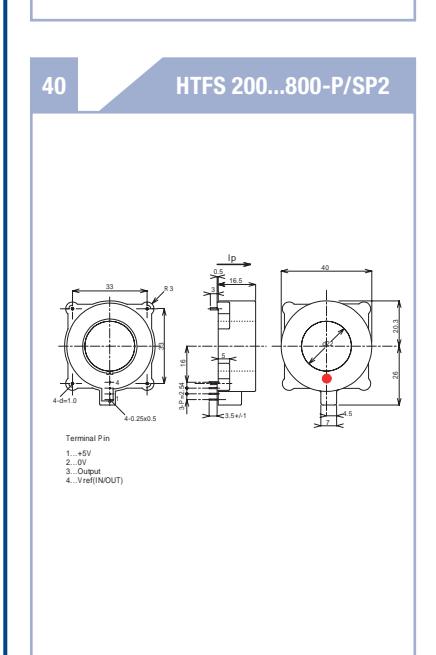


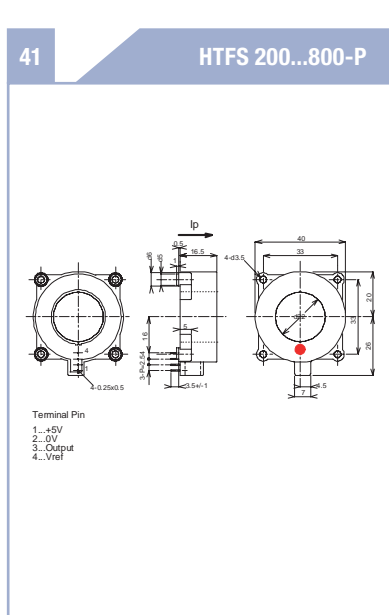


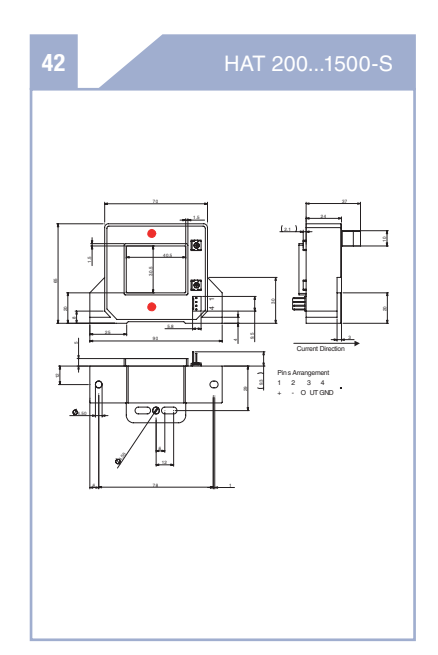


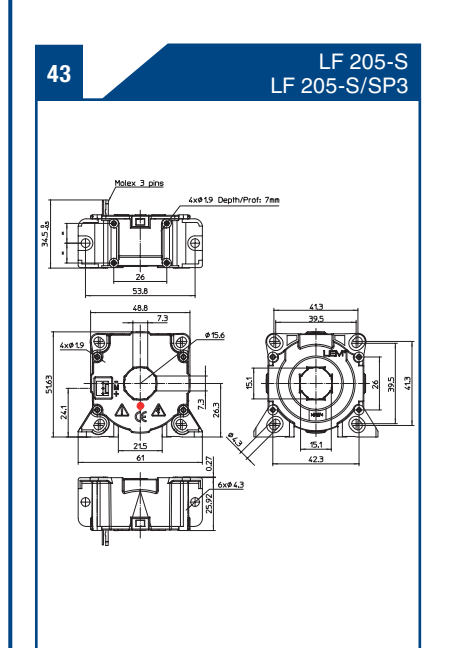


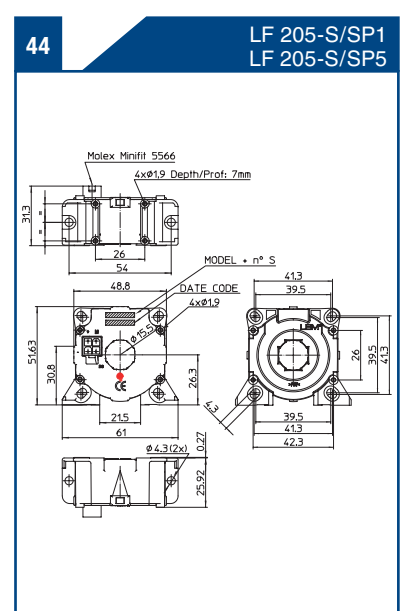


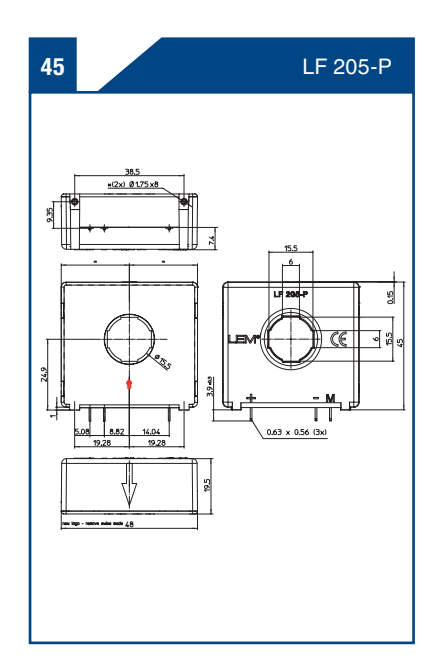


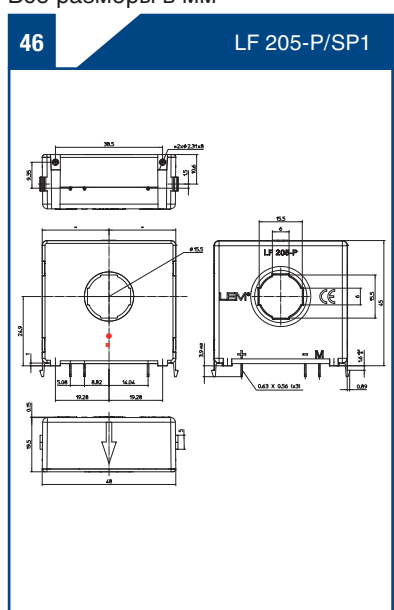


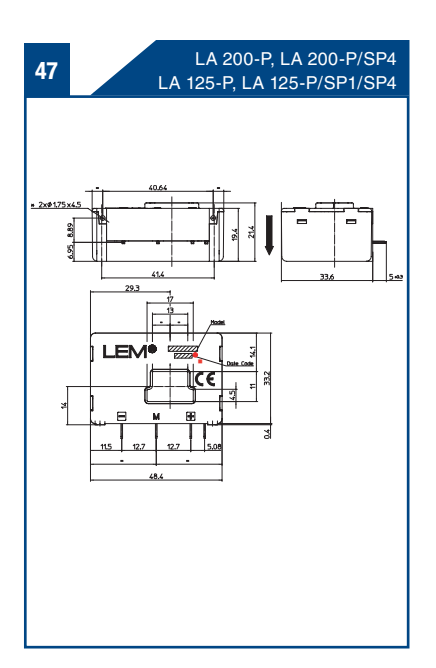


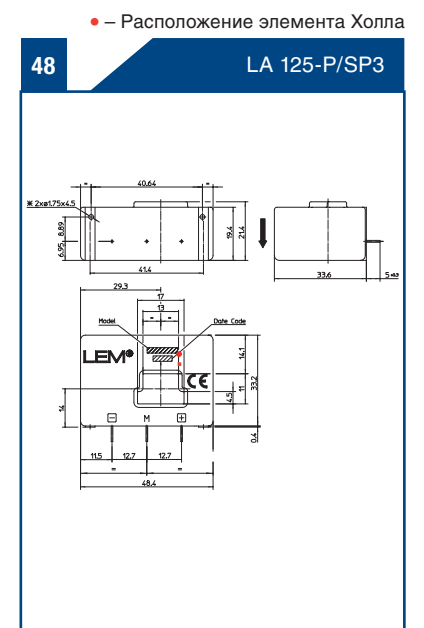


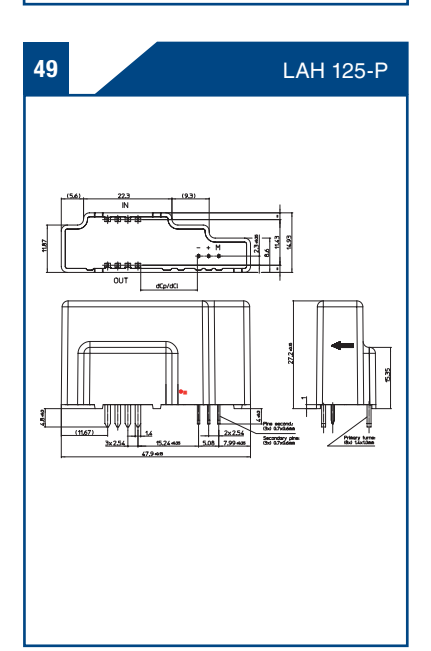


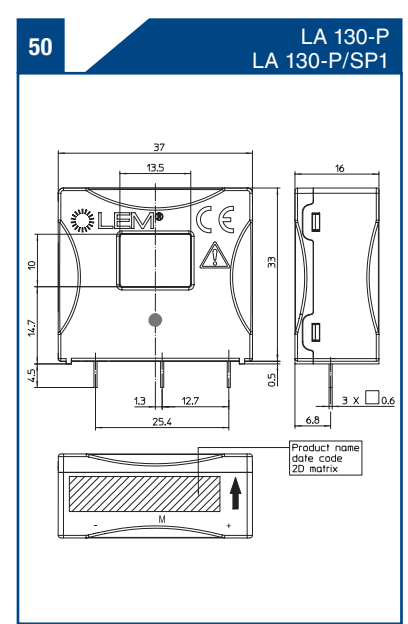


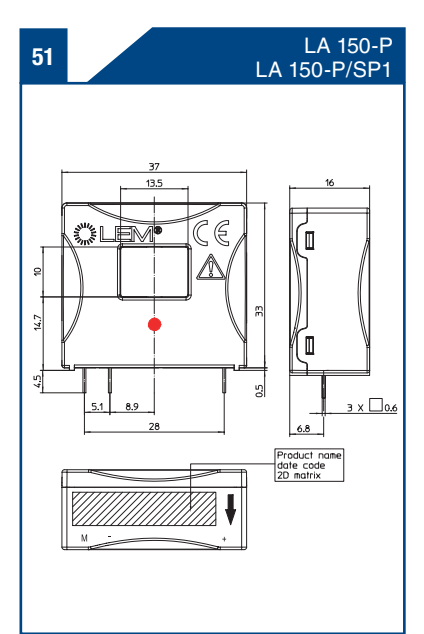


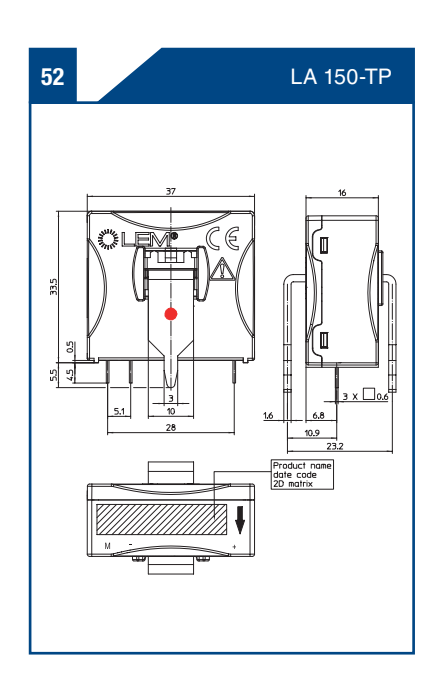


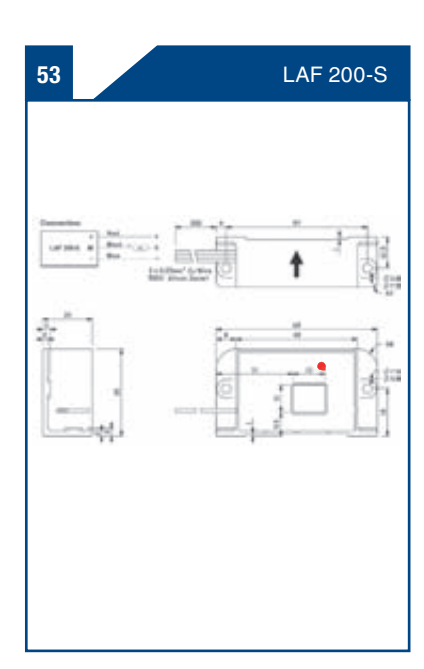


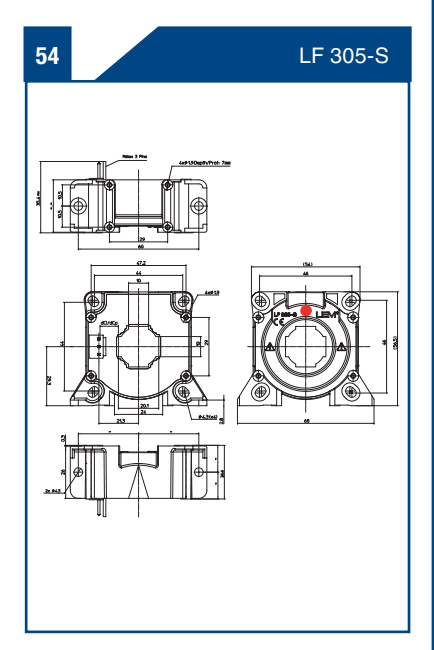


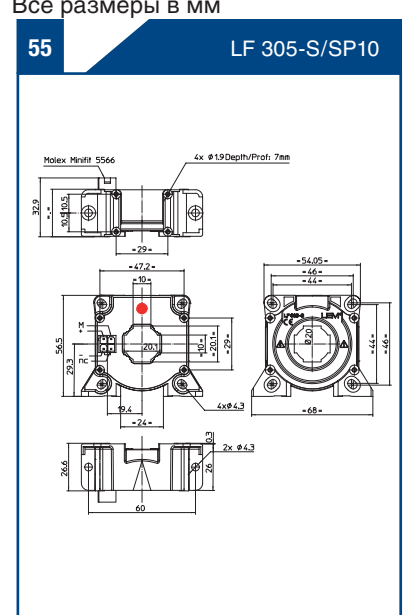


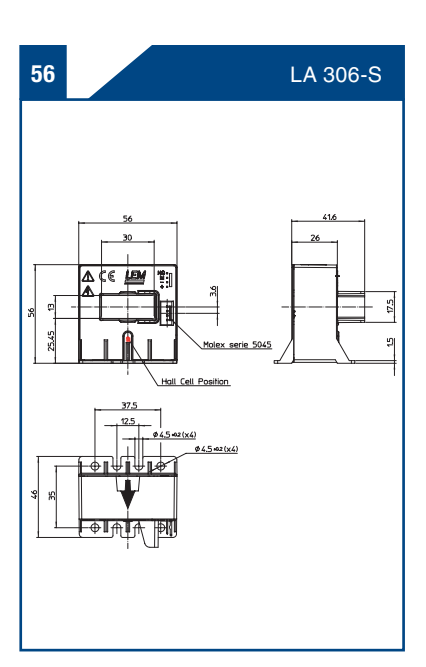


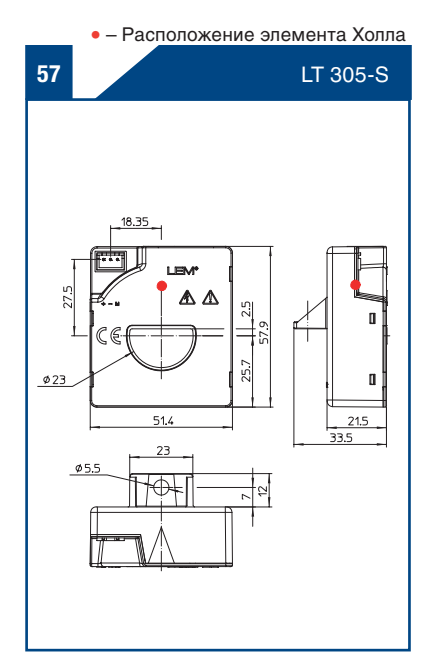


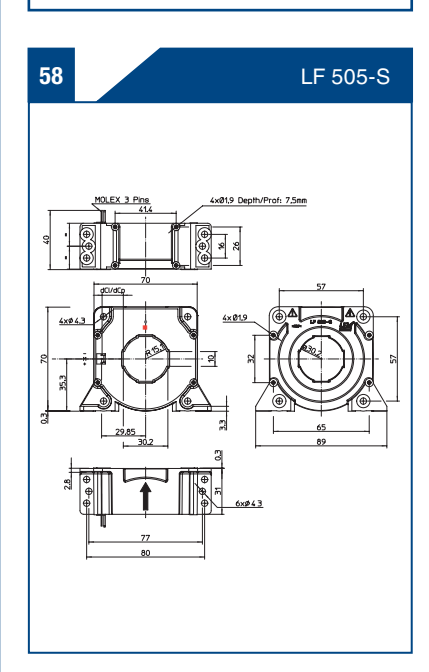


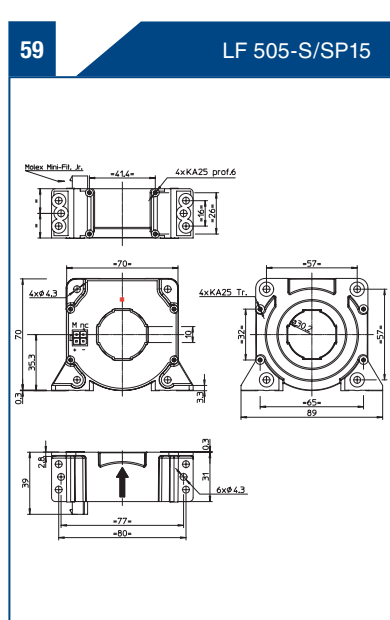


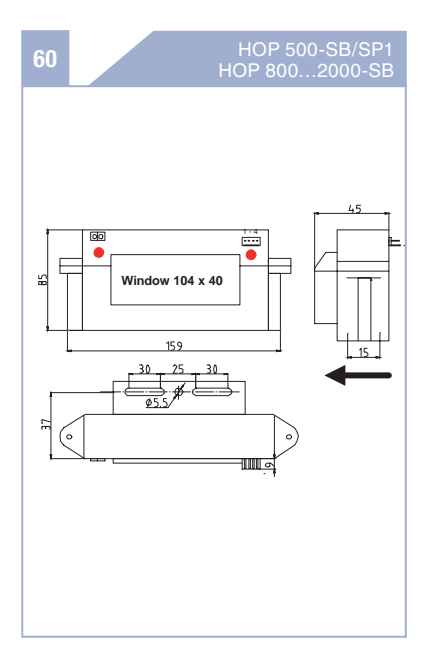


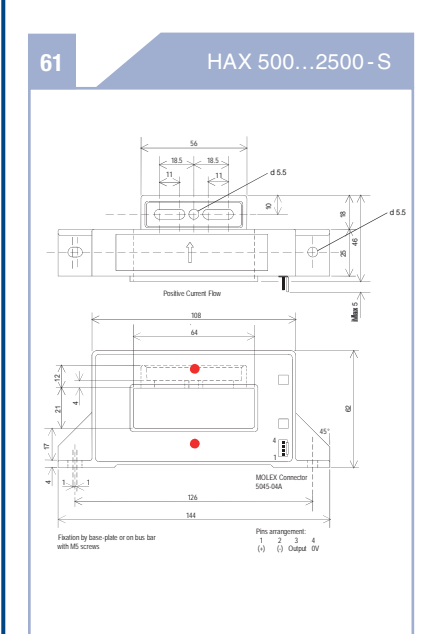


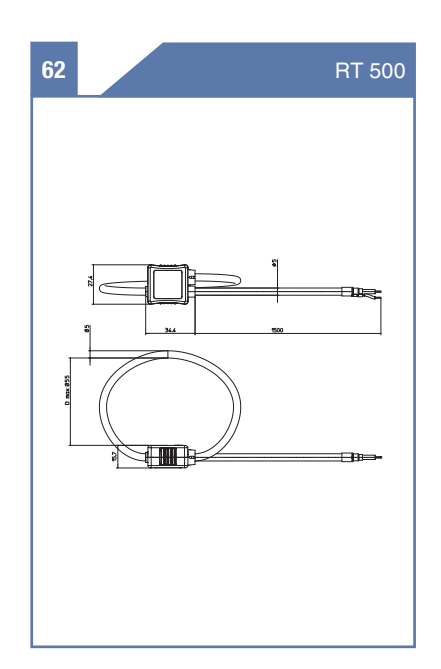


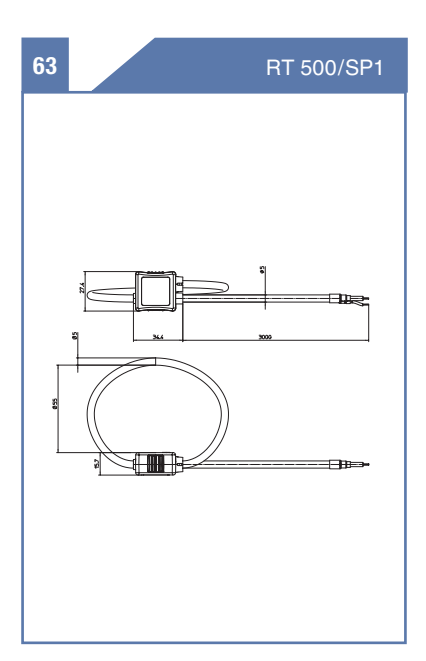


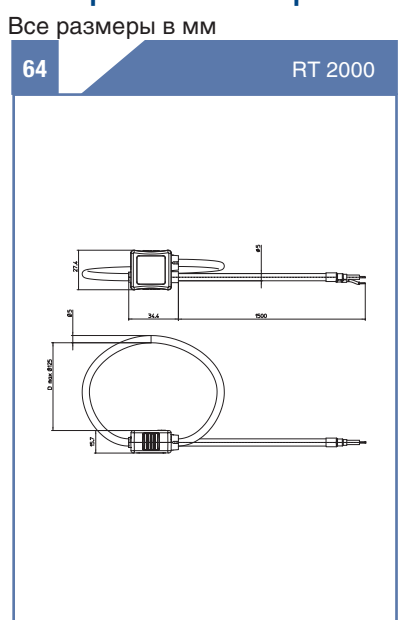


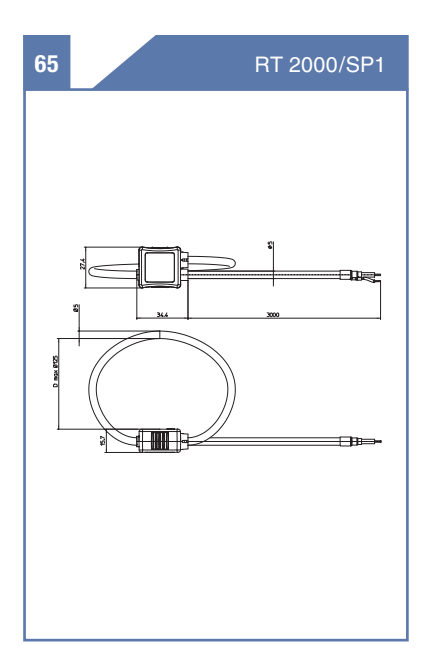


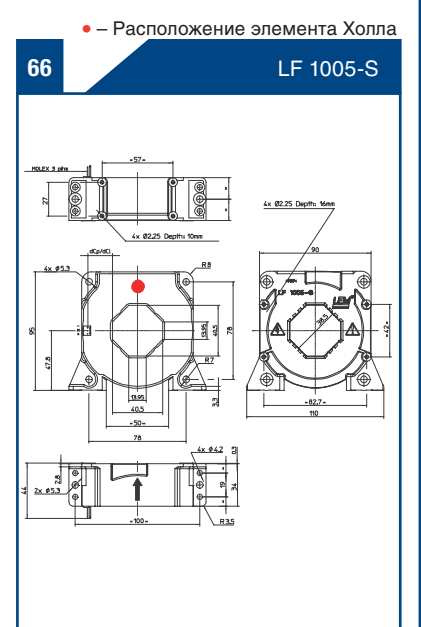


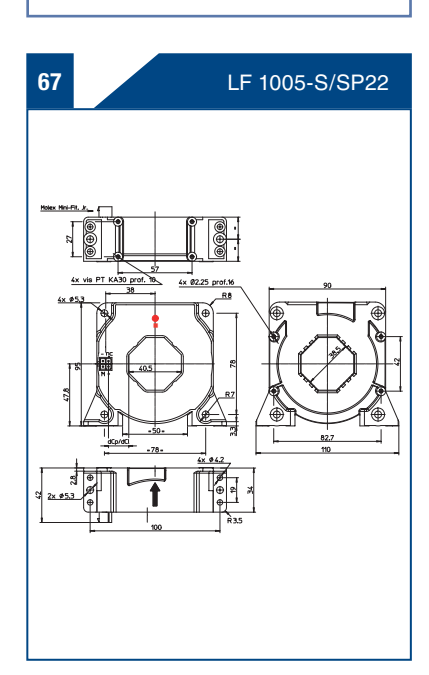


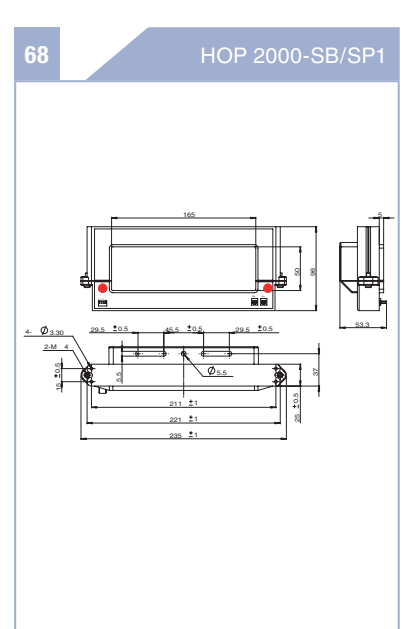


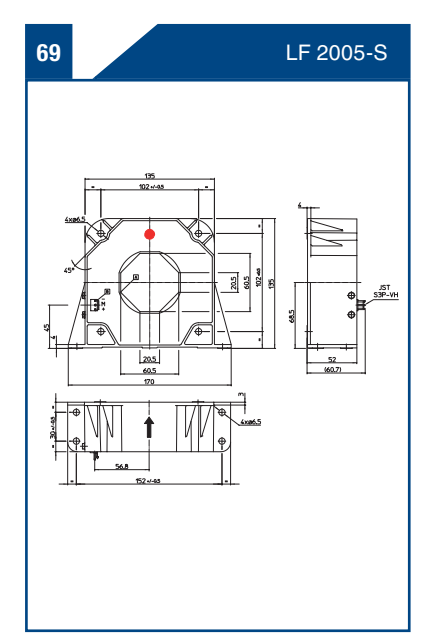


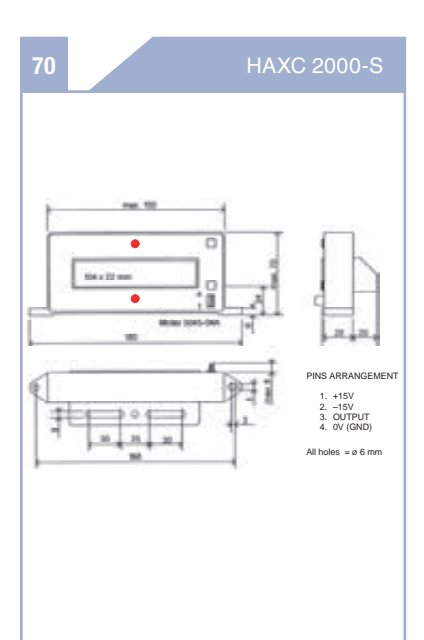


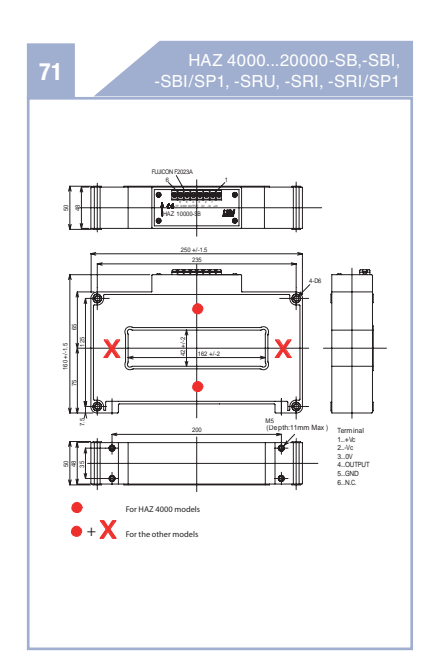


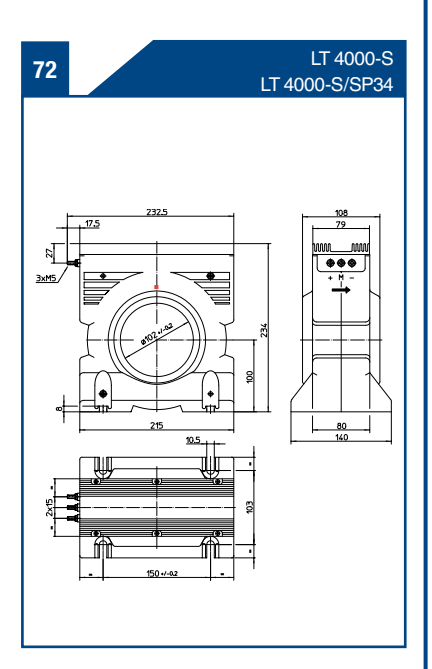


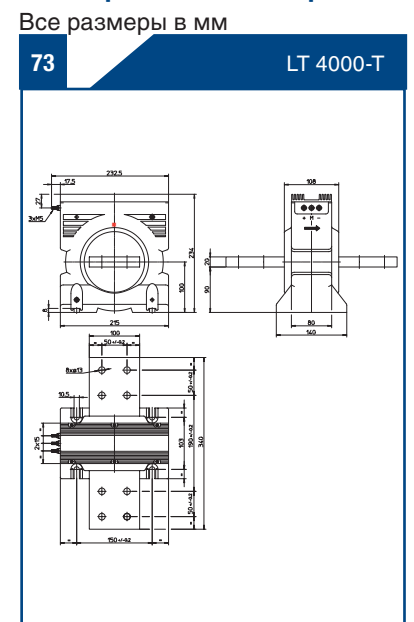


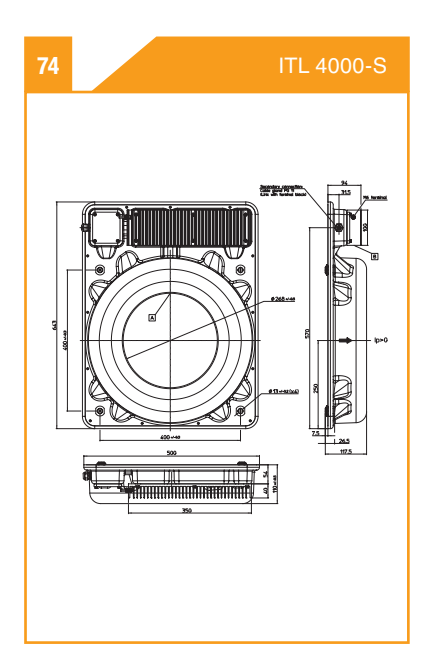


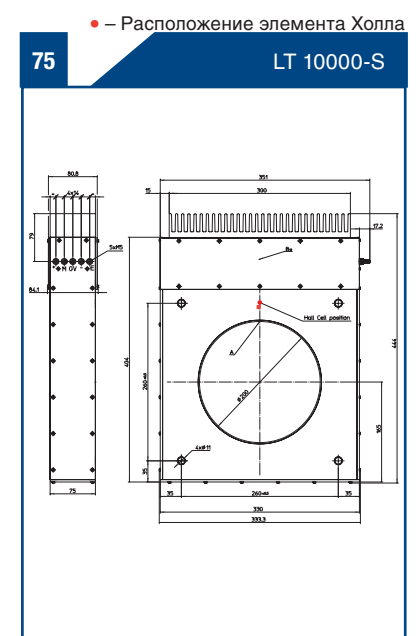


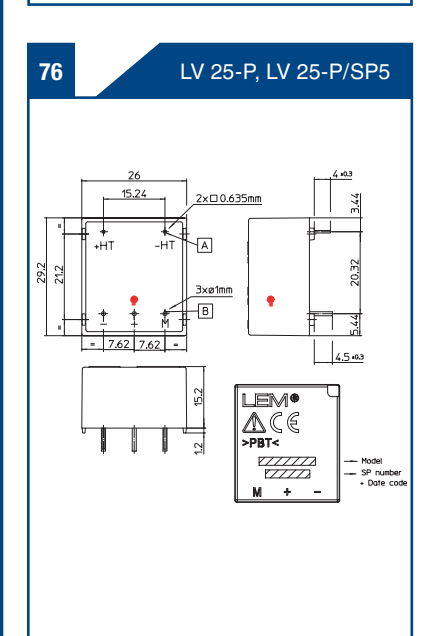


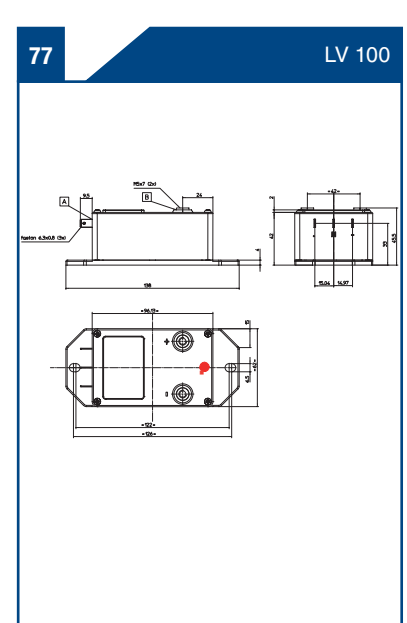


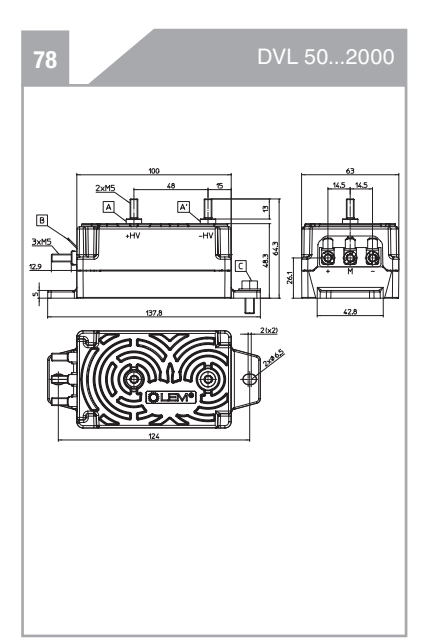


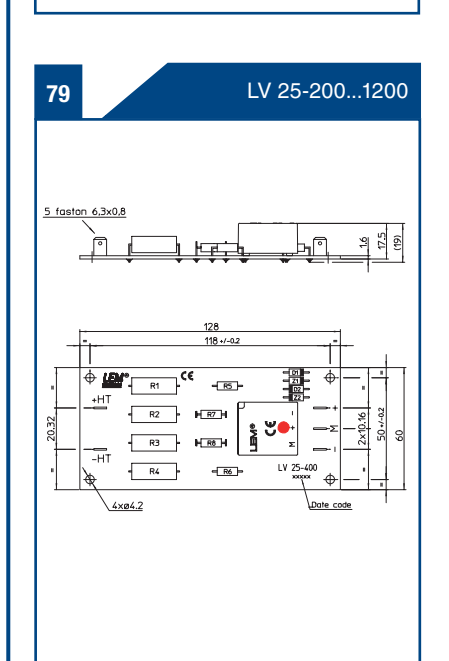


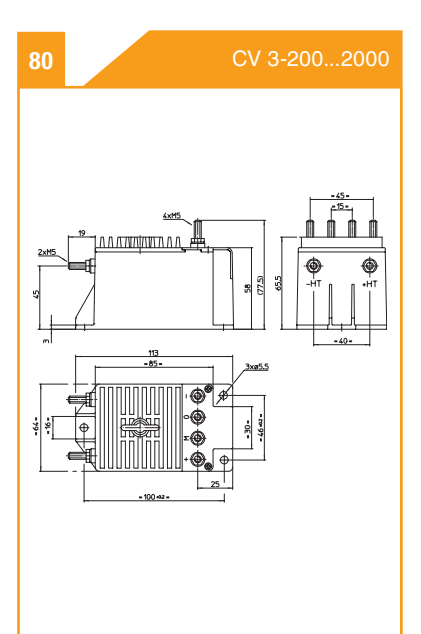


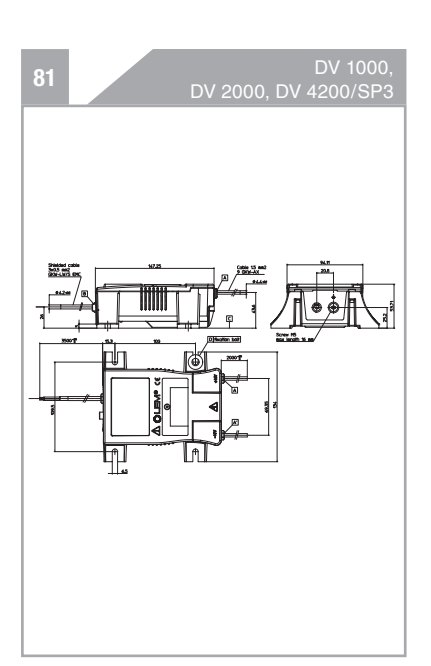


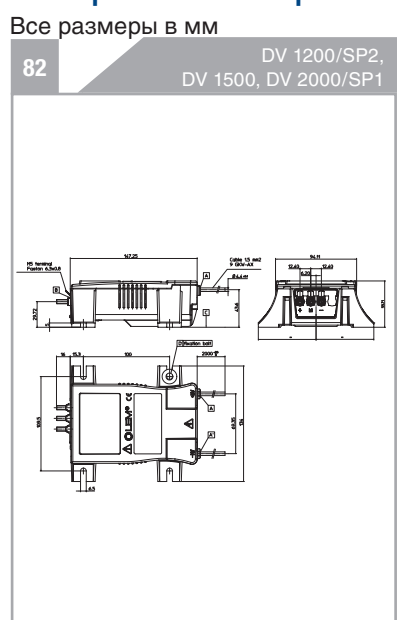


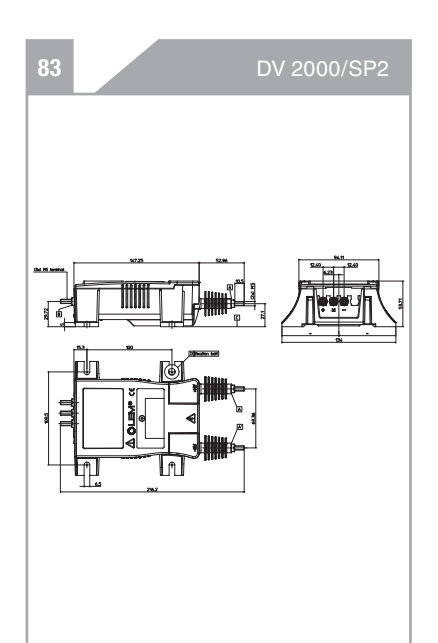


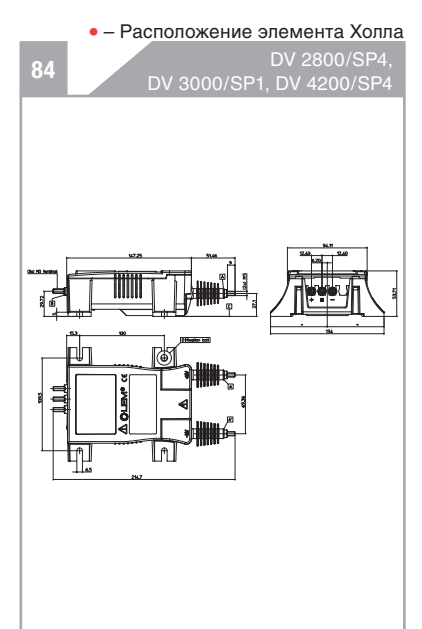


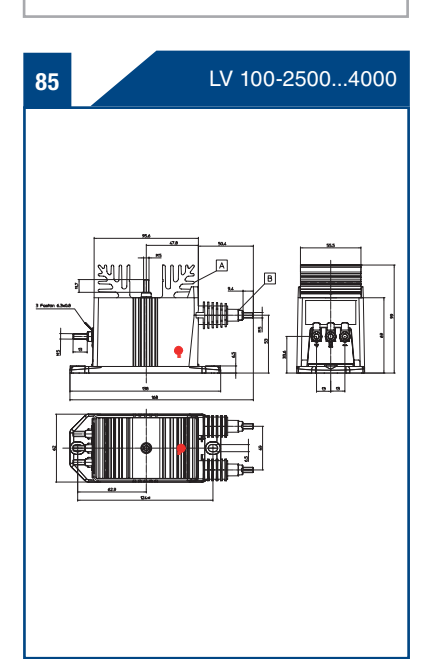


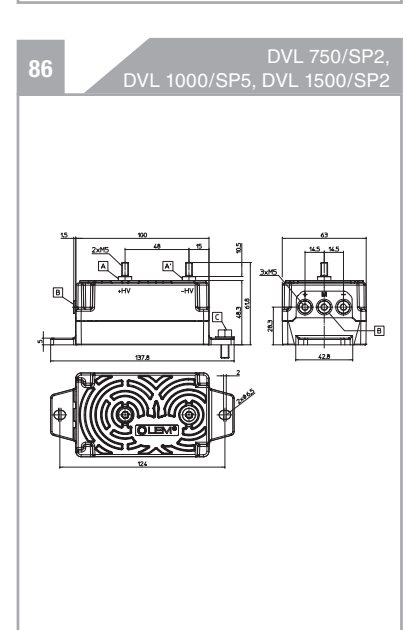


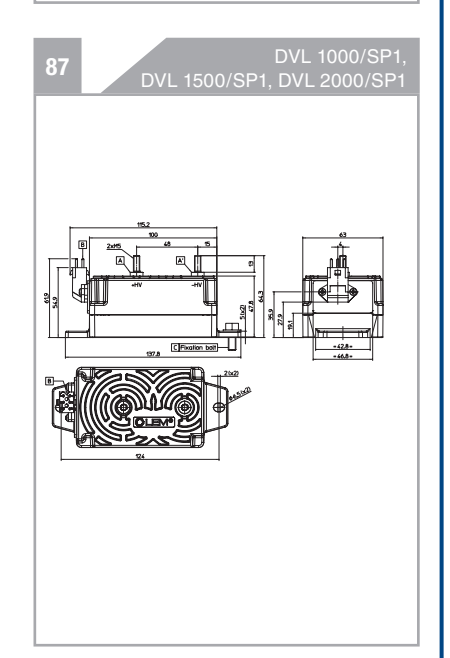


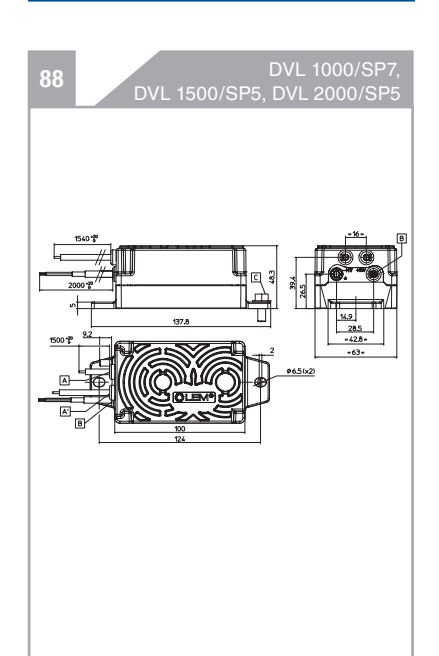


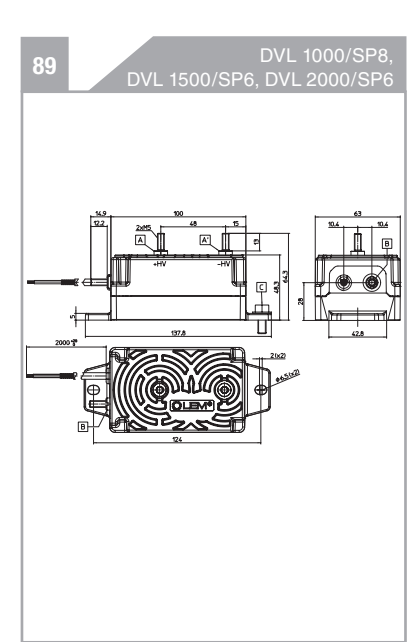


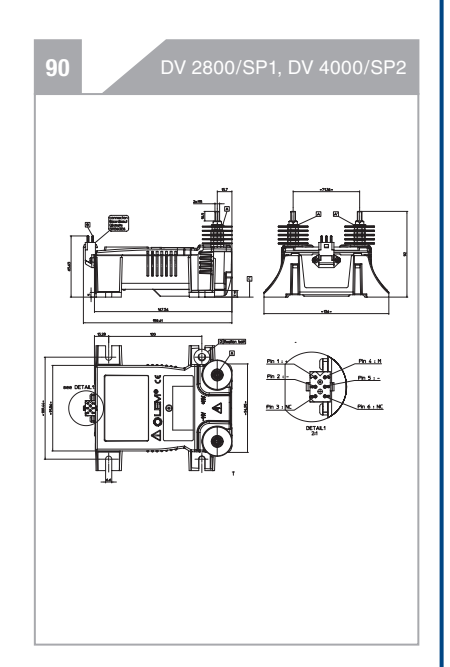


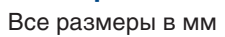


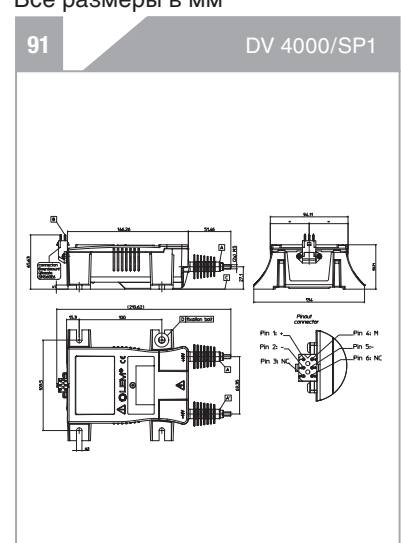


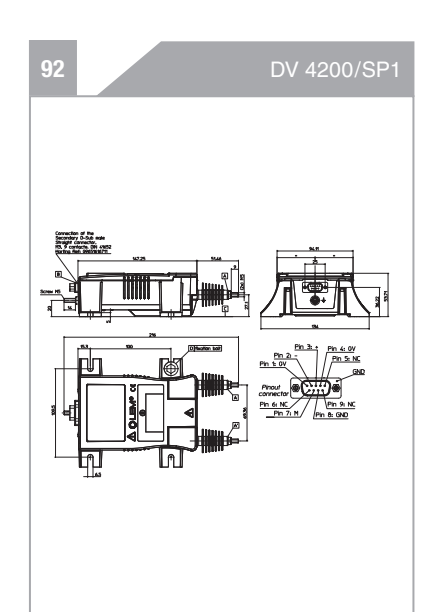


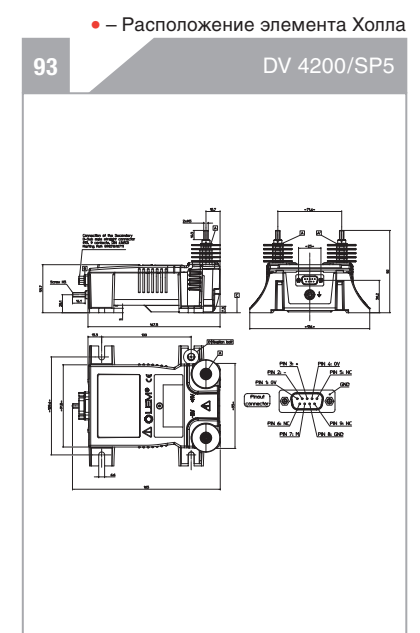


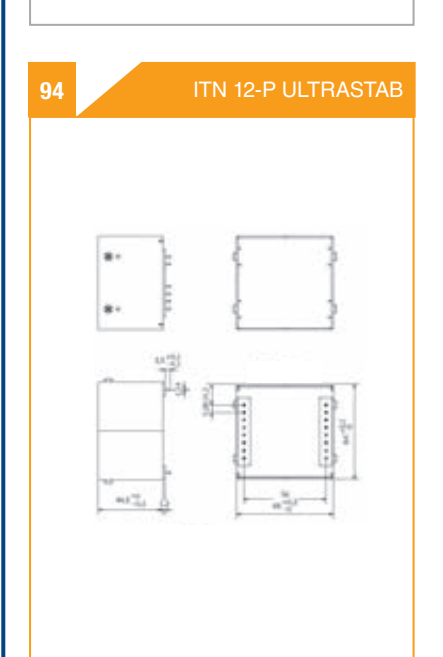


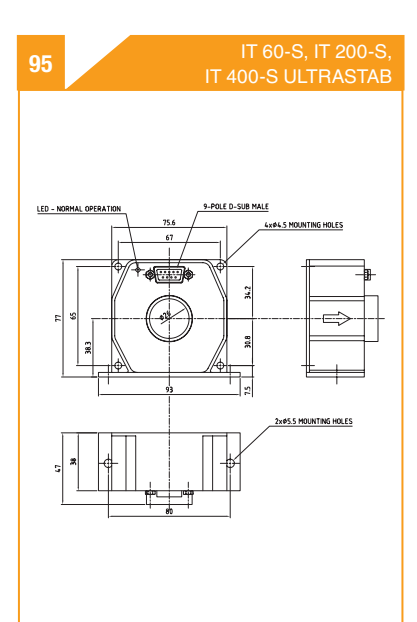


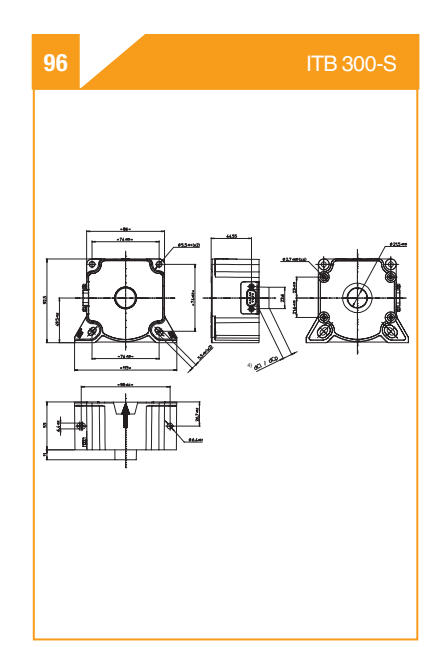


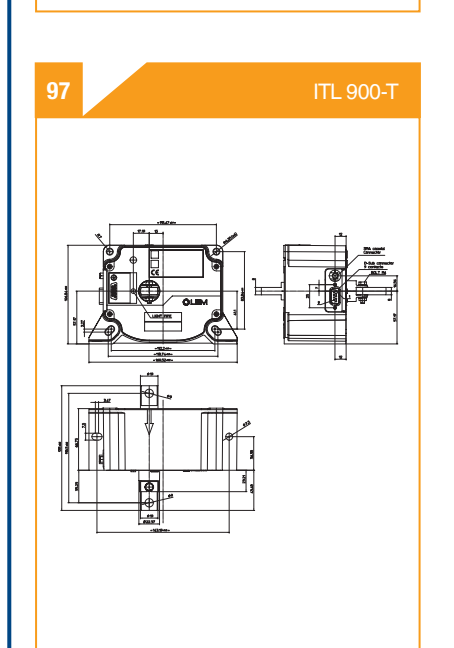


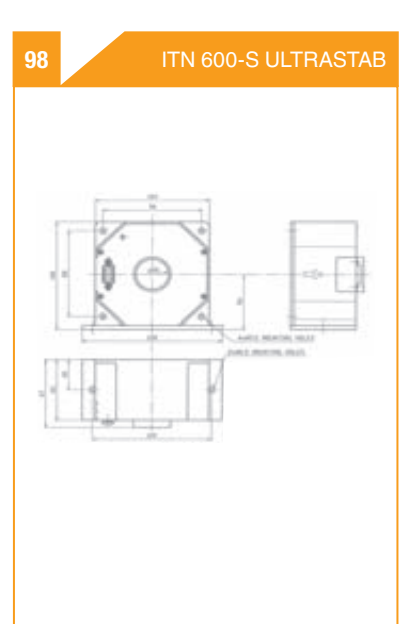


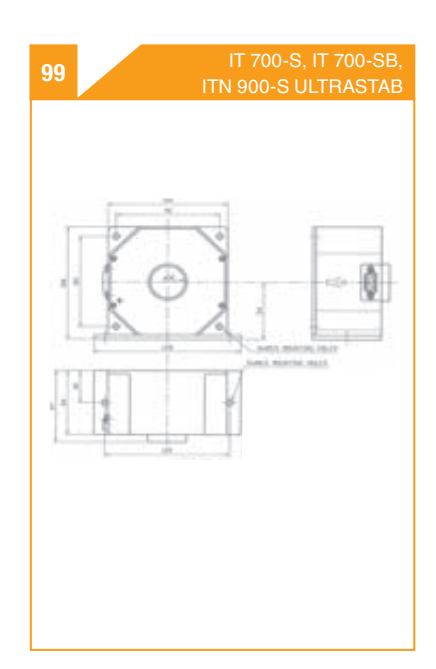




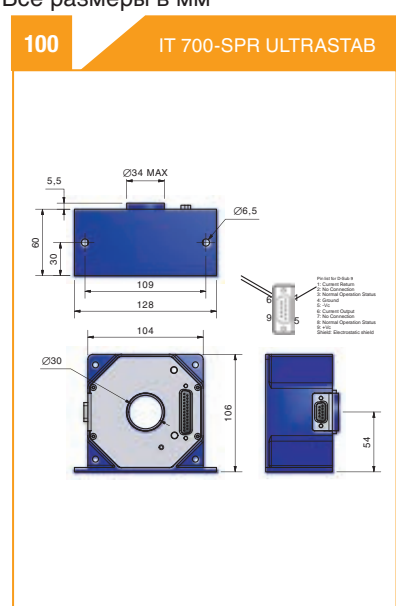


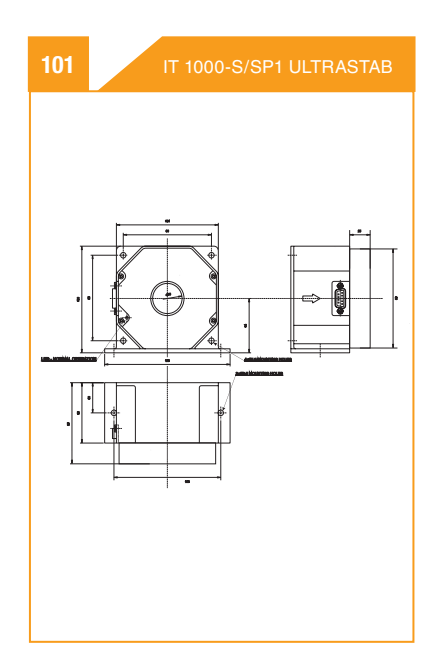




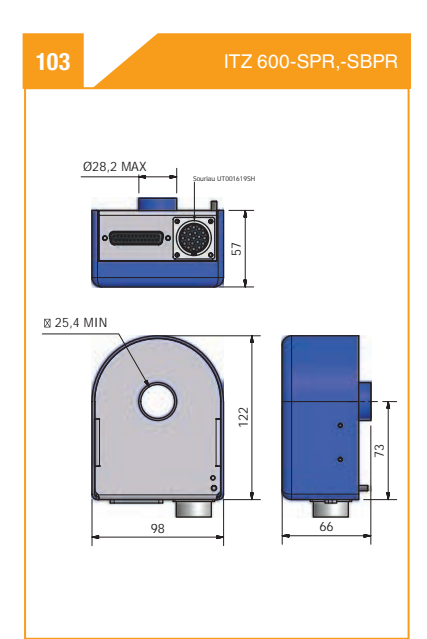


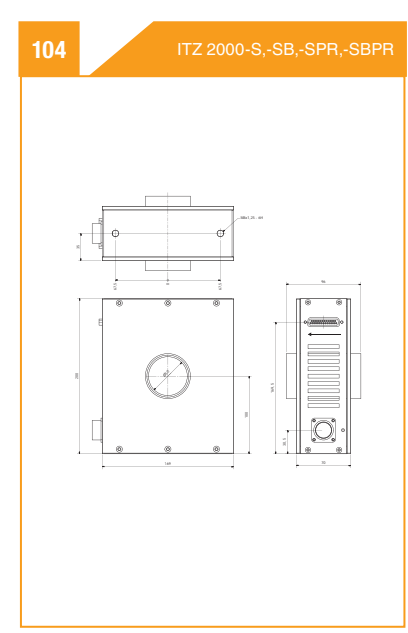


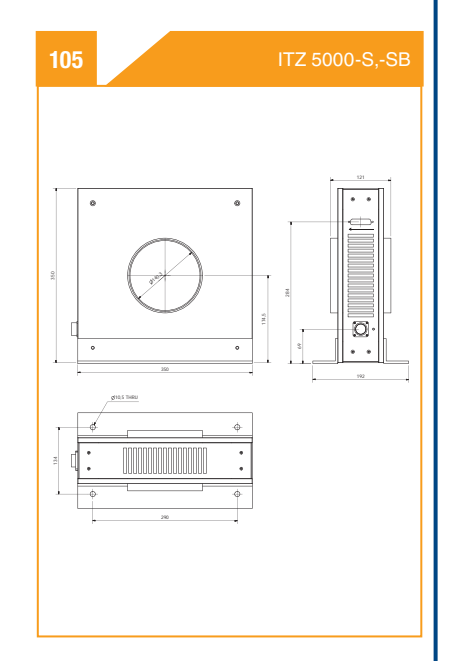


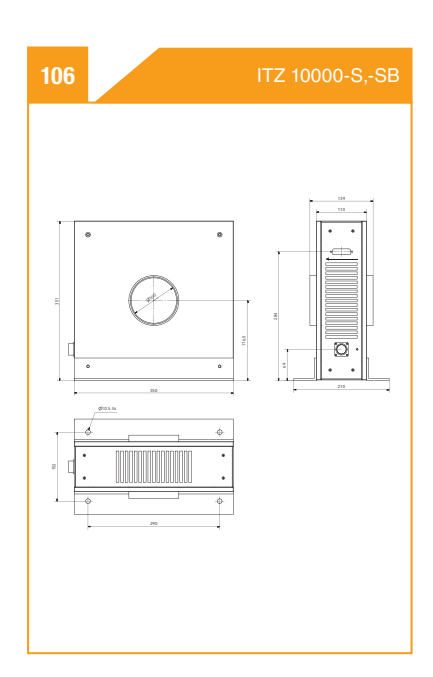


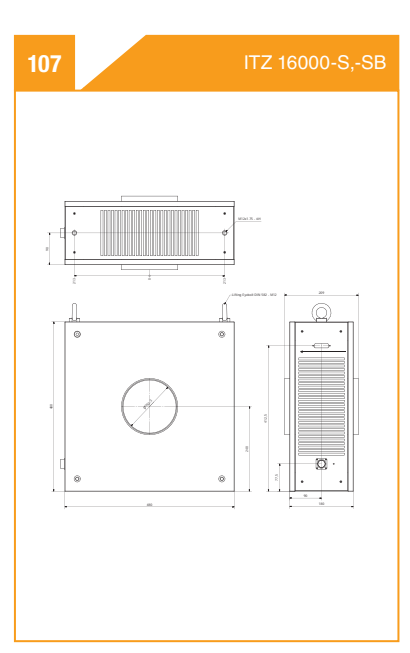


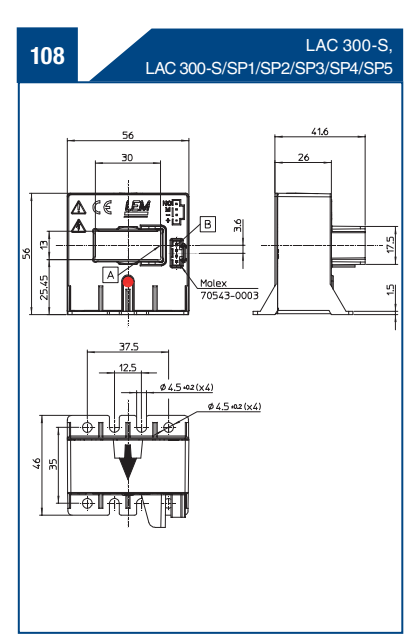


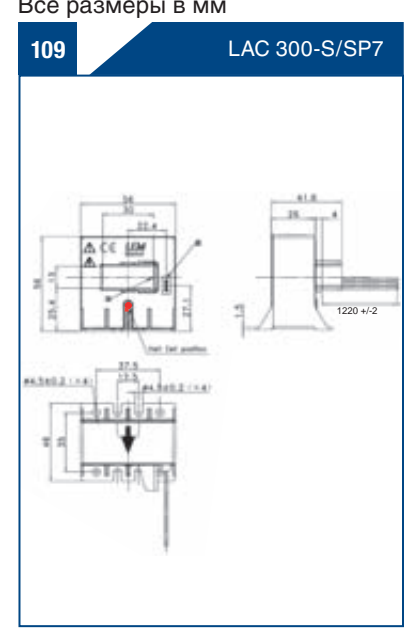


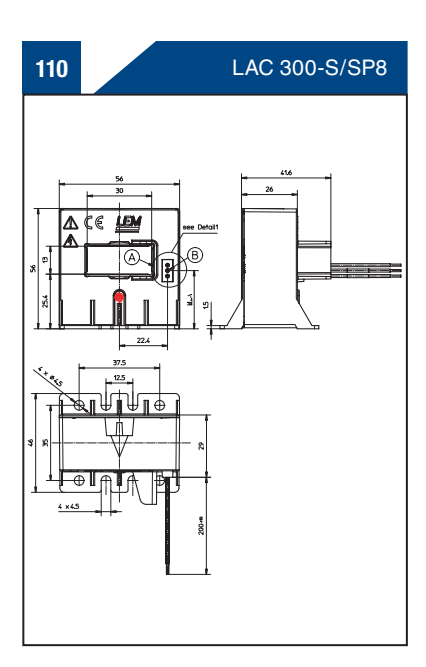


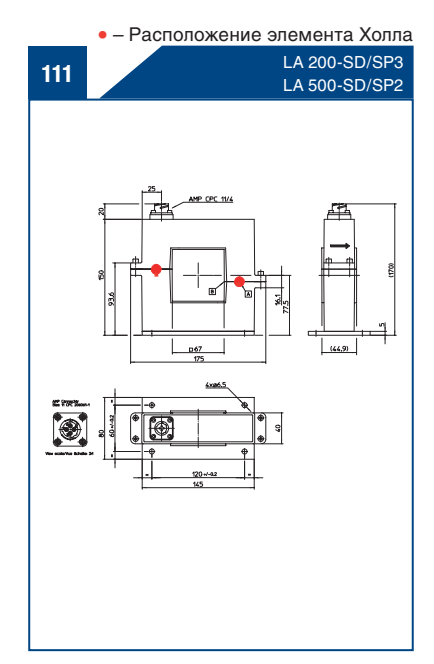


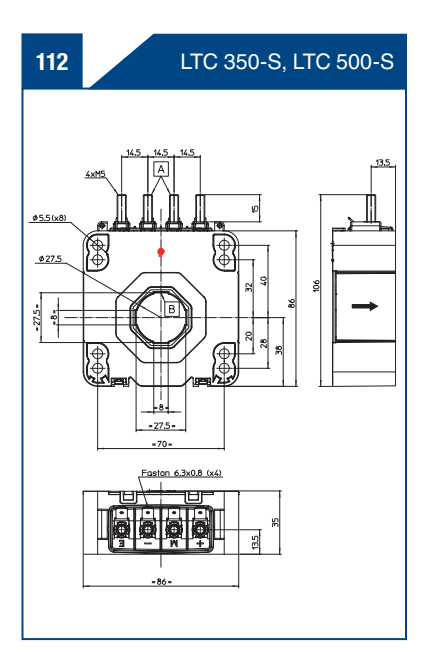


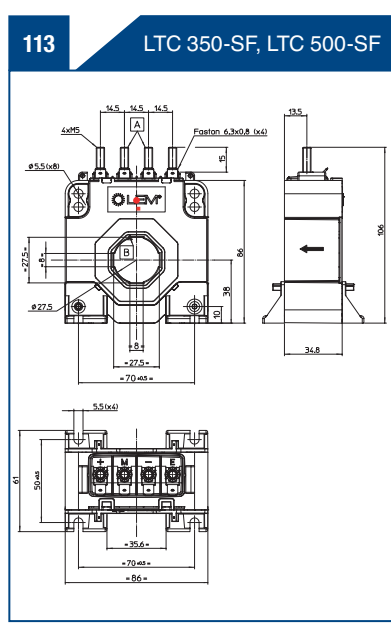


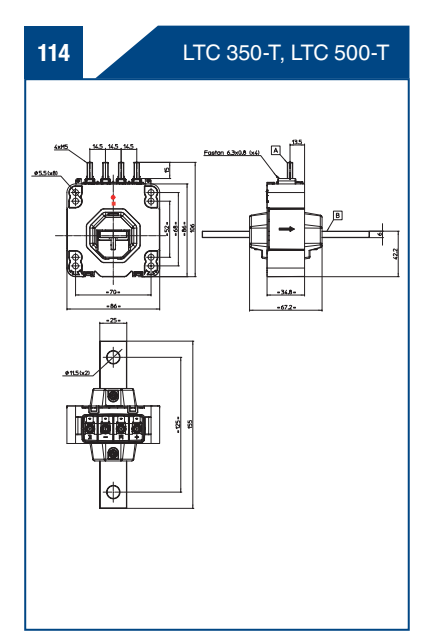


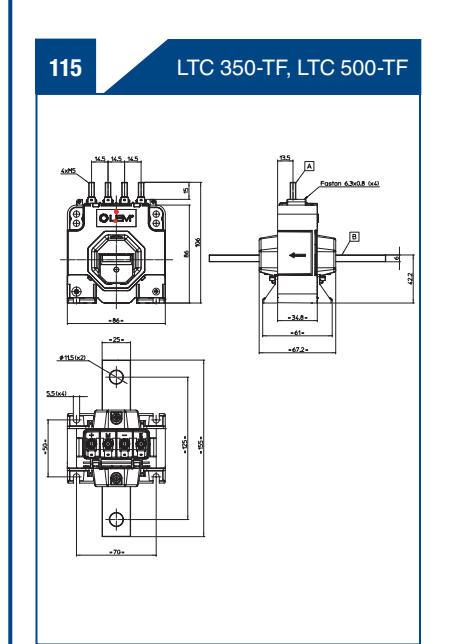


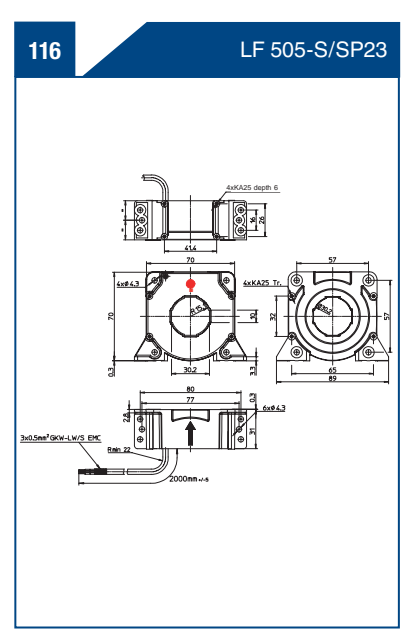


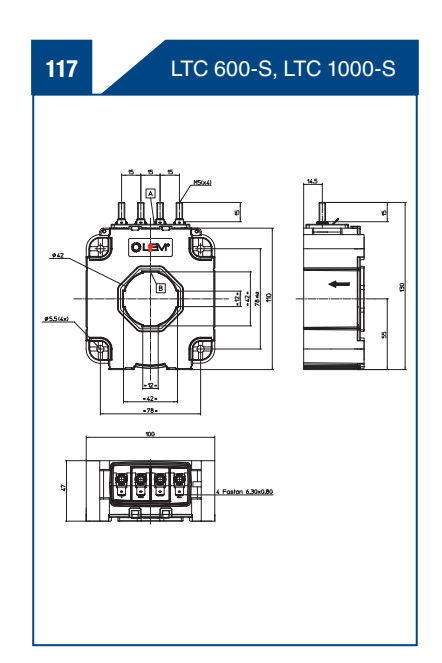


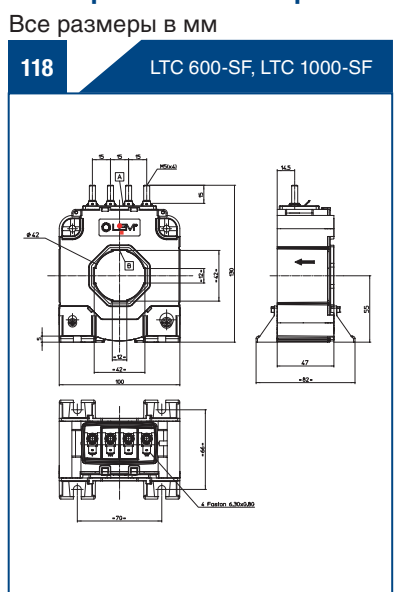


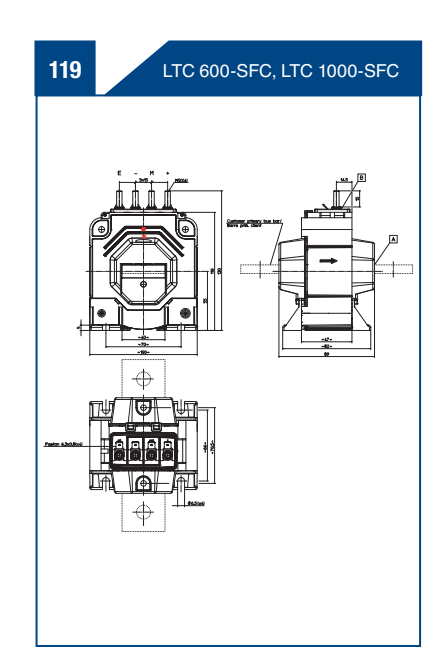


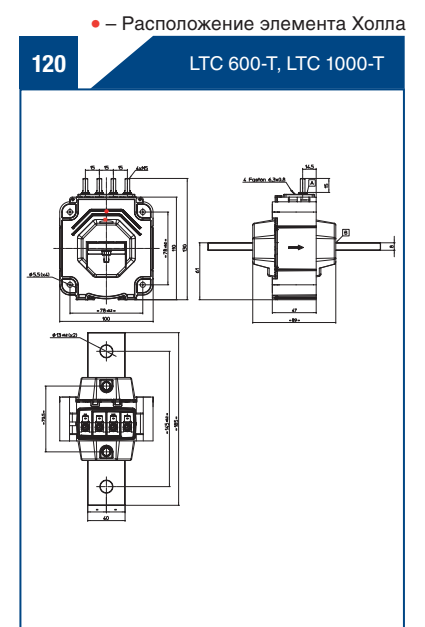


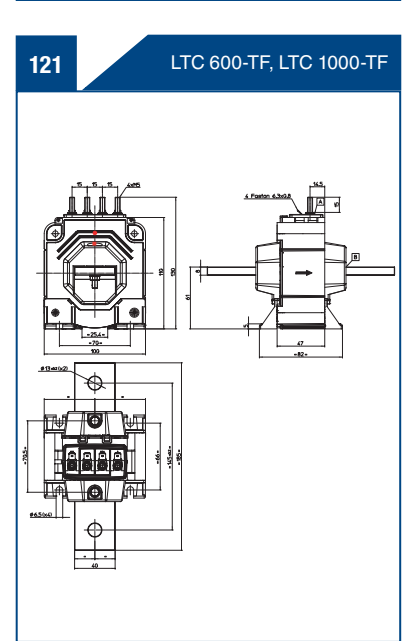


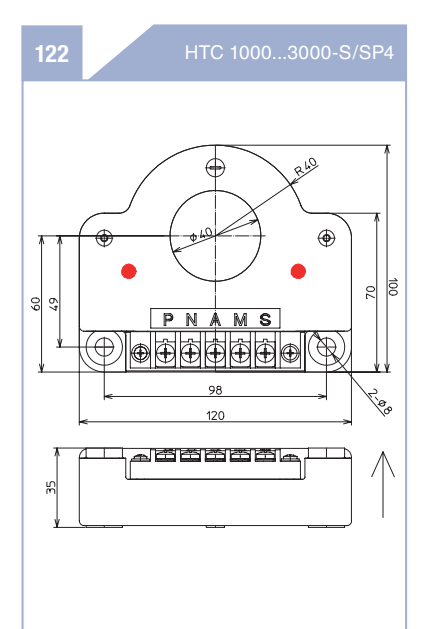


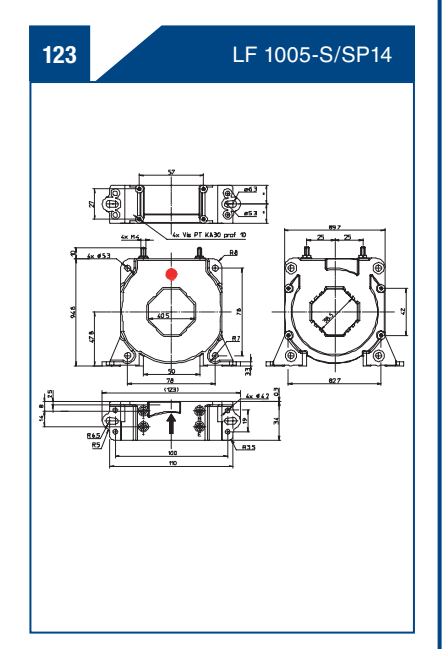


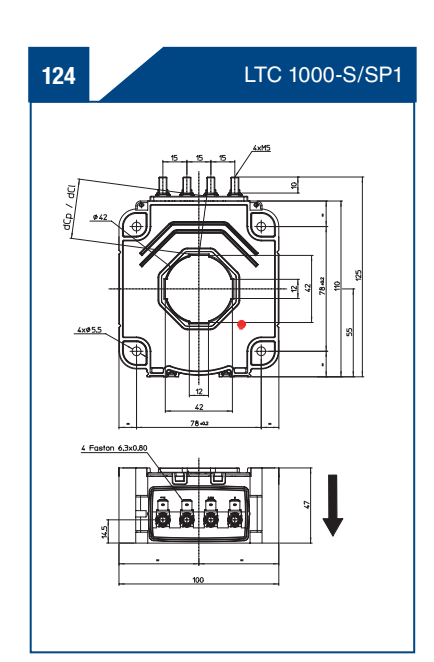


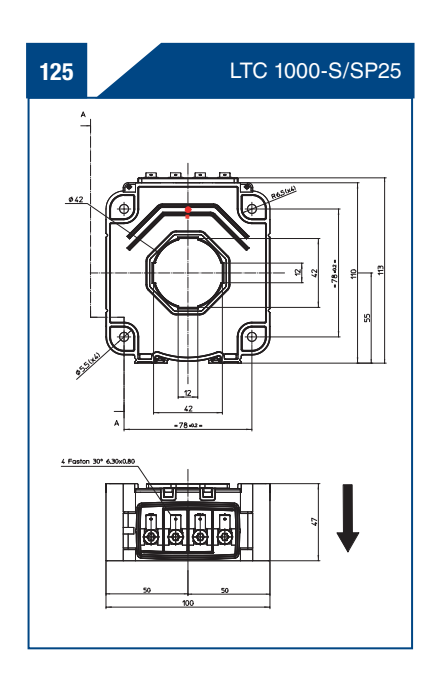


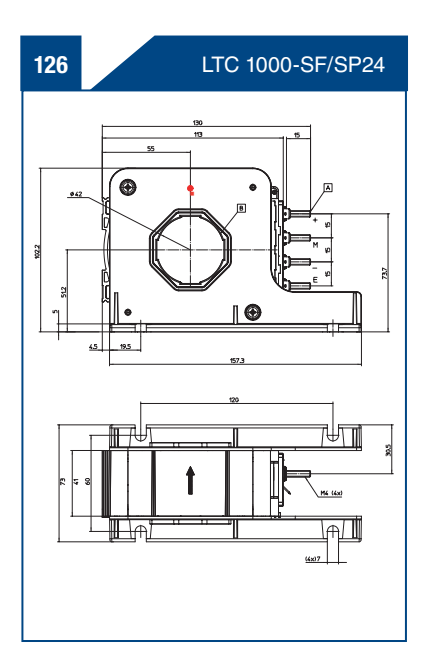


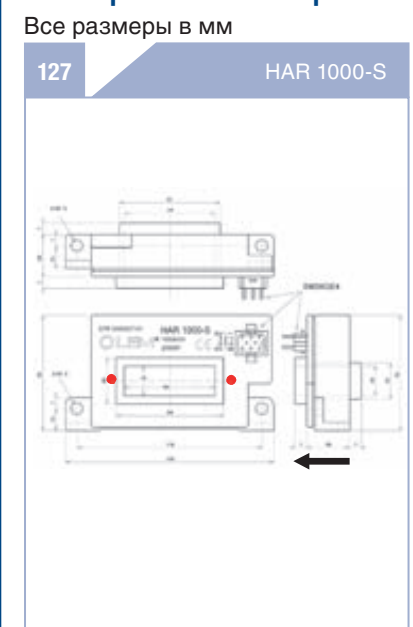


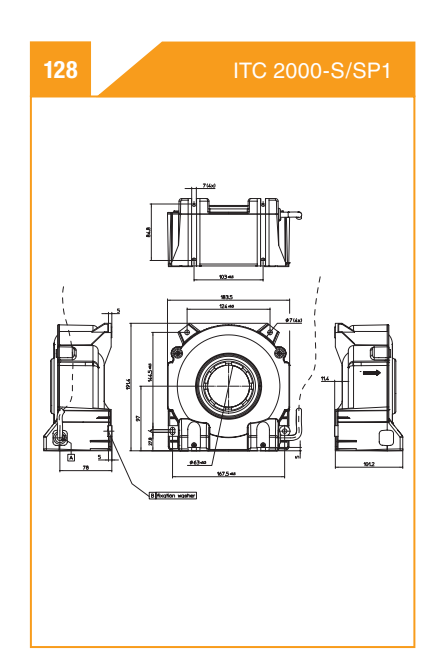


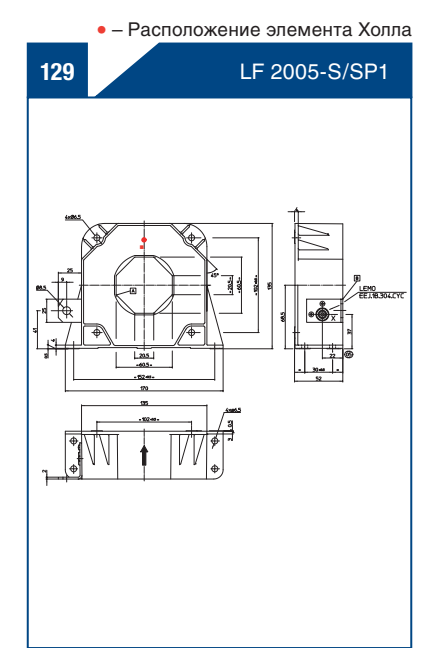


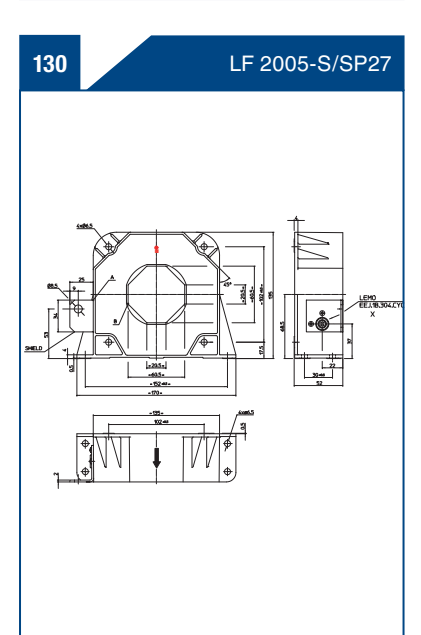


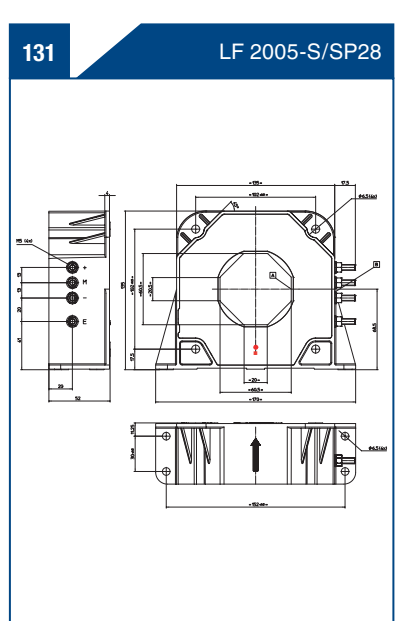


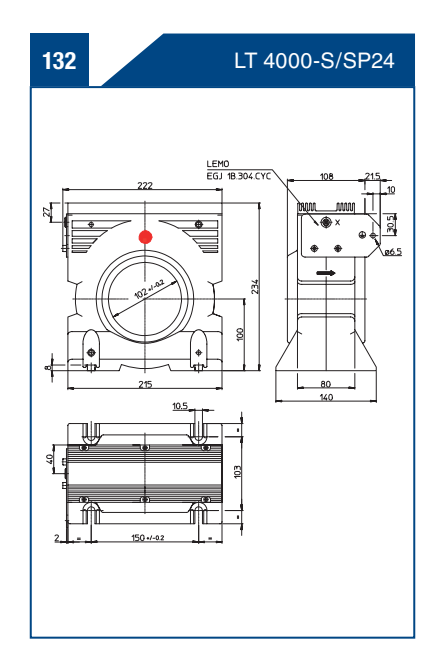


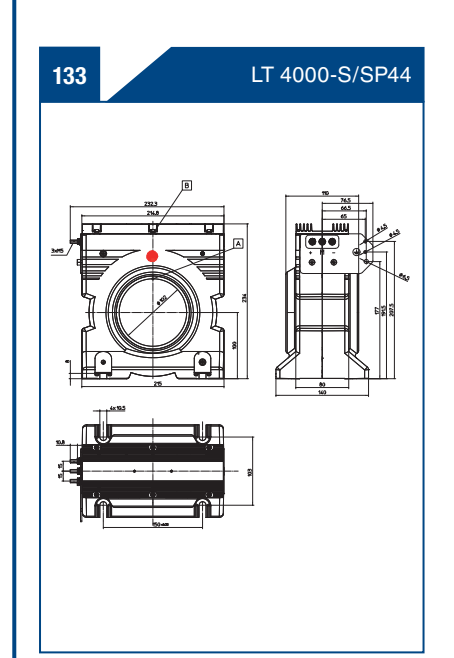


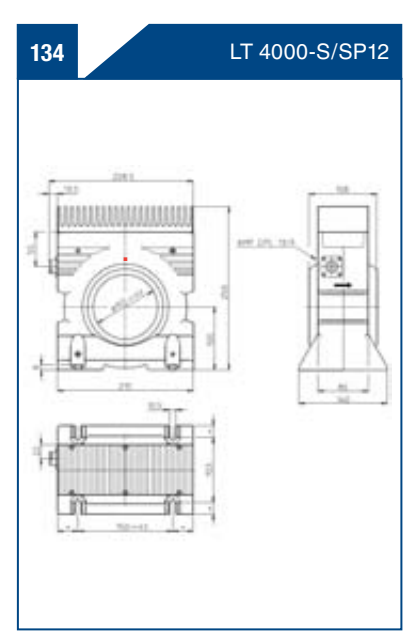


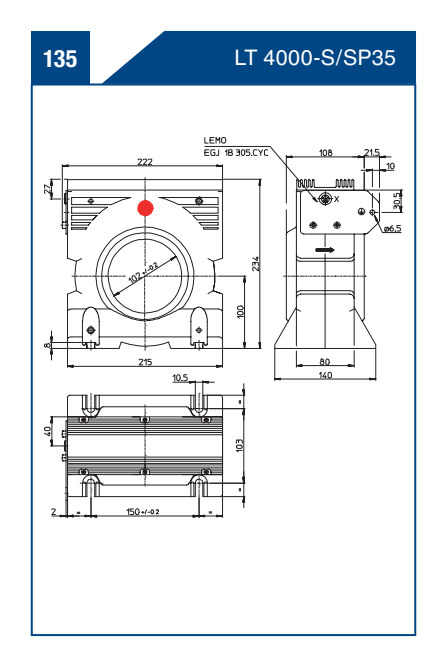


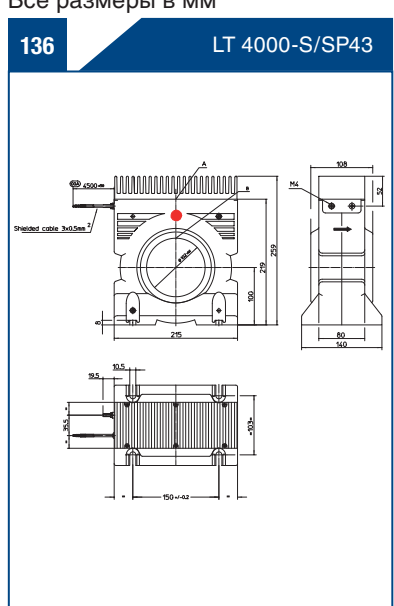


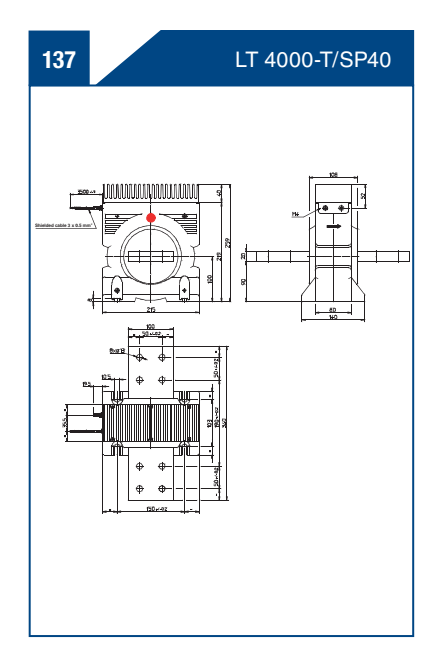


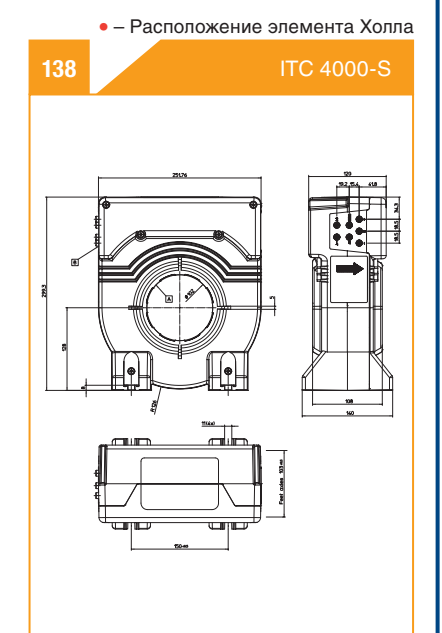


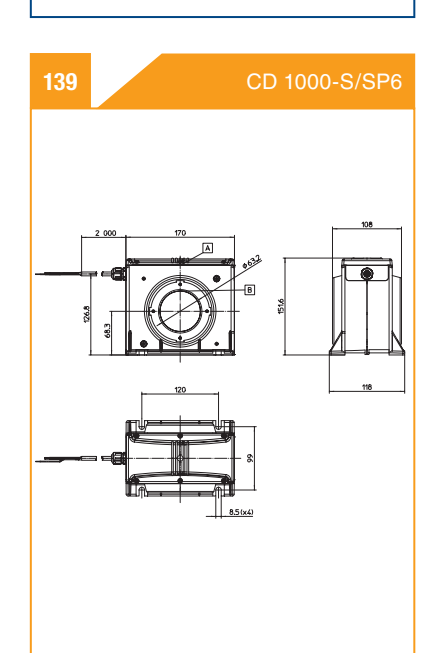


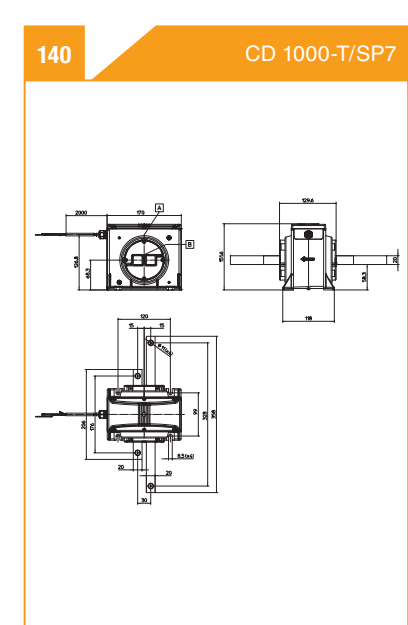


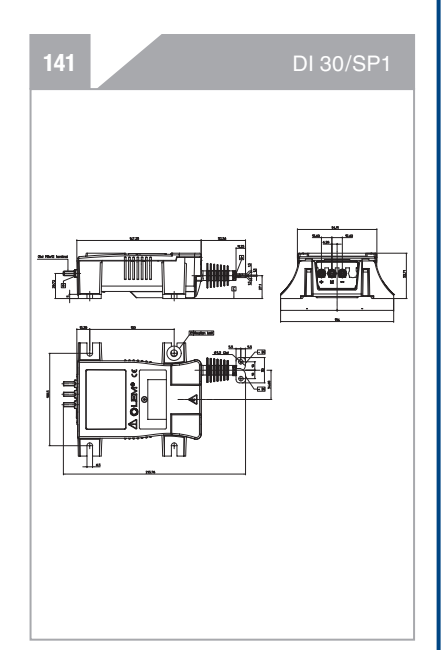


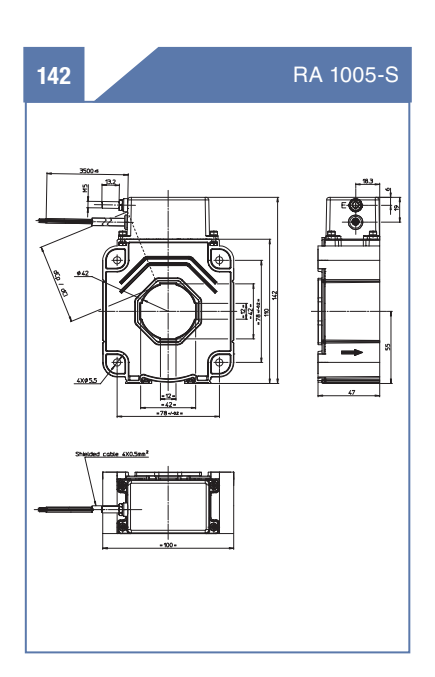


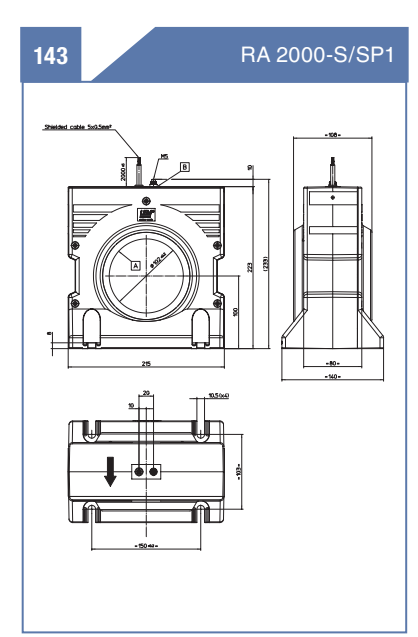


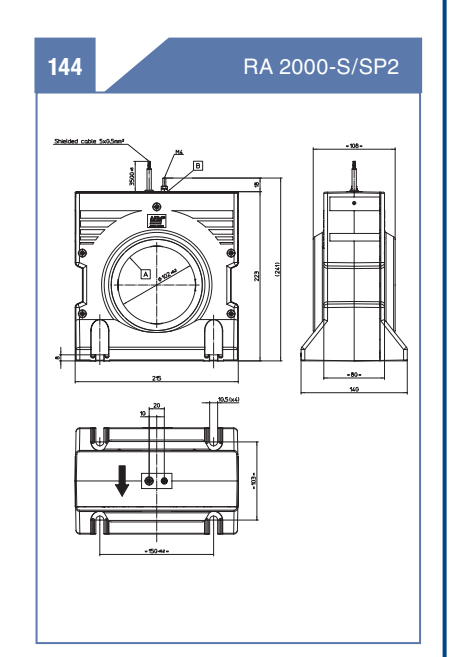


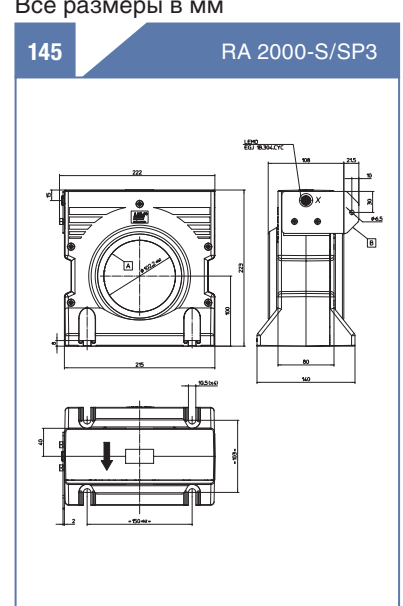


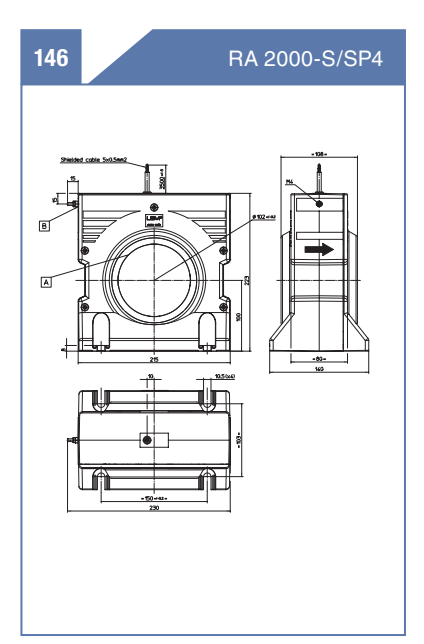


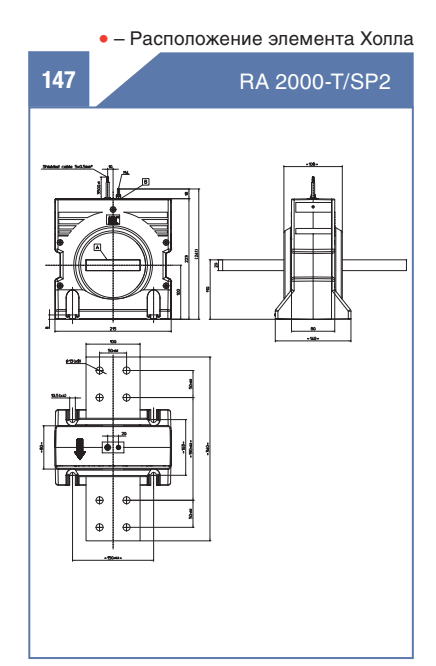


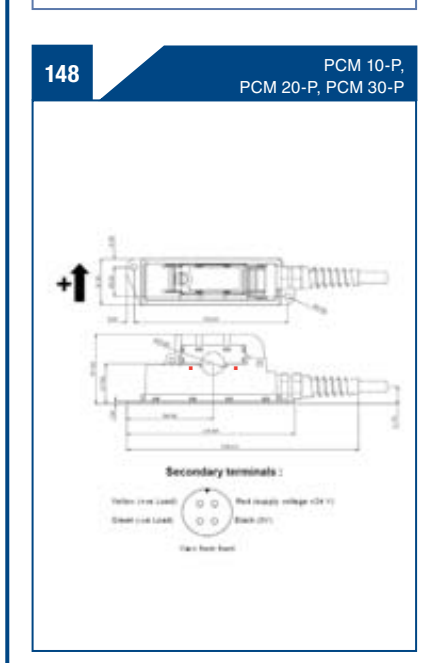


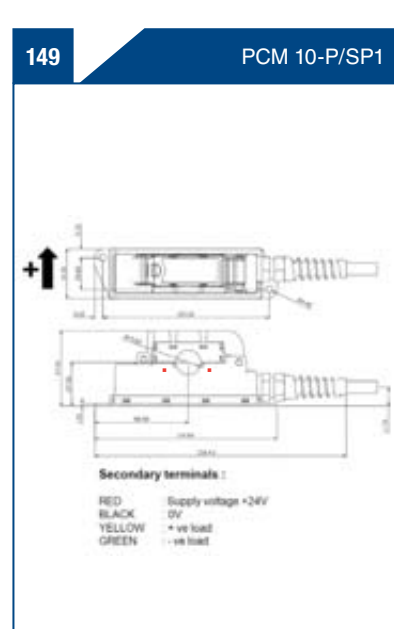


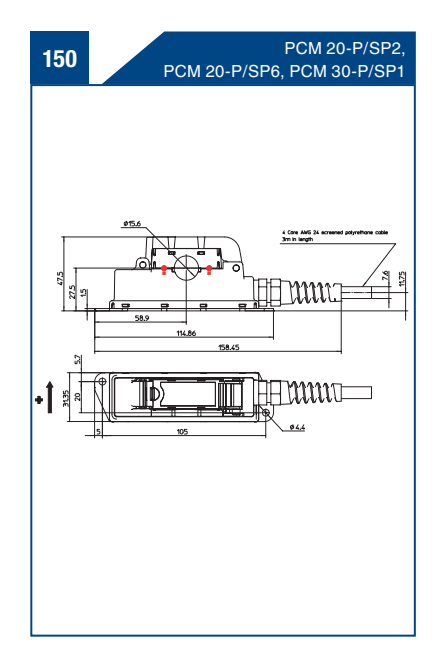


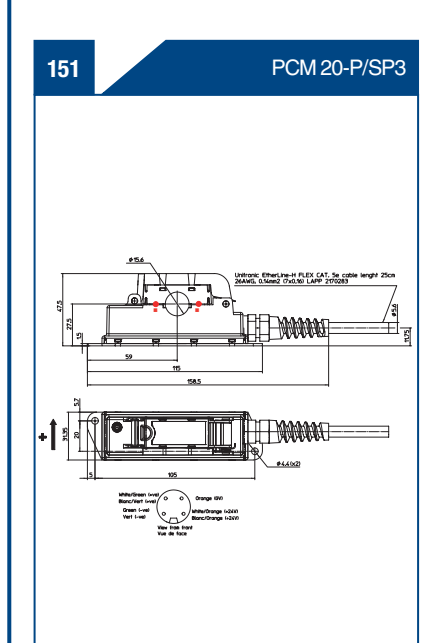


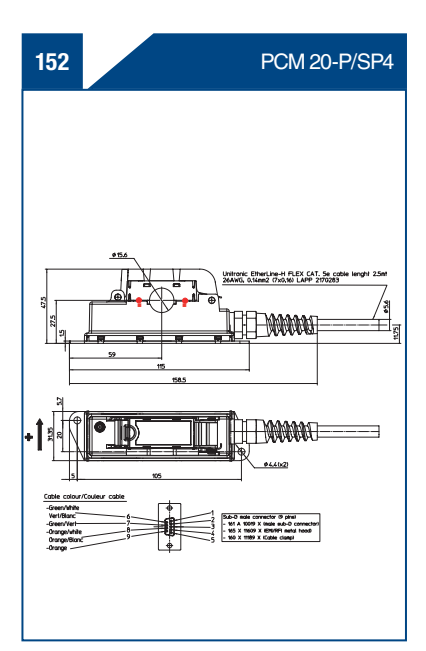


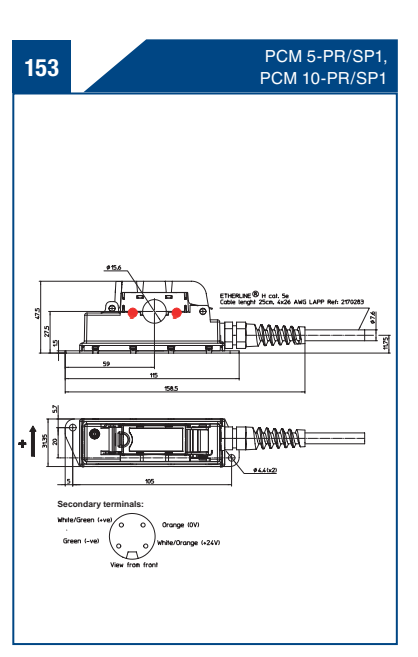


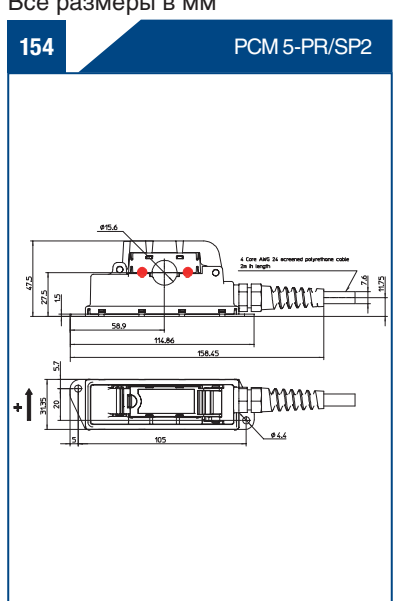


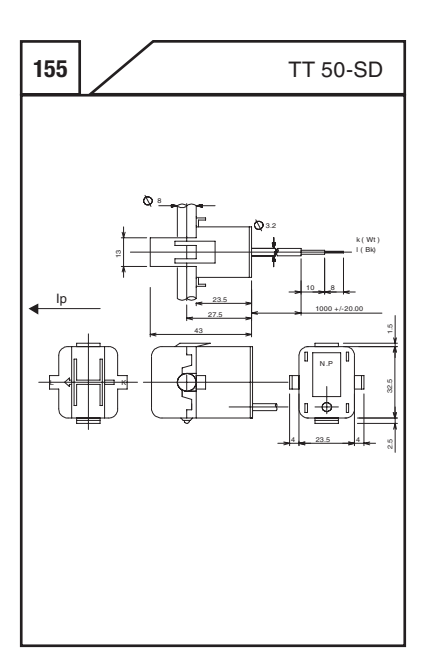


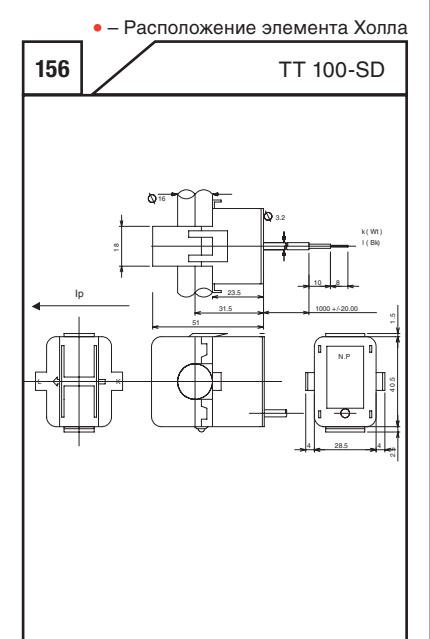


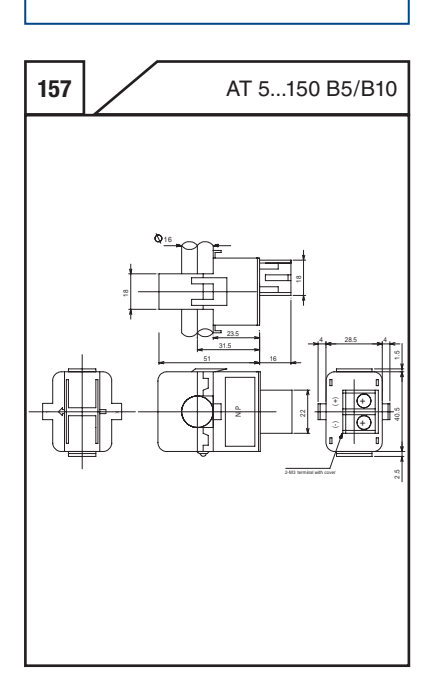


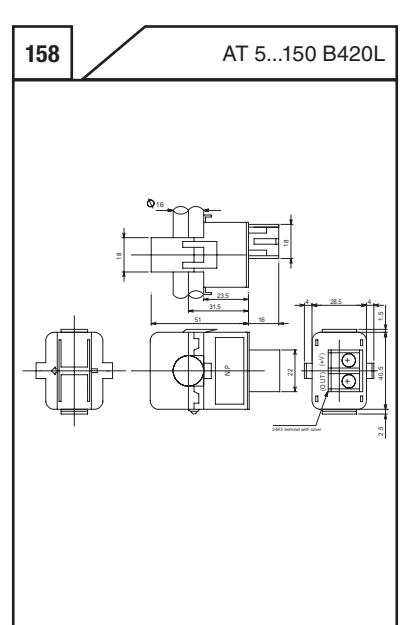


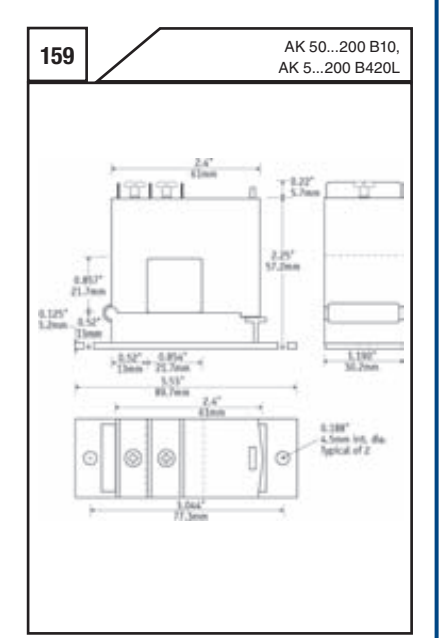


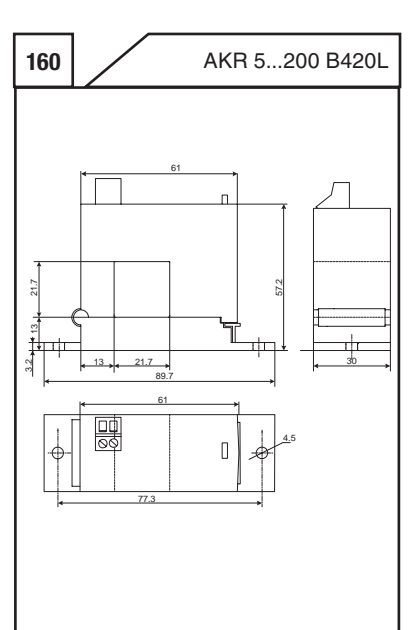


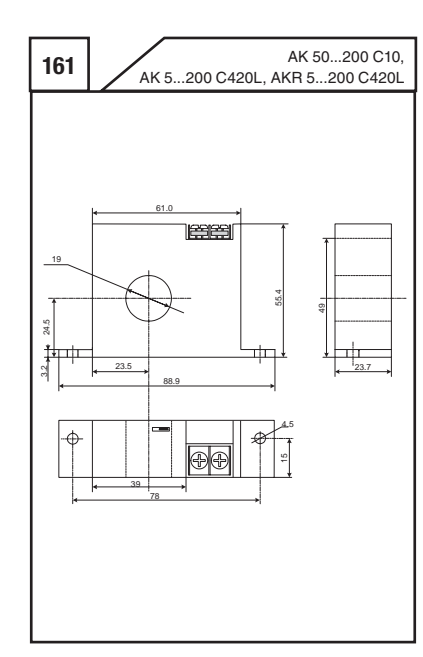


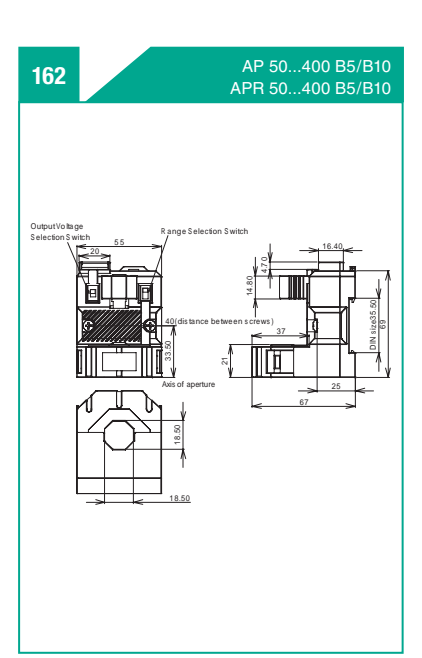




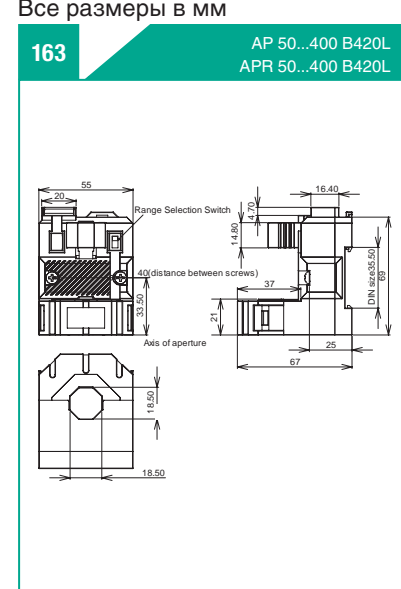


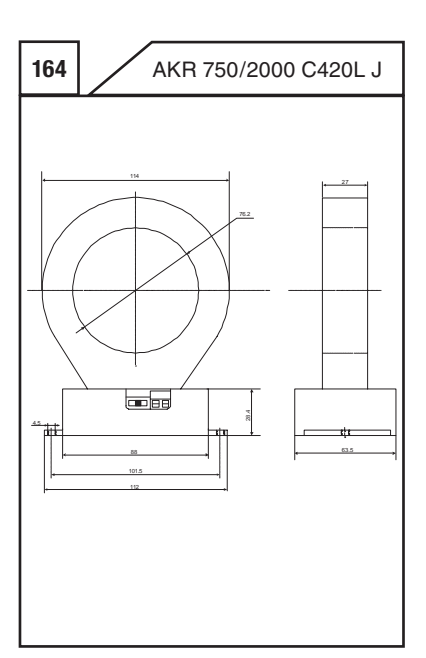


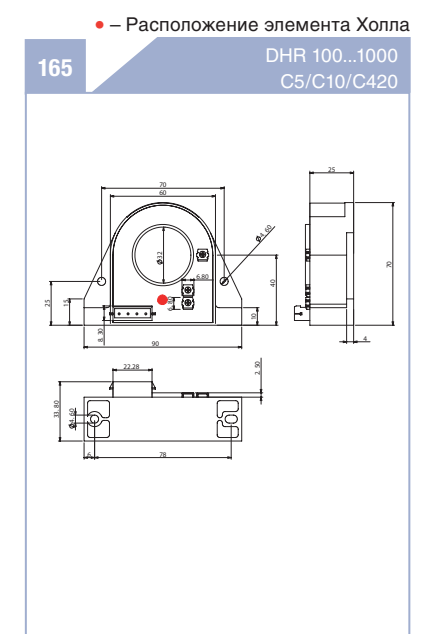


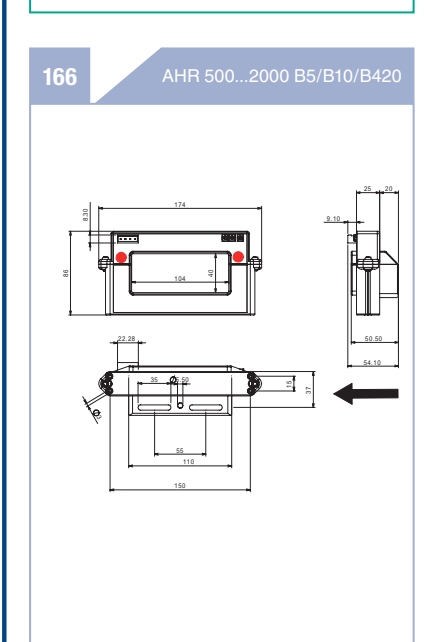


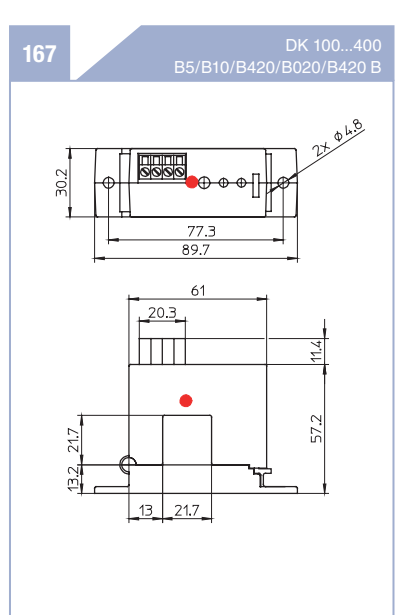


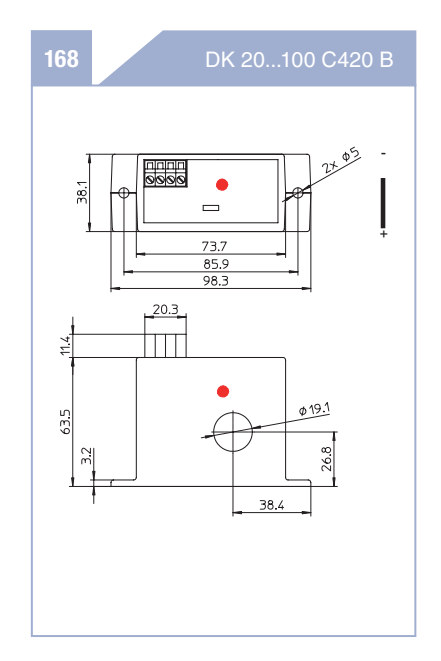


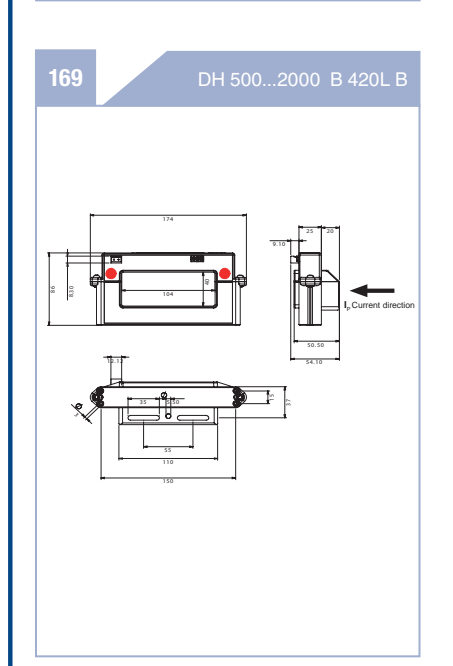


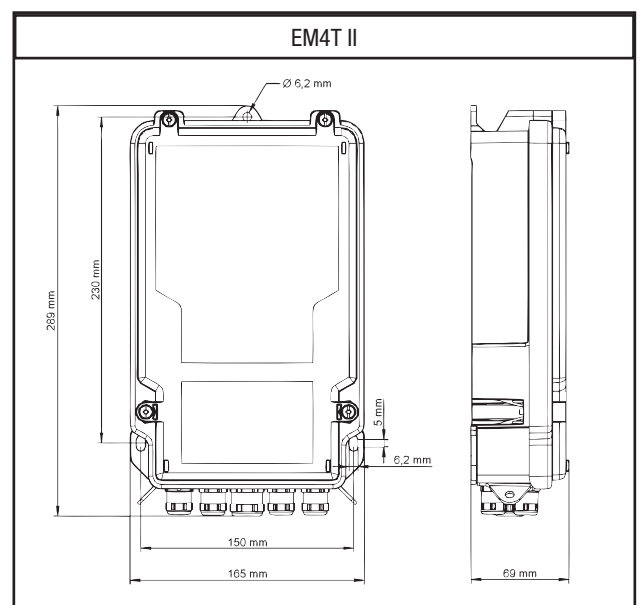


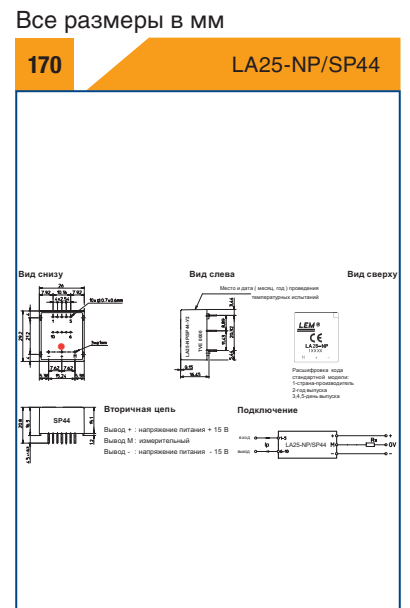


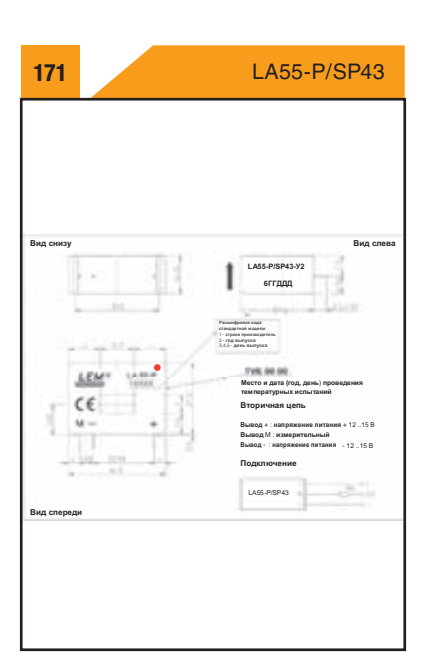


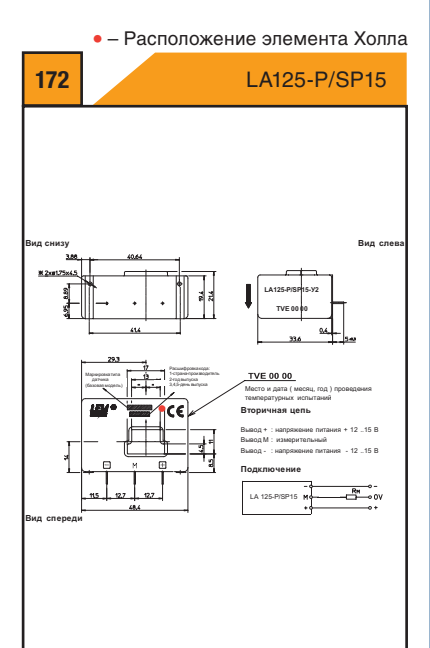


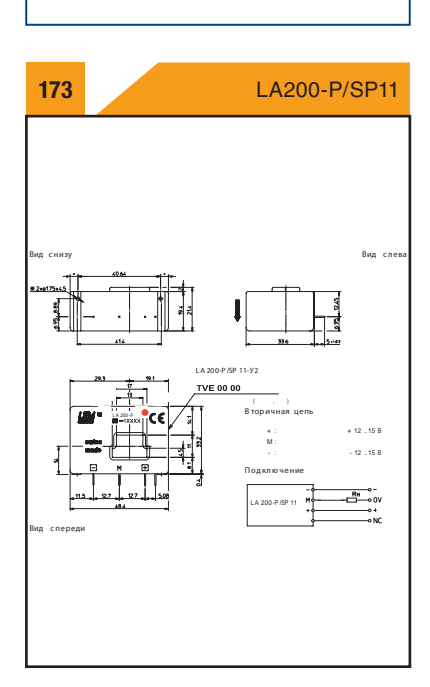


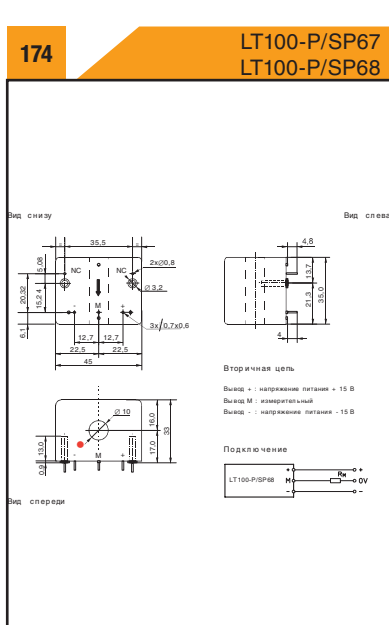


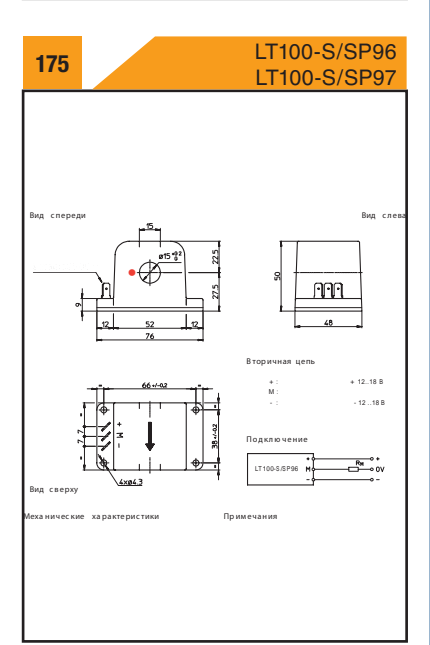


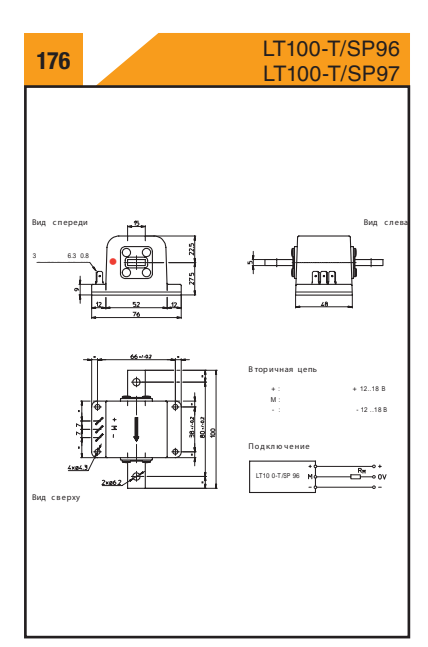


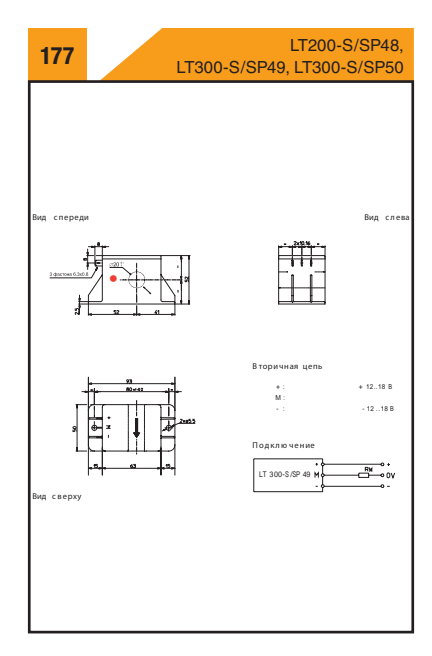


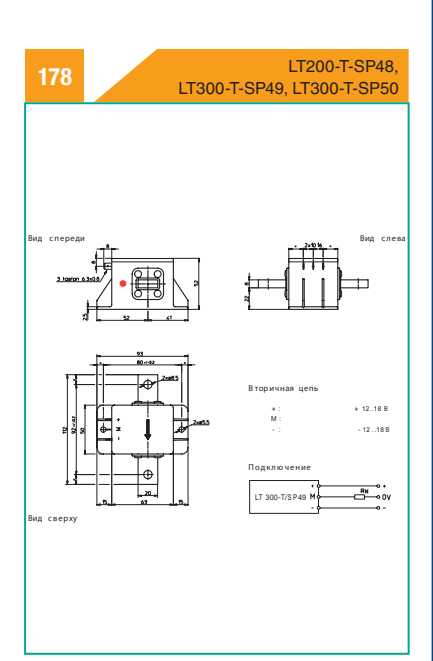


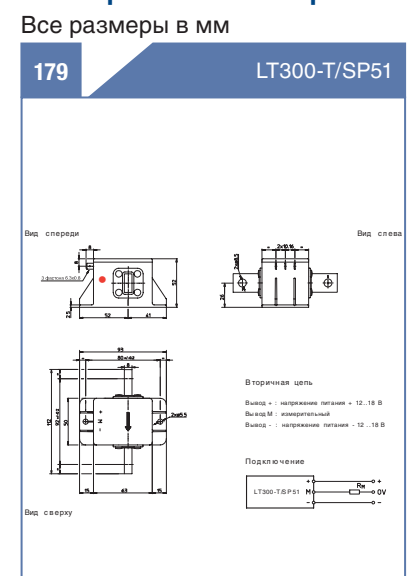


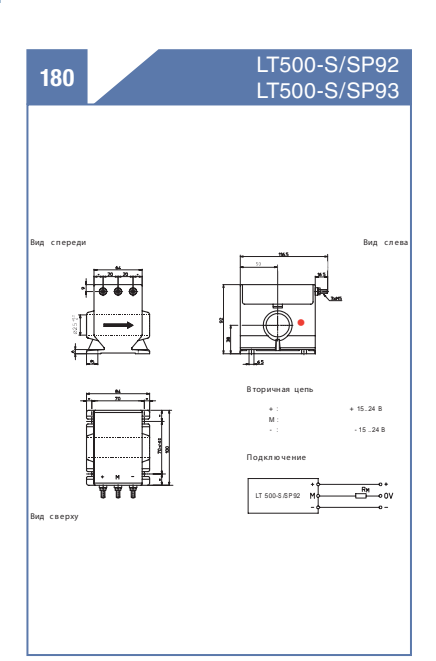


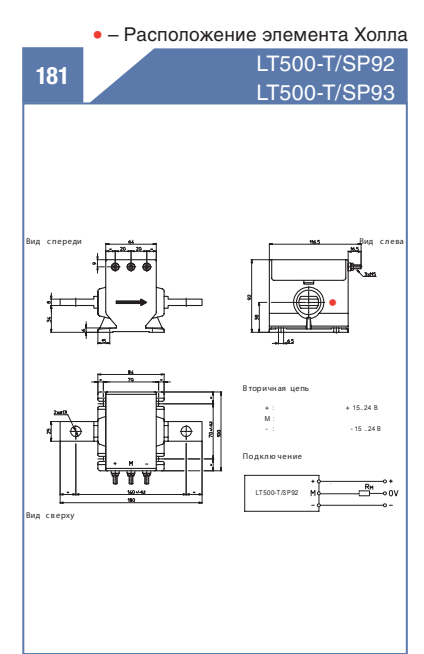


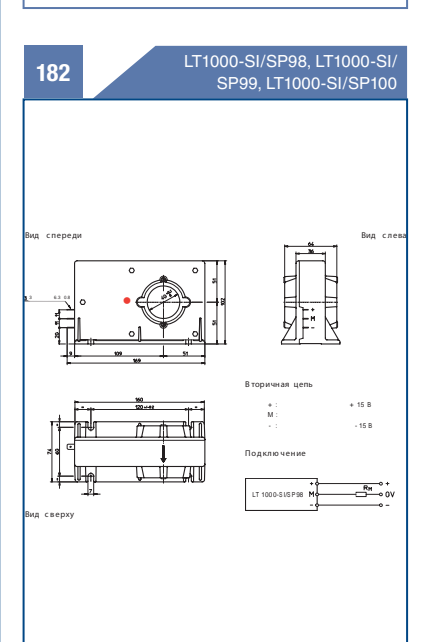


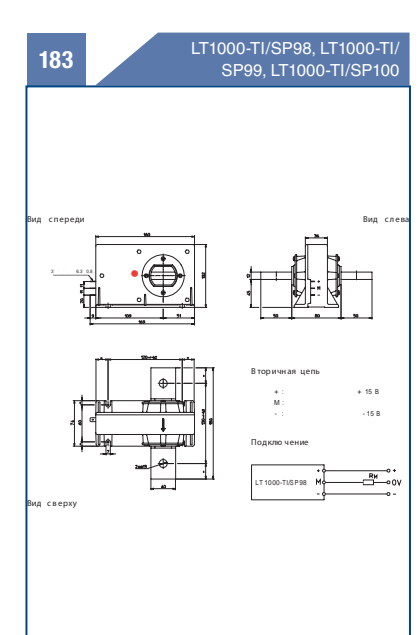


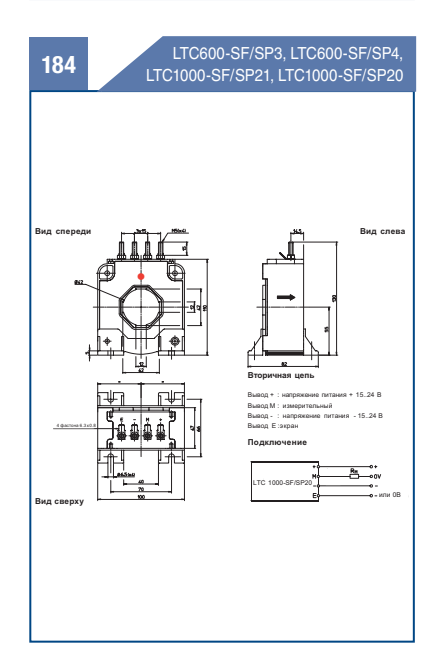


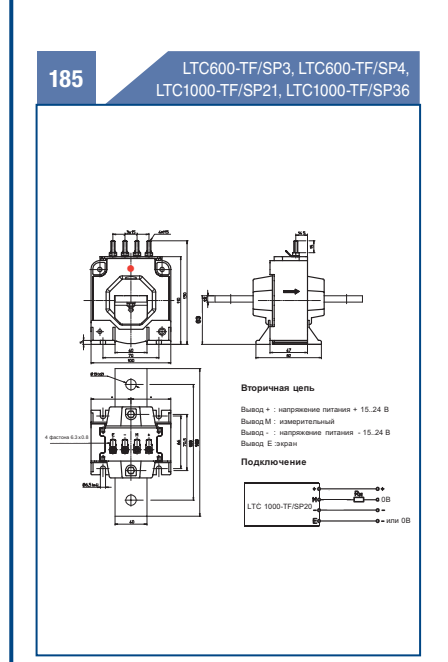


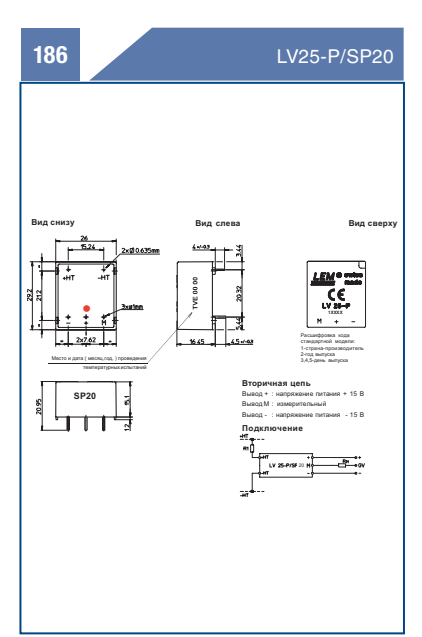


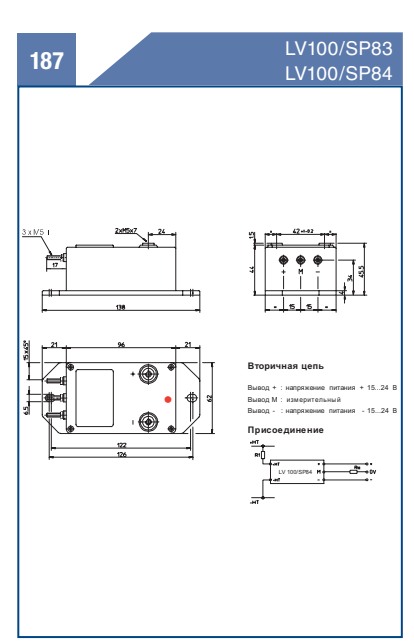












Кодировка датчиков / промышленные и транспортные датчики

```
датчики тока с изолирующим усилителем
          C
                        датчики тока на технологии феррозонда (fluxgate)
          D
                        датчики с цифровой технологией изоляции
                        датчики тока с детектором магнитного поля
                        датчики тока на эффекте Холла без магнитной компенсации (прямого усиления)
                        компенсационные датчики тока высокой точности
                        датчики тока на эффекте Холла с магнитной компенсацией
                        датчики тока на основе пояса Роговского
          R
                        трансформаторы тока
     А или АК или AL или AS 1)
 или АТ или АХ или АZ или АХС
                                   с прямоугольным ламинированным магнитопроводом
AR или AW или AC или X или XN
                                   с прямоугольным ламинированным магнитопроводом
                                   с прямоугольным ламинированным магнитопроводом и плоским корпусом
                          АН
                                   для вертикального монтажа
            AIS, XS, ASS, AFS
                                   прямоугольный ламинированный магнитопровод + однополярное питание
                                    + вывод опорного напряжения
               ASR, KSR, LSR
                                   прямоугольный магнитопровод + однополярное питание + вывод опорного напряжения
                                   прямоугольный магнитопровод + гибридная технология
                           В
                                   двойной тороидальный магнитопровод
                           C
                                   открытая печатная плата (бескорпусный)
                           D
                                   дифференциальное измерение
                                   на эффекте Холла без магнитной компенсации; магнитные концентраторы
                          HS
                                    + однополярный источник питания + вывод опорного напряжения.
                                   При использовании с F (FHS): Minisens, датчик в корпусе SO8
                                   плоская конструкция
                         FWS
                                   плоский монтаж + монтаж на шине + однополярный источник питания
                                   шунт изолятор
                                   для поверхностного монтажа + однополярное питание + вывод опорного напряжения использование микросхемы (ASIC), обеспечивающей множество опций +
                          MS
                                   однополярный источник питания + вывод опорного напряжения
                                   разъёмный ламинированный магнитопровод
                                   датчик предназначен для транспортных применений
                                   два канала измерения
                     TKS. TFS
                                   магнитопровод, плоский корпус + однополярное питание + вывод опорного напряжения
TP, TO, TN, TZ, TL, T, TA, TB, TY
                                   тороидальный магнитопровод
                                   разъёмный магнитопровод
                                   магнитопровод + однополярный источник питания магнитопровод + однополярное питание + вывод опорного напряжения
                           TS
                    TSR, TSP
                                   три канала измерения
                        V, VL
                                   компактный гибридный для монтажа на печатную плату
          Номинальная сила тока
               датчик тока: среднеквадратичное значение тока
               датчик напряжения: среднеквадратичное значение ампер-витков
                - 0000 : номинальное напряжение (-1000 означает 1000 B, со встроенным первичным резистором R1)
                - AW/2 : особый тип датчика напряжения
                - AW/2/200: номинальное напряжение для датчика AW/2 (200 означает 200В со встроенным
               первичным резистором R1)
          Ν
                    многодиапазонный
                    монтаж на печатную плату
          S(I)
                    с отверстием под первичный проводник
          SM
                    поверхностный монтаж
                    со встроенной первичной шиной
          T(I)
          Особенности (1 или 2 дополнительные буквы или цифры)
                    биполярное выходное напряжение
          ВΙ
                    биполярный выходной ток
                                                                      Примечание:
          C
                    комплект крепления без шины
                                                                      1) Для случая L (LAS): датчик тока с вторичной
          D
                    разборный
                                                                      обмоткой и однополярным питанием
                    с монтажными лапками
          FC
                    с монтажными лапками + комплект крепления
                    монтаж на печатную плату
                                                                      Для случая C (CAS): датчик тока с прямоугольным
          PR
                    программируемый
                                                                      магнитопроводом + однополярное питание.
                    среднеквадратичный выход (Rms)
                    среднеквадратичный токовый выход (Rms)
                                                                      Для случая H (HAS): датчик тока с прямоугольным
          RS
                   последовательный выход
                                                                      магнитопроводом на эффекте Холла прямого
          RU
                    среднеквадратичный выход по напряжению (Rms)
          Варианты
          Отличается от стандартного изделия... /SPXX
```

HLSR 10-SM/... LTC 600-SF/...

Символы и термины

ВМ Частотный раквазон R _c Сопротивление пераичной обмотки при Т _{лькох} d ₀ Воздушный зазор I _л Рабочая темплературые окружающей среды d ₀ Воздушный зазор I _л Рабочая темплературы окружающей среды d ₀ Расстояние по поверхности диалектрика 10R _M Температурынай коэффициент R _m . 6 Чукстиний писков. 170 _{Mg} Температурный коэффициент V _{cut} . I _E Ток потребления 170 _{Mg} Температурный коэффициент V _{cut} . I _B Ток потребления 170 _{Mg} Температурный коэффициент V _{cut} . I _B Ток потребления 170 _{Mg} Температурный коэффициент V _{cut} . I _B Ток потребления 170 _{Mg} Температурный коэффициент V _{cut} . I _B Ток пачаванного завелического совещения при T _x =25°C 170 _{Mg} Температурный коэффициент V _{cut} . I _M Ток пачаванной зрайной ток при I _m , или V _{rm} , на входр I _T Температурный коэффициент V _{cut} . I _M Номпературный драбна правный ток I _T Время описка. I _M Первичный ток I _T Время описка.				
6, возушный завор Т, вамон поверхности диалектрика 7, верхно- температурь окружающей среды 6, чувствительность 70% температурный коэффициент П _{ост} 6, чувствительность 70% температурный коэффициент П _{ост} 6, Погрешность всперствие неличейности 70% температурный коэффициент П _{ост} 1, ток потребления 70% температурный коэффициент V _{ост} 1, ток начального смещения при Т _x =25°C 70% температурный коэффициент V _{ост} 1, ток начального электрического смещения при Т _x =25°C 70% температурный коэффициент V _{ост} 1, температурный коэффициент V _{ост} Температурный коэффициент V _{ост} 1, температурный коэффициент V _{ост} Температурный коэффициент V _{ост} 1, температурный коэффициент V _{ост} Температурный коэффициент V _{ост} 1, температурный коэффициент V _{ост} Температурный коэффициент V _{ост} 1, температурный коэффициент V _{ост} Температурный коэффициент V _{ост} 1, температурный коэффициент V _{ост} Температурный коэффициент V _{ост} 1, температурный коэффициент V _{ост} Температурный коэффициент V _{ост} 1, температурный кораф	BW	Частотный диапазон	$R_{\rm P}$	Сопротивление первичной обмотки при Т _{а мах}
d _c Расстояние по поверхности дизалектрика ТСЯ _щ Томпературный коэффициент I _{OUT} 6 Чувствительность ТО _{Ст} Температурный коэффициент I _{OUT} 6 Погрешность вследствие неличейности ТО _{Ст} Температурный коэффициент V _{CUT} 1 ₆ Ток потребления ТО _{Стт} Температурный коэффициент V _{CUT} 1 ₈ Ток начального заведения при Т _x =25°C ТО _{Стт} Температурный коэффициент V _{CUT} 1 ₈₀ Остаточный ток при I ₂ =0 после перегрузки ТОС _{Стт} Температурный коэффициент V _{CUT} 1 ₈₁ Температурный коэффициент V _{CUT} Температурный коэффициент V _{CUT} 1 ₈₁ Температурный коэффициент V _{CUT} Температурный коэффициент V _{CUT} 1 ₈₁ Температурный коэффициент V _{CUT} Температурный коэффициент V _{CUT} 1 ₈₁ Температурный коэффициент V _{CUT} Температурный коэффициент V _{CUT} 1 ₈₁ Температурный коэффициент V _{CUT} Температурный коэффициент V _{CUT} 1 ₈₁ Махонар турный предительной ток, среднеквадратичное I _U Времи рока турный коэффициент V _{CUT} 1 ₈₂ Первичный правительной предительной ток, среднеквадратичное значение (FMS) I _U Напра	СТІ	Сравнительный индекс пробоя	$R_{\rm S}$	Сопротивление вторичной обмотки при Т _{а мах}
6 Чувствительность 6 Чувствительность 6 Погрешность вследствие нелинейности 7 ТО _{Кх} 7 ТОК потребления 7 ТОК том потребления 7 ТОК начального смещения при Т _x =25°C 7 ТОК начального смещения при Т _x =25°C 7 ТОК начального опецения при Т _x =25°C 7 ТОК на казального опецения при Т _x =25°C 7 ТОК на потремень на потремень потр	d _{CI}	Воздушный зазор	T _A	Рабочая температура окружающей среды
Бе. Погрешность вспедствие нелинейности ТО/ _{ст} Температурный коэффициент I _{ст} I _с Ток потребления ТОУ _{ст} Температурный коэффициент V _{ост} I _д Ток начального смещения при Т _x =25°C ТОУ _{ст} Температурный коэффициент V _{ост} I _{дк} Ток начального электрического смещения ТОУ _{ст} /V _{бт} Температурный коэффициент V _{ост} /V _{ст} при I _x =0 I _{дк} Остаточный ток при I _x =0 после перегрузки ТОУ _{ст} /V _{бт} Температурный коэффициент У _{ст} /V _{ст} при I _x =0 I _{дк} Температурный доройр тока смещения ТСБ Температурный коэффициент У _{ст} /V _{ст} при I _x =0 I _{дк} Номинальный первичный ток среднеквадратичное значение I _x Время отклика I _{дк} Номинальной первичный ток I _x Время режким I _{дк} Номинальной первичный ток I _x Напряжения питания I _{дк} Первичный разностный ток I _x Напряжение изоляции, усиленная или базовай изоляция среднение (RMS) I _{дк} Ток на выходе I _x Напряжение гальное изоляции, усиленная или базовай изоляция среднений (RMS) I _{дк} Ток на выходе I _x Напряжение гальное запляжие изоляции, усиленная изоляции	d _{Cp}	Расстояние по поверхности диэлектрика	TCR _{IM}	Температурный коэффициент R _{IM}
I _c Ток потребления ТОУ _{на} т Температурный коэффициент V _{сыт} I _n Ток начального смещения при T _x =25°C ТОУ _м Температурный коэффициент V _{сыт} I _n Ток начального алектрического смещения при T _x =25°C ТОУ _м Температурный коэффициент V _{сыт} I _n Остаточный ток при I _p 0 после перегрузки ТОУ _м V _m Температурный коэффициент V _{сыт} /V _{мз} , при I _p 0 I _n Температурный коэффициент V _{сыт} /V _{мз} , при I _p 0 после перегрузки ТОВ Температурный коэффициент V _{сыт} /V _{мз} , при I _p 0 I _m Номинальный перагурный коэффициент V _{сыт} /V _{мз} , при I _p 0 1 температурный коэффициент V _{сыт} /V _{мз} , при I _p 0 I _m Номинальный перагурный коэффициент V _{сыт} /V _{мз} 1 температурный коэффициент V _{сыт} /V _{мз} I _m Номинальный перагурный коэффициент V _{сыт} /V _{мз} 1 температурный коэффициент V _{сыт} /V _{мз} I _m Номинальный перагурный коэффициент V _{сыт} /V _{мз} 1 температурный коэффициент V _{сыт} /V _{мз} I _m Номинальный перагурный коэффициент V _{сыт} /V _{мз} 1 температурный коэффициент V _{сыт} /V _{мз} I _m Нервичный ток дыт коэффициент V _{сыт} /V _{мз} 1 температурный коэффициент V _{сыт} /V _{мз} I _m Первичный ток дыт коэффициент V _{сыт} /V _{мз} <th< td=""><td>G</td><td>Чувствительность</td><td>TCI_{OUT}</td><td>Температурный коэффициент I_{оит}</td></th<>	G	Чувствительность	TCI _{OUT}	Температурный коэффициент I _{оит}
Ток начального смещения при Т _x = 25°C ТСV _{us} Том начального электрического смещения при Т _x = 25°C ТСV _{us} Температурный коэффициент V _{csc} Температурный коэффициент V _{csc}	\mathcal{E}_{L}	Погрешность вследствие нелинейности	TCI _{OE}	Температурный коэффициент I _{оЕ}
I _a Ток начального электрического смещения при Т _A =25°C ТОК _{мат} / V _{mit} Температурный коэффициент V _{mit} / V _{mit} при I _p =0 I _{at} Остаточный ток при I _p =0 после перегрузки ТОК _{лат} / V _{mit} Температурный коэффициент V _{mit} / V _{mit} при I _p =0 I _{att} Немпературный дрейф тока смещения ТОВ Температурный коэффициент V _{mit} / P _{mit} при I _p =0 I _{att} Немпературный дрейф тока смещения ТОВ Температурный коэффициент V _{mit} / P _{mit} / P _{mit} I _p =0 I _{att} Немпературный дрейф тока смещения ТОВ Температурный коэффициент V _{mit} / P _{mit} / P _{mit} I _p =0 I _{att} Немпературный дрейф тока смещения Ток на выходной ток, среднеквадратичное зимение I _m Время отклика Время отклика Время реакции I _m Первичный ток U _l Напряжение (RMS) U _l Напряжение напряжение (RMS) I _m Первичный ток, диальзон измерения U _l Напряжение (RMS) U _l Напряжение (RMS) I _m Первичный разностный ток U _l Напряжение (RMS) U _l Напряжение измение изоляции, усиленная или базначение (RMS) I _m Первичный разностный ток U _l Напряжение (RMS) U	I _C	Ток потребления	<i>TCV</i> _{out}	Температурный коэффициент V _{о∪т}
Год Остаточный ток при I₂=0 после перегрузки ТСV _{ацт} /V _{gat} Температурный коэффициент ∨ _{одт} /V _{тест} при I₂=0 Год Температурный дрейф тока смещения ТСВ Температурный коэффициент ∨ _{одт} /V _{тест} при I₂=0 Год Макс. допустимый выходной ток при I₂, или V₂, на входе I₁ Время отклика I₂ Номинальный первичный ток, среднеквадратичное значение (RMS) И₂ Напряжения питания I₂ Первичный ток, диалазон измерения И₂ Испытательное напряжение изоляции, усиленная или базовая изоляция, эфф. значение (RMS) I₂ Ток на выходе И₂ Испытательное напряжение изоляции, 50 Гц. 1 мин., эфф. значение (RMS) I₂ Номинальный выходной ток, среднеквадратичное значение И₃ Номинальные изоляции, 50 Гц. 1 мин., эфф. значение (RMS) I₂ Номинальный выходной ток, среднеквадратичное значение И₃ Номинальные изоляции, 1,2/50 µs (RMS) I₂ Номинальный выходной ток, среднеквадратичное значение И₃ Номинальные изоляции, 1,2/50 µs (RMS) I₂ Изамионцукция И₃ Номинальное напряжение изоляции, 1,2/50 µs (RMS) I₂ Изольные числа витков И₃ Напряжение начального эпектрического смещения, Т₄ = 25°C N₂	<i>I</i> ₀	Ток начального смещения при T _A =25°C	<i>TCV</i> _{OE}	Температурный коэффициент V _{ОЕ}
I _{ст} Температурный драйф тока смещения 7/6 Температурный коэффициент усиления I _{ст} Макс, допустимый выходной ток при I _{грв} или V _{грв} на входе t Время отклика I _{гм} Номинальный первичный ток, среднеквадратичное значение (FMS) t _{гв} Время реакции I _{гм} Первичный ток U _с Напряжения питания I _{гм} Первичный ток U _в Номинальное напряжение изоляции, усиленная или базовая изоляция, эфр. значение (FMS) I _{гм} Первичный разностный ток U _в Испытательное напряжение изоляции, 50 Гц, 1 мин., эфф. значение (FMS) I _{гм} Поврычный разностный ток U _в Напряжение гашения частичных разрядов при 10рс (FMS) I _{гм} Номинальное напряжение изоляции в соответствии с ENS0124-1 Им Импульсное напряжение изоляции в соответствии с ENS0124-1 IPX Степень защиты U _в Номинальное напряжение прочности изоляции 1,2/50 µs K _ξ Соотношение числа витков V _в Напряжение ванаряжение прочности изоляции 1,2/50 µs N _ξ Число витков V _в Напряжение начального эмектрического омещения 7, 25°C N _ξ Число вторичных витков V _в Напряжение начального эмектрическ	I _{OE}	Ток начального электрического смещения при $T_{_{\rm A}}$ =25°C	<i>TCV</i> _{Ref}	Температурный коэффициент V _{REF}
Institution Макс. допустимый выходной ток при I _{PN} или V _{PN} на входе t, sepans отклика Время отклика Institution Номинальный первичный ток диапазон измерения U _b Hanpsжения питания Напряжения питания Institution Первичный ток диапазон измерения U _b Howananahoe напряжение изоляции, усиленная или базовая изоляция, эфф. значение (RMS) Institution Первичный ток диапазон измерения U _b Howananahoe напряжение изоляции, 50 Гц. 1 мин., эфф. значение (RMS) Institution Ток на выходе U _b Hanpsжение гашения частичных разрядов при 10рс (RMS) Institution Номинальный выходной ток, среднеквадратичное значение U _b Hanpsжение гашения частичных разрядов при 10рс (RMS) Institution Номинальный выходной ток, среднеквадратичное значение U _b Hanpsжение гашения частичных разрядов при 10рс (RMS) Institution Номинальные напряжение изоляции, 1,2/50 дь Hanpsжение папряжение прочности изоляции, 1,2/50 дь Institution И _b Напряжение напряжение прочности изоляции, 1,2/50 дь Hanpsжение папряжение прочности изоляции, 1,2/50 дь Institution Напряжение напряжение прочности изоляции, 1,2/50 дь Напряжение напряжение прочности изоляции, 1,2/50 дь Institution Напряжение напряжение прочности изоляции, 1,2/50 дь Напряжение напряжение напряжение прочности у простить на	I _{OM}	Остаточный ток при I _p =0 после перегрузки	TCV _{OUT} / V _{Ref}	Температурный коэффициент $V_{\text{OUT}}/V_{\text{REF}}$ при I_{p} =0
Int Номинальный первичный ток, среднеквадратичное значение (RMS) t₁ Время реакции In Первичный ток на размостный ток Uc Напряжения питания In Первичный ток диапазон измерения Uc Номинальное напряжение изоляции, усиленная или базовая изолация, эфф. значение (RMS) In Первичный разностный ток Uc Испытательное напряжение изоляции, 50 Гц. 1 мин., эфф. значение (RMS) Is Ток на выходе Uc Напряжение гашения частичных разрядов при 10рс (RMS) Igu Номинальный выходной ток, среднеквадратичное значение Uc Напряжение гашения частичных разрядов при 10рс (RMS) Igu Номинальный выходной ток, среднеквадратичное значение Uc Напряжение гашения частичных разрядов при 10рс (RMS) Ipux Степень защиты Uc Напряжение папряжение изоляции в соответствии с ЕБН50124-1 Напряжение элемента Холла M Взаимоиндукция Vg Напряжение влемента Холла Напряжение начального омещения, T _A = 25°C N _g Число вторичных витков Vg Напряжение начального электрического смещения, T _A = 25°C N _g Число вторичных витков Vg Стампературный дрейф напряжение при I _{pu} пии V _{pu}	I _{OT}	Температурный дрейф тока смещения	TCG	Температурный коэффициент усиления
I_p Значение (RMS) U_c Напряжения питания I_p Первичный ток U_b Напряжение изоляции, усиленная или базовая изоляция, эфф. значение (RMS) I_m Первичный разностный ток U_d Испытательное напряжение изоляции, 50 Гц, 1 мин., эфф. значение (RMS) I_m Первичный разностный ток U_d Испытательное напряжение изоляции, 50 Гц, 1 мин., эфф. значение (RMS) I_m Повичальный выходной ток, среднеквадратичное значение U_d Напряжение гашения частичных разрядов при 10рс (RMS) I_m Номинальный выходной ток, среднеквадратичное значение U_d Напряжение гашения частичных разрядов при 10рс (RMS) I_m Номинальные напряжение изоляции в соответствии с ENS0124-1 Импульсное напряжение изоляции в соответствии с ENS0124-1 I_m Степень защиты I_d Импульсное напряжение прочности изоляции, 1,2/50 µs I_m Напряжение элемента Холла Напряжение элемента Холла I_m Число вторичных витков I_d Напряжение начального электрического смещения, I_n = 25°C I_m Число вторичных витков I_d Остаточное напряжение при I_m = 0 после перегрузки I_m Илипованизизизизи на призили устат	I _{OUT}	Макс. допустимый выходной ток при I _{PN} или V _{PN} на входе	ţ	Время отклика
I _r Первичный ток U _c Напряжения питания I _{rm} Первичный ток, диапазон измерения U _c Номинальное напряжение изоляции, усиленная или базовая изоляция, эф. значение (RMS) I _{rm} Первичный разностный ток U _c Иоминальное напряжение изоляции, 50 Гц, 1 мин., эфф. значение (RMS) I _{st} Ток на выходе U _c Напряжение гашения частичных разрядов при 10рс (RMS) I _{st} Номинальное напряжение изоляции в соответствии с ENS0124-1 Номинальное напряжение изоляции в соответствии с ENS0124-1 IPX Степень защиты U _w Имптульсное напряжение изоляции в соответствии с ENS0124-1 IPX Соотношение числа витков V _u Напряжение элемента Холла M Взаимонидукция V _u Напряжение начального электрического смещения, T _x = 25°C N _o Число врачных витков V _o Напряжение начального электрического смещения, T _x = 25°C N _o /N _s Соотношение числа витков V _o Статочное напряжение при I _p = 0 после перегрузки N _o /N _s Соотношение числа витков V _o Температурный дрейф напряжение при нир и и и и и и и и и и и и и и и и и	I _{DM}		t _{ra}	Время реакции
I _{PM} Первичный ток, диапазон измерения U _b Номинальное напряжение казоляции, усиленная или базовая изоляция, эфф. значение (RMS) I _{PM} Первичный разностный ток U _d Испытательное напряжение изоляции, 50 Гц, 1 мин., эфф. значение (RMS) I _S Ток на выходе U _e Напряжение гашения частичных разрядов при 10рс (RMS) I _{SI} Номинальный выходной ток, среднеквадратичное значение U _e Номинальное напряжение изоляции, в соответствии с EN50124-1 IPXX Степень защиты U _e Номинальное напряжение изоляции в соответствии с EN50124-1 IPXX Степень защиты U _e Номинальное напряжение прочности изоляции, 1,2/50 µs M Взаимоиндукция V _e Напряжение элемента Холла M Взаимоиндукция V _e Напряжение начального смещения, T _A = 25°C N _e Чиспо втков V _e Напряжение начального электрического смещения, T _A = 25°C N _e Чиспо вторичных витков V _e Напряжение напряжение при I _e = 0 после перегузки N _f Количество витков тестовой обмотки V _e Температурный дрейф напряжение при I I _e , или V _e R _M Согротивление нагрузки V _e Пом	,	, ,	$U_{\mathbb{C}}$	Напряжения питания
I _{FR} Первичный разностный ток U _d Испытательное напряжение изоляции, 50 Гц, 1 мин., эфф. значение (RMS) I _S Ток на выходе U _g Напряжение гашения частичных разрядов при 10рс (RMS) I _{SN} Номинальный выходной ток, среднеквадратичное значение U _g Номинальное напряжение изоляции в соответствии с EN50124-1 IPXX Степень защиты U _g Импульсное напряжение прочности изоляции, 1,2/50 µs M Взаимоиндукция V _g Напряжение элемента Холла M Число витков V _g Напряжение начального смещения, Т _д = 25°C N _g Число первичных витков V _g Напряжение начального электрического смещения, Т _д = 25°C N _g Число вторичных витков V _g Напряжение начального электрического смещения, Т _д = 25°C N _g Число вторичных витков V _g Температурный дрейф напряжение при I _p = 0 после перегрузки N _f Количество витков тестовой обмотки V _g Выходное напряжение при + I _{py} или V _{py} Номинальное первичное напряжение, среднеквадратичное значение (RMS) R _M Внутренний измерительный резистор V _p Первичное напряжение, диапазон измерения R _M Минимальное	,	·	$U_{\!\scriptscriptstyle \mathrm{b}}$	
I_S Ток на выходе U _e Напряжение гашения частичных разрядов при 10рс (RMS) I_SI Номинальный выходной ток, среднеквадратичное значение U _N Номинальное напряжение изоляции в соответствии с ENS0124-1 IPXX Степень защиты U _W Имплульсное напряжение прочности изоляции, 1,2/50 µs K _I Соотношение числа витков V _H Напряжение элемента Холла M Взаимоиндукция V _O Напряжение начального смещения, Т _A = 25°C N _P Число витков V _{OE} Напряжение начального электрического смещения, Т _A = 25°C N _S Число вторичных витков V _{OE} Остаточное напряжение при I _P = 0 после перегрузки N _I /N _S Соотношение числа витков V _{OI} Температурный дрейф напряжения смещения N _I /N _S Соотношение числа витков V _{OI} Выходное напряжение при + I _{PN} или V _{PN} N _I Количество витков тестовой обмотки V _{OI} Номинальное первичное напряжение, среднеквадратичное значение (RMS) R _I Сопротивление нагрузки V _P Первичное напряжение, диапазон измерения R _M Минимальное значение нагрузочного резистора при Т _{AMAX} V _{Ref} Опорное напряжение </td <td>I_{PR}</td> <td>Первичный разностный ток</td> <td>$U_{\rm d}$</td> <td></td>	I _{PR}	Первичный разностный ток	$U_{\rm d}$	
I_{SN} Номинальный выходной ток, среднеквадратичное значение U_{lim} Номинальное напряжение изоляции в соответствии с ENS0124-1 IPXX Степень защиты U_{lim} Импульсное напряжение прочности изоляции, 1,2/50 µs K_{li} Соотношение числа витков V_{lim} Напряжение элемента Холла M Число витков V_{lim} Напряжение начального смещения, T_{im} = 25°C N_{p} Число первичных витков V_{lim} Остаточное напряжение при I_{p} = 0 после перегрузки N_{p} Число вторичных витков V_{lim} Остаточное напряжение при I_{p} = 0 после перегрузки N_{p} Число вторичных витков V_{lim} Температурный дрейф напряжения смещения N_{p} Количество витков тестовой обмотки V_{lim} Выходное напряжение при + I_{pil} или V_{pil} N_{m} Внутренний измерительный резистор V_{lim} Номинальное первичное напряжение, среднеквадратичное значение (RMS) R_{m} Минимальное значение нагрузочного резистора при $T_{a,max}$ V_{pil} Опорное напряжение R_{m} Максимальное значение нагрузочного резистора при $T_{a,max}$ V_{mil} Опорное напряжение	Is	Ток на выходе	U _o	, ,
IPXX Степень защиты U_W Импульсное напряжение прочности изоляции, 1,2/50 µs K_N Соотношение числа витков V_H Напряжение элемента Холла M Взаимоиндукция V_O Напряжение начального смещения, $T_A = 25$ °C N Число витков V_O Напряжение начального электрического смещения, $T_A = 25$ °C N_D Число вторичных витков V_O Остаточное напряжение при $I_P = 0$ после перегрузки N_S Число вторичных витков V_O Температурный дрейф напряжения смещения N_V Количество витков тестовой обмотки V_O Выходное напряжение при + I_{PN} или V_{PN} N_M Внутренний измерительный резистор V_{PN} Номинальное первичное напряжение, среднеквадратичное значение (RMS) R_M Минимальное значение нагрузочного резистора при T_{AMAX} V_{Rot} Опорное напряжение R_M Максимальное значение нагрузочного резистора при T_{AMAX} V_{Rot} Опорное напряжение R_M Максимальное значение нагрузочного резистора при T_{AMAX} V_{Rot} Опорное напряжение N_M Максимальное значение нагрузочного резистора при T_{AMAX} V_{Rot} Опорное напряжение	I _{SN}	Номинальный выходной ток, среднеквадратичное значение		Номинальное напряжение изоляции в соответствии с
$K_{\rm N}$ Соотношение числа витков $V_{\rm H}$ Напряжение элемента Холла M Взаимоиндукция $V_{\rm O}$ Напряжение начального смещения, $T_{\rm A}$ = 25°C N Число витков $V_{\rm OE}$ Напряжение начального электрического смещения, $T_{\rm A}$ =25°C $N_{\rm S}$ Число вторичных витков $V_{\rm OE}$ Напряжение начального электрического смещения, $T_{\rm A}$ =25°C $N_{\rm S}$ Число вторичных витков $V_{\rm OE}$ Остаточное напряжение при $I_{\rm P}$ = 0 после перегрузки $N_{\rm P}/N_{\rm S}$ Соотношение числа витков $V_{\rm OUT}$ Выходное напряжение при + $I_{\rm PN}$ или $V_{\rm PN}$ $N_{\rm M}$ Внутренний измерительный резистор $V_{\rm PN}$ Номинальное первичное напряжение, среднеквадратичное значение (RMS) $N_{\rm M}$ Минимальное значение нагрузочного резистора при $T_{\rm AMAX}$ $V_{\rm Ref}$ Опорное напряжение $N_{\rm M}$ Максимальное значение нагрузочного резистора при $T_{\rm AMAX}$ $V_{\rm Ref}$ Опорное напряжение $N_{\rm M}$ Максимальное значение нагрузочного резистора при $T_{\rm AMAX}$ $V_{\rm Ref}$ Опорное напряжение $N_{\rm M}$ Максимальное значение нагрузочного резистора при $T_{\rm AMAX}$ $V_{\rm Ref}$ Опорное напряжение элемента холла	IPxx	Степень защиты		
M Взаимоиндукция V_0 Напряжение начального смещения, $T_A = 25^{\circ}C$ N_0 Число первичных витков V_{0E} Напряжение начального электрического смещения, $T_A = 25^{\circ}C$ N_0 Число вторичных витков V_{0M} Остаточное напряжение при $I_p = 0$ после перегрузки N_p/N_S Соотношение числа витков V_{0T} Температурный дрейф напряжения смещения N_T Количество витков тестовой обмотки V_{0UT} Выходное напряжение при I_{PN} или V_{PN} N_{MM} Внутренний измерительный резистор V_{PN} Номинальное первичное напряжение, среднеквадратичное значение (RMS) N_{MM} Минимальное значение нагрузки V_{PN} Первичное напряжение, диапазон измерения N_{MM} Минимальное значение нагрузочного резистора при T_{AMAX} V_{Ref} Опорное напряжение N_{MM} Максимальное значение нагрузочного резистора при T_{AMAX} V_{Ref} Опорное напряжение N_{MM} Максимальное значение нагрузочного резистора при T_{AMAX} V_{Ref} Опорное напряжение	K_{N}	Соотношение числа витков		
N Число витков V_{0E} Напряжение начального электрического смещения, $T_A = 25^{\circ}C$ N _S Число вторичных витков V_{0M} Остаточное напряжение при $I_P = 0$ после перегрузки N _P /N _S Соотношение числа витков V_{0T} Температурный дрейф напряжения смещения N _T Количество витков тестовой обмотки V_{0UT} Выходное напряжение при + I_{PN} или V_{PN} R _M Внутренний измерительный резистор V_{PN} Номинальное первичное напряжение, среднеквадратичное значение (RMS) R _L Сопротивление нагрузки V_P Первичное напряжение, диапазон измерения R _M min Минимальное значение нагрузочного резистора при T_{AMAX} V_{Ref} Опорное напряжение R _M max Максимальное значение нагрузочного резистора при T_{AMAX} V_{Ref} Опорное напряжение	М	Взаимоиндукция		•
N_p Число первичных витков V_{0M} Остаточное напряжение при $I_p = 0$ после перегрузки N_p/N_s Соотношение числа витков V_{0T} Температурный дрейф напряжения смещения N_T Количество витков тестовой обмотки V_{0UT} Выходное напряжение при $+I_{p_N}$ или V_{p_N} R_{IM} Внутренний измерительный резистор V_{PN} Номинальное первичное напряжение, среднеквадратичное значение (RMS) R_L Сопротивление нагрузки V_p Первичное напряжение, диапазон измерения $R_{M,min}$ Минимальное значение нагрузочного резистора при $T_{A,MAX}$ V_{Ref} Опорное напряжение $R_{M,max}$ Максимальное значение нагрузочного резистора при $T_{A,MAX}$ V_{Ref} Опорное напряжение $V_{M,M,MAX}$ Максимальное значение нагрузочного резистора при $T_{A,MAX}$ V_{Ref} Опорное напряжение	N	Число витков		,
$N_{\rm p}/N_{\rm s}$ Соотношение числа витков $V_{\rm OIT}$ Температурный дрейф напряжения смещения $V_{\rm OIT}$ Выходное напряжение при + $I_{\rm pN}$ или $V_{\rm pN}$ Номинальное первичное напряжение, среднеквадратичное значение нагрузки $V_{\rm pN}$ Первичное напряжение, диапазон измерения $R_{\rm M}$ Минимальное значение нагрузочного резистора при $T_{\rm AMAX}$ $V_{\rm Ref}$ Опорное напряжение $R_{\rm M}$ Типовая погрешность, $R_{\rm AM}$	N _p	Число первичных витков	V _{OE}	Напряжение начального электрического смещения, Т _д =25°C
$N_{\rm T}$ Количество витков тестовой обмотки $V_{\rm OUT}$ Выходное напряжение при + $I_{\rm PN}$ или $V_{\rm PN}$ Номинальное первичное напряжение, среднеквадратичное значение (RMS) $R_{\rm L}$ Сопротивление нагрузки $V_{\rm PN}$ Первичное напряжение, диапазон измерения $R_{\rm Mmin}$ Минимальное значение нагрузочного резистора при $T_{\rm AMAX}$ $V_{\rm Ref}$ Опорное напряжение $T_{\rm AMAX}$ $T_{\rm MIN}$ Максимальное значение нагрузочного резистора при $T_{\rm AMAX}$ $T_{\rm MIN}$ $T_{\rm AMAX}$ $T_{\rm AMAX}$ $T_{\rm MIN}$ $T_{\rm AMAX}$ $T_{\rm MIN}$ $T_{\rm AMAX}$ $T_{\rm AMAX$	N _S	Число вторичных витков	V _{OM}	Остаточное напряжение при $I_p = 0$ после перегрузки
$R_{\rm IM}$ Внутренний измерительный резистор $V_{\rm PN}$ Номинальное первичное напряжение, среднеквадратичное значение (RMS) $V_{\rm PN}$ Первичное напряжение, диапазон измерения $V_{\rm PN}$ Опорное напряжение $V_{\rm Ref}$ Опорное $V_{\rm Ref}$ Опорное $V_{\rm Ref}$ $V_{\rm Ref}$ Опорное $V_{\rm Ref}$ V_{\rm	N _p /N _s	Соотношение числа витков	V _{o⊤}	Температурный дрейф напряжения смещения
$R_{\rm M}$ Внутренний измерительный резистор $V_{\rm PN}$ значение (RMS) $V_{\rm P}$ Первичное напряжение, диапазон измерения $V_{\rm PN}$ Минимальное значение нагрузочного резистора при $T_{\rm AMAX}$ $V_{\rm Ref}$ Опорное напряжение $V_{\rm Ref}$ Пиповая погрешность, $V_{\rm AMAX}$ $V_{\rm Ref}$ Типовая погрешность, $V_{\rm AMAX}$ $V_{\rm Ref}$	N _T	Количество витков тестовой обмотки	V _{OUT}	Выходное напряжение при + I_{PN} или V_{PN}
$R_{ m Mmin}$ Минимальное значение нагрузочного резистора при $T_{ m AMAX}$ $V_{ m Ref}$ Опорное напряжение X Типовая погрешность, $T_{ m A} = 25^{\circ}{ m C}$	R_{IM}	Внутренний измерительный резистор	V_{PN}	
$R_{\rm M max}$ Максимальное значение нагрузочного резистора при $T_{\rm A MAX}$ X Типовая погрешность, $T_{\rm A} = 25 ^{\circ} {\rm C}$	$R_{\!\scriptscriptstyle L}$	Сопротивление нагрузки	V _P	Первичное напряжение, диапазон измерения
M max	$R_{ m Mmin}$	Минимальное значение нагрузочного резистора при Т	V _{Ref}	Опорное напряжение
R_1 Первичный резистор (для датчика напряжения) N_2 Суммарная погрешность при $N_{\rm PN}$, N_2 или $N_{\rm PN}$, N_3 или $N_{\rm PN}$, N_4 = 25°C	R _{M max}	Максимальное значение нагрузочного резистора при T	X	Типовая погрешность, Т _A = 25°C
	R_1	Первичный резистор (для датчика напряжения)	X_{G}	Суммарная погрешность при I_{PN} или $V_{PN}, T_A = 25^{\circ}C$

Датчики тока и напряжения , Редакция 2013, Публикуется ЛЕМ © LEM International SA, Швейцария 2013, e-mail: sro@lem.com

Принимая во внимание патенты и иные права третьих лиц, подразумевается только ответственность непосредственно за компоненты, но не применение, процессы и электрические схемы с использованием компонентов или сборок. Более подробная информация содержится в технической документации.

ЛЕМ оставляет за собой право изменять конструкцию и технические характеристики.





5-летняя гарантия на датчики ЛЕМ

Компания LEM разрабатывает и производит высококачественную и очень надёжную продукцию для клиентов по всему миру.

Начиная с 1972 года, компания LEM поставила несколько миллионов датчиков тока и напряжения, большинство из которых до сих пор функционирует в транспортных средствах, промышленных электроприводах, источниках бесперебойного питания и многих других видах оборудования, требующих соответствия высшим стандартам качества.

Гарантия на датчики компании LEM составляет 5 лет (60 месяцев) с даты поставки (это не относится к счетчикам электроэнергии на транспорте и к автомобильным датчикам, для которых гарантийный период составляет 2 года).

В течение этого периода компания LEM произведет замену или ремонт всех дефектных частей за свой счет (относится к дефектам, вызванным некачественными материалами или изготовлением).

На другие претензии, также как претензии на компенсацию ущерба, который возник не непосредственно по причине поставленных компанией изделий, данная гарантия не распространяется.

Обо всех дефектах следует немедленно сообщать в компанию LEM, и некачественные изделия должны быть возвращены на завод с приложенным описанием дефекта.

Решение о гарантийном ремонте или замене принимается на усмотрение компании LEM.

Транспортные расходы несет заказчик. Продление гарантийного периода на время ремонта, выполненного по гарантии, не предоставляется.

Гарантия будет аннулирована, если покупатель модифицирует или произведет ремонт изделия самостоятельно или с привлечением третьей стороны без письменного разрешения компании LEM.

Гарантия не распространяется на любой ущерб, возникший в силу неправильных условий использования и форс-мажорных обстоятельств.

Компания LEM не несет какой-либо ответственности за исключением законных требований, касающихся ответственности за качество продукции.

Гарантия явно исключает все претензии, выходящие за вышеуказанные условия.

Женева, 21 июня 2011

Figure

Франсуа Габелла
Президент и исполнительный директор компании LEM

Контакты ЛЕМ в России

ООО "ЛЕМ Россия" (до 09.01.2014 ТВЕЛЕМ)

Представительство, дистрибьютор, производственное подразделение компании LEM в России 170040, г. Тверь, Старицкое шоссе, 15 Тел./ факс: +7 (4822) 65-56-72, 65-56-73 email: lru@lem.com, tvelem@lem.com web-site: www.lem.com/ru/ru

000 ЭФО

Дистрибьютор в России
Москва +7 (495) 933-07-43,
Санкт-Петербург +7 (812) 327-86-54,
Екатеринбург
Казань, Нижний Новгород,
Новосибирск, Пермь, Ростов-на-Дону
E-mail: power@efo.ru

web-site: www.efo-power.ru

Контакты: http://www.efo-power.ru/contacts/



LEM International SA 8, Chemin des Aulx, P.O. Box 35 CH-1228 Plan-les-Ouates Tel. +41 22 706 11 11, Fax +41 22 794 94 78 e-mail: Isa@lem.com; www.lem.com